

Professur für Hydrologie
der Albert-Ludwigs-Universität Freiburg i. Br.

Theresa Walter

Longitudinale Entwicklung von Extremereignissen in großen Einzugsgebieten

Referent: Prof. Dr. Kerstin Stahl
Korreferent: Prof. Dr. Markus Weiler

Masterarbeit unter Leitung von Prof. Dr. Kerstin Stahl

Freiburg i. Br., Oktober 2023

I Inhaltsverzeichnis

Zusammenfassung	1
1 Einleitung	2
1.1 Zeitliche, räumliche und zeitlich-räumlich kombinierte Muster	4
1.2 Nachbereitung von Ereignissen	6
2 Problemstellung und Zielsetzung	7
3 Untersuchungsgebiet	8
3.1 Ausdehnung des Donaueinzugsgebietes.....	8
3.2 Natürliche Gliederung und untersuchtes Teileinzugsgebiet.....	9
3.3 Geologie	11
3.4 Klima	12
3.5 Hydrologie	13
3.5.1 Hydromorphologie	13
3.5.2 Abflussregime.....	15
3.5.3 Einzelne Abflussereignisse.....	17
3.6 Anthropogene Einflüsse	20
3.7 Politische Gliederung	23
3.7.1 Staaten im Donaueinzugsgebiet.....	23
3.7.2 Die Donaukommission	25
4 Methoden und Vorgehensweise	27
4.1 Datengrundlagen – Herkunfts nachweise	27
4.1.1 Geographische Daten / Kartenmaterial.....	27
4.1.2 Abflussdaten und Pegelinformationen	28
4.2 Datenbeschaffung (Pegellisten, Abflussdaten und Koordinaten)	31
4.2.1 Deutschland (Baden-Württemberg): LUBW	31
4.2.2 Deutschland (Bayern): LfU	32
4.2.3 Schweiz: BAFU	33

4.2.4	Österreich: eHYD.....	33
4.2.5	Tschechien: ISVS	35
4.2.6	Slowakei: SHMU	36
4.2.7	International: GRDC	36
4.3	Selektion geeigneter Pegel und Auswahl Untersuchungszeitraum	37
4.4	Ableitung longitudinaler Wert	41
4.5	Abflussanalyse	46
4.5.1	Ereignisselektion	46
4.5.2	Ereignisparameter.....	47
4.5.3	Wiederkehrperiode und Eintrittswahrscheinlichkeit.....	47
4.5.4	Median je Ereignisgruppe	48
4.5.5	Flashiness-Index.....	49
4.5.6	Clustering	49
5	Ergebnisse	51
5.1	Baker-Richards-Flashiness-Index	51
5.2	Clustering – Ereignis-Regime-Gruppen.....	51
6	Diskussion.....	55
7	Schlussfolgerungen	56
	Literaturverzeichnis.....	57
	Anhang	61

II Verzeichnis der Abbildungen im Text

Abb. 1 Schematische Darstellung eines Hydrographen (eigene Abbildung, September 2023)	2
Abb. 2 Lage des Donau-Einzugsgebietes und der daran angrenzenden Gebiete in Europa (Eigene Abbildung aus Quellen: EuStat, GRDC, HydBAS, CDEM)	8
Abb. 3 Grobgliederung des Donaugebietes in Oberes Donaugebiet, Mittleres Donaugebiet und Unteres Donaugebiet (Eigene Abbildung aus Quellen: EuStat, GRDC, HydBAS, HydRIV, CDEM).....	10
Abb. 4 links: Europa – Tektonik - Europa - Erdgeschichte und Geologie, Seite 88, Abb. 2 (Maßstab original: 1:40000000)(Michael 2015); rechts: Hoch- und Mittelgebirge: geologische Bedeutung wichtiger topografischer Kennzeichen Europas, orange = Alpidische Gebirge, gelb = Päläozoische Massive (Grafik 1.1) (Park 2021).....	11

Abb. 5 Mittlerer jährlicher Niederschlag im Donauraum für den Zeitraum 1961 bis 1990 nach (Petrovič et al. 2010)	13
Abb. 6 Abflussregimetypen im Donaueinzugsgebiet nach Kovács (2010).....	15
Abb. 7 Lage des Donaueinzugsgebietes (grün), der Donau (dicke Linie), ihrer wichtigen Nebenflüsse (dünne Linien) sowie Staubaufwerke (Dreiecke), wobei die beiden wirksamsten (Eisernes Tor(Iron Gate Dam) und Gabčíkovo Damm) größer dargestellt und beschriftet sind; Bild im Bild: geographische Lage des Donaueinzugsgebietes; (McCarney-Castle et al. 2012)	20
Abb. 8 Trassenverläufe von Fossa Carolina, Ludwig-Donau-Main-Kanal und Main-Donaukanal (Straßen aus Wasser 2006)	21
Abb. 9 Schematische Darstellung der Wasserbewegungen im Zusammenhang mit dem Main-Donau-Kanal über die Europäische Hauptwasserscheide hinweg (Wasserstraßen- und Schifffahrtsverwaltung des Bundes 2023)	22
Abb. 10 Länder im Donau-Einzugsgebiet (Eigene Abbildung aus Quellen: EuStat, GRDC, HydBAS, HydRIV, PAUL).....	23
Abb. 11 Vereinheitlichung der Koordinatensysteme in Österreich von den drei Projektionen im Bundesmeldenetz (MGI / Austria GK M28 (EPSG:31257); MGI / Austria GK M31 (EPSG:31258); MGI / Austria GK M34 (EPSG:31259) auf eine Projektion (EPSG:4326) (Eigene Abbildung aus Quellen: eHYD, EuStat, GRDC, HydBAS) ..	35
Abb. 12 Anzahl der geeigneten Pegel für die Zeitspannen des ersten Durchgangs nach Anwendung der Eignungskriterien (EK1: Daten für die jeweilige Zeitspanne vorhanden; EK2: maximal 1% Datenlücke in jeweiliger Zeitspanne; EK3: maximale Länge von 21 Tagen je Datenlücke in jeweiliger Zeitspanne; EK4: Anteil der Messwerte mit min. 3 Ziffern von min 80%) je Zeitspanne; Gruppierte Balken je Zeitspanne von links nach rechts: Anzahl der Pegel, die EK1 / EK1+2 / EK1+2+3 / EK1+2+3+4 erfüllen; Beschriftung: Anzahl Pegel je Zeitfenster, die alle 4 Kriterien erfüllen.	38
Abb. 13 Anzahl der geeigneten Pegel für die Zeitspannen des zweiten Durchgangs nach Anwendung der Eignungskriterien (EK1: Daten für die jeweilige Zeitspanne vorhanden; EK2: maximal 1% Datenlücke in jeweiliger Zeit-spanne; EK3: maximale Länge von 21 Tagen je Datenlücke in jeweiliger Zeitspanne; EK4: Anteil der Messwerte mit min. 3 Ziffern von min 80%) je Zeitspanne; gruppierte farbige Balken je Zeitspanne von links nach rechts: Anzahl der Pegel, die EK1 / EK1+2 / EK1+2+3 / EK1+2+3+4 erfüllen; schwarzer Balken: Anzahl der Pegel, die alle 4 Kriterien erfüllen, ohne doppelte Pegel und Pegel vom LFU, die Ergänzungsdaten erfordern würden. Beschriftung: Anzahl Pegel des Schwarzen Balkens.....	39
Abb. 14 Vergleich der Linien-Segmente in den Shape-Files von HydroRivers und EU-Hydro River Net in Relation zur Lage der Pegel	43
Abb. 15 Schematische Darstellung der Ermittlung der Werte POS_P_HR, Dup_P_HR, POS_P_EU und CuL_P_EU; fett gedruckte Attribute wurden aus den jeweiligen Quellen entnommen, normal gedruckte Attribute wurden durch Messen bzw. Rechnen ermittelt; eigene Abbildung 2023.....	44
Abb. 16 Gegenüberstellung der Pegelpositionen in den Flussnetzten der verschiedenen Datenquellen mit Färbung je nach Differenz von der Position nach HydroRIVERS und EU-Hydro River Net	45
Abb. 17 Räumliche Verteilung der Pegelpositionsabweichungen [km] zwischen HydroRIVERS und EU-Hydro River Net vor dem Hintergrund von Höhenlage, Donauversickerung und diversen Kanälen.....	45
Abb. 18 a) "Elbow method": für keiner der k-Werte wird als optimal identifiziert (kein deutlicher Knick in der Kurve); b) GAP-Statistik-Methode: für den k-Wert sieben wird	

das optimale Verhältnis von Clusteranzahl zu intra-Cluster-Abständen ermittelt; c) die optimale mittlere Silhouetten-Weite wird bei 3 Clustern ermittelt.....	50
Abb. 19 Übersicht zum BRFI der Pegel in Bezug zu ihrem Abstand zur Quelle (bzw. zum höchsten Punkt über dem Pegel) und zu den kumulierten Stecken über dem Pegel differenziert nach Lage zur Donau und zur Donauversickerung	51
Abb. 20 Verteilung der Längswerte für die Distanz zwischen Pegel und höchstem Punkt über dem Pegel innerhalb der Clustergruppen (oben) und differenziert nach Position zur Donau (unten)	53
Abb. 21 Verteilung der Längswerte für die kumulative Länge über dem Pegel innerhalb der Clustergruppen (oben) und differenziert nach Position zur Donau (unten).....	54
Abb. 22 Verteilung der Längswerte für die Distanz zwischen Pegel und unterstem Pegel (Bratislava) innerhalb der Clustergruppen (oben) und differenziert nach Position zur Donau (unten)	54

III Verzeichnis der Tabellen im Text

Tab. 1 Übersicht über gängige Abflusskennwerte (Bayerisches Landesamt für Umwelt (LfU) 2020)	3
Tab. 2 Auflistung der wichtigsten Donau-Nebenflüsse im Oberen Donaueinzugsgebiet (Regionale Zusammenarbeit der Donauländer (RZD) 1986)	14
Tab. 3 Eigenschaften der verschiedenen Abflussregimetypen und ihr Vorkommen im oberen Donau-EZG nach (Kovács 2010)	16
Tab. 4 Länder im Einzugsgebiet der Donau, Stand 2008 nach Miklós (2010)	24
Tab. 5 Auflistung der Quellnachweise für räumliche Daten zur Kartenerstellung (ausgenommen Pegelkoordinaten).....	27
Tab. 6 Auflistung der Quellnachweise der Pegellisten, Pegelkoordinaten und Abflussdaten	28
Tab. 7 Verschiedene Fälle in der Datenverfügbarkeit für Abflussdaten beim LUBW	32
Tab. 8 Liste der im ersten Durchgang geprüften Zeitspannen zur Auswahl geeigneter Pegel	37
Tab. 9 Liste der im zweiten Durchgang geprüften Zeitspannen zur Auswahl geeigneter Pegel	39
Tab. 10 Vergleich der longitudinalen Segmentattribute bei EU-Hydro-River Net und HydroRIVERS	41
Tab. 11 Übersicht der ermittelten Einzel-Ereignisparameter.....	47
Tab. 12 Verteilung der Kombinationen von Clusterzuordnungen der Pegel	52

IV Verzeichnis der Abbildungen im Anhang

Anh. Abb. 1 Herleitung Umriss gesamtes Donaueinzugsgebiet mit Donaudelta	61
Anh. Abb. 2 Räumliche Verteilung der Cluster bei 6 Gruppen	62

V Verzeichnis der Tabellen im Anhang

Anh. Tab. 1 Rohdaten und berechnete Daten aller für das Clustern verwendeter Pegel	63
---	----

Zusammenfassung

Unter "Extremereignissen" versteht man im hydrologischen Kontext Hoch- und Niedrigwasserereignisse, in diesem Fall bei Abflüssen an Fließgewässern.

Das Thema wird am Beispiel der oberen Donau bearbeitet. Dieses Teileinzugsgebiet besteht aus dem nordwestlichen Teil des Donau-Einzugsgebietes (Donau-EZG), das im Süden durch die Wasserscheide in den kristallinen Zentralalpen begrenzt wird und am Deviner Tor am Durchbruch zwischen den östlichen Alpenausläufern und den kleinen Karpaten zwischen Wien und Bratislava endet. Somit umfasst es jeweils das vollständige deutsche und schweizerische Donau-EZG, das nahezu vollständige tschechische Donau-EZG, einen großen Teil des österreichischen (und italienischen) sowie einen kleinen Teil des slowakischen Donau-EZGs.

In der Literatur werden überwiegend die (meteorologischen) Ursachen und der Verlauf einzelner Ereignisse oder die Saisonalität (z.B. Winter- oder Sommerhochwasser) genauer untersucht und behandelt oder allgemeine jährliche Abflussregime abgeleitet und so "Regime-Regionen" abgegrenzt.

Ziel der Arbeit soll sein, statt jährlichen Abflussregimen die Durchgangskurven von Extremereignissen an den Pegeln (Hochwasser) miteinander zu vergleichen, die Pegel in "Ereignis-Regime-Gruppen" einzuteilen und Zusammenhänge zwischen longitudinalen Achsen und "Extremereignis-Regime-Gruppen" zu identifizieren. Longitudinal bezeichnet hier den Verlauf entlang bzw. entgegen der Fließrichtung.

Ein wichtiger Arbeitsschritt war die Datenbeschaffung. Für die Schweiz, Deutschland (Bayern und Baden-Württemberg), Österreich und Tschechien konnten jeweils auf den von den Regierungen verwalteten Portalen Abflussdaten bezogen werden, für die Slowakei waren auf diesem Weg keine Daten erhältlich. Diese Daten wurden mit Pegeldaten ergänzt, die vom Global Runoff Data Center gepflegt werden.

Zur Identifizierung der "Ereignis-Regime-Gruppen" wurden die Ereignisse je Pegel identifiziert, charakterisiert, nach Wiederkehrperiode gruppiert und daraus Ereignis-Regime-Merkmale für jeden Pegel abgeleitet. Anhand dieser Merkmale wurde ein k-mean-Clustering durchgeführt, um "Ereignis-Regime-Gruppen" abzuleiten.

Es konnten erfolgreich Gruppen identifiziert und in Zusammenhang mit ihrer longitudinalen Position im Fließgewässernetz gebracht werden.

1 Einleitung

Als „Einzugsgebiet“ wird in der Hydrologie diejenige Fläche bezeichnet, die einen gemeinsamen Ausflusspunkt für seinen Abfluss hat. Im Englischen werden überwiegend die Begriffe „catchment“, „catchment area“, „drainage area“, „drainage basin“ oder „watershed“ verwendet. Der Abfluss im eigentlichen Oberflächengewässer setzt sich aus zwei Hauptbestandteilen zusammen: Dem Basisabfluss, der dem Gewässer überwiegend aus dem Grundwasser, in einigen Fällen aber auch aus Seen oder Gletschern zufließt, und dem Ereignisabfluss, welcher aus dem Anteil des Niederschlags gebildet wird, der direkt dem Gewässer zufließt (World Meteorological Organisation (WMO) und United Nations Educational, Scientific and Cultural Organisation (UNESCO) 2012). Ein besonders niedriger Abfluss kann natürlich durch eine Dürre entstehen, welche World Meteorological Organisation (WMO) und United Nations Educational, Scientific and Cultural Organisation (UNESCO) (2012) als längeres Fehlen oder deutlichem Mangel an Niederschlag definieren. Durch diesen Niederschlagsmangel entstehen hydrologische Dürren, die sich durch Wasserstände unter dem Normalwert in Grundwasser, Seen und Flüssen und damit auch durch einen geringen Abfluss äußern kann. Das gegenteilige Abflussereignis ist die Flut, also ein Wasserstand oder Abfluss, der relativ hoch ist. Sie kann wie bei der World Meteorological Organisation (WMO) und United Nations Educational, Scientific and Cultural Organisation (UNESCO) (2012) auch definiert werden als „gewöhnlich kurzzeitiger Anstieg des Wasserstands in einem Fluss bis zu einem Höchststand, von dem aus der Wasserstand langsamer zurückgeht“.

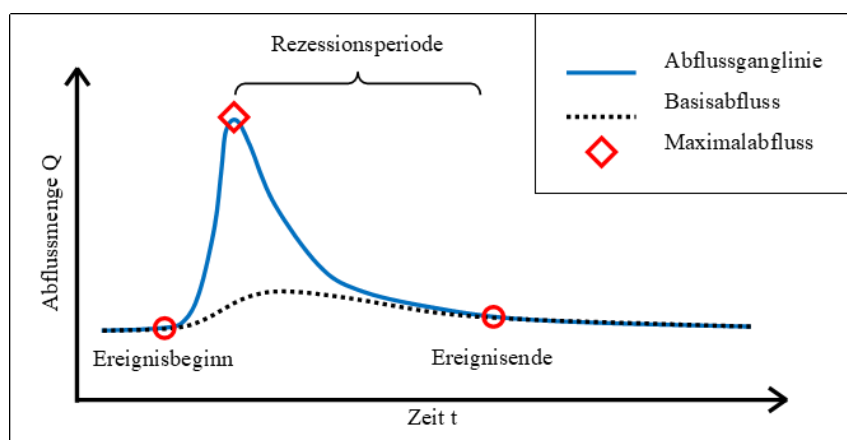


Abb. 1 Schematische Darstellung eines Hydrographen (eigene Abbildung, September 2023)

Eine einfache Form der Visualisierung von Abflussereignissen ist der Hydrograph, auch Ganglinie genannt, der die zeitliche Veränderung von hydrologischen Daten diagrammäßig darstellt. Dabei kann es sich neben Abflussdaten auch um den

Wasserstand, die Abflussgeschwindigkeit oder die Sedimentfracht handeln (World Meteorological Organisation (WMO) und United Nations Educational, Scientific and Cultural Organisation (UNESCO) 2012). Es handelt sich also um einen zeitgeordneten, zweidimensionalen Datensatz, der insbesondere bei Abflussdaten zwei charakteristische Merkmale hat: Zum einen ist er intermittierend, d.h. Niederschlagsabflusseignisse und Niedrigabflussperioden wechseln sich ab, zum anderen hat er in die verschiedenen Dimensionen unterschiedliche Grenzen. Während die zeitliche Dimension in beide Richtungen theoretisch unbegrenzt ist, ist die quantitative Dimension auf positive Werte begrenzt und kann nicht kleiner als 0 sein. Bei der Betrachtung von einzelnen Niederschlagsabflussereignissen ist außerdem die zeitliche Asymmetrie zu erwähnen, da der Anstieg bis zum Scheitel in der Regel deutlich steiler als die anschließende Rezession verläuft. Beide Scheitel sind durch hydrologische Gebietseigenschaften (z.B. Speicherkapazität, Infiltrationsrate, Topographie etc.) beeinflusst (Ehret und Zehe 2011).

Um das Ausmaß solcher Abflussereignisse in Bezug auf die Seltenheit bzw. Häufigkeit der jeweiligen Abflussmenge einordnen und mit anderen Einzugsgebieten vergleichbar machen zu können, wurden verschiedene Kennwerte entwickelt. Diese lassen sich in Mittelwerte, Extremwerte, Häufigkeit der Unter- oder Überschreitung von Schwellenwerten und die Andauer der Unter- oder Überschreitung von Schwellenwerten unterteilen. Die Benennung mit Abkürzungen ist dabei in der DIN 4049-3 geregelt (Bayerisches Landesamt für Umwelt (LfU) 2020). Die wichtigsten Kennwerte sind in Tab. 1 zusammengestellt.

Tab. 1 Übersicht über gängige Abflusskennwerte (Bayerisches Landesamt für Umwelt (LfU) 2020)

Abkürzung	Erläuterung
MQ	Arithmetisches Mittel des (täglichen) Abflusses für einen bestimmten Zeitraum*
NNQ	Geringster jemals gemessener (täglicher) Abfluss
MNQ	Mittlerer Niedrigwasserabfluss, berechnet als arithmetisches Mittel aus den jeweils geringsten gemessenen Werten jeden Jahres in einem festgelegten Zeitraum*
NM _x Q	Niedrigster Mittelwert von x aufeinanderfolgenden Tagen in einer einzelnen Niedrigwasserperiode; gängige Werte für x sind 7/ 20/ 21
MN _x Q	Mittelwert (arithmetisch) der minimalen NM _x Q jeden Jahres in einem festgelegten Zeitraum*
NQ	Geringster gemessener Tagesdurchfluss innerhalb eines festgelegten Zeitraums*
HHQ	Höchster jemals gemessener (täglicher) Abfluss

Abkürzung	Erläuterung
MHQ	Mittlerer Hochwasserabfluss, berechnet als arithmetisches Mittel aus den jeweils maximalen gemessenen Werten jeden Jahres in einem festgelegten Zeitraum*
HQ	Höchster gemessener Tagesabfluss innerhalb eines festgelegten Zeitraums*
HQ _x	Maximale Durchflussmenge, die im statistischen Mittel alle x Jahre erreicht bzw. überschritten wird.
* In der Regel >30 Jahre	

Allgemein gilt für diese Kennwerte sowohl im Niedrig- als auch im Hochwasserbereich: Je seltener ein Ereignis, desto extremer und je extremer, umso gefährlicher für Mensch, Umwelt und Wirtschaft. Daher besteht großes Interesse am Verständnis der Prozesse hinter Extremereignissen und an einer stetigen Verbesserung der Vorhersage. Wichtige Forschungsbereiche sind dabei

- 1) Zeitliche Muster (z.B. Saisonalität)
- 2) Räumliche Muster (z.B. Ausdehnung und Ausbreitung von Ereignissen)
- 3) Nachbereitung von Ereignissen

Auf verschiedene Erkenntnisse – insbesondere für das Einzugsgebiet der Donau in diesen Bereichen – soll nachfolgend genauer eingegangen werden.

1.1 Zeitliche, räumliche und zeitlich-räumlich kombinierte Muster

Baker et al. (2004) haben die Saisonalität von Hochwasserereignissen in Deutschland über Einzugsgebietsgrenzen hinweg analysiert und drei Flutsaisonalitätsregionen ermittelt. Dabei wurden als Saisonen die Monate Dezember bis Februar als „Winter“, März bis Mai als „Frühjahr“, Juni-August als „Sommer“ und September bis November als „Herbst“ festgelegt. Als weiterer zeitlicher Untersuchungsaspekt wurde die Veränderung der Regionenausdehnung untersucht. Dabei hat sich die Region „C“, die in etwa dem deutschen Donaueinzugsgebiet entspricht, als eine stabile bzw. sich stabilisierende Flutsaisonsregion hervorgetan. Sie wird als Sommerflutregion beschrieben, in der ca. 36% der Flutereignisse im Sommer und 29% der Flutereignisse im Frühjahr eintreten.

Jeneiová et al. (2016) haben sich ebenfalls mit saisonalen Effekten im oberen Donauraum beschäftigt. Dabei wurde aber nur die Sommersaison und Wintersaison miteinander verglichen und ein Saisonalitätsindex für das ganze Jahr angewendet. Bei Unterschieden um min. 50% zwischen Sommer und Winter Maximum sind in der Regel

die Sommerereignisse intensiver, es gibt aber auch 7 Stationen, an denen die Winterereignisse min. 20% größer sind als die Sommerereignisse. Sie haben auch den Zusammenhang zwischen räumlicher Verteilung der Saisonalitätsregionen und deren Gbietseigenschaften untersucht. Dabei stellte sich heraus, dass die Höhenlage des Einzugsgebietes einen deutlich stärkeren Zusammenhang mit dem in der Studie ermittelten Seasonal Flood Concentration Index hat als die 3 intensivsten Abflussereignisse eines Jahres. Bei abnehmender Höhenlage nimmt auch die Saisonalität ab.

Parajka et al. (2010) haben mit der k-means-Clustering Methode Gruppen mit ähnlichen Abflussbildungsprozessen im Alpen-Karpaten-Raum Frankreichs bis nach Rumänien, Ungarn und die Ukraine gesucht. Dabei wurden Saisonalitätsindizes für Abflüsse und Atmosphärische Zirkulationsmuster herangezogen. Es wurden 8 Regionen ermittelt und man kam zu der grundsätzlichen Erkenntnis, dass die großen Abflussergebnisse immer von ähnlichen atmosphärischen Mustern verursacht wurden, während die kleineren Ereignisse durch eine Vielzahl an Faktoren beeinflusst zu sein scheinen.

Dethier et al. (2020) haben ebenfalls mit einem k-Mean-Clustering-Verfahren Hydro-Regionen verschiedener Abflussregime in Nordamerika ermittelt und dazu mittlere monatliche normalisierte Abflusswerte verwendet.

In einem weiteren rein räumlichen Ansatz haben Western et al. (1997) zuerst mehrere Parameter (Position auf der Längsachse, Gewässerquerschnitt etc.) für bestimmte Punkte in einem Gewässernetz in Australien ermittelt in einem zweiten und anschließend statistische Analysen durchgeführt. Mhalla et al. (2020) finden 43 Verbindungen (Ursache → Effekt) zwischen 31 Stationen im Einzugsgebiet der Oberen Donau (bis Passau), 28 davon entlang der Donau. Entlang von Nebenflüssen und der Donau in der Regel mit der Fließrichtung, es besteht aber auch eine Verbindung zwischen Isar und Lech, die mit einer ähnlichen/benachbarten geographischen Lage der Oberläufe dieser Nebenflüsse begründet wird, denn Niederschlagereignisse sind oft so großflächig, dass sie beide EZGs gleichzeitig betreffen

Ein weiteres räumliches Konzept ist das „Routing“ bei dem die Veränderung verschiedener Parameter entlang eines Netzes, z.B. eines Gewässernetz berechnet werden (World Meteorological Organisation (WMO) und United Nations Educational, Scientific and Cultural Organisation (UNESCO) 2012; Lehner und Grill 2013).

1.2 Nachbereitung von Ereignissen

In Studien oder behördlichen Berichten wie von Mikhailov et al. (2008), Mikhailova et al. (2012), Blöschl et al. (2013), Kohn et al. (2014) oder Schaller et al. (2014), die einzelne Extremereignisse aufarbeiten, wird im Regelfall mit auf die Ausgangsbedingungen vor dem Abflussereignis eingegangen. Außerdem werden Niederschlagsdaten mit einbezogen, um ein detailliertes Gesamtbild zeichnen zu können. Auf die in den genannten Studien behandelten Abflussereignisse wird im Zuge der Gebietsbeschreibung in Kap. 3.5.3 genauer eingegangen.

2 Problemstellung und Zielsetzung

Auf der einen Seite gibt es zahlreiche Studien, die sich mit großräumigen Mustern über mehrmonatige bis jährliche Abflussmuster befassen, auf der anderen Seite Untersuchungen, die einzelne kurz andauernde Abflussereignisse detailliert und auch räumlich feiner aufgelöst betrachten.

Im Rahmen dieser Arbeit sollen als Zwischenstufe „Ereignis-Regime-Muster“ für extremere und dadurch auch klarer ausgeprägte Ereignisse in einen räumlichen Kontext entlang des Gewässernetzes, statt in einer flächig betrachteten Region gebracht werden.

Dabei werden folgende Fragen untersucht:

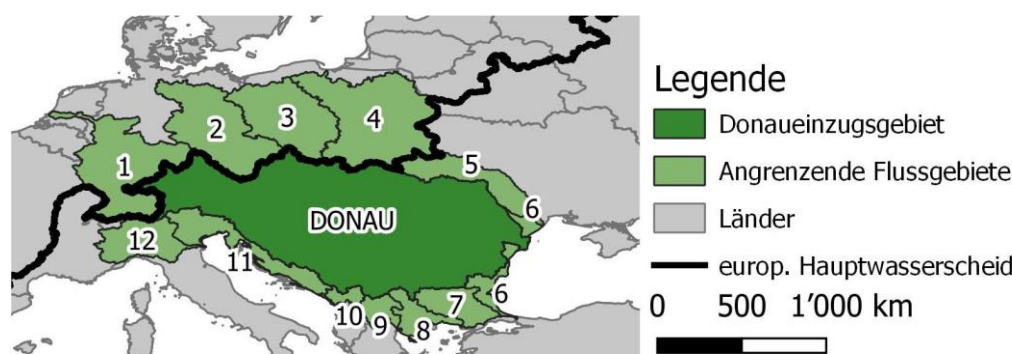
- 1) Können Ereignisabflussganglinien in Ereignis-Regime-Gruppen untergliedert werden?
- 2) Folgen die Gruppen einem Muster entlang der longitudinalen Achse des Fließnetzes?
- 3) Ist die Richtung der longitudinalen Achse ausschlaggebend?

3 Untersuchungsgebiet

Der Name „Donau“ stammt von dem keltischen Wort *Danu* ab und bedeutet „schnell, reißend, wild“. Auch wenn der Unterlauf der Donau den Griechen in der Antike als „Istros“ und später „Histerus“ bekannt war, setzte sich durch die extreme Ausdehnung des Römischen Reiches – beispielsweise bezeichnete Cäsar den Fluss in seinem Werk „De Bello Gallico“ als Danubius – und im Zuge der Völkerwanderung in den verschiedenen Landessprachen der Name Donau, Dunaj, Duna, Dunav und Dunarea durch (Schiller et al. 2010). Im Englischen wird der Name Danube, der dem lateinischen Danubius ähnelt, verwendet. Das folgende Kapitel soll einen Überblick über verschiedene Eigenschaften des gesamten Donaueinzugsgebietes geben und die Abgrenzung des untersuchten Teileinzugsgebietes erläutern.

3.1 Ausdehnung des Donaueinzugsgebietes

Die Quellflüsse Breg und Brigach, fließen im deutschen Donaueschingen zusammen und ab dort trägt der Fluss, der von Westen nach Osten verläuft und in das Schwarze Meer mündet, den Namen Donau. Die Brigach wird als längerer der beiden Quellflüsse mit 46 km als Ursprung der Donau anerkannt. In der Literatur finden sich Werte zwischen 2857 km Gesamtlänge und 2826 km Länge ab Zusammenfluss von Breg und Brigach. Damit belegt sie weltweit Rang 24 und europaweit Rang 2 der Liste der längsten Flüsse. Die Donau ist außerdem der längste ins Schwarze Meer mündende Fluss und trägt erheblich zum Wasserhaushalt desselben bei. (Regionale Zusammenarbeit der Donauländer (RZD) 1986; Schiller et al. 2010; Miklós 2010)



1: Rhein, 2: Elbe, 3: Oder, 4: Weichsel, 5: Dnestr, 6: Schwarzes Meer, 7: Mariza, 8: Ägäisches Meer, 9: Vardar, 10: Buna, 11: Adrianisches Meer, 12: Po

Abb. 2 Lage des Donau-Einzugsgebietes und der daran angrenzenden Gebiete in Europa (Eigene Abbildung aus Quellen: EuStat, GRDC, HydBASE, CDEM)

Das Einzugsgebiet erstreckt sich von $8^{\circ} 09'$ bis $29^{\circ} 45'$ östlicher Länge und von $42^{\circ} 05'$ bis $50^{\circ} 15'$ nördlicher Breite, wobei zwischen Quelle und Mündung eine Luftlänge von

1630 km überspannt wird (Regionale Zusammenarbeit der Donauländer (RZD) 1986; Miklós 2010; Schiller et al. 2010)

Die Fläche des gesamten Donaueinzugsgebietes beträgt rund 817 000 km² auf einer Durchschnittlichen Höhe von 475 m ü. NN. Die Brigachquelle liegt auf 1076 m ü. NN, der Zusammenfluss von Breg und Birgach auf 676 m ü. NN. Südlich der Donau wird in der Schweiz auf dem Piz Bernina mit 4052 m ü. NN der höchste Punkt erreicht, nördlich der Donau liegt der höchste Punkt mit 2496 m ü. NN auf dem Berg Kriváň (deutsch auch Krummhorn oder Ochsenhorn) in der Slowakei (Miklós 2010; Schiller et al. 2010; Regionale Zusammenarbeit der Donauländer (RZD) 1986).

Das Donaueinzugsgebiet liegt südlich der europäischen Hauptwasserscheide. Nördlich dieser Hauptwasserscheide grenzt westlich an die Quellregion der Donau das Rhein-einzugsgebiet an. Dieses wird von Westen nach Osten gefolgt von den Einzugsgebie-ten der Elbe, der Oder und der Weichsel. Hier endet der gemeinsame Verlauf von eu-ropäischer Hauptwasserscheide und Donaueinzugsgebietsgrenze. Im Nordosten schließt das ebenfalls südlich der Wasserscheide gelegene Einzugsgebiet der Dnestr an. Nördlich und südlich der Donaumündung grenzen zahlreiche kleine Einzugsge-biete des Schwarzen Meeres an. In südlicher Nachbarschaft zur Donau liegen von Westen nach Osten die Einzugsgebiete von Po, Adriatischem Meer, Buna, Vardar, Ägäischem Meer und Mariza sowie dem Schwarzen Meer.

3.2 Natürliche Gliederung und untersuchtes Teileinzugsgebiet

Das Donaueinzugsgebiet ist durch zwei verschiedene topologische Ausprägungen ge-kennzeichnet. Zum einen Gebirgsketten und ihre Vorlandhügel, zum anderen große Ebenen. Durch die Anordnung der Gebirgsketten wie den Alpen, den Karpaten, dem Dinarischen Gebirge oder dem Balkangebirge (vgl. Abb. 4 Kap. 3.3) innerhalb des Donaueinzugsgebietes ergibt sich eine natürliche Dreiteilung in das Obere, Mittlere und Untere Donaueinzugsgebiet, wie in Abb. 3 dargestellt. (Miklós 2010; Regionale Zusammenarbeit der Donauländer (RZD) 1986; Schiller et al. 2010).



Abb. 3 Grobgliederung des Donaugebietes in Oberes Donaugebiet, Mittleres Donaugebiet und Unteres Donaugebiet (Eigene Abbildung aus Quellen: EuStat, GRDC, Hyd BAS, HydRIV, CDEM)

Das Obere Donaueinzugsgebiet umfasst eine Fläche von rund 132 000 km² im Nordwesten des Einzugsgebietes. Es reicht vom Quellgebiet im Schwarzwald bis zum Deviner Tor zwischen Wien und Bratislava, dem Durchlass zwischen den Kleinen Karpaten und den östlichen Ausläufern der Alpen. Im Süden wird es durch die Wässerscheide in den kristallinen Zentralalpen begrenzt. Demnach fließen im Oberen Donaueinzugsgebiet südlich der Donau die Abflüsse aus den nördlichen kristallinen Zentralalpen und dem schwäbisch-bayerisch-österreichischen Voralpengürtel Richtung Donau. Das nördliche Obere Donaueinzugsgebiet, das deutlich kleiner als das südliche ist, umfasst Teile der Schwäbischen und Fränkischen Alb, Teile des Oberfrankenwaldes, des Bayerisch-Böhmisches Waldes, des österreichischen Mühl- und Waldviertels sowie des Böhmischo-Mährischen Mittelgebirges (Miklós 2010; Regionale Zusammenarbeit der Donauländer (RZD) 1986; Schiller et al. 2010).

Dieses Teileinzugsgebiet der Oberen Donau wird im Rahmen der vorliegenden Arbeit genauer betrachtet.

Das Mittlere Donaueinzugsgebiet ist mit einer Fläche von rund 445 000 km² das größte unter den drei Teileinzugsgebieten. Beginnend ab dem Deviner Tor entwässert die Donau in diesem Abschnitt das Pannonische und Siebenbürgische Becken, die von den Karpaten, den Alpen, dem Balkangebirge und den Dinariden umgeben werden. Dieser Mittlere Abschnitt endet am sogenannten Eisernen Tor, einer Schlucht an der Verwerfungszone zwischen den Südkarpaten und dem Balkangebirge (Miklós 2010; Regionale Zusammenarbeit der Donauländer (RZD) 1986; Schiller et al. 2010).

Das Untere Donaueinzugsgebiet beginnt unterhalb des Eisernen Tores und wird im Nordwesten von den Karpaten, im Süden vom Balkangebirge, im Südosten vom Dobrudschagebirge und im Nordosten durch die Bessarabische Hochfläche begrenzt.

Insgesamt umfasst das Untere Donaueinzugsgebiet eine Fläche von rund 241 000 km² (Miklós 2010; Regionale Zusammenarbeit der Donauländer (RZD) 1986; Schiller et al. 2010).

3.3 Geologie

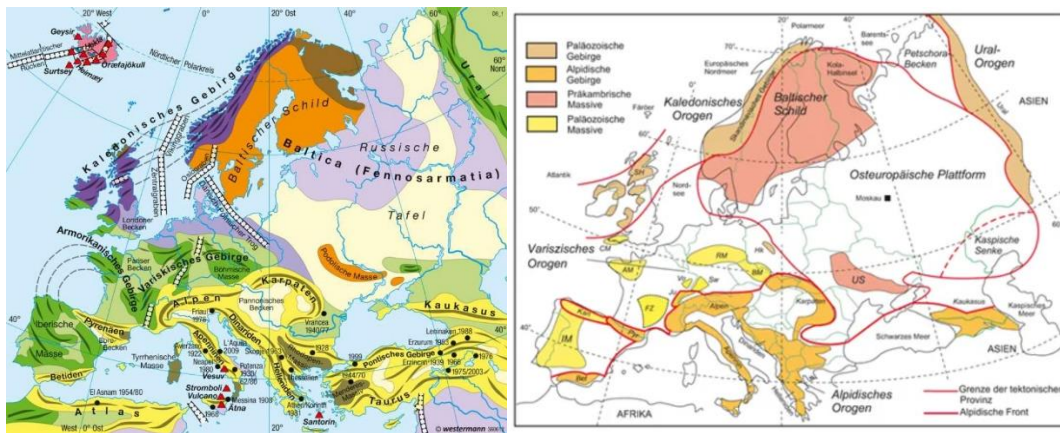


Abb. 4 links: Europa – Tektonik - Europa - Erdgeschichte und Geologie, Seite 88, Abb. 2 (Maßstab original: 1:40000000)(Michael 2015); rechts: Hoch- und Mittelgebirge: geologische Bedeutung wichtiger topografischer Kennzeichen Europas, orange = Alpidische Gebirge, gelb = Päläozoische Massive (Grafik 1.1) (Park 2021)

Die Fläche des Donaueinzugsgebietes ist zu rund einem Drittel von Gebirgen geprägt, die übrigen beiden Dritteln der Einzugsgebietsfläche von Hügeln und großen Ebenen. Die ältesten Gebirgsformationen befinden sich mit der Osteuroäpiscien (auch russischen) Plattform und der Moldawischen Hochebene im Nordosten des Einzugsgebietes. Die nächstjüngere Gebirgsgruppe findet sich überwiegend im Nordwesten. Dabei handelt es sich um meist kristalline Einheiten aus der variszischen Gebirgsbildungsphase (Paläozoikum). Hierzu zählen das Schwarzwaldmassiv, der Oberfrankenwald, der Bayerisch-Böhmisches Wald, das Böhmisch-Mährische Hügelland und einzelne Hochebenen im unteren Donaubecken in Rumänien und Bulgarien. Den größten Flächenanteil nehmen die alpinen Systeme ein. Sie sind im Mesozoikum entstandenen und somit die jüngsten Gebirgsformationen. Hierzu zählen beispielsweise die Alpen, die Karpaten, das Dinarische System und das Balkangebirge. Sie zeichnen sich durch eine fast überall wiederkehrende Formationsfolge aus. Im Zentrum befindet sich ein variszischer Kern, der an beiden Flanken zuerst von einem Schiefermantel, dann einer Kalkstein- oder Dolomit-Zone und anschließend tertiärer Molasse und Sedimenten in den Vorgebirgs- und Zwischengebirgsebenen umgeben ist. Als die beiden größten dieser Becken sind das Pannonische Becken im Mittleren Donaueinzugsgebiet und die Untere Donauebene (rumänisches und bulgarisches Tiefland) anzuführen. Insgesamt

lassen sich die Böden im Donauraum also in zwei Gruppen gliedern: Gebirgsböden und Lockersedimente der Ebenen (Blöschl et al. 2013; Schiller et al. 2010).

Im Oberen Donaueinzugsgebiet sind die Hauptkämme der Alpen, die auch den Geologischen Schichten entsprechen, durch Flusstäler getrennt. Die Flüsse dieser alpinen Täler (z.B. Lech, Isar, Inn, Salzach, Traun und Enns; vgl. Kap. 3.5.1) fließen von Westen nach Osten, biegen dann aber alle nach Norden ab, wenn sie Durchbruchstellen in den Kämmen erreichen. Sie fließen dann der Donau zu. Die Bayerische Donau durchfließt überwiegend Quartäre Ablagerungen, die sehr durchlässig sind und dadurch einen großen Porenspeicher bieten. Im Nordwesten des Oberen Donaugebietes finden sich außerdem Karstgebiete (Blöschl et al. 2013; Schiller et al. 2010).

Hier befindet sich auch eine hydrogeologische Besonderheit im Donaueinzugsgebiet: Die Donauversickerung zwischen Immendingen und Friedingen (Koordinaten: 47.929343, 8.756775 (Brosig 2023)). Durch die Karstsysteme des Oberjuras der Schwäbischen Alb sind die Einzugsgebiete von Donau und Rhein unterirdisch miteinander verbunden. Im Bereich der Donauversickerung fließt durch das Schotterbett und einige Schlucklöcher Donauwasser Richtung Aachtopf ab, sodass bei Niedrigwasserständen rund 600 m des Flussbetts trockenfallen. Die Karstquelle liegt in einer Entfernung von rund 13 km Luftlinie südlich der Donauversickerung und ist mit einer mittleren Wasserspende von rund 8 m³/s die größte Quelle Deutschlands (Brosig 2023; Villinger und Sauter 1999)

Der Bereich oberhalb der Donauversickerung sollte je nach Fragestellung also separat behandelt werden (Kohn et al. 2014).

3.4 Klima

Das Donaugebiet weist eine große Bandbreite an durchschnittlichen Jahrestemperaturen auf. Auch bedingt durch die langgezogene Form und die starken Höhenunterschiede werden mittlere Jahrestemperaturen zwischen –6.2 °C und +12 °C erreicht. Insgesamt ist aber im gesamten Donaugebiet der Juli am wärmsten und der Januar am kältesten. Im Oberen Donaueinzugsgebiet werden im Sommer in den niedrigeren Höhenlagen zwischen 17 °C und 20 °C erreicht (Kovács 2010).

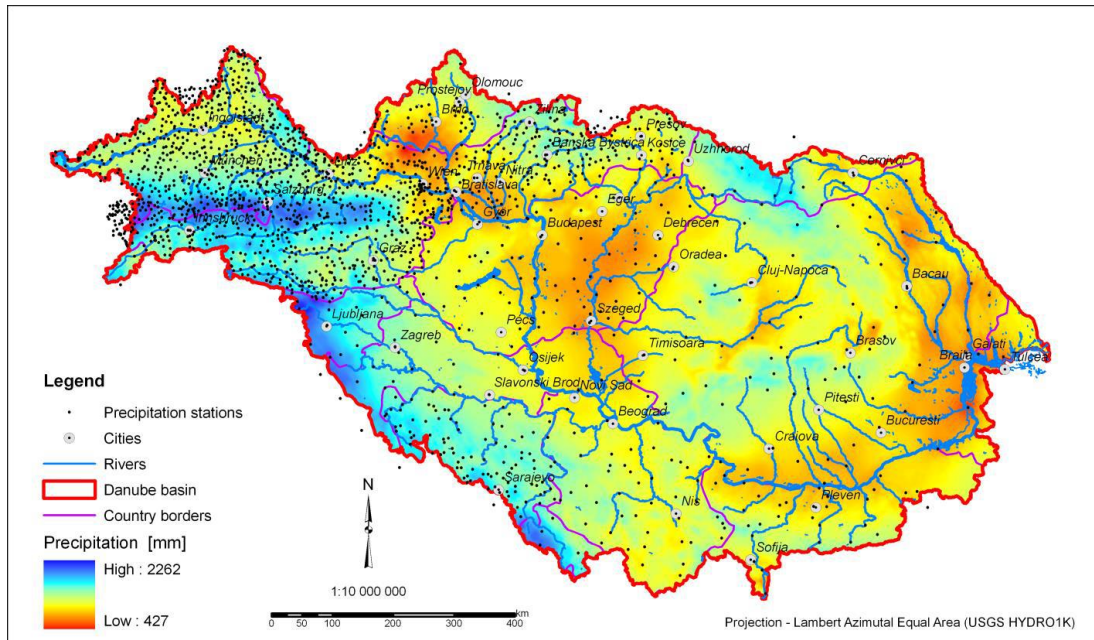


Abb. 5 Mittlerer jährlicher Niederschlag im Donauraum für den Zeitraum 1961 bis 1990 nach (Petrović et al. 2010)

Abb. 5 zeigt den mittleren jährlichen Niederschlag im Donaueinzugsgebiet für den Zeitraum von 1961 bis 1990. Auch hier ist der Wertebereich mit jährlich 400 mm in der Deltaregion bis über 2000 mm jährlich in den Alpen sehr groß.

Auch innerhalb des Oberen Donaueinzugsgebiet gibt es mit 650 mm bis 2000 mm im Gebiet der bayerischen Donau und 600 mm bis 2000 mm im Inn-Einzugsgebiet (Kap. 3.5.1) deutliche Unterschiede. Durchschnittlich fällt 15% des Niederschlags im Donaueinzugsgebiet als Schnee (Blöschl et al. 2013; Kovács 2010).

3.5 Hydrologie

3.5.1 Hydromorphologie

Die Donau fließt insgesamt von Westen nach Osten ab und hat ihren Ursprung am Zusammenfluss der beiden Quellflüsse Breg und Brigach, deren Quelle als längerer der beiden Quellflüsse insgesamt auch als Ausgangspunkt anerkannt. Die Donau durchfließt zuerst die Schwäbische Alb und nimmt in Ulm an ihrem rechten Ufer mit der Iller den ersten großen Nebenfluss auf. Auf dem tendenziell nach Nordosten verlaufenden Weg bis nach Regensburg folgen als weitere wichtige Zuflüsse in dieser Reihenfolge ebenfalls am rechten Donauufer der Lech bei Donauwörth, am linken Ufer die Altmühl mit dem Main-Donau-Kanal (vgl. Kap. 3.6) bei Kehlheim und nochmals am linken Ufer Naab und Regen bei Regensburg. Hier hat die Donau ihren nördlichsten Punkt erreicht und biegt nach Südosten Richtung Passau ab. Es folgt der rechtsseitige Zufluss der Isar, wodurch die Donau bereits eine Breite von rund 175 m

anentwickelt. Bei Passau fließt ebenfalls rechtsseitig der Inn zu, der den Abfluss an dieser Stelle verdoppelt, gefolgt von Traun, Enns und Ybbs. Die March mit ihrem Zufluss Thaja entwässert nahezu das komplette tschechische Donaueinzugsgebiet und große Teile Österreichs. Sie mündet unterhalb von Wien kurz vor dem Deviner Tor oberhalb Bratislava in die Donau. Hinter dem Alpen-Karpaten-Durchbruch teilt sich die Donau srteckenweise in drei Arme auf: nach Norden fließt die Kleine Donau ab und bei Komaro wieder dem Hauptsrom zu, der Hauptstrom verläuft in der Mitte und südlich zweigt die Mosoner Donau ab, die bei Gönjü wieder dem Hauptstrom zufließt. Dieser hat hier bereits eine Breite von 300 m und beigt bei Vac stark rechts Richtung Süden ab. Bei Vocovar gibt es eine weiter größere Richtungsänderung und ab hier fließt die Donau bis zum Durchbruch am Eisernen Tor (vgl. Kap. 3.6) und darüber hinaus in südöstlichhe Richtung. Es folgt die Richtungsänderung bei Silistra nach Norden und eine ebenfalls abrupte Änderung nach Osten bei Galati. Hier schließt dann das Donaudelta an. Die Donau Teilt sich oberhalb von Tulcea in die den nördlichen Kiljia-Arm und den südlichen Tulcea-Arm, der sich kurz darauf in den Sulina-Arm und den Sfintu Gheorghe-Arm teilt. Dies sind die drei wichtigsten Hauptarme im Donaudelta, das ins Schwarze Meer mündet (Schiller et al. 2010; Regionale Zusammenarbeit der Donauländer (RZD) 1986).

Tab. 2 Auflistung der wichtigsten Donau-Nebenflüsse im Oberen Donaueinzugsgebiet (Regionale Zusammenarbeit der Donauländer (RZD) 1986)

Zufluss	Mündung bei Donau km	Seite	Länge km	Einzugsgebiet km ²
Iller	2588	rechts	172	1252
Lech	2497	rechts	254	4125
Altmühl	2411	links	224	3256
Naab	2385	links	191	5508
Regen	2379	links	191	2874
Isar	2282	rechts	283	8964
Inn	2225	rechts	515	26130
Traun	2125	rechts	146	4277
Enns	2112	rechts	349	6080
Ybbs	2057	rechts	131	1293
Kamp	1981	links	147	2134
March	1880	links	329	26658

3.5.2 Abflussregime

Die mittlere langjährige Wasserführung der Donau begann ab 1910/1920 anzusteigen und beträgt derzeit $6855 \text{ m}^3/\text{s}$ (Miklós 2010). In nasser Jahren wird zwischen 50 % und 55 % des Jahresabflusses durch die Frühjahrs- und Sommerhochwasser generiert, in trockeneren Jahren immer noch 40 % bis 45 %. Während solcher Frühjahr-Sommer-Hochwassers bilden sich in der Regel zwei Wellen: eine frühere Welle (hauptsächlich durch die Schneeschmelze verursacht) und eine spätere Welle, die durch Regenfälle verursacht wird. Die Hochwasserwellen flachen Flussabwärts des Mohac-Pegels ab, bzw werden langsamer (Mikhailova et al. 2012). Die Donau trägt wesentlich zum Regime des Schwarzen Meeres, in das sie mündet, bei.

Im Oberen Donaueinzugsgebiet kann generell festgestellt werden, dass der in deutlich schneller und steiler auf Niederschlagsereignisse reagiert als die bayerische Donau (Blöschl et al. 2013)

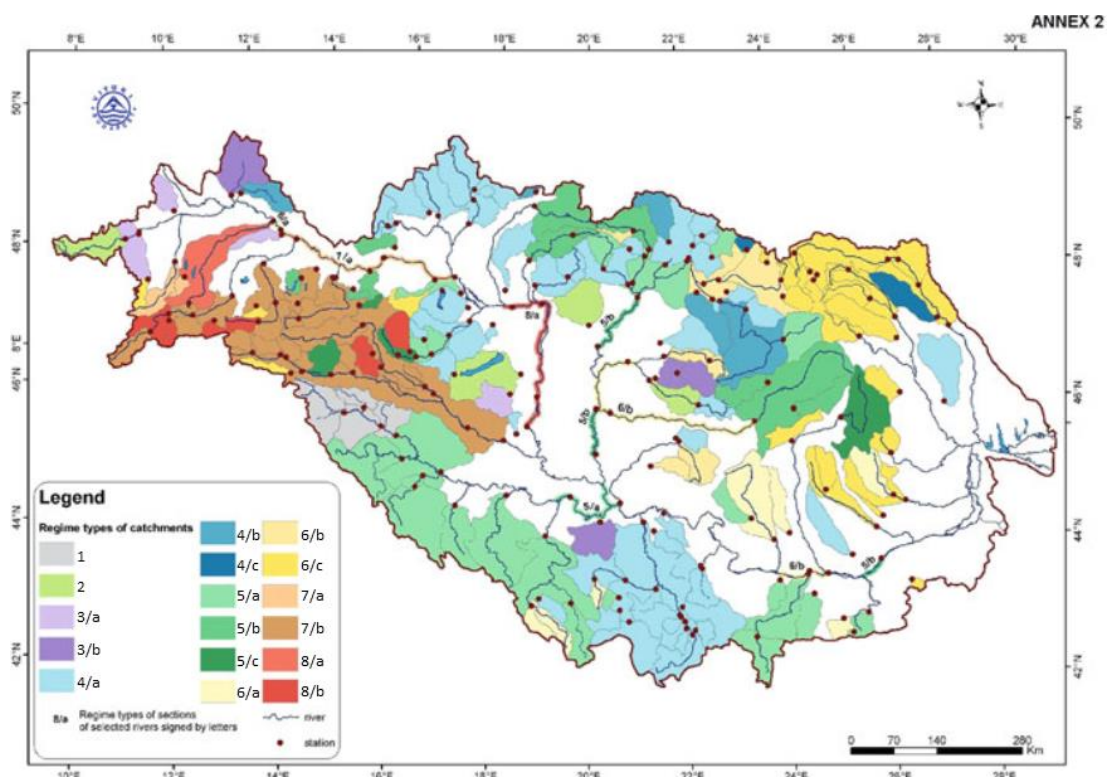


Abb. 6 Abflussregimetypen im Donaueinzugsgebiet nach Kovács (2010)

Kovács (2010) haben eine Methode zur Identifizierung von Abflussregimetypen entwickelt, die auf der Untersuchung diskriminanter Perioden für sechs ausgewählte hydrologische Ereignisse Jahre je Jahr beruht. Konkret werden die Zeitpunkte des jeweils erst-, zweit- und drittgrößten bzw. -kleinsten Abflusses in jedem Jahr miteinander verglichen und für jeden Ereignistyp das Drei-Monats-Zeitfenster

(Diskriminanzzeitraum) mit der größten Häufigkeit in der untersuchten Zeitreihe identifiziert. Anders formuliert: für die drei größten (MAX1, MAX2, MAX3) und drei kleinsten (min1, min2, min3) wird das 3-Monate lange Fenster gesucht, in dem in den meisten Jahren das jeweilige Ereignis eintritt. Aus den zugeordneten Fenstern werden dann Gruppen gebildet, und diese weiter unterteilt werden. Die Gruppierung erfolgt anhand der Reihenfolge MAX1 → min1 → MAX2 → min2 → MAX3 → min3.

Für das Donaueinzugsgebiet sind die in Tab. 3 und Abb. 6 erläuterten Gruppen identifiziert worden. Im oberen Donauraum sind die Regimegruppen 2, 3/a, 3/b, 4/a, 4/b, 5/b, 5/c, 6/c, 7/a, 7/b, 8/a und 8/b zu finden.

Tab. 3 Eigenschaften der verschiedenen Abflussregimetypen und ihr Vorkommen im oberen Donau-EZG nach (Kovács 2010)

Regime	MAX1	min1	MAX2	min2	MAX3	min3	Vorkommen im oberen Donau-EZG
2	XII-II	VII-XI	XII-III	VII-XI	II-V	VI-XI	Quellregion
3/a	I-III	VII-X	I-V	VII-X	XII-V	VII-XI	Überwiegend nördliche Zuflüsse, vereinzelt südl. donaunahe Zuflüsse
3/b	I-III	IX-XI	II-IV	VIII-XI	II-IV	VI-X	
4/a	II-IV	VII-X	XII-VI	VII-XI	XI-VI	VI-XII	
4/b	II-IV	IX-XI	II-IV	VIII-XI	I-VI	VIII-I	
5/b	III-V	IX-XII	II-VII	VIII-XII	I-VII	VII-I	Österreichischer Teil in donaunahen niedrigeren Lagen
5/c	III-V	XII-II	III-VI	VIII-I	II-VII	VII-III	
6/c	IV-VI	XII-II	III-VII	VII-III	III-VIII	IX-III	Einzugsgebiete in den Alpen, Donau selbst im östlichen Abschnitt
7/a	V-VII	X-I	IV-VII	X-I	IV-VII	X-III	
7/b	V-VII	XII-III	IV-VII	IX-III	IV-IX	X-IV	
8/a	VI-VIII	IX-XII	III-VI	IX-I	IV-VI	IX-I	
8/b	VI-VIII	XII-III	III-VIII	IX-III	IV-VIII	IX-III	
1	X-XII	VIII-X	X-VI	VI-IX	X-VI	VI-IX	Nicht vorhanden
4/c	II-IV	XI-II	II-IV	IX-I	III-V	VIII-XI	
5/a	III-V	VII-X	XI-VI	VII-XI	I-VII	VII-I	
6/a	IV-VI	VIII-X	II-VI	VII-XI	XI-VI	VI-XII	
6/b	IV-VI	IX-XI	II-VIII	VIII-XII	II-VII	VII-II	

3.5.3 Einzelne Abflussereignisse

Schwere Überschwemmungen durch Niederschlags- und Frühjahrshochwasser traten im Donauraum in den Jahren 1897, 1902, 1924, 1926, 1940, 1941, 1942, 1954, 1965, 1970, 1980, 1991, 2002, 2006 und 2010 auf (Mikhailova et al. 2012). Dahlmann et al. (2022) haben für den Donauraum die Jahre 2003, 2015, 2017 und 2018 als besonders trockene Jahre identifiziert, dies allerdings in Bezug auf Dürreschäden und nicht direkt auf Abflusswerte. Nachfolgend werden einzelne ausgewählte Ereignisse in chronologischer Reihenfolge genauer beschrieben. Sie machen deutlich, dass unterschiedliche Ausgangsbedingungen und Prozesse zu ähnlichen Wirkungen an den Pegeln führen können.

1899: September (Hochwasser)

Der Winter 1898 und Sommer 1899 war ungewöhnlich trocken, sodass die Bodenvorfeuchte gering war. Im September 1899 lag dann ein außergewöhnlich großes Tiefdruckgebiet über Europa, das von Nordafrika bis zur Ostsee und von den Westalpen bis zum Schwarzen Meer reichte. Es kam zu starken Niederschlägen vom 9. bis 11. September und am Nordrand der Alpen am 12. und 13. September extreme Niederschläge am Nordrand der Alpen. Oberhalb von etwa 1400 m ü. NN sammelte sich dabei Schnee, wodurch sich der Direktabfluss des Ereignisses verringerte. In Kombination mit den trockenen Böden dämpfte dies das Hochwasserausmaß ein, sodass die Hochwasserreaktion nicht viel größer als bei den Hochwassern 1954, 2002 und 2013 war, auch wenn der Niederschlag in vielen Regionen um bis zu 50% größer war (Blöschl et al. 2013).

1954: Juli (Hochwasser)

Anders als beim Hochwasser 1899 lag der Niederschlag alle 3 Monate, die dem Hochwasserereignis vorausgingen, über dem Mittelwert. Im Juli ergab sich dann eine stationäre atmosphärische Situation mit ungewöhnlich weiter Ausdehnung des Azorenhochs nach Norden. Der Niederschlag fiel dann in zwei Blöcken. Am 1. und 2. Juli fielen vergleichsweise geringere Niederschlagsmengen, die die ohnehin hohe Bodenfeuchte weiter erhöhten. Vom 7. bis 12. Juli fiel in einem zweiten Block extremer Niederschlag, zu Beginn auch in Form von Schnee ab ca. 800 m ü. NN, der dann Mitte Juli wieder abschmolz (Blöschl et al. 2013).

2002: August (Hochwasser)

Auch das Hochwasser im August 2002 verlief mit zwei Niederschlagsereignissen und Abflusswellen und war von einer stationären atmosphärischen Situation ausgelöst. Diese erstreckte sich über Nordwest und Zentraleuropa bis ins Wiener Becken. Die Niederschlagsblöcke umfassten den 6. und 7. sowie den 11. und 12. August. Sie erfassten neben dem oberen Donauraum auch den Oberlauf der Elbe. Auch bei diesem Ereignis war durch die erste Welle die Bodenfeuchte bereits stark erhöht, als die zweite Welle eintraf und die Pegel dadurch schnell anstiegen. Während die erste Flutwelle nur bis Bratislava reichte und für Überschwemmungen in Deutschland und Tschechien sorgte, setzt sich die zweite Welle deutlich weiter bis zum Eisernen Tor (vgl. Kap. 3.6) fort. Auf ihrem Weg zum Eisernen Tor nimmt die Flutwelle von rund 6,0 m auf rund 5,0 m ab und kann dort abgefangen werden, weil im Voraus der Stausee am Eisernen Tor stufenweise um 260 cm abgesenkt wurde. Alle erhöhte Pegelstände unterhalb des Eisernen Tores ergaben sich nur durch das regulierte Leeren des Reservoirs, und nicht durch die eigentliche Flutwelle (Blöschl et al. 2013).

2003: Juli bis Oktober (Niedrigwasser)

Der Obere Donauraum war insbesondere in Deutschland von Februar bis September von einem extremen Niederschlagsdefizit geprägt. Hinzu kamen Hitzerekorde an vielen deutschen Wetterstationen. Auch der Untere Donauraum war wärmer als gewöhnlich. Daraus resultierten insbesondere im Unterlauf der Donau neue Niedrigwasserrekorde. Möglicherweise ist der Rückstau aus dem Schwarzen Meer ursächlich für die geringere Extreme der Niedrigwasserstände im Donaudelta und am Deltakopf (Mikhailova et al. 2012).

2006: März bis Juni (Hochwasser)

Nach Mikhailov et al. (2008) und Mikhailova et al. (2012) lag im Donauraum der Niederschlagswert im Zeitraum von November 2005 bis Juni 2006 insgesamt nah am Normalwert (101%), allerdings fielen große Teilmengen des Niederschlags im Dezember und März bis Mai. So bildete sich im Dezember 2005 ein großer Schneevorrat, der während der darauffolgenden Kälteperiode bis Mitte Februar erhalten blieb. Der (trockenen) Kälteperiode schloss sich eine Phase der Erwärmung an, in deren Folge feuchte atlantische Luftmassen ins Donaugebiet transportiert wurden und dort im März, April und Mai für Niederschlagsmengen bis zu 55% über dem Normalwert sorgten. Der Niederschlag im Juni lag etwas unter der Normalmenge, fiel in der Regel

jedoch als Starkregen. Ab März lagen die Temperaturen im Normalbereich und waren teils etwas höher als der Normalwert.

Daraus resultierten zwei Wellen von Frühjahrs- und Sommerhochwasser im März und April sowie Ende Mai und Anfang Juni. Sie richteten vor allem im Unteren Donaugebiet erhebliche Schäden an.

Mikhailov et al. (2008) betrachten insbesondere die Entwicklung der Flutwellenhöhe und nennen als die drei Hauptursachen für die beiden Flutwellen die großen Schneemengen, die sich bis Anfang März großräumig angesammelt hatten, das warme Wetter zu Beginn des Frühjahrs (März und April), das eine schnelle Schneeschmelze begünstigte, und die reichlichen Regenfälle im Frühjahr (April bis Mai).

2010: März bis Juni (Hochwasser)

Das Hochwasser im Frühsommer 2010 ist gekennzeichnet von zwei deutlich voneinander getrennten Wellen, die sich auf der gesamten Länge der Donau abzeichneten. Mikhailova et al. (2012) heben den großen Einfluss der Schneakkumulation auf das Ereignis hervor. Im Februar war der Schneespeicher deutlich größer als das langjährige Mittel, sodass durch die Schneeschmelze Mitte Februar die erste Hochwasserwelle zustande kam. Im weiteren Verlauf sammelte sich jedoch erneut Schnee im Donauraum sodass durch starken Regen Ende Mai die zweite Hochwasserwelle ausgelöst wurde. Die Erste Welle war im Oberen Donauraum intensiver als die zweite Welle, im Mittleren Donaueinzugsgebiet verhielt es sich genau umgekehrt. Insgesamt war die 2. Welle intensiver als die 1. Welle. Die zweite Welle verlangsamte sich flussabwärts des Pegels in Mohac und wurde vom Stausee am Eisernen Tor (vgl. Kap. 3.6) zusätzlich abgebremst. Im Unteren Donauraum überlagerten sich die Entlastungswellen der Stauseen und die natürliche Hochwasserwelle, die aber noch im oberen Drittel der unteren Donau wieder abflacht. Trotz der teilweise neuen historischen Höchststände entstanden kaum Schäden an Mensch und Wirtschaft (Mikhailova et al. 2012).

2013: Juni (Hochwasser)

Das Hochwasser im Sommer 2013 war wie auch das Ereignis 2002 durch eine statioäre atmosphärische Situation mit unveränderten Positionen und Ausdehnungen von Hoch- und Tiefdruckgebieten gekennzeichnet. Allerdings befand sich das System insgesamt weiter westlich als 2002. Weitere Rahmenbedingungen waren Temperaturen, die etwas unter dem langjährigen Mittel lagen, Schneefall sowie eine vergleichsweise späte Schneeschmelze. Die ausschlaggebenden Niederschläge ereigneten sich im

oberen Donaueinzugsgebiet vom 18. bis 27 Mai und vom 30. Mai bis 4. Juni. Schaller et al. (2014) haben modellbasiert ermittelt, dass das Niederschlagsereignis (30. Mai bis 2. Juni) durch anthropogen beeinflusste Klimaänderungen nicht wahrscheinlicher geworden ist. Es wird hervorzuheben, dass dabei lediglich das Starkregenereignis, nicht aber die Kombination aus den für die Extremhochwasser ursächlichen Faktoren (Schneemengen, Bodenfeuchte etc.) untersucht wurde. Als wesentliche Merkmale für die Hochwasserwelle sind die relativ hohe Vorfeuchte des Bodens, der geringe zeitliche Abstand zwischen den Niederschlagsereignissen und eine geringe Verschiebung zwischen den Hochwasserspitzen am Zusammenfluss von Donau und Inn zu nennen (Blöschl et al. 2013; Schaller et al. 2014).

3.6 Anthropogene Einflüsse

Unter den menschgemachten Veränderungen im Einzugsgebiet sind neben den Gewässerbegradiungen die zahlreichen Staubaufwerke Elemente mit großem Einfluss auf das Abflussgeschehen, da eben diese Eigenschaft der Abflussregulierung in der Regel die Hauptmotivation zum Bau war. Aus Abb. 7 ersichtlich wird, befinden sich im Donaueinzugsgebiet zahlreiche Staubaufwerke.



Abb. 7 Lage des Donaueinzugsgebietes (grün), der Donau (dicke Linie), ihrer wichtigen Nebenflüsse (dünne Linien) sowie Staubaufwerke (Dreiecke), wobei die beiden wirksamsten (Eisernes Tor/Iron Gate Dam) und Gabčíkovo Damm) größer dargestellt und beschriftet sind; Bild im Bild: geographische Lage des Donaueinzugsgebietes; (McCarney-Castle et al. 2012)

Das Imposanteste unter den Staubauwerken ist die Anlage des Eisernen Tor I (mit dem nachgeschalteten kleineren Eisernen Tor II) am Durchbruch zwischen den Karpaten und dem Balkangebirge. Die Anlage wurde 1971 in Betrieb genommen. Bei normalem Staupegel beträgt die Wassersäule am Damm 32 m. Bei Totspeicher-Füllstand beträgt diese nur noch 6,5 m am Damm. Die Speicher Kapazität beträgt weniger als 3 km³. Somit ist der Speicher nicht in der Lage, große Frühjahr-Sommer-Hochwasser (rund 100 km³) vollständig zu fassen.

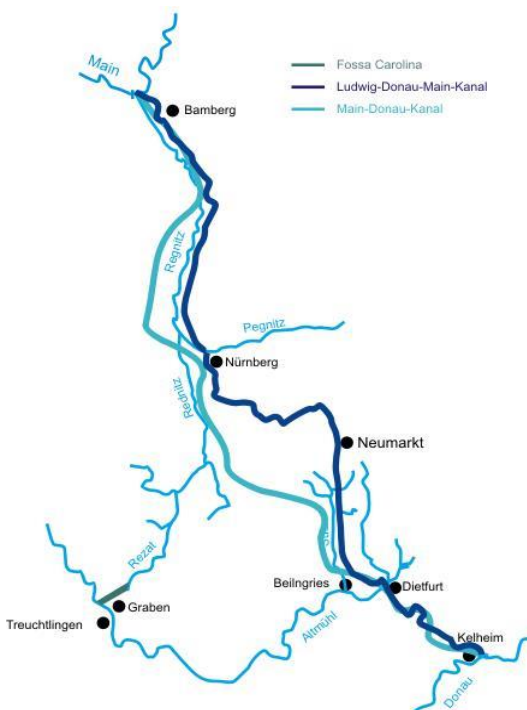


Abb. 8 Trassenverläufe von Fossa Carolina, Ludwig-Donau-Main-Kanal und Main-Donaukanal (Straßen aus Wasser 2006)

Ein baulicher Eingriff, der nicht die zeitliche Verteilung, sondern die Wassermenge des Abflusses im Donaueinzugsgebiet beeinträchtigt, ist der Rhein-Main-Donaukanal mit den zugehörigen Bauten. Der Main-Donau-Kanal überwindet die europäische Hauptwasserscheide. Seine Geschichte reicht bis in die Zeit Karls des Großen zurück, der mit der „Fossa Carolina“ die erste bauliche Verbindung für Boote zwischen Donau und Rhein initiiert hat. Sie hat die Altmühl im Donaugebiet mit der Rezat im Rheingebiet verbunden bzw. sollte sie verbinden. Ein wesentlich jüngerer Vorgänger des Main-Donau-Kanals ist der Ludwig-Donau-Main-Kanal, der am Main bei Bamberg beginnt und überwiegend parallel zur Regnitz bzw. nach einem Ausschwenken über Neumarkt in der Oberpfalz im Bett der Altmühl und parallel zu ihr verläuft und bei Kehlheim in die Donau mündet. Er wurde 1846 eröffnet und hatte eine Länge von 172 km, eine maximale Breite von 17 m und eine Tiefe von 1,5 m (Slezak 1986; Straßen aus Wasser 2006).

Der neue Main-Donau-Kanal beginnt mit einer Abzweigung aus dem Main bei Bamberg und endet in der Donau bei Kehlheim. Er wurde 1992 fertiggestellt und hat eine Länge von rund 171 km. Mithilfe von 16 Schleusen überwindet er rund 243 m Höhenunterschied. Der Main-Donau-Kanal ist zudem Bestandteil des Bayerischen Wasserwirtschaftlichen Haushaltes. Jährlich werden rund 125 Mio. km³ Wasser aus der geregelten Altmühl und wenn notwendig auch aus der Donau mithilfe von 5 Pumpwerken

in das nördlich der europäischen Hauptwasserscheide im Jura in wasserärmere Gebiet Bayerns im Rheineinzugsgebiet überführt. Auch die Sicherung von Trink- und Brauchwasser und die allgemeine Wassergüte im Rednitz-Main-Gebiet profitieren von diesem Anlagensystem, weil über die Brombachüberleitung aus dem Altmühlsee 25 km³ in das Rheingebiet abgeführt werden (Deutscher Wasserstraßen- und Schifffahrtsverein Rhein-Main-Donau e.V. 2023; Straßen aus Wasser 2006; Kuhn 1971).

Die Verläufe der „Fossa Carolina“, des Ludwig-Donau-Main-Kanals und des Main-Donau-Kanals sind in Abb. 8 dargestellt. Abb. 9 skizziert die Wasserbewegungen im Main-Donau-Kanal-System.

Die Überleitung – Wasser für Franken

Die „Überleitung“ dient dem Ausgleich zwischen dem wasserreichen Süden und dem wasserarmen Norden Bayerns.

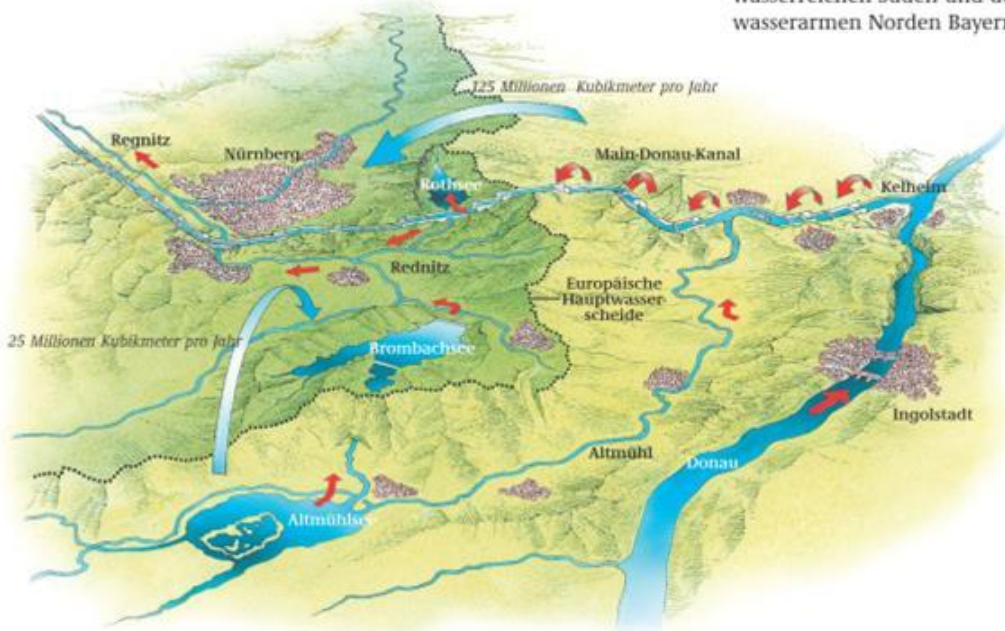


Abb. 9 Schematische Darstellung der Wasserbewegungen im Zusammenhang mit dem Main-Donau-Kanal über die Europäische Hauptwasserscheide hinweg (Wasserstraßen- und Schifffahrtsverwaltung des Bundes 2023)

3.7 Politische Gliederung

3.7.1 Staaten im Donaueinzugsgebiet

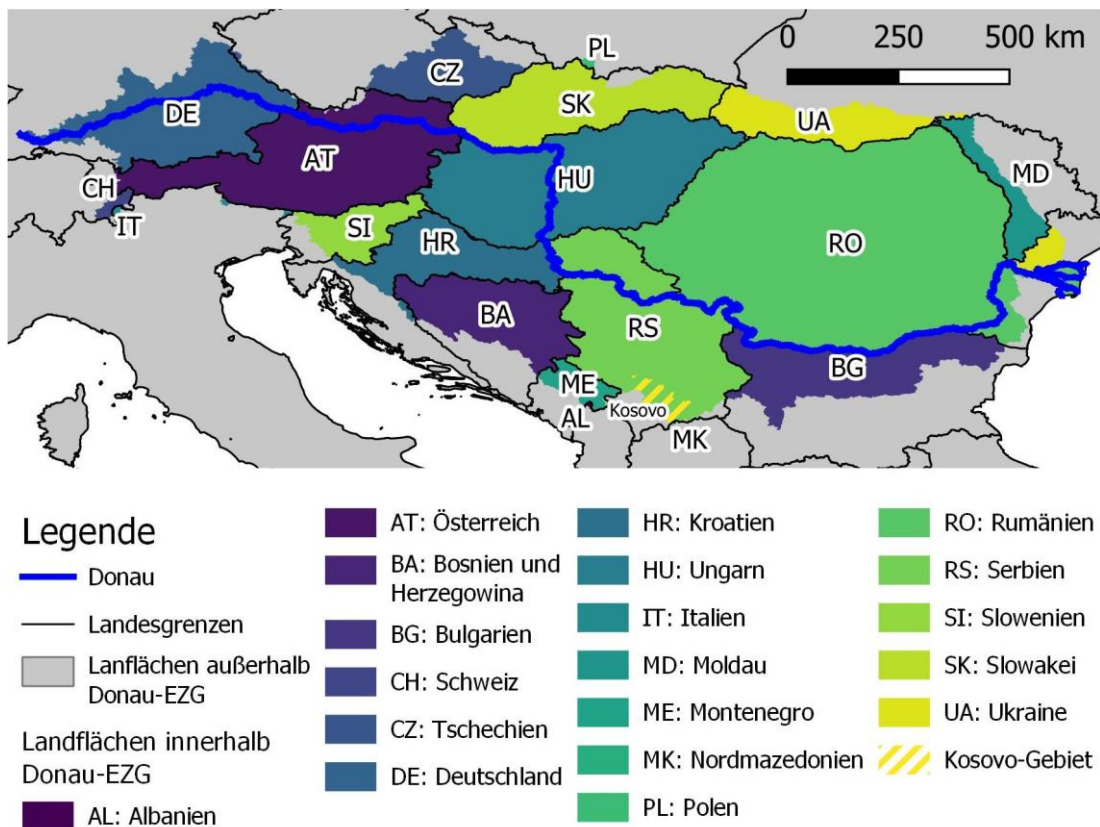


Abb. 10 Länder im Donau-Einzugsgebiet (Eigene Abbildung aus Quellen: EuStat, GRDC, HydBAS, HydRIV, PAUL)

Derzeit haben insgesamt 19 bzw. 20 Länder Teil am Einzugsgebiet der Donau (vgl. Abb. 10). Direkte Anrainerstaaten sind in der Reihenfolge, in der sie durchflossen werden, Deutschland, Österreich, Slowakei, Ungarn, Kroatien, Serbien, Rumänien, Bulgarien, Republik Moldau und die Ukraine. Außerdem befinden sich Einzugsflächen zumindest teilweise in Tschechien, Polen im Norden sowie in der Schweiz, Italien, Slowenien, Bosnien und Herzegowina, Montenegro und Nordmazedonien. (Miklós 2010) Der Kosovo hat am 17. Februar 2008 seine Unabhängigkeit von Serbien erklärt, was von Serbien und weiteren Ländern bis heute nicht anerkannt wird. Ein Großteil der EU-Mitgliedsstaaten, hat die Unabhängigkeit anerkannt, die fünf Länder Zypern, Griechenland, Rumänien, Slowakei und Spanien jedoch nicht (Ker-Lindsay und Armakolas 2020). Auch die beiden UN-Sicherheitsratsmitglieder Russland und China erkennen den Kosovo nicht als unabhängig an (Szelag 2023), weshalb es sich lediglich um einen de-facto-Staat handelt.

Die Länder Österreich, Slowakei, Ungarn, Serbien (mit dem Kosovo) und Rumänien liegen mit mindestens 90% bis 100% ihrer Landesfläche, Slowenien, Kroatien,

Bosnien und Herzegowina sowie Montenegro mit mindestens 50% bis 90% ihrer Landesfläche, Deutschland, Tschechien, Bulgarien und Moldawien mit mindestens 10% bis 50% ihrer Landesfläche, Ukraine und Schweiz mit 1% bis 10% ihrer Landesfläche und Italien, Polen, Albanien und Nordmazedonien mit weniger als 1% ihrer Landesfläche im Donaueinzugsgebiet. Die fünf Länder mit dem größten Anteil am Donaueinzugsgebiet sind mit rund 28 % Rumänien, gefolgt von Ungarn (11,39 %), Serbien mit dem Kosovo (9,9 %), Österreich (9,88 %) und Deutschland (7,3 %) (Miklós 2010). Einen Überblick über die absoluten Landesflächen im Donaueinzugsgebiet, den jeweiligen Anteil des Landes am Donau-EZG und den Anteil des Donaueinzugsgebietes im jeweiligen Land gibt Tab. 4

Tab. 4 Länder im Einzugsgebiet der Donau, Stand 2008 nach Miklós (2010)

Land	Landesfläche im Donau-EZG [1000 km ²]	Anteil des Donau-EZG an der Landesfläche [%]	Anteil der Landesfläche am Donau-EZG [%]
Deutschland	56.2	16.8	7.30
Österreich	80.4	96.4	9.88
Tschechische Republik	21.7	31.1	3.00
Slowakei	47.1	99.0	5.94
Ungarn	93.0	100.0	11.39
Slowenien	20.3	88.8	2.19
Kroatien	35.0	62.5	4.33
Bosnien und Herzegowina	36.6	74.9	4.66
Serbien (mit Kosovo)*	81.6	92.3	9.9
Montenegro	7.1	51.4	0.9
Rumänien	232.2	97.6	28.43
Bulgarien	47.4	43.6	5.90
Moldawien	12.8	35.6	1.46
Ukraine	30.5	5.4	3.96
Schweiz	1.8	4.4	0.22
Italien	0.6	0.2	0.06
Polen	0.4	0.1	0.03
Albanien	0.1	0.01	0.01
Nordmazedonien	0.1	0.2	0.01

* Am 17. Februar 2008 erklärte das Kosovo seine Unabhängigkeit von Serbien, was von bislang 117 Staaten anerkannt wurde, darunter die USA und wichtigen (damaligen) EU-Mitgliedern wie Deutschland, Italien, Frankreich und Großbritannien. Da sowohl Serbien als auch die beiden UN-Sicherheitsrat-Mitglieder China und Russland die Unabhängigkeit nicht anerkennen, bleibt der Status des Kosovo offen. (Szelag 2023)

3.7.2 Die Donaukommission

Bereits 1815 wurde im Wiener Kongress das Prinzip der Freien Schifffahrt auf internationalen Wasserstraßen festgelegt. Ein erstes Abkommen zur Nutzung der Donau für Schifffahrt und Handel gab es bereits mit der in einer ersten Form 1856 gegründeten Donaukommission. Der Grundstein für die Donaukommission in ihrer heutigen Form wurde 1948 mit dem Abkommen von Belgrad gesetzt, die seit 1956 ihren Sitz in Belgrad hat (Ugrósdy et al. 2019). Heute sind elf Länder Mitglied der Donaukommission: Österreich, Bulgarien, Ungarn, Deutschland, Moldawien, Russland, Rumänien, Serbien, Slowakei, Ukraine und Kroatien (Danube Commission 2023).

Innerhalb der Donaukommission wurde 1967 eine Arbeitsgruppe für wissenschaftliche Hydrologie gegründet, die sich unter anderem mit den Themen Evapotranspiration, Flussausbildung und Stauraumbemessung auseinandersetzen sollte. Beteiligt waren die damalige Tschechoslowakei, Ungarn, Bulgarien und die Sowjetunion. 1971 wurde die vollständige Wasserbilanz für das Donaugebiet zu einer weiteren Aufgabe der Arbeitsgruppe. Als Ergebnis wurde 1972/73 eine mehrjährige mittlere Bilanz der beteiligten Länder veröffentlicht, koordiniert durch das Institut für Wasserforschung (VÚVH) in Bratislava. Da sich die Bundesrepublik Deutschland, Österreich, Jugoslawien und Rumänien allerdings nicht beteiligten, fiel diese nur sehr lückenhaft aus. Erst 1974 kann eine forschungsbezogene Kooperation aller (damals acht) großen Donauländer in Form von zwei Forschungsgruppen zustande. Die erste Gruppe, bestehend aus Tschechoslowakei, Ungarn, Bulgarien und der Sowjetunion, arbeitete Weiterhin in der Arbeitsgruppe der Donaukommission mit Sitz in Bratislava. Die zweite Gruppe wurde von den vier neuen Ländern Österreich, Jugoslawien, Rumänien und Deutschland gebildet, die jeweils in ihrem Nationalkomitee für das Internationale Hydrologische Programm (IHP) der UNESCO arbeiteten. Sie wurden durch das technische Sekretariat in Belgrad koordiniert. Ziel der Zusammenarbeit war die Erstellung einer Monografie über das Donau-Einzugsgebiet mit drei Hauptthemen: Zum einen die physikalischen, geographischen und wasserwirtschaftlichen Merkmale des Donau-einzugsgebiets, zum anderen die Merkmale seines Abflussregimes sowie eine Hydrologische Bilanz für den Zeitraum 1931 bis 1970. Diese Monographie wurde 1986 in deutscher Version (Regionale Zusammenarbeit der Donauländer (RZD) 1986) und 1989 in russischer Version veröffentlicht. Seither gab es zahlreiche Veröffentlichungen in deutscher, russischer und (abweichend von den seit 1987 unveränderten

Prinzipien zur zukünftigen Zusammenarbeit der damals acht Länder) englischer Sprache in Form von 13 Ergänzungen zur ursprünglichen Monographie (Miklós 2010).

4 Methoden und Vorgehensweise

4.1 Datengrundlagen – Herkunfts nachweise

In der vorliegenden Arbeit wurden keine eigenen Rohdaten in Labor- oder Feldversuchen erhoben, sondern öffentlich zugängliche Daten verwendet. Die benötigten Daten lassen sich in zwei Hauptgruppen unterteilen: Geographische Daten, überwiegend für Hintergrundinformationen in Karten, und Pegeldaten (Abfluss und Position). Die Daten mussten von verschiedenen Portalen, die in Tab. 5 und Tab. 6 aufgelistet sind, bezogen werden. Die in diesen Tabellen genannten Abkürzungen werden in den selbst erzeugten Abbildungen für den Quellennachweis verwendet.

4.1.1 Geographische Daten / Kartenmaterial

Tab. 5 Auflistung der Quellnachweise für räumliche Daten zur Kartenerstellung (ausgenommen Pegelkoordinaten)

Element	Portal [Abkürzung]	URL	Datum Download
		Urheberrecht	
DEM	Copernicus: EU-DEM v1.1 [EEA]	https://land.copernicus.eu/imagery-in-situ/eu-dem/eu-dem-v1.1/view	14.06.2023
		European Environment Agency (EEA) under the framework of the Copernicus programme	
Ländergrenzen	Eurostat [EuStat]	https://ec.europa.eu/eurostat/web/gisco/geodata/reference-data/administrative-units-statistical-units/countries	11.05.2023
		© EuroGeographics bezüglich der Verwaltungsgrenzen [@EuroGeographics]	
Grenze Kosovo	Princeton University Library – Digital Maps & Geospatial Data [PUL]	https://maps.princeton.edu/catalog/stanford-pt278dg2451	03.07.2023
		Hijmans, Robert J. University of California, Berkeley. Museum of Vertebrate Zoology. National Boundary, Kosovo, 2015. [Shapefile]. University of California, Berkeley. Museum of Vertebrate Zoology. Retrieved from https://maps.princeton.edu/catalog/stanford-pt278dg2451	
Pegel-Einzugsgebiete Subregionen (von Einzugsgebieten)	Global Runoff Data Center (GRDC) [GRDC]	https://portal.grdc.bafg.de/applications/public.html?publicuser=PublicUser#data-Download/Subregions The Global Runoff Data Centre, 56068 Koblenz, Germany	12.04.2023

Element	Portal [Abkürzung]	URL	Datum Download
		Urheberrecht	
Einzugsgebiets-grenzen, abge-leitet	HydroBAS-INS [HydBAS]	https://www.hydrosheds.org/products/hydrobas-ins#downloads	14.06.2023
		Lehner und Grill (2013): Data is available at www.hydrosheds.org.	
Hauptwasser-scheide	Continental Divides of the European Mainland [CDEM]	https://continental-divide.eu/download/WS_EU_MAIN_20220216.zip	03.07.2023
		Continental Divides of the European Mainland	
Fließnetz (abgeleitet)	HydroRIV-ERS [HydRIV]	https://www.hydrosheds.org/products/hydrivers#downloads	24.04.2023
		Lehner und Grill (2013): Data is available at www.hydrosheds.org.	
Fließnetz (kartiert + Ergänzung mit abgeleiteten Fließwegen)	Copernicus; EU-Hydro - River Network Database [EEG]	https://land.copernicus.eu/imagery-in-situ/eu-hydro/eu-hydro-river-network-database	14.06.2023
		European Environment Agency (EEA) under the framework of the Copernicus programme	

Die Herleitung des Gesamtgebietes einschließlich Delta ist in Anh. Abb. 1 genauer dargestellt.

4.1.2 Abflussdaten und Pegelinformationen

Tab. 6 Auflistung der Quellnachweise der Pegellisten, Pegelkoordinaten und Abflussdaten

Region	Element	Portal [Abkürzung]	URL	Datum Download
		Urheberrecht		
Gesamt	Pegelliste Pegelko-ordinaten	Global Runoff Data Center [GRDC]	https://portal.grdc.bafg.de/applications/public.html?publicuser=PublicUser#dataDownload/StationCatalogue	12.04.2023
			The Global Runoff Data Centre, 56068 Koblenz, Germany	
	Abfluss-daten	Global Runoff Data Center [GRDC]	https://portal.grdc.bafg.de/applications/public.html?publicuser=PublicUser#dataDownload/Subregions	12.04.2023
			The Global Runoff Data Centre, 56068 Koblenz, Germany	
Deutsch-land -	Pegelliste	Daten- und Kartendienst der	http://udo.lubw.baden-wuerttemberg.de/projekte/p/bwabfl_start;	25.04.2023

Region	Element	Portal [Abkürzung]	URL	Datum Download
		Urheberrecht		
Deutschland - Bayern	Abfluss- daten	Landesanstalt für Umwelt Baden- Württemberg (LUBW); UDO (Umwelt- Daten und -Kar- ten Online) der LUBW [LUBW]	https://udo.lubw.baden-wuerttemberg.de/projekte/q/5ZAXTrA2OioMe5C3zgsNXc; https://udo.lubw.baden-wuerttemberg.de/projekte/q/KUn9N0oHYgBnD-pIIgoNxx	
			Grundlage: Daten aus dem Umweltinfor- mationssystem (UIS) der LUBW Lan- desanstalt für Umwelt Baden-Württem- berg	
			https://udo.lubw.baden-wuerttemberg.de/public/q/4i3l7XiEufYOJvg30GKvl9	25.04.2023
	Pegelko- ordinaten	Hochwasservor- hersagezentrale Baden-Württem- berg [HVZ-BW]	Grundlage: Daten aus dem Umweltinfor- mationssystem (UIS) der LUBW Lan- desanstalt für Umwelt Baden-Württem- berg	
			https://www.hvz.baden-wuerttemberg.de/	
	Pegelliste Pegelko- ordinaten Abfluss- daten	Gewässerkundli- cher Dienst Bay- ern (Bayerisches Landesamt für Umwelt) [LfU]	© Landesanstalt für Umwelt Baden- Württemberg	25.04.2023
Schweiz	Pegelliste Pegelkoor- dinaten	Bundesamt für Umwelt BAFU; Datenservice Hydrologie für Gewässer und Seen – Stations- listen [BAFU]	https://www.bafu.admin.ch/dam/bafu/de/dokumente/hydrologie/fachinfo-daten/verzeichnis_der_eidgenoessischenhydrometrischenstationen-aufende2.pdf https://www.hydrodaten.admin.ch/de/seen-und-fluesse/messstationen-zustand	18.- 21.04.2023
			Eidgenössisches Departement für Um- welt, Verkehr, Energie und	

Region	Element	Portal [Abkürzung]	URL	Datum Download
			Urheberrecht	
	Abfluss- daten	Bundesamt für Umwelt BAFU; Datenservice Hydrologie für Gewässer und Seen - Datenbe- stellung (per On- line-Formular an- hand Pegelliste) [BAFU]	Kommunikation UVEK Bundesamt für Umwelt BAFU Abteilung Hydrologie	25.05.2023
			https://www.bafu.admin.ch/bafu/de/home/themen/wasser/zustand/daten/messwerte-zum-thema-wasser-beziehen/datenservice-hydrologie-fuer-fliessgewaesser-und-seen.html	
Österreich	Pegelliste	eHYD; Bundesministe- rium für Land- und Forstwirt- schaft, Regionen und Wasserwirt- schaft [eHYD]	https://ehyd.gv.at/assets/eHYD/html/pegelliste.html Bundesministerium für Land- und Forst- wirtschaft, Regionen und Wasserwirt- schaft Unternehmensgegenstand: Öffentliche Verwaltung Stubenring 1, 1010 Wien, Österreich.; © BML 2022	03.05.2023
	Pegelkoor- dinaten Abfluss- daten	eHYD; Bundesministe- rium für Land- und Forstwirt- schaft, Regionen und Wasserwirt- schaft [eHYD]	https://ehyd.gv.at/# Bundesministerium für Land- und Forst- wirtschaft, Regionen und Wasserwirt- schaft Unternehmensgegenstand: Öffentliche Verwaltung Stubenring 1, 1010 Wien, Österreich.; © BML 2022	
Tschechien	Pegelliste Pegelkoor- dinaten Abfluss- daten	Informační sys- tému veřejné správy (ISVS) (Informationssys- tem der öffentli- chen Verwaltung) [ISVS]	https://isvs.chmi.cz/ords/f?p=11002:11:05905649307552:::11:P11_SEQ:1586874 Český hydrometeorologický ústav (ČHMÚ) (Tschechisches Hydrometeoro- logisches Institut)	09.06.2023
Slowa- kei	Pegelliste	Ministry of Envi- ronment of the	https://www.shmu.sk/en/?page=765&station_id=5140	

Region	Element	Portal	URL	Datum
		[Abkürzung]	Urheberrecht	Download
Pegelkoordinaten Abflussdaten	Slovak Republic; Slovak Hydrometeorological Institute [SHMU]	© 2023 Slovak hydrometeorological institute		12.06.2023
		https://www.shmu.sk/en/?page=948; https://www.shmu.sk/sk/?page=1721	© 2023 Slovak hydrometeorological institute	

4.2 Datenbeschaffung (Pegellisten, Abflussdaten und Koordinaten)

Die Abflussdaten wurden überwiegend von Landesbehörden bezogen, die Daten in der Region in ihrem Zuständigkeitsbereich bereitstellen. Beim Bezug der Pegel- und Abflussdaten war auf jedem Portal ein anderes, teils sehr zeitintensives Vorgehen und bei manchen Quellen eine umfangreiche Nachbereitung notwendig. Außerdem wurden bei jeder Behörde unterschiedliche Formatierungen für die Abflusszeitreihen verwendet, was im Anschluss an die Datenbeschaffung eine Vereinheitlichung erforderlich machte. Nachfolgend wird das Vorgehen zur Datenbeschaffung für die jeweilige Region erläutert. Die genauen Quellennachweise sind in Tab. 6 aufgelistet.

4.2.1 Deutschland (Baden-Württemberg): LUBW

PEGELLISTE: Die im Projekt „Regionalisierte Abfluss-Kennwerte Baden-Württemberg“ enthaltenen Pegel für HQ und MQ/MNQ (zwei Listen) wurden anhand der Pegel-IDs vereint, wodurch sich eine Liste von 110 Pegeln ergab.

ABFLUSSDATEN: Beim manuellen Download (Station: "Standort" aus Pegelliste, Komponente: Schüttung, Durchfluss, Q, m³/s, Produkt: Tagesmittelwert, Zeitraum: 01.01.1900 - 24.04.2023) gab es 4 Fälle:

Tab. 7 Verschiedene Fälle in der Datenverfügbarkeit für Abflussdaten beim LUBW

	1)	2)	3)	4)
Fall	Kein Download für Standort + Pegel-ID verfügbar	1 Download für Standort + Pegel-ID verfügbar	Fall 2) UND weitere Downloads für Standort + abweichende Pegel-ID verfügbar	Fall 2) UND weitere Downloads für ähnlichen Standort + abweichende Pegel-ID
Vorgehen	Eintragung „nein“ in die Metadaten-Spalte „Download“	Eintragung „ja“ in die Metadaten-Spalte „Download“ Datenspeicherung: <i>Pegelnummer.csv</i>	Eintragung „ja“ in die Metadaten-Spalte „Download“ Datenspeicherung: <i>Pegelnummer.csv</i> <i>Pegelnummer(alternativePegelnummer).csv</i>	Eintragung „ja“ in die Metadaten-Spalte „Download“ Ergänzen neuer Zeilen für ähnlichen Standort (z.B. Teilpegel von Summenpegel) Datenspeicherung jeweils: <i>Pegelnummer.csv</i>
Anzahl	19	71	20 Pegel + insgesamt 22 Ergänzungsdatensätze	3 zusätzliche Pegel

Insgesamt war für 94 Pegel ein Download verfügbar. Jeder Pegel musste einzeln gesucht und die Daten des einzelnen Pegels heruntergeladen werden.

KOORDINATEN: Anhand des Standorts (Bezeichnung auf dem Portal der Pegelliste) bzw. der Station (Bezeichnung auf dem Portal zum Abflussdatendownload) wurden die Pegel auf der Internetseite der Hochwasservorhersagezentrale gesucht, um die Koordinaten aus deren Stammdaten zu übernehmen. Für 64 der 94 Pegel, für die ein Download verfügbar war, konnten Koordinaten ermittelt werden. Alle diese 64 Pegel befinden sich im Einzugsgebiet bis Bratislava.

4.2.2 Deutschland (Bayern): LfU

PEGELLISTE: Die erste Pegelliste wurde durch Auswahl folgender Regionen zusammengestellt:

- Iller-Lech-Bodensee
- Inn
- Isar
- Naab-Regen
- Obere Donau
- Untere Donau

Es ergab sich eine Liste von 424 Pegeln.

ABFLUSSDATEN: Für 372 Pegel war ein Datendownload des täglichen Abflusses auf der Seite des Gewässerkundlichen Dienstes Bayern (Bayerisches Landesamt für Umwelt) möglich. Dafür musste jeder Pegel einzeln gesucht, für jeden Pegel erneut das gewünschte Produkt und der gewünschte Zeitraum ausgewählt und beim Abspeichern die korrekte Pegelnummer für die Benennung des Ordners eingegeben werden. Die Daten wurden für jeden Pegel in 4 Teildatensätzen (1. Aufzeichnungsbeginn bis Ende des letzten abgeschlossenen Kalenderjahres, 2. Abgeschlossene Monate des aktuellen Jahres, 3. Abgeschlossene Tage des aktuellen Monats, 4. Vorläufiger Wert des aktuellen Tages) zur Verfügung gestellt, die im Anschluss (Datensätze 1-3) zusammengeführt werden mussten.

KOORDINATEN: Anhand der im jeweiligen Datensatz (Abflussdaten) hinterlegten Koordinaten wurden die Pegel in GIS eingeladen und mit dem Donau-Einzugsgebiet abgeglichen (z.B. zählt der Bodensee nicht zum Donau-Einzugsgebiet). 347 dieser Pegel befinden sich tatsächlich im Donau-Einzugsgebiet. Sie liegen alle oberhalb Bratislava.

4.2.3 Schweiz: BAFU

PEGELLISTE: Anhand der Karte zum Abfluss und Wasserstand vom „Bundesamt für Umwelt BAFU Hydrologische Daten und Vorhersagen“ wurde eine Liste von 15 Pegeln, die im Donau-Einzugsgebiet liegen, zusammengestellt.

ABFLUSSDATEN: Über das Online-Portal wurden die Abflussdaten dieser Pegel angefragt. Für 12 der angefragten Pegel waren Abflussdaten verfügbar, für die übrigen 3 nur Daten zum Wasserstand.

KOORDINATEN: Aus den Online-Steckbriefen der Pegel, die in der Karte zum Abfluss und Wasserstand auswählbar sind, wurden die Pegelkoordinaten übernommen und manuell in eine Metadatentabelle übertragen.

4.2.4 Österreich: eHYD

PEGELLISTE: Das hydrographische Messnetz in Österreich umfasst 610 Pegel, für die auf dem eHYD-Portal Daten verfügbar sind (Abteilung Wasserhaushalt 2022). Eine Liste dieser Pegel konnte jedoch nicht ausfindig gemacht werden. Stattdessen konnte eine Liste von 313 Pegeln gefunden werden (eHYD > Aktuelle Daten > Pegelliste).

ABFLUSSDATEN: Über das Online-Portal eHYD wurden anhand der HZBNR aus der Pegelliste – sofern möglich – die täglichen Abflussdaten einzeln heruntergeladen. Dabei wurde in der Pegelliste drei Fälle dokumentiert: 1) Abflussdaten verfügbar, 2) lediglich Wasserstandsdaten verfügbar und 3) Pegel nicht über die Suchfunktion zu finden.

Zusätzlich zur Liste wurden außerdem die Pegel mit den HZBNR 211573, 211870, 211516, 203521, 203968 und 206409 heruntergeladen, bei denen es sich in der Regel um Summenpegel aus Gewässern und Kanal handelt.

Insgesamt wurden für 260 Pegel Abflussdaten heruntergeladen.

KOORDINATEN: Die Koordinaten der Pegel wurden als Bundesmeldenetzkoordinaten (zusammen mit der Höhe) aus den Datensätzen ausgelesen. Laut Wikipedia (2022) gelten für das Bundesmeldenetz Österreich verschiedene Projektionen:

M28, M31 und M34 (d. h. 28° , 31° und 34° östlich Ferro)

- MGI / Austria GK M28 (EPSG:31257)
- MGI / Austria GK M31 (EPSG:31258)
- MGI / Austria GK M34 (EPSG:31259)

Hierbei bedeutet "GK" Gauss-Krüger, was für die Interpretation des y-Wertes ausschlaggebend ist.

Allerdings ist weder in den Downloaddaten noch im Stammdatenblatt hinterlegt, welches dieser drei Systeme für die jeweils hinterlegten Koordinaten gilt. Daher wurden alle drei Projektionen getestet. Dabei zeigte sich, dass je nach Pegel und Region verschiedene Projektionen gelten.

Um zu filtern, welcher Pegel mit welcher Projektion abgebildet werden muss, wurden alle Pegel zuerst mit der M28-Projektion, dann mit der M31-Projektion und als letztes mit der M34-Projektion in GIS eingeladen (vgl. Abb. 11 oben) und als Hintergrundkarte die OpenStreetMap Standard verwendet, um bei allen drei Durchgängen die Position jedes einzelnen Punktes zu prüfen. Stimmten Gewässer und Stationsname aus der Attributabelle und die Informationen aus der OpenStreetMap-Karte überein, wurde die zutreffende Projektion in einer neu angelegten Attributtabellenspalte dokumentiert. Anhand dieses Attributs konnte die Pegelliste aufgeteilt, die Teile neu

eingeladen und letztendlich mit einem vereinheitlichten Koordinatensystem (EPSG:4326) wieder zusammengeführt werden (vgl. Abb. 11 unten).

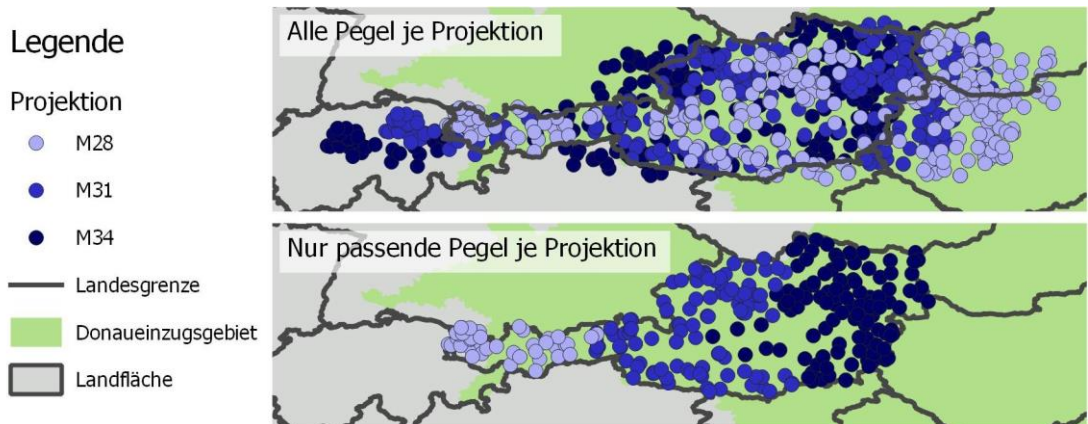


Abb. 11 Vereinheitlichung der Koordinatensysteme in Österreich von den drei Projektionen im Bundesmeldenetz (MGI / Austria GK M28 (EPSG:31257); MGI / Austria GK M31 (EPSG:31258); MGI / Austria GK M34 (EPSG:31259) auf eine Projektion (EPSG:4326) (Eigene Abbildung aus Quellen: eHYD, EuStat, GRDC, HydBASE)

Von den 260 heruntergeladenen Pegeln befinden sich 232 im Donaueinzugsgebiet und 145 im Einzugsgebiet bis Bratislava.

4.2.5 Tschechien: ISVS

PEGELLISTE: Auf der Plattform „Informační systém veřejné správy – VODA“ (Informationssystem für die öffentliche Verwaltung - WASSER) des Tschechischen Hydrometrischen Instituts findet sich im Bereich „Evidence množství povrchových vod“ (Aufzeichnungen über die Menge des Oberflächenwassers) bei den Einzugsgebieten erster Ordnung eine Liste aller Pegel im tschechischen Donaueinzugsgebiet („povodí Dunaje“). Diese wurde abgespeichert, wodurch sich eine Liste von 151 Pegeln ergab.

ABFLUSSDATEN: In der oben genannten Online-Liste können die einzelnen Stationen ausgewählt werden und dort u.a. die Zeitreihen des täglichen Abflusses nacheinander heruntergeladen werden. Für alle 151 Pegel sind tägliche Abflussdaten verfügbar gewesen.

KOORDINATEN: Zusammen mit den Abflusszeitreihen wird automatisch auch je ein Metadatenblatt in tschechischer und englischer Sprache heruntergeladen, aus denen sowohl die Koordinaten als auch das Koordinatensystem entnommen werden können. Für alle 151 Pegel sind Koordinaten verfügbar gewesen.

Bis Bratislava tragen 149 Pegel zum Abfluss bei.

4.2.6 Slowakei: SHMU

PEGELLISTE: Das Slowakische Hydrometeorologische Institut betreibt 420 Pegel zur Beobachtung der Oberflächengewässer (ústav 2023a), die vermutlich nicht alle im Donaueinzugsgebiet liegen, da nur ein Teil der Landesfläche in die Donau entwässert (vgl. Abb. 10). Eine Liste von 29 Pegeln, die an den slowakischen Zuflüssen bis Bratislava liegen, wurde mithilfe der Pegelkarte des SHMU (ústav 2023b) manuell erstellt (Stationsname, Gewässer, Region und Gebiet wurden beim Anwählen einzelner Pegel angezeigt).

ABFLUSSDATEN + KOORDINATENSYSTEM: Anhand der Pegelliste wurden (in englischer und slowakischer Sprache; übersetzt mit DeepL) Daten zu Position und Abflusszeitreihen über zwei Wege angefragt: Über das Online-Formular zur Dateneinsicht nach den EU-Vorgaben (<https://www.shmu.sk/sk/?page=1721>) sowie per Mail an die Leitung der Abteilung zur Wassermenge (E-mail: zuzana.danacova@shmu.sk). Es gab in beiden Fällen keine Rückmeldung, sodass keine Daten bezogen werden konnten.

4.2.7 International: GRDC

PEGELLISTE: Auf dem Portal des Global-Runoff-Data-Center kann die Liste aller dort verfügbaren Pegel (über 10.000) heruntergeladen werden. Hier sind neben Stationsname und Gewässer unter anderem auch die Koordinaten der Pegel hinterlegt, anhand derer die Liste auf 324 Pegel im gesamten Donaugebiet eingeschränkt werden konnte. An den Zuflüssen und der Donau oberhalb Bratislava sind beim GRDC 184 Pegel hinterlegt.

ABFLUSSDATEN: Die Abflussdaten können nach Teilregionen (Subregion) gruppiert heruntergeladen werden. Für das gesamte Donaueinzugsgebiet waren das die Subregionen „DANUBE“, „INN“, „DRAVA“, „SAVA“, „VELIKI MORAVA“ und „TISZA (auch TISA/TYSA)“, für die die täglichen Abflussdaten bezogen wurden.

KOORDINATEN: Die Koordinaten der Pegel sind bereits in der heruntergeladenen Pegelliste hinterlegt. Im gesamten Donaueinzugsgebiet werden beim GRDC 324 Pegel bereitgestellt, von denen 184 Pegel an der Donau und ihren Zuflüssen oberhalb und in Bratislava liegen.

4.3 Selektion geeigneter Pegel und Auswahl Untersuchungszeitraum

Um aus den insgesamt 901 Pegeln, für die sowohl Koordinaten als auch Abflussdaten verfügbar waren, die für weitere Analysen qualitativ geeigneten Pegel auszuwählen, wurden zunächst 4 Qualitätsmerkmale festgelegt:

- 1) Länge/ Zeiträume der Zeitreihe
- 2) Vollständigkeit der Daten (im jeweiligen Zeitfenster) → Anteil der Fehlwerte
- 3) Kontinuität der Daten (im jeweiligen Zeitfenster) → Fehlwerte am Stück
- 4) Auflösung der Daten (im jeweiligen Zeitfenster) → Anteil an Daten mit Mindestanzahl geltender Ziffern¹

In einem ersten Durchgang wurden als Eignungskriterien folgende festgelegt:

- 1) Länge min. 40 Jahre (getestet wurden verschiedene Zeiträume, vgl. Tab. 8)
- 2) Anteil der Fehlwerte max. 1%
- 3) Maximale Lückenlänge: 21 Tage am Stück
- 4) Anteil der Daten mit min. 3 Ziffern: min 80%

Tab. 8 Liste der im ersten Durchgang geprüften Zeitspannen zur Auswahl geeigneter Pegel

Zeitraum	Start	Ende	Jahre	Abkürzung
Okt 77 – Sep 17	1977-10-01	2017-09-30	40	hydO17
Nov 77 – Okt 17	1977-11-01	2017-10-31	40	hydN17
Jan 78 – Dez 17	1978-01-01	2017-12-31	40	kalJ17
Okt 78 – Sep 18	1978-10-01	2018-09-30	40	hydO18
Nov 78 – Okt 18	1978-11-01	2018-10-31	40	hydN18
Jan 79 – Dez 18	1979-01-01	2018-12-31	40	kalJ18
Okt 79 – Sep 19	1979-10-01	2019-09-30	40	hydO19
Nov 79 – Okt 19	1979-11-01	2019-10-31	40	hydN19
Jan 80 – Dez 19	1980-01-01	2019-12-31	40	kalJ19
Okt 80 – Sep 20	1980-10-01	2020-09-30	40	hydO20
Nov 80 – Okt 20	1980-11-01	2020-10-31	40	hydN20
Jan 81 – Dez 20	1981-01-01	2020-12-31	40	kalJ20
Okt 81 – Sep 21	1981-10-01	2021-09-30	40	hydO21
Nov 81 – Okt 21	1981-11-01	2021-10-31	40	hydN21
Jan 82 – Dez 21	1982-01-01	2021-12-31	40	kalJ21

¹ (Als geltende Ziffern wurden im Rahmen dieser Arbeit alle Ziffern außer vorangestellte Nullen vor dem Komma gewertet (z.B. 1,11 → 3 Ziffern; 01,1 → 2 Ziffern; 01,10 → 3 Ziffern; 0,01 → 3 Ziffern))

Daraus ergaben sich die in Abb. 12 zusammengefassten Anzahlen geeigneter Pegel, die nach Datenquellen differenziert sind. Im Vergleich von Zeitspannen, die im gleichen Jahr enden, werden in der Regel für Kalenderjahr-Zeitspannen mehr Pegel als geeignet eingestuft, als für Zeitspannen, die sich am hydrologischen Jahr (beginnend ab Oktober oder November) orientieren. Dabei umfasst die Zeitspanne „Januar 1979 – Dezember 2018“ am meisten geeignete Pegel. Allerdings sind in dieser Zeitspanne keine Daten vom Tschechischen Hydrometrischen Institut (ISVS) verfügbar. Umgekehrt sind in Zeitfenstern, in denen die Daten des ISVS für 40-Jahres-Zeitreihen verwendet werden können, keine Daten aus Österreich und sehr wenige bis keine Daten des Global Runoff Data Center (GRDC) verwendbar.

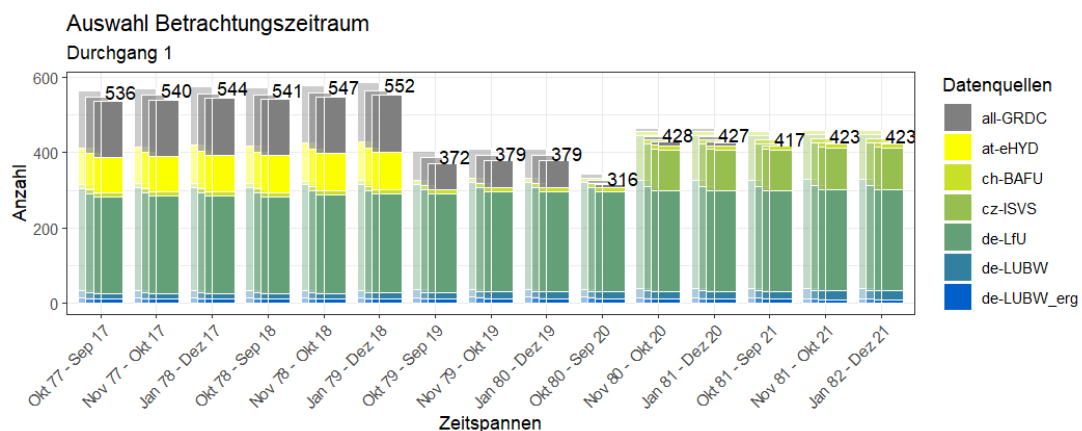


Abb. 12 Anzahl der geeigneten Pegel für die Zeitspannen des ersten Durchgangs nach Anwendung der Eignungskriterien (EK1: Daten für die jeweilige Zeitspanne vorhanden; EK2: maximal 1% Datenlücke in jeweiliger Zeitspanne; EK3: maximale Länge von 21 Tagen je Datenlücke in jeweiliger Zeitspanne; EK4: Anteil der Messwerte mit min. 3 Ziffern von min 80%) je Zeitspanne; Gruppierte Balken je Zeitspanne von links nach rechts: Anzahl der Pegel, die EK1 / EK1+2 / EK1+2+3 / EK1+2+3+4 erfüllen; Beschriftung: Anzahl Pegel je Zeitfenster, die alle 4 Kriterien erfüllen.

Daher wurden in einem zweiten Durchgang etwas verkürzte Zeitfenster (vgl. Tab. 9) unter Beibehaltung der übrigen Eignungskriterien getestet, um Pegeldaten aus allen betrachteten Regionen verwenden zu können. Da die Abflussdaten am Pegel Bratislava am 31.12.2017 enden und dieser Pegel als unterster im Untersuchungsgebiet den gesamten Abfluss zusammenfasst, wurden die Zeitspannen an diesen Pegel angeglichen, um ihn in die Untersuchung einbeziehen zu können, auch wenn so nicht die aktuellsten Daten einbezogen werden können.

Tab. 9 Liste der im zweiten Durchgang geprüften Zeitspannen zur Auswahl geeigneter Pegel

Zeitraum	Start	Ende	Jahre	Abkürzung
Okt 80 – Sep 16	1980-10-01	2016-09-30	36	hydO80_16
Nov 80 – Okt 16	1980-11-01	2016-10-31	36	hydN80_16
Jan 81 – Dez 16	1981-01-01	2016-12-31	36	kalJ81_16
Okt 80 – Sep 17	1980-10-01	2017-09-30	37	hydO80_17
Nov 80 – Okt 17	1980-11-01	2017-10-31	37	hydN80_17
Jan 81 – Dez 17	1981-01-01	2017-12-31	37	kalJ81_17
Okt 81 – Sep 17	1981-10-01	2017-09-30	36	hydO81_17
Nov 81 – Okt 17	1981-11-01	2017-10-31	36	hydN81_17
Jan 82 – Dez 17	1982-01-01	2017-12-31	36	kalJ82_17

Die Anzahlen der so ausgefilterten geeigneten Pegel sind in Abb. 13 zusammengefasst.

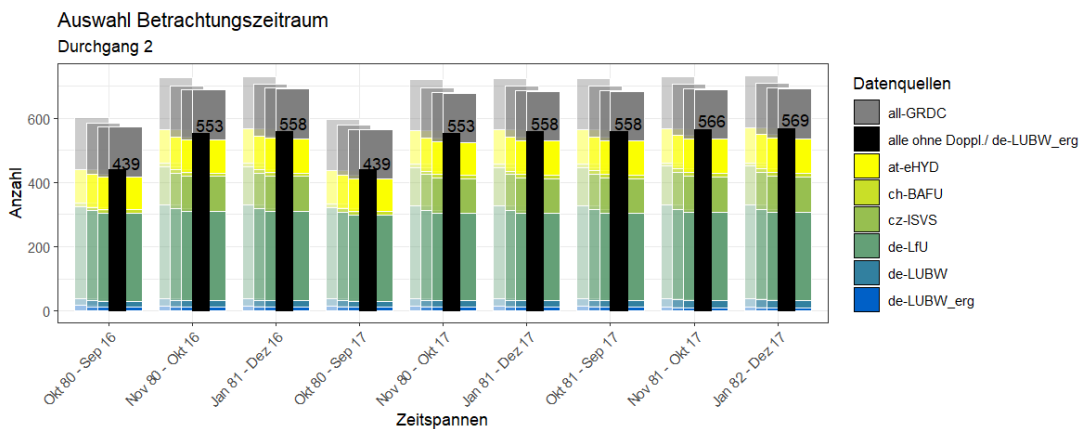


Abb. 13 Anzahl der geeigneten Pegel für die Zeitspannen des zweiten Durchgangs nach Anwendung der Eignungskriterien (EK1: Daten für die jeweilige Zeitspanne vorhanden; EK2: maximal 1% Datenlücke in jeweiliger Zeitspanne; EK3: maximale Länge von 21 Tagen je Datenlücke in jeweiliger Zeitspanne; EK4: Anteil der Messwerte mit min. 3 Ziffern von min 80%) je Zeitspanne; gruppierte farbige Balken je Zeitspanne von links nach rechts: Anzahl der Pegel, die EK1 / EK1+2 / EK1+2+3 / EK1+2+3+4 erfüllen; schwarzer Balken: Anzahl der Pegel, die alle 4 Kriterien erfüllen, ohne doppelte Pegel und Pegel vom LFU, die Ergänzungsdaten erfordern würden. Beschriftung: Anzahl Pegel des Schwarzen Balkens.

Hier ist außerdem die Gesamtzahl geeigneter Pegel in den verkürzten Zeiträumen dargestellt, die folgende Pegel *nicht* miteinbezieht:

- Beim LUBW sind für einige Pegel mehrere Datensätze unter dem gleichen Stationsnamen aber unterschiedlichen Pegelnummern verfügbar (vgl. Kap. 4.2.1), die sich in der Regel zu einer längeren Zeitreihe zusammensetzen lassen. Das LUBW vergibt neue Pegelnummern beispielsweise, wenn ein Pegel saniert oder modernisiert wird. Pegel, die aus der Quelle „de-LUBW_erg“ stammen, weisen nur unter Verwendung der Ergänzungsdatensätze mit alter Pegelnummer eine ausreichende Länge auf. Grundsätzlich erscheint die Verwendung solcher zusammengesetzter Zeitreihen nicht unmöglich. Allerdings ist bei der

Vergabe neuer Pegelnummern eine Verlegung um einige Meter flussauf- oder abwärts und damit auch der zusätzliche oder fehlende Beitrag einer Einleitung oder eines Nebenflusses zum Abfluss am Pegel nicht ausgeschlossen. Dazu konnten aber keine Informationen eingeholt werden. Aufgrund dieses Informationsmangels und der geringen Anzahl der Pegel, die nur unter Verwendung der Ergänzungsdatensätze mit alter Pegelnummer eine ausreichende Länge aufweisen, werden diese aus der Gesamtzahl ausgeschlossen und nicht für die weitere Analyse verwendet.

- Einige Pegel sind bei mehreren Datenquellen vorhanden, z.B. sind einige beim GRDC verfügbare Pegel auch bei den jeweiligen Landesdatenbanken abrufbar. Vereinzelt sind an Landesgrenzen, die im Flussverlauf liegen, von beiden Nachbarländern Pegel an der gleichen Position betrieben. Die Dopplungen mussten manuell selektiert werden, da die Namensgebung bei den verschiedenen Quellen meist leicht verschieden (z.B. Deutsch/Englisch) war. Bei jedem Dopplungsfall wurde für die Gesamtzahl jeweils nur ein Pegel gewertet. (Auswahl zwischen doppelten Pegeln: der Pegel, der bei mindestens 2 der 3 Eignungskriterien besser abschneidet, wird verwendet, bei Gleichstand wird der Landespegel gegenüber dem GRDC vorgezogen bzw. bei zwei Landespeginen zufällig ausgewählt; Schneidet ein Pegel des GRDC besser ab als ein Landespegel, werden die GRDC-Abflussdaten und die beim Land hinterlegten Koordinaten verwendet, da diese genauer sind)

Auch bei dieser zweiten Auswahl an verkürzten Zeitfenstern sind für die Kalenderjahres-Zeitspannen jeweils die meisten Pegel geeignet. Die 36 Jahre lange Zeitspanne „Januar 1982 bis Dezember 2017“ ist zwar 1 Jahr kürzer als die 37 Jahre umfassende Zeitspanne „Januar 1981 bis Dezember 2017“, deckt aber 11 Pegel mehr ab. Da laut Deutscher Verband für Wasserwirtschaft und Kulturbau (1999) und Bayerisches Landesamt für Umwelt (LfU) (2020) für die Untersuchung von Extremereignissen eine Mindestlänge der Abflusszeitreihen von 30 Jahren empfiehlt, was von beiden Zeitspannen deutlich überschritten wird, wird im Rahmen dieser Untersuchung eine höhere räumliche Auflösung durch eine größere Pegelanzahl priorisiert.

Für die weiteren Berechnungen werden daher die Zeitspanne „Januar 1982 bis Dezember 2017“ für die verbleibenden 569 Pegel verwendet.

4.4 Ableitung longitudinaler Wert

Leider sind für die Pegel lediglich Koordinaten verfügbar gewesen, aber keine Fluss-kilometer. Auf der Internetseite der Donaukommission wird für einige Hauptpegel an der Donau zwar die Entfernung von Sulina angegeben (Danube Comission 2023), dies ist jedoch keine geeignete Grundlage für die vorliegende Arbeit.

Allerdings finden sich in den HydroRIVER-Daten und auch in den EU-Hydro River Net Shape-Files nützliche Attribute für die einzelnen Flusssegmente, derer man sich für die Ableitung von longitudinalen Merkmalen der Pegel bedienen kann (vgl. Tab. 10). Beide Quellen enthalten ein Feld mit der Länge des Stromsegments. Außerdem liefert in beiden Quellen je ein Feld Informationen über die Stromlänge vom untersten Ausfluss des gesamten Stroms bis zu einem bestimmten Punkt des jeweiligen Strom-segments. Dieser Wert steigt also flussaufwärts an. Beide Quellen liefern auch Werte, die flussabwärts ansteigen. Diese sind jedoch nicht direkt vergleichbar: HydroRIVERS beinhaltet zum einen die Fläche des Einzugsgebietes am untersten Punkt des Segments, zum anderen die Entfernung zwischen dem untersten Segmentpunkt und dem am weitesten entfernten oberen Punkt im Einzugsgebiet des Segments, quasi die Entfernung zur Quelle. Bei EU-Hydro River Net ist dagegen die kumulierte Länge der vorgelagerten Segmente hinterlegt, die eine Art Kombination aus EZG-Fläche und Abstand zur Quelle darstellt.

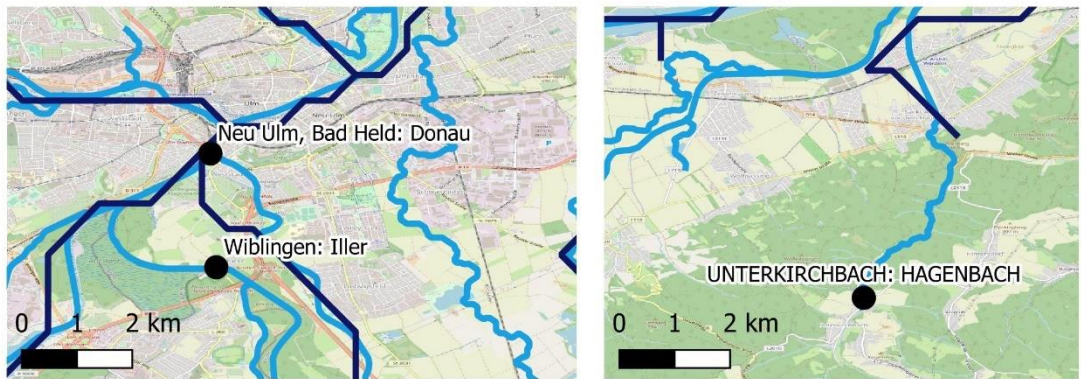
Tab. 10 Vergleich der longitudinalen Segmentattribute bei EU-Hydro-River Net und HydroRIVERS

EU-Hydro River Net		HydroRIVERS	
Feld	Beschreibung	Feld	Beschreibung
LENGTH	Länge des entspre-chenden Abschnitts [km]	LENGTH_KM	Länge des Flussabschnitts [km]
LONG-PATH	„Longest path from a mouth, which is not capturing all riv-ers from the same mouth“	DIST_DN_KM	Entfernung vom Auslass des Bereiches bis zum endgültigen flussabwärts gelege-nen Ort (Ozean oder endorheische Senke) entlang des Flussnetzes [km]
CUM_LEN	Kumulierte Länge aller vorgelagerten Segmente	DIST_UP_KM	Entfernung vom Auslass des Bereiches bis zum am weitesten flussaufwärts gele-genen Punkt auf der Wasserscheide
		UP-LAND_SKM	Gesamte zum Auslass flussaufwärts gelege-ne Fläche ohne eingeschlossene en-dorheische Zonen [km ²]

EU-Hydro River Net		HydroRIVERS	
Feld	Beschreibung	Feld	Beschreibung
STRAH-LER	Strahler-Level des Segments	ORD_STRA	Ordnung der Flüsse nach dem Strahler-Ordnungssystem
/	/	ORD_CLASS	Flussordnung nach dem klassischen Ordnungssystem
/	/	CATCH_SKM	Fläche des Einzugsgebiets, die direkt zum jeweiligen Gewässerabschnitt beträgt (ohne vorgelagerte Flächen) [km ²]

Mit Blick auf die Attributanzahl und Beschreibung, scheint das Netzwerk von HydroRIVERS geeigneter. Es müssen aber auch folgende Punkte mit bedacht werden:

- Die verwendeten Pegel befinden sich in der Regel nicht genau am Ende eines Segmentes aus den Daten von HydroRIVERS oder EU-Hydro River Net, sondern mittig. Die Attribute CATCH_SKM und UPLAND_SKM bei HydroRIVERS können also nicht direkt übernommen werden, während CUM_LEN bei EU_Hydro River NET als Annäherung an die vorgelagerte EZG-Größe recht einfach um die Länge des Flussabwärts zum Pegel gelegenen Segmentabschnitts gekürzt werden kann. Dafür liefert HydroRIVERS den Abstand vom Pegel zur weitest entfernten Quelle.
- Bei den HydroRIVERS Daten handelt es sich um eine reine Modellierung aus Niederschlags- und Geländedaten (Linie beginnt, wo EZG min. 10 km² oder Abfluss >= 0,1 m³/s oder beides ist), wohingegen in den EU-Hydro River Net Daten kartierte/eingemessene Flussabschnitte mit Modellierungen erweitert wurden, wodurch die Verortung wesentlich genauer ist (s. Abb. 14)



Legende

- HydroRIVERS
- EU-Hydro River Net
- Pegel (Name: Gewässer)
- Hintergrund: Open Street Map

Abb. 14 Vergleich der Linien-Segmente in den Shape-Files von HydroRIVERS und EU-Hydro River Net in Relation zur Lage der Pegel

Da die Informationen aus beiden Flussnetzwerk-Datenquellen hilfreich sein können, wurden für jeden in Kap. 4.3 selektierten Pegel folgende 4 Parameter ermittelt:

- Abstand zum Pegel Bratislava laut HydroRIVERS (POS_P_HR)
- Abstand zum höchsten Punkt im Pegeleinzugsgebiet laut HydroRIVERS (Dup_P_HR)
- Abstand zum Pegel Bratislava laut EU-Hydro River Net (POS_P_EU)
- Kumulierte Länge bis zum Pegel laut EU-Hydro Rivers (CuL_P_EU)

Da die Pegel jedoch nicht immer genau auf den Liniensegmenten liegen, und zusätzlich die in QGIS automatisch errechnete Segmentlänge nicht mit der angegebenen Länge in den Attributtabellen übereinstimmt, musste händisch einzeln für jeden Pegel die Segmentlänge sowie die Teilstreckenlänge über dem Pegel (bei EU-Hydro Rivers) bzw. die Teilstreckenlänge unter dem Pegel (bei HydroRIVERS) mit dem Messwerkzeug ausgemessen und die gesuchten Werte errechnet werden. Um die Vergleichbarkeit der Abstände zwischen Pegel X und dem untersten Pegel Bratislava zu gewährleisten, wurde der Pegel Bratislava als Nullpunkt angenommen. Die Vorgehensweise ist in Abb. 15 als Schema genauer dargestellt.

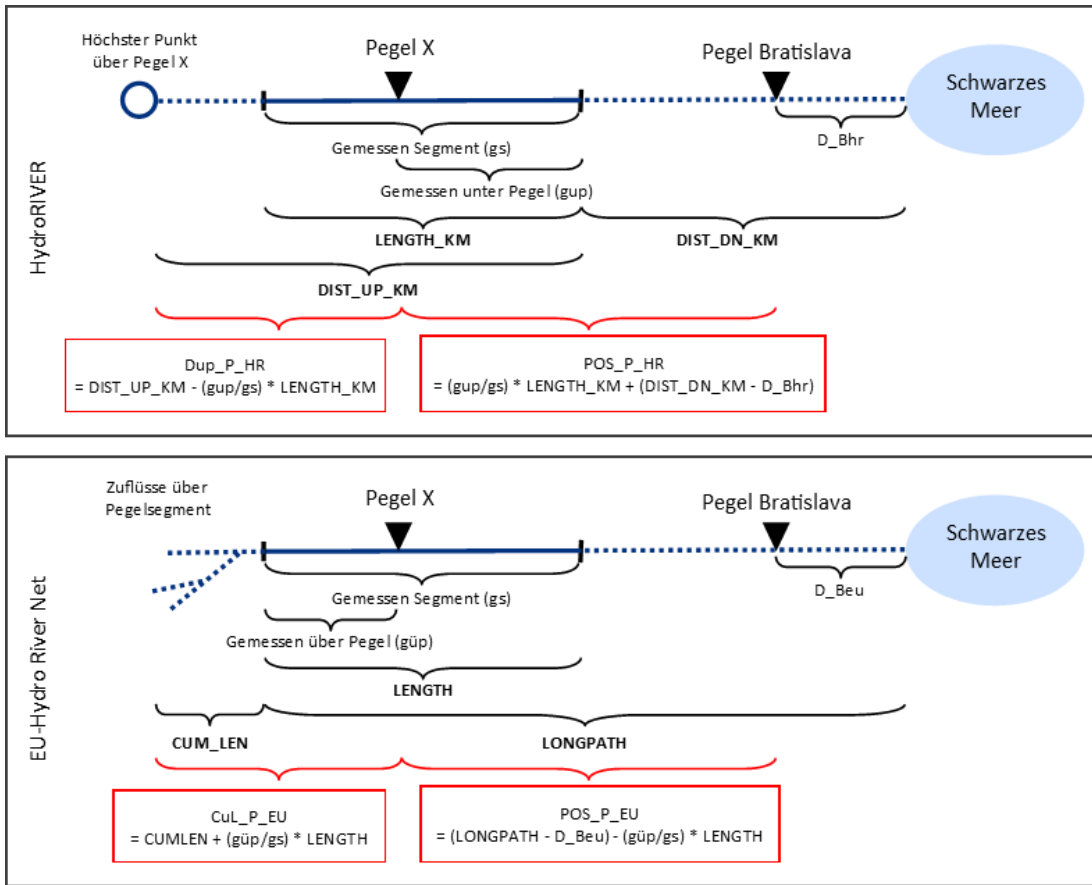


Abb. 15 Schematische Darstellung der Ermittlung der Werte POS_P_HR , Dup_P_HR , POS_P_EU und CuL_P_EU ; fett gedruckte Attribute wurden aus den jeweiligen Quellen entnommen, normal gedruckte Attribute wurden durch Messen bzw. Rechnen ermittelt; eigene Abbildung 2023

Trägt man die Positionen der Pegel in den verschiedenen Systemen gegeneinander auf (vgl. Abb. 16), zeigt sich, dass in der Regel keine gravierenden Unterschiede vorzufinden sind. Lediglich im Bereich um ca. 300 km oberhalb Bratislava finden sich einige wenige Pegel, die eine Abweichung von über 60 km erreichen, was in diesem Bereich einem Anteil von rund 20% entspricht.

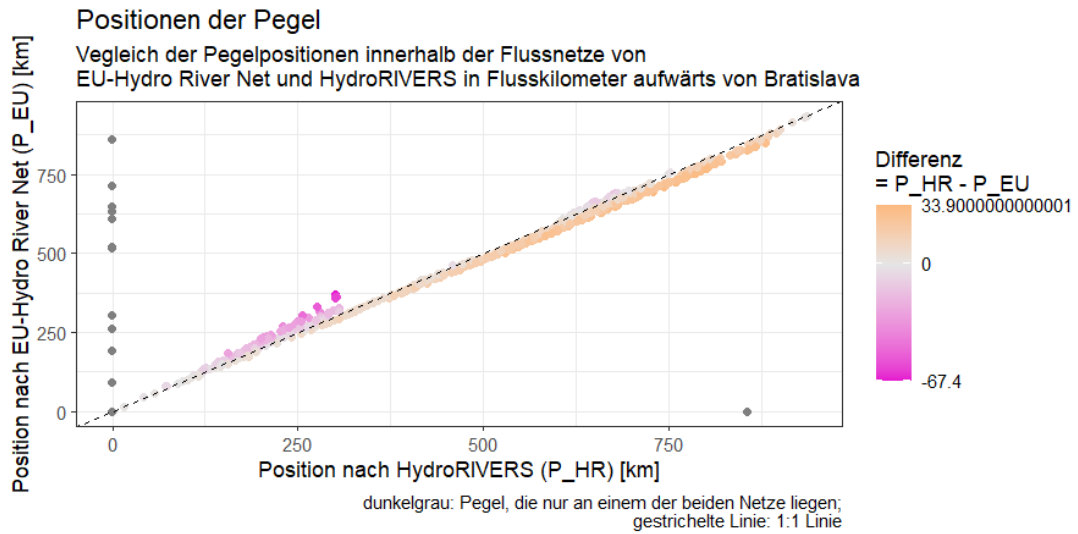


Abb. 16 Gegenüberstellung der Pegelpositionen in den Flussnetzen der verschiedenen Datenquellen mit Färbung je nach Differenz von der Position nach HydroRIVERS und EU-Hydro River Net

Im räumlichen Kontext (vgl. Abb. 17) wird deutlich, dass sich die Differenzen in einzelnen Teileinzugsgebieten in Richtung der Quellen fortpflanzen, und die Differenzen nicht willkürlich entstanden sein können. Für die weiteren Betrachtungen wird angenommen, dass die beiden Datengrundlagen als vergleichbar angenommen und verwendet werden können.

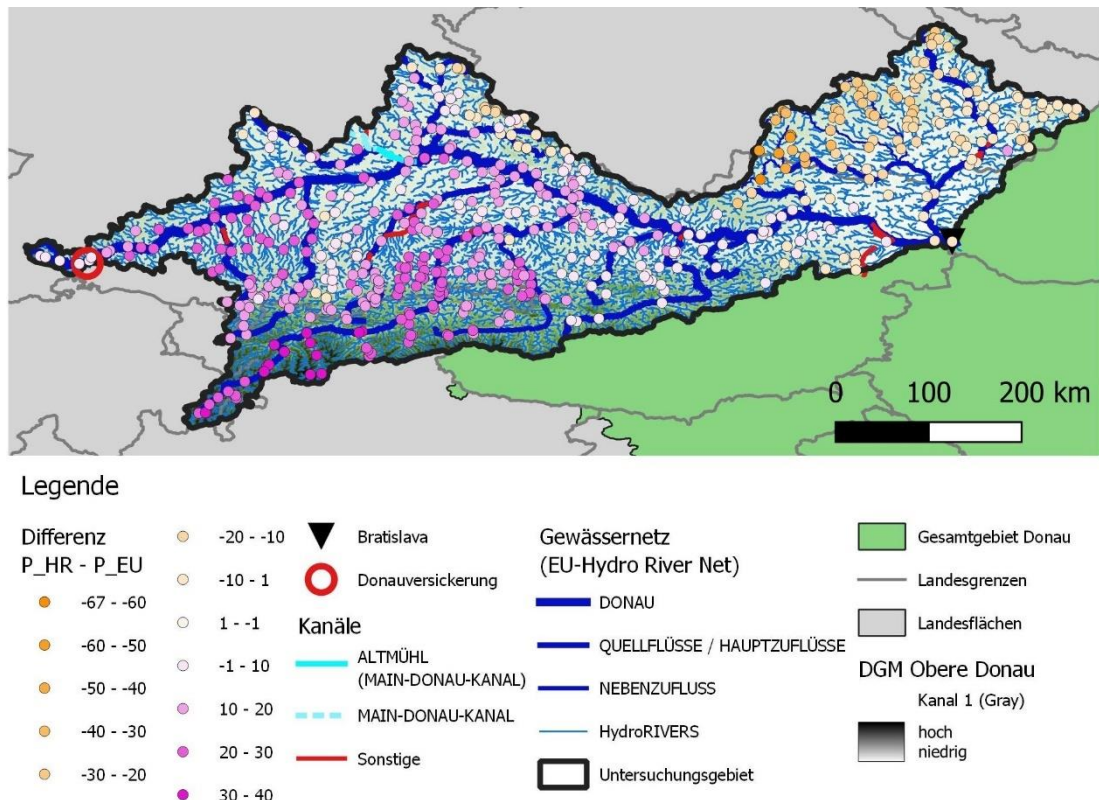


Abb. 17 Räumliche Verteilung der Pegelpositionsabweichungen [km] zwischen HydroRIVERS und EU-Hydro River Net vor dem Hintergrund von Höhenlage, Donauversickerung und diversen Kanälen

4.5 Abflussanalyse

4.5.1 Ereignisselektion

Fischer et al. (2021) haben eine Methode entwickelt, die rein aus abflussbasierten Daten Abflussereignisse mit einem „moving-window-Varianz“-Ansatz selektieren kann. Diese Methode ist im RPackage „FloodR“ implementiert und zur freien Nutzung verfügbar. Mit der Funktion „eventsep()“, der lediglich die Abflusszeitreihe bestehend aus Zeitwert und Abflusswert übergeben werden muss, werden unter anderem folgende Werte berechnet und für alle ermittelten Ereignisse je Pegel ausgegeben:

- *Begin*: Datum des jeweiligen Ereignis-Anfangs
- *End*: Datum des jeweiligen Ereignis-Endes
- *Peak_date*: Datum, an dem der Maximalabfluss des Ereignisses erreicht wird
- *DailyMQ*: maximaler mittlerer Tagesabfluss [m^3/s] des jeweiligen Ereignisses
- *Volume*: kumulierte gesamtes Abflussvolumen [Mio. m^3] des Ereignisses
- *dir_Volume*: kumulierte Volumen des Direktabflusses [Mio. m^3]
- *baseflow_peak*: Basisabfluss [m^3/s] zum Zeitpunkt des maximalen Ereignisabflusses (*Peak_date*)

Dabei nimmt die Funktion die straight-line-Methode nach Chow et al. (1988) für den Basisabfluss an. Außerdem wurden als unabhängige Ereignisse definiert(Fischer et al. 2021):

- die Abflussspitzen sind mindestens 20 Tage voneinander entfernt
ODER
- der größere Maximalabfluss ist mindestens fünfmal größer, als der kleinere Maximalabfluss
- der größere Maximalabfluss ist mehr als 2,5 mal so groß wie der niedrigste Abfluss zwischen den beiden Maximalabflüssen
- 70% des niedrigeren Abflusses sind größer als der kleinste Abfluss zwischen den beiden Maximalabflüssen

4.5.2 Ereignisparameter

Für alle aus dem vorherigen Schritt in Kap. 4.5.1 ermittelten Ereignisse je Pegel wurden die in Tab. 11 definierten Ereigniswerte berechnet.

Tab. 11 Übersicht der ermittelten Einzel-Ereignisparameter

Name	Berechnung	Erklärung [Einheit]
Dauer	$End - Begin$	Ereignisdauer [ganze Tage]
t_peak_abs	$= Peak_{date} - Begin$	Absolute Dauer bis zum Peak [ganze-Tage]
t_peak_rel	$= \frac{t_{peakabs}}{Dauer}$	Relative Dauer am Gesamtereignis bis zum Tag des Maximalabflusses [-]
Dauer_rez_rel	$= 1 - t_{peakabs}$	Relative Dauer der Rezession am Anteil des Gesamtereignisses [-]
t_cov_rel	$Dauer bsi(\max(cumsum(Q)) / Dauer)$	Relative Dauer am Gesamtereignis bis zum Center of Volume [-]
rat_max_mean	$DailyMQ / \sum_{d=1}^D Q_d / D$	Verhältnis von Maximalabfluss des Ereignisses zu mittlerem Ereignisabfluss [-] mit täglichen Abflusswerten Qd undanzahl der Tage D (entspricht Dauer)
rat_max_bas	$= DailyMQ / baseflow_{peak}$	Verhältnis von Maximalabfluss des Ereignisses zu Basisabfluss zum Zeitpunkt des Maximalen Ereignisabfluss [-]

4.5.3 Wiederkehrperiode und Eintrittswahrscheinlichkeit

Eine Flow-Duration-Curve zeigt unabhängig von der chronologischen Reihenfolge den Prozentsatz der Zeit, in der der Abfluss eines Gewässers gleich oder größer als eine bestimmte Menge ist. (World Meteorological Organisation (WMO) und United Nations Educational, Scientific and Cultural Organisation (UNESCO) 2012)

Auch Extremwerten ordnet man die Werte größensorientiert beginnend mit dem kleinsten Wert (Rang $m = 1$) aufsteigend bis zum Größten Wert (Rang $m = N$) an und ordnet ihnen eine kumulative Unterschreitungswahrscheinlichkeit p zu, für die folgende Gleichung, die auch Weibull-Formel genannt wird, gilt(Makkonen 2006):

$$p = \frac{m}{N + 1}$$

An diese Werte wird dann eine Verteilungskurve angepasst. Aus dieser Verteilungskurve können wiederum für jeden beliebigen Wert die angepasste Unterschreitungswahrscheinlichkeit abgelesen werden. Die Wiederkehrperiode (Returnperiod, „Jährlichkeit“) R errechnet sich aus der Unterschreitungswahrscheinlichkeit p :

$$R = \frac{1}{1 - p}$$

Um die Unterschreitungswahrscheinlichkeit und Wiederkehrperiode der in Kap. 4.5.1 ermittelten Ereignisse je Pegel zu berechnen, wurde zunächst mit der Peak Over Threshold Methode ein Datensatz von Extremwerten ermittelt. Bačová-Mitková und Onderka (2010) empfehlen eine Auswahl von durchschnittlich vier Werten pro Jahr und zusätzlich soll von Ereignissen, die weniger als 7 Tage (Beurton und Thieken 2009) Abstand zueinander haben, je nur der größte Wert verwendet werden, damit nur unabhängige Ereignisse gewertet werden. Daher wurde als Grenzwert das 95%-Prozent-Quantil gewählt. Die so selektierten Abflusswerte eines Pegels wurden aufsteigend geordnet und mit der Maximum-Likelihood-Estimation-Methode für die Parameter eine Pareto-Verteilung angepasst sie angepasst (Beirlant et al. 2004). Anschließend wurde anhand der ermittelten Werteverteilung sowohl die Wiederkehrperiode (HQx entspricht R) der Ereignisse je Pegel als auch die Abflussmenge bei den Wiederkehrperioden HQ5, HQ10, HQ20, HQ50 und HQ100 am jeweiligen Pegel berechnet.

Außerdem wurde mit der Methode nach Villaseñor-Alva und González-Estrada (2009) ein Goodness-of-Fit-Test durchgeführt. Der bei einem p -Wert größer 0.05 passen Originaldaten und angepasste Verteilung gut zusammen.

4.5.4 Median je Ereignisgruppe

Die in Kap. 4.5.1 wurden in folgende Gruppen (HQ_GR) eingeordnet:

- $HQ5_10$: (HQ5 des Pegels $=<$ Wiederkehrperiode des Ereignisses $<$ HQ10 des Pegels)
- $HQ10_20$: (HQ5 des Pegels $=<$ Wiederkehrperiode des Ereignisses $<$ HQ10 des Pegels)
- $HQ20_50$: (HQ5 des Pegels $=<$ Wiederkehrperiode des Ereignisses $<$ HQ10 des Pegels)
- *Sonstige*

Anschließend wurden für die Gruppen *HQ5_10*, *HQ10_20*, *HQ20_50* jeweils die Median-Werte für *Dauer*, *t_peak_abs*, *t_peak_rel*, *Dauer_rez_rel*, *t_cov_rel*, *rat_max_mean* und *rat_max_bas* (vgl. Tab. 11) sowie die Anzahl der Ereignisse je Gruppe ermittelt und dem Pegel zugeordnet. Die Ereignisse der Gruppe *Sonstige* wurde nicht behandelt, da sie für die Fragestellung nicht selten genug (und damit wenig extrem) oder zu selten (wenig Stichproben) sind.

4.5.5 Flashiness-Index

Baker et al. (2004) haben einen Index erarbeitet, der abbilden soll, wie „sprunghaft“ eine Durchgangslinie ist. Der Index bezieht sich zwar nicht nur auf extreme Ereignisse, liefert aber dennoch Hinweise darauf, wie steil die Anstiegskurven und Rezessionskurven der Ereignisse verlaufen. Er berechnet sich anhand der Anzahl n der Messwerte q mit nachstehender Gleichung:

$$R - B \text{ Index} = \frac{\sum_{i=1}^n |q_i - q_{i-1}|}{\sum_{i=1}^n q_i}$$

4.5.6 Clustering

Um die Pegel nach Ähnlichkeit in den zuvor erzeugten Werten (Medianwerte je Ereignisgruppe und BRFI) zu gruppieren, wird das k-means Cluster-Verfahren eingesetzt, das beispielsweise Beurton und Thielen (2009), Parajka et al. (2010), Brunner et al. (2020) oder Dethier et al. (2020) bei hydrologischen Daten angewendet haben.

Dem Cluster-Algorithmus können keine Datensätze mit Fehlern übergeben werden. Da bei den vorangegangenen Berechnungen nicht für alle Pegel jeder Wert ermittelt werden konnte, entfallen weitere 55 Pegel von den bisher bearbeiteten 569 Pegeln. Das Clustering wurde folglich mit einer Auswahl von 514 Pegeln durchgeführt. Diese sind zusammen mit den zum Clustern übergebenen Werten und weiteren Pegelinformationen in Anh. Tab. 1 aufgelistet.

Die optimale Anzahl an Clustern wurden mit den von Kassambara (2018) aufbereiteten Tests ermittelt. Ziel sind immer möglichst große Unterschiede in den Werten zwischen den Gruppen und möglichst kleine Unterschiede zwischen den Werten innerhalb einer Gruppe. Diese Voruntersuchung lieferte die in Abb. 18 dargestellte Empfehlung.

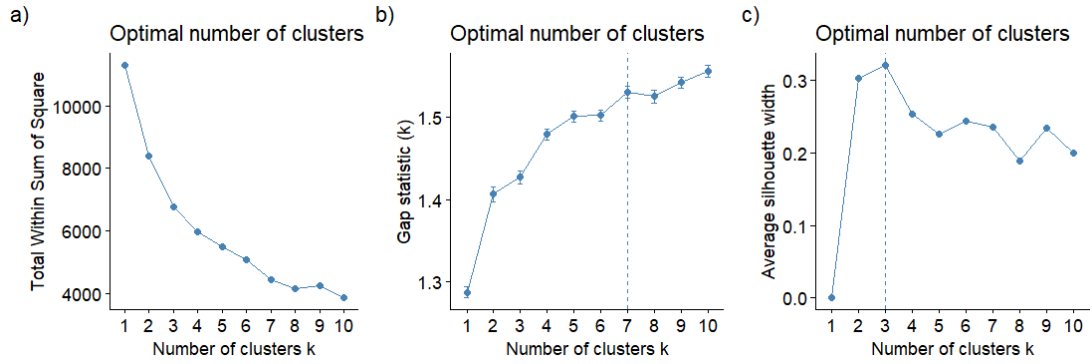


Abb. 18 a) "Ellbow method": für keiner der k -Werte wird als optimal identifiziert (kein deutlicher Knick in der Kurve); b) GAP-Statistik-Methode: für den k -Wert sieben wird das optimale Verhältnis von Clusteranzahl zu intra-Cluster-Abständen ermittelt; c) die optimale mittlere Silhouetten-Weite wird bei 3 Clustern ermittelt.

Die Ellbow-Methode liefert keinen eindeutig optimalen k -Wert, die GAP-Statistik-Methode und die Average-Silhouette-Width-Methode empfehlen einen k -Wert von 3 bzw. 7 Clustern. Da die Werte stark unterschiedlich sind, werden sowohl $k=5$ als auch $k=6$ untersucht.

5 Ergebnisse

5.1 Baker-Richards-Flashiness-Index

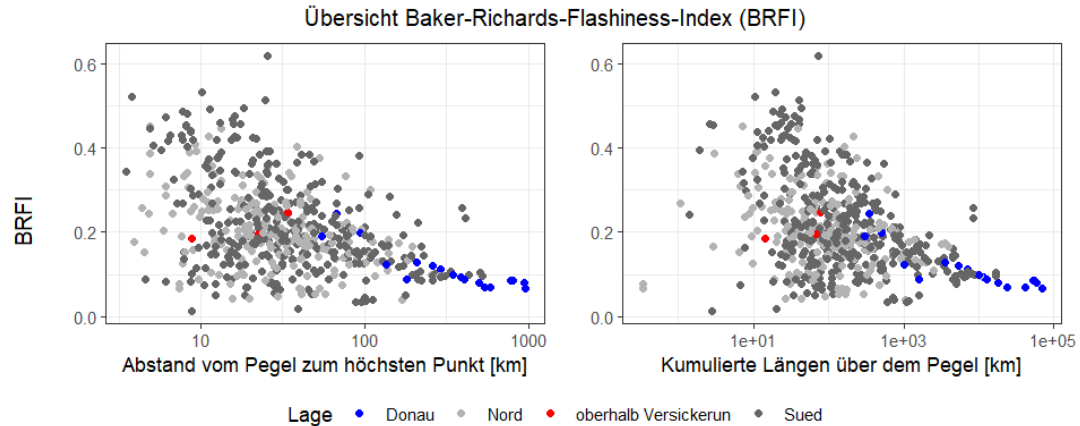


Abb. 19 Übersicht zum BRFI der Pegel in Bezug zu ihrem Abstand zur Quelle (bzw. zum höchsten Punkt über dem Pegel) und zu den kumulierten Stecken über dem Pegel differenziert nach Lage zur Donau und zur Donauversickerung

Abb. 19 visualisiert die abnehmende Variabilität des BFRI mit zunehmender Entfernung von der Quelle. Die Pegel an der Donau erscheinen auf einer gemeinsamen Linie mit sinkendem BRFI in Richtung Bratislava.

5.2 Clustering – Ereignis-Regime-Gruppen

Das Clustering wurde für zwei verschiedene Clusteranzahlen durchgeführt. die Pegel des Durchgangs mit 6 Gruppen mit 6.x. Besonders stabil erweisen sich zwei Gruppenkombinationen, denn die in ihnen enthaltenen Pegel werden bei der jeweils anderen Einteilung alle einer gemeinsamen Gruppe zugewiesen. Die Gruppen 6.3 ist vollständig in Gruppe 5.1 enthalten und Gruppe 5.5 vollständig in Gruppe 6.5. Die Pegel in den übrigen Gruppen verteilen sich immer auf eine wichtige und ein bis zwei weniger wichtige Gruppen in der jeweils anderen Gruppeneinteilung. Z.B. sind die meisten Pegel aus Gruppe 5.4 in der Gruppe 6.1 enthalten und die übrigen aus Gruppe 5.4 auf die Gruppen 6.1. und 6.2 aufgeteilt. Außerdem fällt auf, dass bei der Einteilung in 6 Gruppen, die Pegel insgesamt gleichmäßiger auf die Gruppen aufgeteilt sind als bei 5 Gruppen. Daher wurde diese Einteilung auch räumlich dargestellt (vgl. Anh. Abb. 2). Insgesamt wird aber deutlich: Bei der Änderung der Gruppenanzahl verschieben sich Pegeluntergruppen in Blöcken. Die Forschungsfrage 1) „Können Ereignisabflussganglinien in Ereignis-Regime-Gruppen untergliedert werden?“ kann also mit „ja“ beantwortet werden, da die Pegel nicht willkürlich in die Gruppen eingeteilt werden.

Tab. 12 gibt einen Überblick über die Anzahl der Pegel, die bei den beiden Durchgängen den gleichen Cluster-Kombinationen zugeordnet wurden. Zur einfacheren

Erläuterung sind in dieser Darstellung die Pegel des Durchgangs mit 5 Gruppen mit 5.x fortlaufend nummeriert, die Pegel des Durchgangs mit 6 Gruppen mit 6.x. Besonders stabil erweisen sich zwei Gruppenkombinationen, denn die in ihnen enthaltenen Pegel werden bei der jeweils anderen Einteilung alle einer gemeinsamen Gruppe zugewiesen. Die Gruppen 6.3 ist vollständig in Gruppe 5.1 enthalten und Gruppe 5.5 vollständig in Gruppe 6.5. Die Pegel in den übrigen Gruppen verteilen sich immer auf eine wichtige und ein bis zwei weniger wichtige Gruppen in der jeweils anderen Gruppen-einteilung. Z.B. sind die meisten Pegel aus Gruppe 5.4 in der Gruppe 6.1 enthalten und die übrigen aus Gruppe 5.4 auf die Gruppen 6.1. und 6.2 aufgeteilt. Außerdem fällt auf, dass bei der Einteilung in 6 Gruppen, die Pegel insgesamt gleichmäßiger auf die Gruppen aufgeteilt sind als bei 5 Gruppen. Daher wurde diese Einteilung auch räumlich dargestellt (vgl. Anh. Abb. 2). Insgesamt wird aber deutlich: Bei der Änderung der Gruppenanzahl verschieben sich Pegeluntergruppen in Blöcken. Die Forschungsfrage 1) „Können Ereignisabflussganglinien in Ereignis-Regime-Gruppen untergliedert werden?“ kann also mit „ja“ beantwortet werden, da die Pegel nicht willkürlich in die Gruppen eingeteilt werden.

Tab. 12 Verteilung der Kombinationen von Clusterzuordnungen der Pegel

		Durchgang mit 6 Gruppen						
	Gruppe	6.1	6.2	6.3	6.4	6.5	6.6	Summe
Durchgang mit 5 Gruppen	5.1	0	46	77	0	1	0	124
	5.2	0	0	0	35	7	19	61
	5.3	3	0	0	31	0	110	144
	5.4	120	23	0	0	0	31	174
	5.5	0	0	0	0	11	0	11
	Summe	123	69	77	66	19	160	514

Zur Beantwortung der Forschungsfrage 2) „Folgen die Gruppen einem Muster entlang der longitudinalen Achse des Fließnetzes?“ wird zunächst die Abbildung Abb. 20 betrachtet. Hier sind die Werteverteilungen einer der vier Längswerte jedes Pegels, in diesem Fall die Distanz vom Pegel bis zum höchsten Punkt über dem Pegel, innerhalb der Clustergruppen dargestellt.

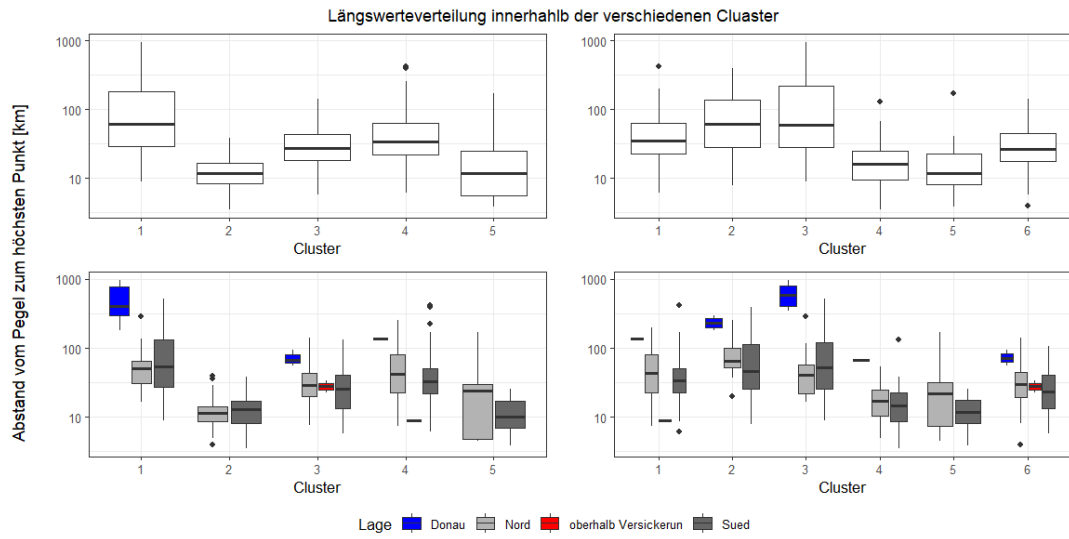


Abb. 20 Verteilung der Längswerte für die Distanz zwischen Pegel und höchstem Punkt über dem Pegel innerhalb der Clustergruppen (oben) und differenziert nach Position zur Donau (unten)

Bei der Differenzierung rein nach Clustergruppen (oberer Teil der Abbildung) zeigt sich, dass sowohl bei 5 als auch bei 6 Ereignis-Regime-Gruppen der Median der Längsachsenwerte für jede Gruppe differiert. Die Gruppen wurden zusätzlich nach nördlicher und südlicher Lage zur Donau bzw. entlang der Donau nach Lage zur Donauversickerung unterteilt (unterer Teil der Abbildung). Dabei wird unter anderem sichtbar, dass die Pegel direkt an der Donau (blau) in den verschiedenen Regimegruppen an unterschiedlichen Längspositionen verortet sind. Dies sind Indikatoren aus denen das Zutreffen der Forschungsfrage 2) abgeleitet werden kann.

Ein analoges Bild ergibt sich bei Verwendung der kumulativen Länge über dem jeweiligen Pegel als Longitudinalitätsmaß (Abb. 21) anstelle der Distanz über dem Pegel bis zum höchsten Punkt. Betrachtet man dagegen die Position über dem am weitesten flussabwärts gelegenen Pegel als Longitudinalitätsmaß (Abb. 22), verringert sich der Abstand zwischen den Medianen der Werteverteilungen, sodass keine eindeutigen Zusammenhänge mehr zwischen Regime-Gruppe und longitudinaler Position hergestellt werden können. Somit kann die Forschungsfrage 3) „Ist die Richtung der longitudinalen Achse ausschlaggebend?“ ebenfalls mit „ja“ beantwortet werden. Dieses Ergebnis unterstützt die fachliche Einschätzung, dass die Longitudinalitätsrichtung von der Quelle (oberster Punkt/ kumulative Länge über dem Pegel) zum jeweiligen Pegel der stimmigere Ansatz ist.

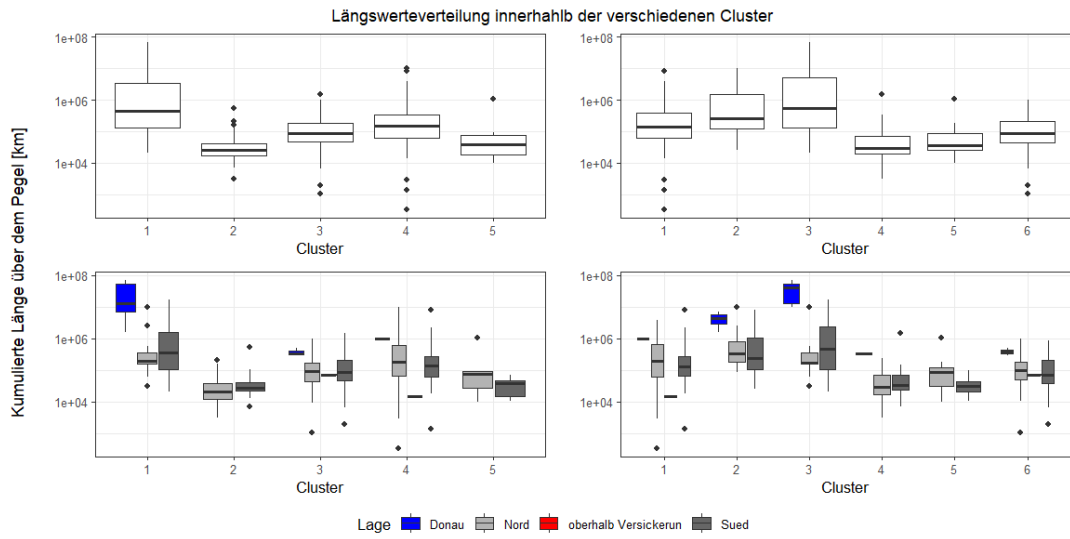


Abb. 21 Verteilung der Längswerte für die kumulative Länge über dem Pegel innerhalb der Clustergruppen (oben) und differenziert nach Position zur Donau (unten)

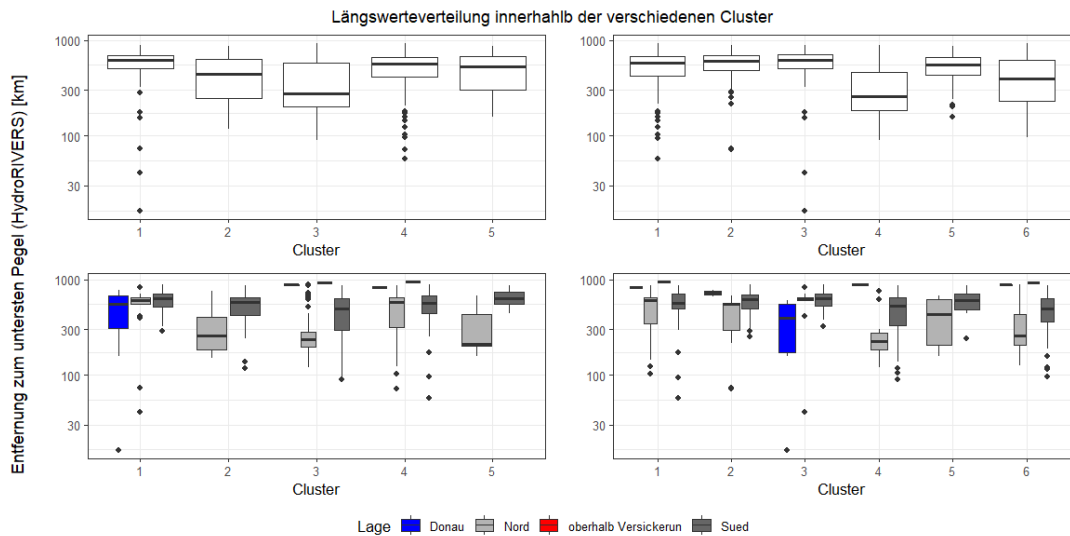


Abb. 22 Verteilung der Längswerte für die Distanz zwischen Pegel und unterstem Pegel (Bratislava) innerhalb der Clustergruppen (oben) und differenziert nach Position zur Donau (unten)

6 Diskussion

Zur weiteren Präzisierung des Clusterings könnte als weiterer Parameter die von Ehret und Zehe (2011) vorgestellte Series Distance als Parameter ermittelt werden. Sie wurde entwickelt, um simulierte und gemessene Ereignisse miteinander zu vergleichen. Man könnte sie aber auch verwenden, um eine Ereigniskurve mit einer Master-Kurve zu vergleichen. So könnten statt Einzelpunkten die komplette Sequenz verglichen werden, da Zeit- und Amplitudenversatz gleichzeitig, aber unabhängig voneinander berechnet werden.

Der bisherigen Analyse fehlt außerdem der räumlich-zeitliche Zusammenhang zwischen den Abflussereignissen. Bei der Ereignisselektion könnte man mit einer Art umgekehrter Declusteringmethode wie bei Asadi et al. (2015) nur solche Ereignisse wählen, die gleichzeitig bzw. zu einem ähnlichen Zeitpunkt wie ein Ereignis an einem räumlich nahegelegenen Pegel eintreten. Dies würde den Longitudinalen Aspekt betonen.

7 Schlussfolgerungen

In der vorliegenden Untersuchung konnten mit der k-means-Clustering-Methode Ereignis-Regime-Gruppen für Ereignisse der mit Wiederkehrperioden von 5 bis 50 Jahren abgeleitet werden. Es konnte eine Verbindung zwischen der longitudinalen Position des Pegels und seiner Ereignis-Regime-Gruppe hergestellt werden. Es wurde aufgezeigt, dass die Richtung der longitudinalen Achse bzw. die Bezugsrichtung vom Pegel aus gesehen ausschlaggebend für den Zusammenhang zwischen Longitudinalität und Ereignis-Regime-Gruppen ist.

Literaturverzeichnis

- Abteilung Wasserhaushalt (2022): WebGIS-Applikation eHYD. Messnetz, Datenerhebung, Navigation, Fachkarten, Begleitkarten, Datendownload. Hg. v. Bundesministerium Land- und Forstwirtschaft, Regionen und Wasserwirtschaft. Wien. Online verfügbar unter https://ehyd.gv.at/assets/eHYD/pdf/eHYD_Allgemein.pdf, zuletzt geprüft am 21.07.2023.
- Asadi, Peiman; Davison, Anthony C.; Engelke, Sebastian (2015): Extremes on river networks. In: *Ann. Appl. Stat.* 9 (4). DOI: 10.1214/15-AOAS863.
- Bačová-Mitková, Veronika; Onderka, Milan (2010): Analysis of extreme hydrological Events on the danube using the Peak Over Threshold method. In: *Journal of Hydrology and Hydromechanics* 58 (2), S. 88–101. DOI: 10.2478/v10098-010-0009-x.
- Baker, David B.; Richards, R. Peter; Loftus, Timothy T.; Kramer, Jack W. (2004): A NEW FLASHINESS INDEX: CHARACTERISTICS AND APPLICATIONS TO MIDWESTERN RIVERS AND STREAMS. In: *J Am Water Resources Assoc* 40 (2), S. 503–522. DOI: 10.1111/j.1752-1688.2004.tb01046.x.
- Bayerisches Landesamt für Umwelt (LfU) (Hg.) (2020): Hydrologische Kenn- und Schwellenwerte. Begriffserläuterungen und Methodik für Auswertungen am LfU/KLIWA. Online verfügbar unter https://www.lfu.bayern.de/wasser/klimawandel_wasserhaushalt/doc/hydrologische_kennwerte.pdf.
- Beirlant, Jan; Goegebeur, Yuri; Teugels, Jozef; Segers, Johan (2004): Statistics of Extremes. Theory and Applications. Chichester: Wiley (Wiley series in probability and statistics).
- Beurton, Susanne; Thielen, Annelie H. (2009): Seasonality of floods in Germany. In: *Hydrological Sciences Journal* 54 (1), S. 62–76. DOI: 10.1623/hysj.54.1.62.
- Blöschl, G.; Nester, T.; Komma, J.; Parajka, J.; Perdigão, R. A. P. (2013): The June 2013 flood in the Upper Danube Basin, and comparisons with the 2002, 1954 and 1899 floods. In: *Hydrol. Earth Syst. Sci.* 17 (12), S. 5197–5212. DOI: 10.5194/hess-17-5197-2013.
- Brosig, Erich (2023): Geotope im Südwesten. Mit GPS-Koordinaten: BoD – Books on Demand. Online verfügbar unter <https://books.google.de/books?id=W2DbEAAAQBAJ&lpg=PP1&hl=de&pg=PA4#v=onepage&q&f=false>.
- Brunner, Manuela I.; Melsen, Lieke A.; Newman, Andrew J.; Wood, Andrew W.; Clark, Martyn P. (2020): Future streamflow regime changes in the United States: assessment using functional classification. In: *Hydrol. Earth Syst. Sci.* 24 (8), S. 3951–3966. DOI: 10.5194/hess-24-3951-2020.
- Chow, Ven Te; Maidment, David R.; Mays, Larry W. (1988): Applied hydrology. New York: McGraw-Hill (McGraw-Hill series in water resources and environmental engineering).
- Dahlmann, Heindriken; Stephan, Ruth; Stahl, Kerstin (2022): Upstream-downstream asymmetries of drought impacts in major river basins of the European Alps. In: *Front. Water* 4, Artikel 1061991. DOI: 10.3389/frwa.2022.1061991.
- Danube Comission (2023): Hauptpegel an der Donau – Danube Commission – Donaukommission – Commission du Danube – Дунайская Комиссия. Online verfügbar unter <https://www.danubecommission.org/dc/de/die->

donauschifffahrt/hauptpegel-an-der-donau/, zuletzt aktualisiert am 14.10.2023, zuletzt geprüft am 14.10.2023.

Danube Commission (Hg.) (2023): Mitgliedstaaten der Donaukommission – Danube Commission – Donaukommission – Commission du Danube – Дунайская Комиссия. Online verfügbar unter <https://www.danubecommission.org/dc/de/donaukommission/mitgliedstaaten-der-donaukommission/>, zuletzt aktualisiert am 11.10.2023, zuletzt geprüft am 11.10.2023.

Dethier, Evan N.; Sartain, Shannon L.; Renshaw, Carl E.; Magilligan, Francis J. (2020): Spatially coherent regional changes in seasonal extreme streamflow events in the United States and Canada since 1950. In: *Science advances* 6 (49). DOI: 10.1126/sciadv.aba5939.

Deutscher Verband für Wasserwirtschaft und Kulturbau (1999): Statistische Analyse von Hochwasserabflüssen. Bonn: Wirtschafts- und Verl.-Ges. Gas und Wasser (DVWK-Merkblätter zur Wasserwirtschaft, 251).

Deutscher Wasserstraßen- und Schifffahrtsverein Rhein-Main-Donau e.V. (2023): Daten und Fakten – Deutscher Wasserstraßen- und Schifffahrtsverein Rhein-Main-Donau e.V. Online verfügbar unter <https://www.schifffahrtsverein.de/daten-und-fakten/>, zuletzt aktualisiert am 14.10.2023, zuletzt geprüft am 14.10.2023.

Ehret, U.; Zehe, E. (2011): Series distance – an intuitive metric to quantify hydrograph similarity in terms of occurrence, amplitude and timing of hydrological events. In: *Hydrol. Earth Syst. Sci.* 15 (3), S. 877–896. DOI: 10.5194/hess-15-877-2011.

Fischer, Svenja; Schumann, Andreas; Bühler, Philipp (2021): A statistics-based automated flood event separation. In: *Journal of Hydrology* X 10, S. 100070. DOI: 10.1016/j.jhydro.2020.100070.

Jeneiová, Katarína; Kohnová, Silvia; Hall, Julia; Parajka, Juraj (2016): Variability of seasonal floods in the Upper Danube River basin. In: *Journal of Hydrology and Hydromechanics* 64 (4), S. 357–366. DOI: 10.1515/johh-2016-0037.

Kassambara, Alboukadel (2018): Determining The Optimal Number Of Clusters: 3 Must Know Methods - Datanovia. Datanovia. Online verfügbar unter <https://www.datanovia.com/en/lessons/determining-the-optimal-number-of-clusters-3-must-know-methods/>, zuletzt aktualisiert am 21.10.2018, zuletzt geprüft am 16.10.2023.

Ker-Lindsay, James; Armakolas, Ioannis (2020): Kosovo, EU Member States and the Recognition-Engagement Nexus. In: Ioannis Armakolas und James Ker-Lindsay (Hg.): The Politics of Recognition and Engagement. Cham: Springer International Publishing, S. 1–17.

Kohn, Irene; Freudiger, Daphné; Rosin, Klemens; Stahl, Kerstin; Weiler, Markus; Belz, Jörg Uwe (2014): Das hydrologische Extremjahr 2011: Dokumentation, Einordnung, Ursachen und Zusammenhänge. Koblenz (Mitteilungen) (29). Online verfügbar unter <http://doi.bafg.de/BfG/2014/BfGMitteilungen29.2014.pdf>.

Kovács, Péter (2010): Characterization of the Runoff Regime and Its Stability in the Danube Catchment. In: Mitja Brilly (Hg.): Hydrological Processes of the Danube River Basin: Perspectives from the Danubian Countries. Dordrecht: Scholars Portal, S. 143–173.

Kuhn, Rudolf (1971): Die Schleusen des Main-Donau-Kanals. Online verfügbar unter http://www.hansgruener.de/word_d/kanal/mdk_schleusentechnik_1971.pdf.

- Lehner, Bernhard; Grill, Günther (2013): Global river hydrography and network routing: baseline data and new approaches to study the world's large river systems. Data is available at www.hydrosheds.org. In: *Hydrol. Process.* 27 (15), S. 2171–2186. DOI: 10.1002/hyp.9740.
- Makkonen, Lasse (2006): Plotting Positions in Extreme Value Analysis. In: *Journal of Applied Meteorology and Climatology* 45 (2), S. 334–340. DOI: 10.1175/JAM2349.1.
- McCarney-Castle, K.; Voulgaris, G.; Kettner, A. J.; Giosan, L. (2012): Simulating fluvial fluxes in the Danube watershed: The ‘Little Ice Age’ versus modern day. In: *The Holocene* 22 (1), S. 91–105. DOI: 10.1177/0959683611409778.
- Mhalla, Linda; Chavez-Demoulin, Valérie; Dupuis, Debbie J. (2020): Causal Mechanism of Extreme River Discharges in the Upper Danube Basin Network. In: *J. R. Stat. Soc. Ser. C. Appl. Stat.* 69 (4), S. 741–764. DOI: 10.1111/rssc.12415.
- Michael, Thomas (2015): Diercke Weltatlas. Braunschweig: Westermann. 1 Atlas (323 Seiten).
- Mikhailov, V. N.; Morozov, V. N.; Cheroy, N. I.; Mikhailova, M. V.; Zav'yalova, Ye. F. (2008): Extreme flood on the Danube River in 2006. In: *Russ. Meteorol. Hydrol.* 33 (1), S. 48–54. DOI: 10.3103/S1068373908010081.
- Mikhailova, M. V.; Mikhailov, V. N.; Morozov, V. N. (2012): Extreme hydrological events in the Danube River basin over the last decades. In: *Water Resour* 39 (2), S. 161–179. DOI: 10.1134/S0097807812010095.
- Miklós, Domokos (2010): History and Results of the Hydrological Co-operation of the Countries Sharing the Danube Catchment (1971–2008). In: Mitja Brilly (Hg.): *Hydrological Processes of the Danube River Basin: Perspectives from the Danubian Countries*. Dordrecht: Scholars Portal, S. 1–23.
- Parajka, J.; Konová, S.; Bálint, G.; Barbuc, M.; Borga, M.; Claps, P. et al. (2010): Seasonal characteristics of flood regimes across the Alpine-Carpathian range. In: *Journal of Hydrology* 394 (1-2), S. 78–89. DOI: 10.1016/j.jhydrol.2010.05.015.
- Petrovič, Pavel; Mravcová, Katarína; Holko, Ladislav; Kostka, Zdeněk; Miklánek, Pavol (2010): Basin-Wide Water Balance in the Danube River Basin. In: Mitja Brilly (Hg.): *Hydrological Processes of the Danube River Basin: Perspectives from the Danubian Countries*. Dordrecht: Scholars Portal, S. 227–258.
- Regionale Zusammenarbeit der Donauländer (RZD) (1986): Die Donau und ihr Einzugsgebiet. Eine hydrologische Monographie. Teil 1 Texte. Online verfügbar unter [https://www.ncihp.si/wp-content/uploads/ihp/\(30.8.2020\)%20DM%20monography/DM%20Vol%201%20German%20text%201986.pdf](https://www.ncihp.si/wp-content/uploads/ihp/(30.8.2020)%20DM%20monography/DM%20Vol%201%20German%20text%201986.pdf), zuletzt geprüft am 14.06.2023.
- Schaller, Nathalie; Otto, Friederike E. L.; van Oldenborgh, Geert Jan; Massey, Neil R.; Allen, Myles R. (2014): The heavy precipitation event of May-June 2013 in the upper Danube and Elbe basins. In: *Bulletin of the American Meteorological Society* 95 (9), S69-S72. Online verfügbar unter https://www.researchgate.net/profile/geert-jan-van-oldenborgh/publication/297562966_the_heavy_precipitation_event_of_may-june_2013_in_the_upper_danube_and_elbe_basins.
- Schiller, Heinz; Miklós, Domokos; Sass, Jenő (2010): The Danube River and its Basin Physical Characteristics, Water Regime and Water Balance. In: Mitja Brilly

(Hg.): Hydrological Processes of the Danube River Basin: Perspectives from the Danubian Countries. Dordrecht: Scholars Portal, S. 25–77.

Slezak, Friedrich (1986): „Weltstraße“ Donau. In: *Der Donauraum* 28 (JG), S. 119–128. DOI: 10.7767/dnrm.1986.28.jg.119.

Straßen aus Wasser. Technische, wirtschaftliche und militärische Aspekte der Binnenschifffahrt im Westeuropa des frühen und hohen Mittelalters. Zugl.: Bochum, Univ. Diss., 2005 (2006). Berlin, Münster: LIT-Verl. (Geschichte). Online verfügbar unter <http://www.sehepunkte.de/2007/02/10522.html>.

Szeląg, Paulina (2023): Social Security of States with Limited Recognition: A Case Study of the Republic of Kosovo. In: Anja Mihr, Paolo Sorbello und Brigitte Weiffen (Hg.): Securitization and democracy in Eurasia. Transformation and development in the OSCE Region. Cham: Springer, S. 137–151.

Ugrósdy, Márton; Balatonyi, László; Georges, Bruno; Gyurcsík, Iván; Margić, Petar; Masliah-Gilkarov, Hélène et al. (2019): Danube Commission 70. Budapest.

ústav, Slovenský hydrometeorologický (2023a): About us - SHMÚ. Online verfügbar unter <https://www.shmu.sk/en/?page=1793>, zuletzt aktualisiert am 14.10.2023, zuletzt geprüft am 14.10.2023.

ústav, Slovenský hydrometeorologický (2023b): Water gauge stations - SHMÚ. Online verfügbar unter <https://www.shmu.sk/en/?page=765>, zuletzt aktualisiert am 14.10.2023, zuletzt geprüft am 14.10.2023.

Villaseñor-Alva, José A.; González-Estrada, Elizabeth (2009): A bootstrap goodness of fit test for the generalized Pareto distribution. In: *Computational Statistics & Data Analysis* 53 (11), S. 3835–3841. DOI: 10.1016/j.csda.2009.04.001.

Villinger, Eckhard; Sauter, Martin (1999): Karsthydrogeologie der Schwäbischen Alb (Exkursion I am 9. April 1999). In: *jber_oberrh* 81, S. 123–170. DOI: 10.1127/jmogr/81/1999/123.

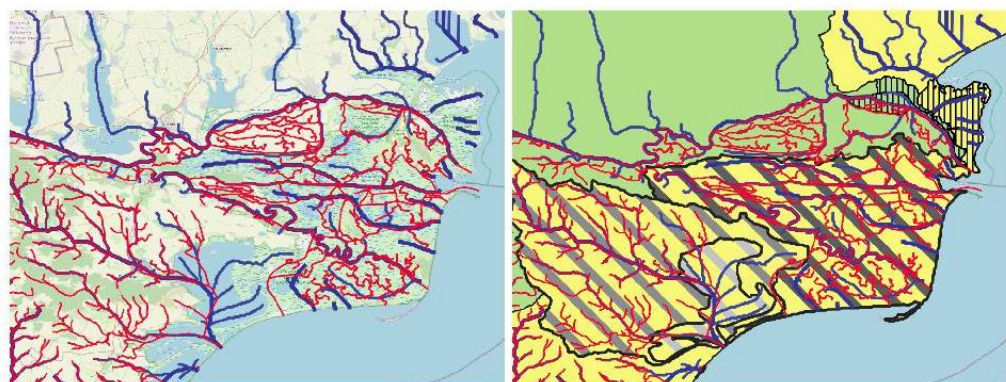
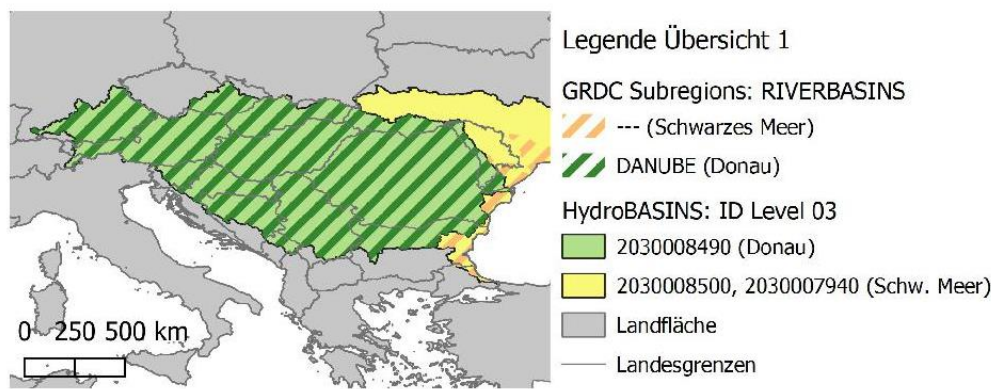
Wasserstraßen- und Schifffahrtsverwaltung des Bundes (Hg.) (2023): Wasserstraßen. Wasserbewirtschaftung und Wasserüberleitung am Main-Donau-Kanal. Online verfügbar unter https://www.wsa-donau-mdk.wsv.de/Webs/WSA/Donau-MDK/DE/01_Wasserstrassen/BauwerkeAnlagen/Wasserueberleitung/Wasserueberleitung_MDK_node.html, zuletzt aktualisiert am 10.10.2023, zuletzt geprüft am 10.10.2023.

Western, Andrew W.; Finlayson, Brian L.; McMahon, Thomas A.; O'Neill, Ian C. (1997): A method for characterising longitudinal irregularity in river channels. In: *Geomorphology* 21 (1), S. 39–51. DOI: 10.1016/S0169-555X(97)00023-8.

Wikipedia (Hg.) (2022): Österreichisches Bundesmeldenetz. Online verfügbar unter https://de.wikipedia.org/w/index.php?title=Österreichisches_Bundesmelde- netz&oldid=224342765, zuletzt aktualisiert am 08.07.2022, zuletzt geprüft am 14.10.2023.

World Meteorological Organisation (WMO); United Nations Educational, Scientific and Cultural Organisation (UNESCO) (2012): International glossary of hydrology. = Glossaire international d'hydrologie. WMO-No.358. 3. Aufl. Geneva: WMO. Online verfügbar unter <https://library.wmo.int/idurl/4/35589>.

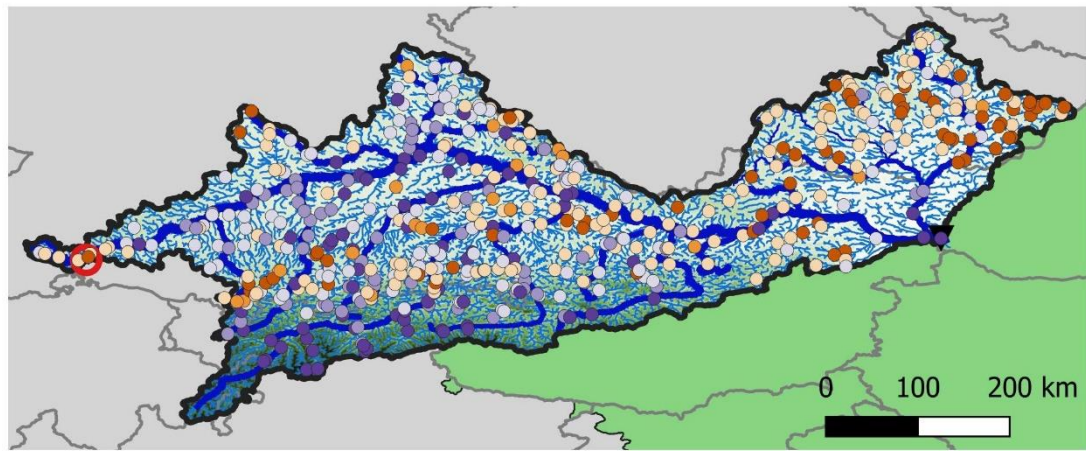
Anhang



Die verschiedenen Quellen (GRDC und HydroBASINS) bilden das Donau EZG sehr ähnlich ab (Übersicht 1); beide ordnen das Donaudelta bereits den Einzugsgebieten des Schwarzen Meeres zu (Übersicht 1 + Deltaregion).

Sowohl bei den aus einem DGM abgeleiteten Hauptgewässernetz (HydroRIVERS) als auch bei dem Netz der EEA (bekanntes Netz ergänzt durch modelliertes Netz) wird die Auffächerung des Donau-Deltas sichtbar. Durch Hinzuziehen von Flächen aus feinteiligeren Einzugsgebietsgliederungen (HydroBASIN Level 07 und 09) kann das durch den Verlauf der Hauptgewässer erkennbare Donaudelta als Fläche abgegrenzt werden. Von HydroBASIN level 07 wird die Fläche 2070008500 verwendet, von HydroBASIN Level 09 die Flächen 2090008480, 2090008491 und 2099016150.

Anh. Abb. 1 Herleitung Umriss gesamtes Donaueinzugsgebiet mit Donaudelta



Legende

	Bratislava		6
Pegel			1
Cluster k=6			2
			3
			4
			5
			Donauversickerung

Gewässernetz
(EU-Hydro River Net)
 DONAU
 QUELLFLÜSSE / HAUPTZUFLÜSSE
 NEBENZUFLUSS

HydroRIVERS DGM Obere Donau
 Untersuchungsgebiet Kanal 1 (Gray)
 Gesamtgebiet Donau hoch
 Landesgrenzen niedrig
 Landesflächen

Anh. Abb. 2 Räumliche Verteilung der Cluster bei 6 Gruppen

Anh. Tab. 1 : Rohdaten und berechnete Daten aller für das Clustern verwendeter Pegel
 Wegen der großen Spalten- und Zeilenzahl wurde die Tabelle in der Breite und in der Höhe geteilt.

St_Nr	St_Name	Gew	Quelle	z_wert	x_4326	y_4326
105	Kirchen-Hausen	Donau	de-LUBW	657,33	8,67958361	47,92550367
120	Hundersingen	Donau	de-LUBW	542,53	9,39610197	48,07246194
125	Berg	Donau	de-LUBW	489,90	9,73145869	48,26626736
129	Achstetten	Baierzer Rot	de-LUBW	489,32	9,90082010	48,26343687
139	Urach	Urach	de-LUBW	807,86	8,30292625	48,00142790
144	Lauben	Aitrach	de-LUBW	623,49	10,03760986	47,87660843
162	Gammertingen	Lauchert	de-LUBW	654,30	9,22415606	48,24409290
168	Beuron	Donau	de-LUBW	604,60	8,97453004	48,05294336
173	Ummendorf	Umlach	de-LUBW	534,88	9,81836285	48,07452204
177	Binnrot	Rot	de-LUBW	566,15	10,04850669	48,06706506
192	Tuttlingen	Elta	de-LUBW	646,20	8,79563674	47,98838076
194	Möhringen-Espenbrücke	Donau	de-LUBW	644,60	8,77661285	47,95860047
1101	Laupheim	Dürnach	de-LUBW	495,66	9,86108017	48,23996252
1111	Reichenhofen	Wurzacher Ach	de-LUBW	635,73	9,96707415	47,84706450
1120	Unterschmeien	Schmeie	de-LUBW	591,43	9,14976521	48,09168896
1131	Laucherthal	Lauchert	de-LUBW	575,85	9,27550304	48,08373682
1139	Hammereisenbach	Breg	de-LUBW	738,38	8,35337201	47,98973860
1140	Donaueschingen	Brigach	de-LUBW	676,22	8,49041669	47,95584283
1155	Königsbronn	Brenz	de-LUBW	496,74	10,11525757	48,73805323
200378	Lech (Tannbergbrücke)	Lech	at-eHYD	NA	10,14078748	47,20766224
201012	Steeg	Lech	at-eHYD	NA	10,29350315	47,24187506
201087	Lechaschau	Lech	at-eHYD	NA	10,70966926	47,49701812
201095	Scharnitz (Weidach)	Isar	at-eHYD	NA	11,26399968	47,38956140
201111	Vils (Lände)	Vils	at-eHYD	NA	10,65072500	47,55152756
201178	Kajetansbrücke	Inn	at-eHYD	NA	10,51164030	46,95197579
201194	Prutz	Inn	at-eHYD	NA	10,66085426	47,07682163
201350	Vent (oberh. Niedertalbach)	Rofenache	at-eHYD	NA	10,91092992	46,85703563
201392	Huben	Ötztaler Ache	at-eHYD	NA	10,97179248	47,04377867
201434	Tumpen	Ötztaler Ache	at-eHYD	NA	10,91055630	47,16309403
201459	Magerbach	Inn	at-eHYD	NA	10,87585506	47,25927780
201525	Innsbruck (oberh. Sill)	Inn	at-eHYD	NA	11,38093876	47,26210741
201574	Puig	Sill	at-eHYD	NA	11,45244456	47,11305462
201624	Innsbruck-Reichenau	Sill	at-eHYD	NA	11,41141618	47,27290725
201681	Jenbach-Rotholz	Inn	at-eHYD	NA	11,78920034	47,38906505
201772	Rohr	Gerlosbach	at-eHYD	NA	11,89742021	47,23697604
201780	Hart im Zillertal	Ziller	at-eHYD	NA	11,86281252	47,34658382
201806	Brixlegg	Inn	at-eHYD	NA	11,87271693	47,43255224
201822	Mariathal	Brandenberger Ache	at-eHYD	NA	11,86472593	47,45467181
201863	Bruckhäusl	Brixentaler Ache	at-eHYD	NA	12,10392668	47,49058356
201889	Kirchbichl	Inn	at-eHYD	NA	12,09331763	47,52277507
201913	Kitzbühel (Bahnhofsbrücke)	Kitzbüheler Ache	at-eHYD	NA	12,38946521	47,45476858
201921	Sperten	Aschauer Ache	at-eHYD	NA	12,40244521	47,51931131
201939	St. Johann in Tirol	Kitzbüheler Ache	at-eHYD	NA	12,41695396	47,51888329
202036	Landeck-Bruggen	Sanna	at-eHYD	NA	10,56273138	47,14344182
203026	Wald i. Pzg.	Salzach	at-eHYD	NA	12,23255800	47,24336608
203034	Sulzau	Obersulzbach	at-eHYD	NA	12,24647593	47,23131125
203075	Mittersill	Salzach	at-eHYD	NA	12,48016751	47,28321667
203265	Schwaighofbrücke	Lammer	at-eHYD	NA	13,38469027	47,57386581
203307	Obergäu	Lammer	at-eHYD	NA	13,18197149	47,58380098

St_Nr	St_Name	Gew	Quelle	z_wert	x_4326	y_4326
203323	Golling	Salzach	at-eHYD	NA	13,16345392	47,59578185
203463	Viehhofen	Saalach	at-eHYD	NA	12,73566727	47,36570227
203521	Siezenheim (Summenpegel)		at-eHYD	NA	12,97421416	47,81155728
203539	Oberndorf	Salzach	at-eHYD	NA	12,92674249	47,93964887
203570	Siezenheim	Saalach	at-eHYD	NA	12,97421416	47,81155728
203711	Altenmarkt im Pongau	Enns	at-eHYD	NA	13,42864077	47,38072702
204677	Jahrsdorf	Mattig	at-eHYD	NA	13,07157280	48,25274453
204719	Mamling	Mühlheimer Ache	at-eHYD	NA	13,20160496	48,28054931
204750	Haging	Antiesen	at-eHYD	NA	13,45023040	48,27299748
204784	Riedau	Pram	at-eHYD	NA	13,63196082	48,30456284
204834	Alfersham	Pfudabach	at-eHYD	NA	13,57370732	48,40209119
204867	Pramerdorf	Pram	at-eHYD	NA	13,46239230	48,43131621
204933	Teufelmühle	Große Mühl	at-eHYD	NA	14,03245967	48,54384869
205013	Grieskirchen	Trattnach	at-eHYD	NA	13,82613957	48,23458524
205047	Neumarkt im Hausruckkreis	Dürre Aschach	at-eHYD	NA	13,73943734	48,27301262
205054	Kropfmühle	Aschach	at-eHYD	NA	13,89503740	48,37136472
205153	Bad Ischl (Maxquelle)	Traun	at-eHYD	NA	13,62772532	47,71020223
205187	Bad Ischl (Giselabrücke)	Ischl	at-eHYD	NA	13,61359646	47,71834571
205294	St. Lorenz	Griesler Ache	at-eHYD	NA	13,33663193	47,83189627
205377	Stauf	Vöckla	at-eHYD	NA	13,43490871	47,98495337
205419	Vöcklabruck	Vöckla	at-eHYD	NA	13,65816582	48,00983434
205450	Fischerau	Ager	at-eHYD	NA	13,83810344	48,08613275
205518	Penningersteg	Alm	at-eHYD	NA	13,92263071	48,05293984
205633	Kirchdorf	Krems	at-eHYD	NA	14,10355258	47,90882418
205641	Kremsmünster	Krems	at-eHYD	NA	14,13238681	48,05155827
205658	Kremsdorf	Krems	at-eHYD	NA	14,26631782	48,19988984
205740	Reichraming	Reichramingbach	at-eHYD	NA	14,45447137	47,88621342
205757	Jägerberg	Enns	at-eHYD	NA	14,41647478	48,02552769
205799	Kniewas	Steyr	at-eHYD	NA	14,16889656	47,76738572
205831	St.Pankraz	Teichl	at-eHYD	NA	14,20891926	47,76573025
205856	Steyrling	Steyrling	at-eHYD	NA	14,13723500	47,80500204
205864	Klaus an der Pyhrnbahn	Steyr	at-eHYD	NA	14,15926661	47,83024895
205898	Molln	Krumme Steyrling	at-eHYD	NA	14,27981209	47,89380498
205914	Pergern	Steyr	at-eHYD	NA	14,35556477	48,05066126
205922	Steyr (Ortskai)	Enns	at-eHYD	NA	14,42515174	48,04347345
205997	Königswiesen	Große Naarn	at-eHYD	NA	14,83946597	48,40392246
206029	Haid	Naarn	at-eHYD	NA	14,68300055	48,20862207
206169	Niederspaching	Aschach	at-eHYD	NA	13,80991677	48,32055815
206201	Schärding (Schreibpegel)	Inn	at-eHYD	NA	13,42825598	48,45620259
206268	Lohstampf	Messenbach	at-eHYD	NA	13,56735843	48,37533762
206409	Wels-Lichtenegg (Summenpegel)		at-eHYD	NA	13,99579527	48,14101867
206581	Kefermarkt	Feldaißt	at-eHYD	NA	14,53436710	48,44326073
206599	Steyr (Zollamt)	Ramingbach	at-eHYD	NA	14,44656152	48,04488781
207324	Angern an der March	March	at-eHYD	NA	16,83383871	48,38305795
207357	Kienstock	Donau	at-eHYD	NA	15,46258189	48,38228233
207654	Opponitz (Mirenaу)	Ybbs	at-eHYD	NA	14,83099098	47,89106664
207688	Greimpersdorf	Ybbs	at-eHYD	NA	14,89193644	48,11134429
207696	Krenstetten	Urlbach	at-eHYD	NA	14,70191717	48,05784965
207803	Niederndorf	Erlauf	at-eHYD	NA	15,17417883	48,16970236
207811	Weitenegg	Weitenbach	at-eHYD	NA	15,28483405	48,24106913
207837	Matzleinsdorf	Melk	at-eHYD	NA	15,27765956	48,20340201
207852	Hofstetten (Bad)	Pielach	at-eHYD	NA	15,51269501	48,09608285

St_Nr	St_Name	Gew	Quelle	z_wert	x_4326	y_4326
207878	Imbach	Krems	at-eHYD	NA	15,56664758	48,44534861
207894	Lilienfeld	Traisen	at-eHYD	NA	15,60433310	48,02624766
207910	Windpassing	Traisen	at-eHYD	NA	15,64014786	48,14531014
207944	Zwettl (Bahnbrücke)	Mur	at-eHYD	NA	15,17161581	48,61031408
207951	Neustift	Großer Kamp	at-eHYD	NA	15,03740496	48,50796861
207993	Stiefern	Kamp	at-eHYD	NA	15,68986821	48,53486597
208009	Atzenbrugg (Bundesstrasse)	Perschling	at-eHYD	NA	15,90987815	48,28941254
208017	Siegersdorf	Gr. Tulln	at-eHYD	NA	15,93846929	48,25526906
208041	Hollenstein	Schmida	at-eHYD	NA	15,92822902	48,55492288
208058	Obermallebarn	Göllersbach	at-eHYD	NA	16,15763853	48,46470723
208090	Cholerakapelle	Schwechat	at-eHYD	NA	16,17135774	48,01371990
208116	Fahrafeld	Triesting	at-eHYD	NA	16,06720143	47,97934774
208124	Hirtenberg	Triesting	at-eHYD	NA	16,17606772	47,92968141
208157	Schwechat (Hallenbad)	Schwechat	at-eHYD	NA	16,47319720	48,14006004
208272	Gutenstein (Kirche)	Piesting	at-eHYD	NA	15,88670822	47,87551777
208280	Wöllersdorf (Hydro)	Piesting	at-eHYD	NA	16,17968964	47,86462588
208611	Schwarzenau (Süd)	Deutsche Thaya	at-eHYD	NA	15,25796324	48,74125217
208629	Raabs an der Thaya	Thaya	at-eHYD	NA	15,49924362	48,84522230
209189	Niederabsdorf	Zaya	at-eHYD	NA	16,86680760	48,57503361
209338	Frauenhofen	Taffa	at-eHYD	NA	15,63478897	48,67649310
209361	Türnitz (Markt)	Türnitztraisen	at-eHYD	NA	15,48682556	47,92787549
209486	Böheimkirchen	Perschling	at-eHYD	NA	15,75947043	48,19515528
210641	Schladming	Enns	at-eHYD	NA	13,69748066	47,39724098
341000	Vlaské	Morava	cz-ISVS	NA	16,90110615	50,08830274
343000	Habartice	Krupá	cz-ISVS	NA	16,92964666	50,10268853
344000	Jindrichov	Branná	cz-ISVS	NA	16,98065744	50,09499118
345000	Raškov	Morava	cz-ISVS	NA	16,91137946	50,04096350
348000	Sobotín	Merta	cz-ISVS	NA	17,07064639	50,01820798
353000	Hoštejn	Brezná	cz-ISVS	NA	16,76175935	49,87761728
354000	Lupené	Moravská Sázava	cz-ISVS	NA	16,83871212	49,86702948
355000	Moravicaný	Morava	cz-ISVS	NA	16,97548544	49,75581666
356000	Mezihorí	Trebuvka	cz-ISVS	NA	16,74187245	49,70511190
357000	Jaromerice	Úsobrnský potok	cz-ISVS	NA	16,75418215	49,62268711
359000	Chornice	Jevícka	cz-ISVS	NA	16,74965243	49,66443720
360000	Hranicky	Trebuvka	cz-ISVS	NA	16,79632821	49,71796371
362000	Dlouhá Loučka	Oslava	cz-ISVS	NA	17,17261359	49,81483552
363000	Unicov	Oskava	cz-ISVS	NA	17,12962665	49,77171383
364000	Šternberk	Sitka	cz-ISVS	NA	17,29558849	49,73056822
366000	Velká Bystrice	Bystrice	cz-ISVS	NA	17,34645087	49,59433097
367000	Olomouc-Nové Sady	Morava	cz-ISVS	NA	17,26098660	49,57719754
370000	Velké Karlovice	Vsetínská Bečva	cz-ISVS	NA	18,28288080	49,36083030
379000	Vsetín	Vsetínská Bečva	cz-ISVS	NA	17,98575215	49,34249054
380000	Bystrická nad nádrží	Bystrice	cz-ISVS	NA	18,04471331	49,41822210
382000	Jarcová	Vsetínská Bečva	cz-ISVS	NA	17,97007533	49,44435153
383000	Horní Bečva	Rožnovská Bečva	cz-ISVS	NA	18,31153655	49,42246337
386000	Rožnov pod Radhoštěm	Rožnovská Bečva	cz-ISVS	NA	18,12737495	49,45856055
387000	Valašské Meziříčí	Rožnovská Bečva	cz-ISVS	NA	17,97749142	49,47298652
387500	Rajnochovice	Juhyne	cz-ISVS	NA	17,81534476	49,40011282
388000	Kelc	Juhyne	cz-ISVS	NA	17,82816773	49,47244130
389000	Teplice nad Bečvou	Bečva	cz-ISVS	NA	17,74588120	49,53004210
389500	Hranice	Velicka	cz-ISVS	NA	17,73339179	49,54992108
390000	Dluhonice	Bečva	cz-ISVS	NA	17,41008077	49,44971020

St_Nr	St_Name	Gew	Quelle	z_wert	x_4326	y_4326
393000	Klopotovice	Blata	cz-ISVS	NA	17,25880873	49,44811583
394000	Stražisko	Romže	cz-ISVS	NA	16,95457400	49,53449260
396000	VD Plumlov	Hloucela	cz-ISVS	NA	17,04005487	49,46947742
397000	Polkovice	Romže	cz-ISVS	NA	17,25366999	49,39983852
400000	Vyškov	Haná	cz-ISVS	NA	16,99533476	49,28183409
401000	Otaslavice	Brodecka	cz-ISVS	NA	17,07044898	49,38748983
402000	Prusy	Moštenka	cz-ISVS	NA	17,51501385	49,42816171
403000	Kromeríž	Morava	cz-ISVS	NA	17,39857829	49,30230302
405000	Trebetice	Rusava	cz-ISVS	NA	17,51163998	49,32516864
407000	Slušovice	Všeminka	cz-ISVS	NA	17,80359345	49,24727769
410000	VD Fryšták	Fryštáký potok	cz-ISVS	NA	17,69301165	49,26236384
412000	Zlín	Drevnice	cz-ISVS	NA	17,67239621	49,23093833
413000	Spytíhnev	Morava	cz-ISVS	NA	17,50110009	49,13319938
414000	Velehrad	Salaška	cz-ISVS	NA	17,39346458	49,10276576
414700	Luhacovice nad nádrží	Luhacovický potok	cz-ISVS	NA	17,79484373	49,12686326
415000	VD Luhacovice	Luhacovický potok	cz-ISVS	NA	17,77264170	49,12061278
418000	Uherský Brod	Olšava	cz-ISVS	NA	17,64374766	49,01612361
421500	Strážnice	Morava	cz-ISVS	NA	17,29746380	48,93302921
422000	Strážnice	Velicka	cz-ISVS	NA	17,34344410	48,90437907
423000	Petrov	Radejovka	cz-ISVS	NA	17,27492385	48,88050783
429000	Janov	Moravská Dyje	cz-ISVS	NA	15,43481723	48,99305455
430000	Podhradí nad Dyjí	Dyje	cz-ISVS	NA	15,69136089	48,90329697
431000	Jemnice	Želetavka	cz-ISVS	NA	15,56723666	49,02114726
432000	Vysocany	Želetavka	cz-ISVS	NA	15,68318749	48,95976867
435000	VD Znojmo	Dyje	cz-ISVS	NA	16,04282709	48,85396495
436500	Dyjákovice	Mlýnská strouha (Dyjskomlýnský náhon)	cz-ISVS	NA	16,30820646	48,74234952
437000	Trávní Dvur	Dyje	cz-ISVS	NA	16,43754181	48,79089136
438000	VD Jevišovice	Jevišovka	cz-ISVS	NA	15,98443976	48,99170346
439000	Výrovice	Jevišovka	cz-ISVS	NA	16,11130508	48,92893265
440000	Božice	Jevišovka	cz-ISVS	NA	16,28470882	48,83987173
441000	Borovnice	Svratka	cz-ISVS	NA	16,19106947	49,67802083
441400	Kadov	Fryšávka	cz-ISVS	NA	16,07849688	49,63434950
441500	Jimramov	Fryšávka	cz-ISVS	NA	16,21709275	49,63918292
442000	Dalečín	Svratka	cz-ISVS	NA	16,24509517	49,59510193
444000	Domanín	Bystrice	cz-ISVS	NA	16,20515428	49,54285543
445000	VD Vír pod výrovnávací nádrží	Svratka	cz-ISVS	NA	16,33765841	49,54291703
445100	Rožná	Nedvedicka	cz-ISVS	NA	16,24370043	49,47566743
446000	Skryje	Bobruvka	cz-ISVS	NA	16,31779014	49,37961524
447000	Dolní Louky	Bobruvka	cz-ISVS	NA	16,35956861	49,35694473
448000	Veverská Bítýška	Svratka	cz-ISVS	NA	16,43965171	49,27741154
452000	Rozhraní	Svitava	cz-ISVS	NA	16,53140302	49,60039418
453000	VD Letovice	Kretínska	cz-ISVS	NA	16,55865197	49,55343820
454000	Letovice	Svitava	cz-ISVS	NA	16,58066623	49,53205534
455000	VD Boskovice	Belá	cz-ISVS	NA	16,69841606	49,49392789
455100	Sloup	Sloupský potok	cz-ISVS	NA	16,73958362	49,41352453
456000	Skalní Mlyn	Punkva	cz-ISVS	NA	16,71979321	49,36954160
457000	Bilovice nad Svitavou	Svitava	cz-ISVS	NA	16,67501688	49,24546197
458000	Želešice	Bobrava	cz-ISVS	NA	16,58238112	49,11424990
459000	Brankovice	Litava	cz-ISVS	NA	17,13509033	49,15347852
461000	Rychmanov	Litava	cz-ISVS	NA	16,76321015	49,10379024
462000	Židlochovice	Svratka	cz-ISVS	NA	16,61605189	49,03630008
463000	Batelov	Jihlava	cz-ISVS	NA	15,40623733	49,31380824

St_Nr	St_Name	Gew	Quelle	z_wert	x_4326	y_4326
465000	Dvorce	Jihlava	cz-ISVS	NA	15,50291273	49,38222341
469000	Trebíč-Ptácov	Jihlava	cz-ISVS	NA	15,93476950	49,21515401
470000	Dolní Bory	Oslava	cz-ISVS	NA	15,98556196	49,42252860
471000	VD Mostište	Oslava	cz-ISVS	NA	16,01251675	49,39272618
472000	Baliny	Balinka	cz-ISVS	NA	15,96038273	49,33875507
473000	Nesmer	Oslava	cz-ISVS	NA	16,02554378	49,31957547
474000	Oslavany	Oslava	cz-ISVS	NA	16,34364975	49,11593759
476000	Příštpo	Rokytná	cz-ISVS	NA	15,93898619	49,07040050
477000	Moravský Krumlov	Rokytná	cz-ISVS	NA	16,30568286	49,05103750
483100	Korycany nad nádrží	Kyjovka	cz-ISVS	NA	17,22220214	49,10741356
484000	VD Korycany	Kyjovka	cz-ISVS	NA	17,18905114	49,11682644
486000	Kyjov	Kyjovka	cz-ISVS	NA	17,12120485	49,01057208
6142150	MORAVSKY JAN	MORAVA	all-GRDC	146,00	16,93585000	48,60213000
6142200	BRATISLAVA	DANUBE RIVER	all-GRDC	128,00	17,10924000	48,13957000
6242030	OBERMUEHL	KLEINE MUHL	all-GRDC	283,50	13,92333333	48,45777778
6242070	ROTTENEGG	GROSSE RODL	all-GRDC	271,83	14,13890000	48,36610000
6242120	ST. GEORGEN AN DER GUSEN (BAD)	GUSEN	all-GRDC	246,67	14,44777778	48,27888889
6242130	ST. PANTALEON (SUED)	ERLABACH	all-GRDC	241,68	14,56222222	48,20750000
6242240	GUSSWERK	SALZA	all-GRDC	735,50	15,30560000	47,74170000
6242280	SPITAL AM PYHRN	TEICHLBACH	all-GRDC	625,50	14,33000000	47,67000000
6242281	TEICHLBRUECKE	TEICHLBACH	all-GRDC	571,17	14,29640000	47,72360000
6242290	SELZTHAL	PALTEN	all-GRDC	632,93	14,30610000	47,54830000
6242300	MELK (STROM-KM 2035.98)	DANUBE RIVER	all-GRDC	199,97	15,33000000	48,23444400
6242310	ELSARN	SPITZER BACH	all-GRDC	312,63	15,36055556	48,36472222
6242600	EBENSEE	TRAUN	all-GRDC	422,17	13,76750000	47,80610000
6242610	ALTAUSSEE (TRAUN)	ALTAUSSEER TRAUN	all-GRDC	709,44	13,76810000	47,63500000
6242613	RAUDASCHLSAEGE	AGER	all-GRDC	466,31	13,60833333	47,95416667
6242615	SEE AM MONDSEE (AU)	SEEACHE	all-GRDC	477,35	13,45416700	47,80416700
6242620	LAMBACH (TRAUNBRUECKE)	TRAUN	all-GRDC	341,45	13,87694444	48,09055556
6242621	OBERSCHAUERSBERG	AITERBACH	all-GRDC	322,42	14,00805600	48,13416700
6242700	HAINBURG	DANUBE RIVER	all-GRDC	135,25	16,94027800	48,14944400
6242933	EHRWALD (VIADUKT)	LOISACH	all-GRDC	958,00	10,91000000	47,41000000
6243220	ALMDORF	FIEBERBRUNNER ACHE	all-GRDC	663,59	12,44250000	47,51970000
6243230	UTTENHOFEN	LEOGANGER ACHE	all-GRDC	719,20	12,81970000	47,44140000
6243235	SAALFELDEN	URSCHLAUBACH	all-GRDC	729,30	12,83890000	47,42810000
6243240	ST. LEONHARD (SUMMENPEGEL)	KONIGSSEEACHE	all-GRDC	446,14	13,04280000	47,72640000
6243245	SALZBURG (SUMMENPEGEL)	SALZACH	all-GRDC	408,06	13,03750000	47,81694444
6243270	HAIDBACH	FELBER BACH	all-GRDC	864,42	12,48640000	47,25310000
6243350	GRIES AM BRENNER	OBERNBERGER SEEBAKH	all-GRDC	1174,66	11,47940000	47,03690000
6243355	ST. JODOK AM BRENNER	SCHMIRNBACH	all-GRDC	1121,02	11,50030000	47,06310000
6243360	STEINACH AM BRENNER	GSCHNITZBACH	all-GRDC	1039,73	11,46580000	47,09330000
6243410	OBEGURGL	GURGLER ACHE	all-GRDC	1878,64	11,01970000	46,86500000
6243450	SCHALKLHOF	SCHERGEN BACH	all-GRDC	982,18	10,49000000	46,93810000
6243810	OSTERNACH	OSTERNACH	all-GRDC	357,00	13,45388889	48,31361111
6243830	PRAM	PRAM	all-GRDC	427,11	13,61000000	48,24000000
6246632	LOBENAU	TAURACHBACH	all-GRDC	835,80	13,48277800	47,37000000
6342050	Fridingen	Bära	all-GRDC	642,10	8,94329644	48,03461406
6342081	Menningen	Ablach	all-GRDC	592,60	9,16383566	48,00593626
6342100	Niederkirch	Riß	all-GRDC	498,27	9,83122577	48,23860776
6342130	Harburg	Wörnitz	all-GRDC	403,09	10,69243605	48,78322699
6342540	TRAUCHGAU	TRAUCHGAUER ACH	all-GRDC	786,00	10,83000000	47,65000000
6342675	VILSBIBURG	VILS	all-GRDC	435,76	12,35604300	48,45296000

St_Nr	St_Name	Gew	Quelle	z_wert	x_4326	y_4326
6342800	Hofkirchen	Donau	all-GRDC	299,60	13,11521769	48,67661873
6342900	ACHLEITEN	DANUBE RIVER	all-GRDC	287,70	13,50436100	48,58240000
10026301	Neu Ulm, Bad Held	Donau	de-LfU	NA	9,98678825	48,38932560
10035801	Dillingen	Donau	de-LfU	NA	10,49875840	48,56815720
10039802	Donauwörth	Donau	de-LfU	NA	10,80156157	48,71086826
10046105	Ingolstadt Luitpoldstraße	Donau	de-LfU	NA	11,42610781	48,75739100
10053009	Kelheim	Donau	de-LfU	NA	11,86468961	48,91645784
10056302	Oberndorf	Donau	de-LfU	NA	12,01498744	48,94694858
11401009	Sonthofen	Iller	de-LfU	NA	10,26035120	47,52424542
11402001	Kempten	Iller	de-LfU	NA	10,31693017	47,73039236
11405000	Wiblingen	Iller	de-LfU	NA	9,98775495	48,37087398
11411104	Birgsau	Stillach	de-LfU	NA	10,26687692	47,32601346
11415008	Oberstdorf Q (virtuell)	Trettach	de-LfU	NA	10,27421178	47,42674967
11425200	Reckenberg	Ostrach	de-LfU	NA	10,32359512	47,50460970
11427603	Winkel	Starzlach	de-LfU	NA	10,29723706	47,52998878
11432002	Gunzesried	Gunzesrieder Ach	de-LfU	NA	10,22991710	47,52197543
11434008	Thalkirchdorf	Konstanzer Ach	de-LfU	NA	10,10766720	47,55790001
11445004	Greifenmühle	Rottach	de-LfU	NA	10,35826919	47,62808093
11455201	Durach	Durach	de-LfU	NA	10,34278482	47,69802431
11465001	Stielings	Leubas	de-LfU	NA	10,33692902	47,76817686
11495002	Heimertingen	Memminger Ach	de-LfU	NA	10,15016448	48,04491273
11548007	Roth	Roth	de-LfU	NA	10,15130052	48,36956933
11582300	Lauben	Günz	de-LfU	NA	10,29959859	48,07166102
11583303	Nattenhausen	Günz	de-LfU	NA	10,31400722	48,23610094
11584000	Waldstetten	Günz	de-LfU	NA	10,30220058	48,35237740
11605009	Hasberg	Östliche Mindel	de-LfU	NA	10,43376731	48,16977303
11605202	Hasberg	Mindel	de-LfU	NA	10,43362959	48,16965779
11609000	Offingen	Mindel	de-LfU	NA	10,38047532	48,48558041
11649004	Zaisertshofen	Flossach	de-LfU	NA	10,51014789	48,13299455
11723504	Bächingen	Brenz	de-LfU	NA	10,31884872	48,54733651
11744005	Wittislingen	Egau	de-LfU	NA	10,42724272	48,61500270
11802509	Reichenbach	Wörnitz	de-LfU	NA	10,25898754	49,17576519
11805008	Gerolfingen	Wörnitz	de-LfU	NA	10,51769357	49,04773753
11808006	Heroldingen	Wörnitz	de-LfU	NA	10,64163872	48,81229161
11864007	Lierheim	Eger	de-LfU	NA	10,60209838	48,80853880
11921701	Fleinhausen	Zusam	de-LfU	NA	10,57004844	48,35900159
11924007	Pfaffenhofen	Zusam	de-LfU	NA	10,71766021	48,60864339
11942009	Fischach	Schmutter	de-LfU	NA	10,65386254	48,29365952
11944004	Achsheim	Schmutter	de-LfU	NA	10,82739364	48,49216271
11946000	Druisheim	Schmutter	de-LfU	NA	10,81861015	48,63544188
12002009	Lechbruck	Lech	de-LfU	NA	10,79799816	47,69816361
12003001	Landsberg	Lech	de-LfU	NA	10,87503041	48,04150376
12003500	Haunstetten	Lech	de-LfU	NA	10,94594203	48,31659168
12006000	Augsburg u. d. Wertachmündung	Lech	de-LfU	NA	10,88807905	48,40695245
12313009	Eschach	Füssener Achen	de-LfU	NA	10,68392605	47,58698661
12335001	Engen	Illach	de-LfU	NA	10,89181386	47,72674441
12401004	Wertach	Wertach	de-LfU	NA	10,40911489	47,58496077
12402007	Sebastianskapelle	Wertach	de-LfU	NA	10,42319114	47,60182931
12404002	Haslach Werksabfluss	Wertach	de-LfU	NA	10,46185241	47,62092283
12404705	Thalhofen	Wertach	de-LfU	NA	10,59542155	47,77341315
12405005	Biessenhofen	Wertach	de-LfU	NA	10,64295183	47,82630673
12406008	Türkheim	Wertach	de-LfU	NA	10,65186247	48,06325801

St_Nr	St_Name	Gew	Quelle	z_wert	x_4326	y_4326
12412000	Wertach	Wertacher Starzlach	de-LfU	NA	10,42022776	47,60048034
12418007	Görisried	Waldbach	de-LfU	NA	10,51112387	47,70590027
12425002	Leuterschach	Lobach	de-LfU	NA	10,58332108	47,74810772
12445000	Hörmanshofen	Geltnach	de-LfU	NA	10,65328262	47,82638332
12465007	Buchloe	Gennach	de-LfU	NA	10,71873298	48,04669321
12483009	Langerringen	Singold	de-LfU	NA	10,75520310	48,14804722
13124001	Winkl	Verlorener Bach	de-LfU	NA	10,92659794	48,16705715
13202003	Dasing	Paar	de-LfU	NA	11,05089615	48,38368677
13206004	Mühlried	Paar	de-LfU	NA	11,28234731	48,57405455
13208000	Manching (Ort)	Paar	de-LfU	NA	11,49374367	48,71766364
13217000	Blumenthal	Ecknach	de-LfU	NA	11,14978859	48,42134279
13242008	Pöttmes	Donaumoos Ach	de-LfU	NA	11,11438050	48,58126651
13242507	Weichering	Donaumoos Ach	de-LfU	NA	11,31287000	48,70857268
13321002	Mainburg	Abens	de-LfU	NA	11,78416181	48,64272563
13322005	Aunkofen	Abens	de-LfU	NA	11,83068910	48,81652831
13400903	Binzwangen	Altmühl	de-LfU	NA	10,37330886	49,38270036
13402807	Thann	Altmühl	de-LfU	NA	10,54465302	49,20651695
13405408	Aha	Altmühl	de-LfU	NA	10,75367375	49,10050976
13406105	Treuchtlingen	Altmühl	de-LfU	NA	10,91358370	48,95315590
13407200	Eichstätt	Altmühl	de-LfU	NA	11,20060396	48,88302553
13424901	Bechhofen	Wieseth	de-LfU	NA	10,54876917	49,15675099
13450300	Schambach	Schambach	de-LfU	NA	10,95355930	48,96729365
13465002	Mettendorf	Schwarzach	de-LfU	NA	11,36544057	49,02986190
13922002	Parsberg	Schwarze Laber	de-LfU	NA	11,72759905	49,17119548
13926207	Deuerling	Schwarze Laber	de-LfU	NA	11,91453735	49,02783563
14002305	Unterköblitz	Naab	de-LfU	NA	12,15399006	49,53559772
14006000	Münchshofen	Naab	de-LfU	NA	12,08413634	49,23399585
14008006	Heitzenhofen	Naab	de-LfU	NA	11,93608748	49,11793535
14101205	Windischeschenbach	Waldnaab	de-LfU	NA	12,16492444	49,79769938
14107008	Iglersreuth Speicherzufluss	Tirschenreuther Waldnaab	de-LfU	NA	12,36387934	49,80859850
14114003	Johannisthal	Tirschenreuther Waldnaab	de-LfU	NA	12,16471785	49,81200069
14201006	Unterbruck	Haidenaab	de-LfU	NA	11,89215932	49,82342918
14209008	Wildenau	Haidenaab	de-LfU	NA	12,12828279	49,60834301
14244803	Grafenwöhř	Creußen	de-LfU	NA	11,91595316	49,71819613
14362005	Böhmischesbrück	Pfreimd	de-LfU	NA	12,34034326	49,57229839
14364000	Trausnitz u. d. Mühle	Pfreimd	de-LfU	NA	12,26428659	49,51932787
14402008	Höll	Schwarzach	de-LfU	NA	12,70444263	49,40958124
14402507	Hocha Perlseeabfluss	Schwarzach	de-LfU	NA	12,69635937	49,38937016
14405200	Rötz Speicherzufluss	Schwarzach	de-LfU	NA	12,51521077	49,33723533
14406508	Eixendorf Speicherabfluss	Schwarzach	de-LfU	NA	12,44797915	49,35950735
14408004	Warnbach	Schwarzach	de-LfU	NA	12,21097807	49,40443493
14425003	Tiefenbach	Bayerische Schwarzach	de-LfU	NA	12,59610978	49,43538292
14426006	Witzelmühle Silberseeabfluss	Bayerische Schwarzach	de-LfU	NA	12,60509163	49,40473569
14465008	Untereppenried	Ascha	de-LfU	NA	12,45937143	49,43204633
14486008	Fronhof	Murach	de-LfU	NA	12,30892040	49,41074886
14602007	Vilseck	Vils	de-LfU	NA	11,80150284	49,61196068
14604002	Amberg	Vils	de-LfU	NA	11,85486485	49,44815145
14606008	Schmidmühlen	Vils	de-LfU	NA	11,92566801	49,26535535
14608003	Dietldorf	Vils	de-LfU	NA	11,94324833	49,20014811
14644801	Obersdorf	Rosenbach	de-LfU	NA	11,79794203	49,49435540
14685004	Stettkirchen	Lauterach	de-LfU	NA	11,81427963	49,29207391
15202300	Chamerau	Regen	de-LfU	NA	12,74643930	49,18145801

St_Nr	St_Name	Gew	Quelle	z_wert	x_4326	y_4326
15205501	Kienhof	Regen	de-LfU	NA	12,49523806	49,18995586
15207507	Marienthal	Regen	de-LfU	NA	12,17470305	49,22280363
15210206	Zwiesel	Schwarzer Regen	de-LfU	NA	13,22093500	49,01002959
15212008	Teisnach	Schwarzer Regen	de-LfU	NA	12,99934004	49,04225959
15212700	Sägmühle	Schwarzer Regen	de-LfU	NA	12,92000931	49,07118942
15213500	Viechtach Reibenmühle	Aitnach	de-LfU	NA	12,91773550	49,06005462
15214003	Zwiesel	Großer Regen	de-LfU	NA	13,23018791	49,01847318
15214604	Hirschbach	Kleiner Regen	de-LfU	NA	13,37135628	49,00732524
15216009	Lohmannmühle	Kleiner Regen	de-LfU	NA	13,23455864	49,00936754
15217908	Teisnach	Teisnach	de-LfU	NA	12,99660670	49,03651432
15221009	Lohberg	Weißer Regen	de-LfU	NA	13,09088925	49,17160563
15228008	Kötzing	Weißer Regen	de-LfU	NA	12,85321622	49,16875240
15241006	Gogl-Mühle	Chamb	de-LfU	NA	12,97562134	49,33055486
15243001	Furth im Wald	Chamb	de-LfU	NA	12,83651665	49,30216793
15246000	Kothmaißling	Chamb	de-LfU	NA	12,73350569	49,24041897
15247002	Leming	Freybach	de-LfU	NA	12,91777742	49,28233169
15247501	Ösbühl	Danglesbach	de-LfU	NA	12,89503330	49,32040855
15314008	Heuweg	Otterbach	de-LfU	NA	12,27492895	49,06258229
15315000	Hammermühle	Otterbach	de-LfU	NA	12,25242724	49,03860189
15325004	Köfering	Pfatter	de-LfU	NA	12,20046457	48,94117283
15408000	Schönach	Große Laber	de-LfU	NA	12,42544405	48,91548425
15422500	Grafenraubach	Kleine Laber	de-LfU	NA	12,30093397	48,79278948
15916000	Salching	Aiterach	de-LfU	NA	12,56978312	48,81043893
15993001	Deggendorf	Kollbach	de-LfU	NA	12,96253252	48,85397464
16001303	Rißbachdüker	Isar	de-LfU	NA	11,41812766	47,55339898
16002500	Sylvenstein	Isar	de-LfU	NA	11,54765403	47,59131218
16003003	Lenggries	Isar	de-LfU	NA	11,57192707	47,68423845
16004006	Bad Tölz KW	Isar	de-LfU	NA	11,54007505	47,77900917
16004403	Puppling	Isar	de-LfU	NA	11,44618038	47,91614033
16005701	München	Isar	de-LfU	NA	11,59684430	48,14534123
16006500	Freising	Isar	de-LfU	NA	11,75226848	48,39813623
16007004	Landshut Birket	Isar	de-LfU	NA	12,13347527	48,52756867
16008007	Landau	Isar	de-LfU	NA	12,69270830	48,67518405
16008506	Plattling	Isar	de-LfU	NA	12,88358252	48,77089896
16124950	Mittenwald	Leutasch	de-LfU	NA	11,25313546	47,42724404
16145008	Rißbachklamm	Rißbach	de-LfU	NA	11,44235006	47,51801573
16163000	Dürrach	Dürrach	de-LfU	NA	11,53925800	47,55332621
16312008	Sylvenstein	Schronbach	de-LfU	NA	11,54102135	47,58757198
16326002	Peternerbrücke	Jachen	de-LfU	NA	11,50291101	47,61149179
16345007	Gaißbach	Große Gaißbach	de-LfU	NA	11,57625147	47,73952710
16395005	Bairawies	Zeller Bach	de-LfU	NA	11,53644622	47,83608499
16401006	Garmisch o. d. Partnachmündung	Loisach	de-LfU	NA	11,06325534	47,48338050
16402009	Garmisch u. d. Partnachmündung	Loisach	de-LfU	NA	11,08826944	47,50225628
16404900	Schlehdorf	Loisach	de-LfU	NA	11,32497700	47,66747403
16407002	Kochel	Loisach	de-LfU	NA	11,36302432	47,66574250
16408504	Beuerberg	Loisach	de-LfU	NA	11,41500152	47,83520517
16425004	Partenkirchen (alt)	Partnach	de-LfU	NA	11,11533224	47,48010962
16527503	Oberding	Gfällach	de-LfU	NA	11,82049190	48,31826409
16602303	Stegen	Amper	de-LfU	NA	11,12929423	48,07908158
16603000	Grafath	Amper	de-LfU	NA	11,15729782	48,12259381
16605006	Fürstenfeldbruck	Amper	de-LfU	NA	11,26143306	48,17703364
16607001	Inkofen	Amper	de-LfU	NA	11,86552734	48,46065748

St_Nr	St_Name	Gew	Quelle	z_wert	x_4326	y_4326
16610709	Oberammergau	Ammer	de-LfU	NA	11,06419184	47,59456617
16612001	Peißenberg	Ammer	de-LfU	NA	11,05739797	47,77825193
16613004	Weilheim	Ammer	de-LfU	NA	11,13504349	47,84711737
16615203	Unternogg	Halbammer	de-LfU	NA	10,96593059	47,64436169
16616002	Obernach	Ach	de-LfU	NA	11,12201535	47,69276199
16618008	Oberhausen	Ach	de-LfU	NA	11,12322317	47,76774858
16625003	Raisting	Rott	de-LfU	NA	11,11102824	47,92359454
16642002	Obermühlhausen	Windach	de-LfU	NA	11,00289449	47,98226341
16644050	Oberfinning Speicherabgabe	Windach	de-LfU	NA	11,01518971	48,00305808
16658002	Bergkirchen	Maisach	de-LfU	NA	11,36478053	48,25188331
16665008	Leutstetten	Würm	de-LfU	NA	11,36315366	48,02917632
16667604	Seeshaupt	Steinbach	de-LfU	NA	11,32182096	47,81922216
16668800	Starnberg	Georgenbach	de-LfU	NA	11,34676228	48,00025116
16669009	Percha	Lüßbach	de-LfU	NA	11,36100788	47,99777259
16686008	Hohenkammer	Glonn	de-LfU	NA	11,52615509	48,42655808
16802007	Berg	Sempt	de-LfU	NA	11,89814296	48,25299489
16806008	Langengeisling	Saubach	de-LfU	NA	11,91608200	48,32928541
16825002	Appolding	Strogen	de-LfU	NA	11,98247411	48,41297290
16827008	Operding	Hammerbach	de-LfU	NA	11,97232843	48,27133639
16965001	Wallersdorf	Reißingerbach	de-LfU	NA	12,74487059	48,73684768
17125006	Auerbach	Hengersberger Ohe	de-LfU	NA	13,09289713	48,79831705
17201501	Aham	Vils	de-LfU	NA	12,47233120	48,52741925
17204204	Rottersdorf	Vils	de-LfU	NA	12,69387354	48,60624477
17207508	Grafenmühle	Vils	de-LfU	NA	13,14572841	48,61083689
17215007	Vilsbiburg	Große Vils	de-LfU	NA	12,36567160	48,45321425
17225000	Dietelskirchen	Kleine Vils	de-LfU	NA	12,34406978	48,49581270
17242000	Kollbach	Kollbach	de-LfU	NA	12,73125254	48,52687571
17325005	Neustift	Wolfach	de-LfU	NA	13,19676811	48,58531691
17345002	Hörmannsberg	Gaißa	de-LfU	NA	13,37323850	48,62841534
17404000	Schrottenbaummühle	Ilz	de-LfU	NA	13,43918961	48,73133548
17406005	Kalteneck	Ilz	de-LfU	NA	13,45190988	48,68872568
17413000	Taferlrück	Große Ohe	de-LfU	NA	13,41254159	48,93802536
17415006	Schönberg	Große Ohe	de-LfU	NA	13,35381112	48,83678735
17425000	Eberhardsreuth	Mitternacher Ohe	de-LfU	NA	13,35386637	48,81889455
17445007	Grafenau	Kleine Ohe	de-LfU	NA	13,38740639	48,85692985
17464001	Fürsteneck	Wolfsteiner Ohe	de-LfU	NA	13,46810025	48,71863335
17466007	Unterkashof	Reschwasser	de-LfU	NA	13,54235311	48,84880254
17467000	Linden	Sausswasser	de-LfU	NA	13,56559343	48,82459143
17468002	Röhrnbach	Osterbach	de-LfU	NA	13,52319684	48,72725189
18000403	Oberaudorf	Inn	de-LfU	NA	12,19646165	47,64402224
18001508	Rosenheim o.d. Mangfallmündung	Inn	de-LfU	NA	12,14355519	47,85407039
18003004	Wasserburg	Inn	de-LfU	NA	12,23429839	48,05929200
18004007	Kraiburg	Inn	de-LfU	NA	12,42221132	48,18800485
18004506	Mühldorf	Inn	de-LfU	NA	12,52865975	48,23909926
18005000	Eschelbach	Inn	de-LfU	NA	12,72987674	48,25520097
18008008	Passau Ingling	Inn	de-LfU	NA	13,44419203	48,56145450
18182005	Bleyerbrücke	Kieferbach	de-LfU	NA	12,15655927	47,61386557
18193001	Bad Trißl	Auerbach	de-LfU	NA	12,15410474	47,65841523
18194503	Mühlhausen	Euzenauer Bach	de-LfU	NA	12,17033794	47,70691276
18196000	Nußdorf	Steinbach	de-LfU	NA	12,18169421	47,74624741
18199008	Stephanskirchen	Sims	de-LfU	NA	12,18713879	47,85010496
18202000	Schmerold	Mangfall	de-LfU	NA	11,76851858	47,77341675

St_Nr	St_Name	Gew	Quelle	z_wert	x_4326	y_4326
18203003	Valley	Mangfall	de-LfU	NA	11,78352127	47,89524410
18204006	Feldolling	Mangfall	de-LfU	NA	11,85246068	47,89265109
18209000	Rosenheim	Mangfall	de-LfU	NA	12,12545306	47,84474745
18212004	Oberach	Weißbach	de-LfU	NA	11,76695492	47,67524365
18214000	Bad Kreuth	Sagenbach	de-LfU	NA	11,75011560	47,62737085
18216005	Rottach	Rottach	de-LfU	NA	11,77395561	47,69192899
18226009	Miesbach	Schlierzach	de-LfU	NA	11,82921553	47,78914980
18242005	Stauden	Leitzach	de-LfU	NA	11,93384787	47,70918608
18246006	Erb	Leitzach	de-LfU	NA	11,82912618	47,88674995
18262002	Beyharting	Glonn	de-LfU	NA	11,99075743	47,92244204
18263005	Bad Aibling	Glonn	de-LfU	NA	12,01067616	47,86060463
18284504	Bad Feilnbach	Jenbach	de-LfU	NA	12,00318345	47,78530216
18286000	Au b. Bad Aibling	Aubach	de-LfU	NA	11,97274903	47,79691153
18322002	Weichselbaum	Murn	de-LfU	NA	12,21220294	47,98012157
18343002	Aßling	Attel	de-LfU	NA	12,01053537	47,99302216
18346000	Anger	Attel	de-LfU	NA	12,14794590	48,02385380
18381500	Weg	Isen	de-LfU	NA	12,03648889	48,24205211
18384509	Engfurt	Isen	de-LfU	NA	12,61266328	48,28091435
18387008	Großschwindau	Goldach	de-LfU	NA	12,13788294	48,22969896
18403002	Seebrück	Alz	de-LfU	NA	12,48026758	47,93440882
18405008	Altenmarkt a. d. A.	Alz	de-LfU	NA	12,53171173	48,00343355
18408200	Burgkirchen	Alz	de-LfU	NA	12,73105641	48,17146310
18454003	Staudach	Tiroler Achen	de-LfU	NA	12,47565097	47,78139391
18460403	Übersee	Überseer Bach	de-LfU	NA	12,48111301	47,82095028
18463004	Prien	Prien	de-LfU	NA	12,34099321	47,85534602
18465600	Bergen	Weisse Ache	de-LfU	NA	12,57299698	47,81035740
18481006	Hochberg	Traun	de-LfU	NA	12,64610577	47,83312749
18483500	Stein bei Altenmarkt	Traun	de-LfU	NA	12,54247243	47,99120515
18486000	Siegsdorf	Weiße Traun	de-LfU	NA	12,64536095	47,82555581
18487501	Werneleiten	Rote Traun	de-LfU	NA	12,64949690	47,82907792
18602009	Laufen Siegerstetter Keller	Salzach	de-LfU	NA	12,93284230	47,93962545
18606000	Burghausen	Salzach	de-LfU	NA	12,83438895	48,15861766
18620500	Berchtesgaden-Klärwerk	Berchtesgadener Ache	de-LfU	NA	13,03231510	47,64576872
18622006	Ilsank	Ramsauer Ache	de-LfU	NA	12,95320845	47,61404822
18624001	Stanggass	Bischofswieser Ache	de-LfU	NA	12,97077742	47,64037673
18625004	Schwöbbrücke	Königsseer Ache	de-LfU	NA	12,99699996	47,61635327
18642003	Unterjettenberg	Saalach	de-LfU	NA	12,82287302	47,68117243
18662000	Teisendorf	Sur	de-LfU	NA	12,83064682	47,85277605
18666001	Brodhausen	Sur	de-LfU	NA	12,94602319	47,84715268
18668007	Hammer	Oberteisendorfer Ache	de-LfU	NA	12,78537615	47,84326453
18669000	Thundorf	Kleine Sur	de-LfU	NA	12,90813928	47,82588875
18683000	Unverzug	Götzinger Achen	de-LfU	NA	12,82789147	47,91749266
18801005	Kinning	Rott	de-LfU	NA	12,52694909	48,36912854
18803805	Linden	Rott	de-LfU	NA	12,83234771	48,41187381
18804706	Postmünster	Rott	de-LfU	NA	12,90468707	48,42027288
18806406	Birnbach	Rott	de-LfU	NA	13,07269731	48,43583082
18808004	Ruhstorf	Rott	de-LfU	NA	13,33395765	48,42819663
18825003	Panzing	Bina	de-LfU	NA	12,57048275	48,43266403
18855004	Postmünster	Gambach	de-LfU	NA	12,90149153	48,42232522

St_Nr	POS_P_HR	DuP_P_HR	POS_P_EU	CuL_P_EU	DIF_hr_eu	Lage	BRFI	grDuP
105	899,3	55,1	890998,2	297353,8	8,3	Donau	0,18958524	3
120	818,4	136,2	793026,8	1024153,0	25,4	Donau	0,12188731	4
125	773,4	180,8	746232,9	1596759,0	27,2	Donau	0,08895828	4
129	763,4	48,8	734225,2	126134,8	29,2	Sued	0,19780533	3
139	937,0	8,8	934499,5	14468,5	2,5	oberhalb Versickerun	0,18393262	1
144	812,7	33,4	784440,7	167669,3	28,3	Sued	0,17916116	3
162	857,8	24,9	843416,7	62098,3	14,4	Nord	0,08663272	2
168	860,6	94,0	845425,2	505696,8	15,2	Donau	0,19870120	3
173	792,2	23,4	762679,3	46522,7	29,5	Sued	0,18780039	2
177	789,9	22,1	761319,0	61837,0	28,6	Sued	0,18266609	2
192	885,5	18,6	875675,8	29028,2	9,8	Nord	0,21462733	2
194	887,1	67,5	878821,6	340745,4	8,3	Donau	0,24515641	3
1101	769,2	35,8	737990,9	52909,1	31,2	Sued	0,22223855	3
1111	819,8	22,7	791348,0	84720,9	28,5	Sued	0,18174358	2
1120	842,6	33,3	823996,0	69563,0	18,6	Nord	0,15249171	3
1131	833,0	49,7	809656,8	167253,2	23,3	Nord	0,05432022	3
1139	932,2	22,3	929946,6	66857,4	2,3	oberhalb Versickerun	0,19683692	2
1140	917,0	34,1	912611,1	77013,8	4,4	oberhalb Versickerun	0,24717056	3
1155	749,1	7,4	725760,5	339,5	23,3	Nord	0,06705410	1
200378	884,3	13,3	868688,3	53443,7	15,6	Sued	0,18122483	2
201012	868,3	29,3	852359,1	180463,9	15,9	Sued	0,17163199	2
201087	818,6	79,1	802967,8	753118,2	15,6	Sued	0,14629288	3
201095	703,8	18,8	690355,7	107409,3	13,4	Sued	0,06910062	2
201111	811,1	36,7	795275,4	137796,6	15,8	Sued	0,20449078	3
201178	792,5	108,2	759523,6	1431859,4	33,0	Sued	0,18349807	4
201194	772,7	127,8	739383,8	1633221,2	33,3	Sued	0,17182258	4
201350	786,5	16,7	753849,0	44696,0	32,7	Sued	0,14463374	2
201392	759,2	44,0	726498,0	310966,0	32,7	Sued	0,12356175	3
201434	743,8	59,3	710914,7	476741,3	32,9	Sued	0,12192732	3
201459	728,2	172,3	694313,9	3378248,1	33,9	Sued	0,11915476	4
201525	681,6	218,9	650658,8	3843822,2	30,9	Sued	0,10805631	4
201574	701,0	26,1	671559,0	241870,0	29,4	Sued	0,08090118	2
201624	678,2	222,2	647726,7	582497,3	30,5	Sued	0,08420245	4
201681	640,7	259,6	612609,1	4813789,9	28,1	Sued	0,09624453	4
201772	658,3	31,7	628991,5	155945,5	29,3	Sued	0,23925988	3
201780	644,8	52,7	615677,4	768088,6	29,1	Sued	0,21117123	3
201806	631,9	268,6	604221,1	5716472,9	27,7	Sued	0,10177646	4
201822	632,7	30,9	604694,7	258149,3	28,0	Sued	0,27554675	3
201863	616,6	31,6	591326,7	314712,3	25,3	Sued	0,17858103	3
201889	608,8	291,6	581262,1	6475222,9	27,5	Sued	0,09461767	4
201913	583,3	20,8	570917,5	128039,5	12,4	Sued	0,17361130	2
201921	575,2	30,9	563615,0	129890,0	11,6	Sued	0,19628115	3
201939	574,0	32,2	562404,0	279891,0	11,6	Sued	0,19009160	3
202036	759,6	54,1	726625,5	532250,5	33,0	Sued	0,10908498	3
203026	662,3	26,2	639903,2	156404,8	22,4	Sued	0,20858383	2
203034	662,4	18,1	639908,9	56883,1	22,5	Sued	0,18015140	2
203075	639,7	48,7	619468,5	484685,5	20,2	Sued	0,17050230	3
203265	564,6	21,6	545288,9	142932,1	19,3	Sued	0,23082270	2
203307	545,3	143,1	525618,5	292641,5	19,7	Sued	0,28553309	4

St_Nr	POS_P_HR	DuP_P_HR	POS_P_EU	CuL_P_EU	DIF_hr_eu	Lage	BRFI	grDuP
203323	542,8	145,6	522465,8	2838435,2	20,3	Sued	0,12999733	4
203463	589,7	23,4	570589,0	119182,0	19,1	Sued	0,14519988	2
203521	513,4	99,8	494273,7	880512,3	19,1	Sued	0,19282652	3
203539	495,8	192,7	475364,7	4580788,3	20,4	Sued	0,13936623	4
203570	513,4	99,8	494273,7	880512,3	19,1	Sued	0,21102004	3
203711	484,5	25,0	477154,8	103559,2	7,3	Sued	0,14744288	2
204677	436,0	50,6	421019,6	238676,4	15,0	Sued	0,10252416	3
204719	424,7	33,9	405487,0	184854,0	19,2	Sued	0,24531036	3
204750	415,3	23,7	404327,5	104161,5	11,0	Sued	0,31564286	2
204784	420,6	16,2	408733,3	23832,7	11,9	Sued	0,42681929	2
204834	407,9	15,2	392237,6	53423,4	15,7	Sued	0,25547884	2
204867	395,8	41,1	380308,1	171818,9	15,5	Sued	0,38361913	3
204933	334,0	43,5	325610,8	300282,2	8,4	Nord	0,17371140	3
205013	327,0	25,2	318831,3	61842,7	8,2	Sued	0,34369499	2
205047	339,0	7,7	329988,8	26651,2	9,0	Sued	0,43047286	1
205054	321,4	25,2	311686,5	139939,5	9,7	Sued	0,39236913	2
205153	374,5	60,6	366637,0	432088,3	7,9	Sued	0,17142166	3
205187	376,1	29,8	367393,8	205925,2	8,7	Sued	0,25205767	2
205294	386,3	25,3	378395,3	86412,7	7,9	Sued	0,29422180	2
205377	365,4	17,8	358269,6	52984,4	7,1	Sued	0,27219238	2
205419	342,8	40,3	333758,1	242040,9	9,0	Sued	0,28782282	3
205450	322,6	89,1	312353,2	707983,8	10,2	Sued	0,15499495	3
205518	318,4	48,9	309512,3	323919,7	8,9	Sued	0,22091796	3
205633	323,2	9,7	315540,0	30116,0	7,7	Sued	0,29080414	1
205641	306,5	26,3	295923,0	88733,0	10,6	Sued	0,39265183	2
205658	283,2	49,7	272541,6	203715,4	10,7	Sued	0,31563239	3
205740	313,2	23,0	304537,2	151311,8	8,7	Sued	0,38515446	2
205757	287,3	222,2	277302,1	366712,9	10,0	Sued	0,16567505	4
205799	332,7	22,1	324083,4	118413,6	8,6	Sued	0,18614457	2
205831	335,2	28,9	326866,4	179201,6	8,3	Sued	0,22627233	2
205856	330,8	12,9	321929,1	59999,8	8,9	Sued	0,38179133	2
205864	325,3	38,8	315666,5	386262,5	9,6	Sued	0,20987039	3
205898	317,2	23,1	307314,8	116699,2	9,9	Sued	0,30577011	2
205914	291,7	72,4	281199,0	658402,0	10,5	Sued	0,20553383	3
205922	285,0	79,1	274994,6	4526291,0	10,0	Sued	0,16192681	3
205997	274,3	13,2	269456,2	42407,8	4,8	Nord	0,17122441	2
206029	241,6	45,9	233294,5	168598,5	8,3	Nord	0,16830376	3
206169	330,9	15,6	322179,0	41036,0	8,7	Sued	0,46687002	2
206201	392,3	508,1	376327,0	16746004,0	16,0	Sued	0,10478463	5
206268	409,6	11,4	396201,0	24105,0	13,4	Sued	0,49109677	2
206409	305,2	129,9	290659,9	2091957,0	14,5	Sued	0,13184550	4
206581	280,8	25,1	277128,8	95977,2	3,7	Nord	0,22635835	2
206599	285,1	17,3	274933,9	40888,1	10,2	Sued	0,45809443	2
207324	41,2	284,2	43485,3	10248484,0	-2,3	Nord	0,09591114	4
207357	155,2	799,3	150841,4	54133055,0	4,4	Donau	0,08608334	5
207654	258,6	67,2	256466,1	390143,9	2,1	Sued	0,26848356	3
207688	221,0	104,9	216289,5	781733,5	4,7	Sued	0,29014420	4
207696	239,3	21,6	237806,0	102625,0	1,5	Sued	0,42203303	2
207803	193,8	63,1	188538,4	354622,6	5,3	Sued	0,22441965	3
207811	182,5	31,9	176480,2	105012,8	6,0	Nord	0,20499553	3
207837	183,1	32,0	177529,5	153429,5	5,6	Sued	0,32096668	3
207852	206,2	34,9	206095,5	161673,5	0,1	Sued	0,26954973	3

St_Nr	POS_P_HR	DuP_P_HR	POS_P_EU	CuL_P_EU	DIF_hr_eu	Lage	BRFI	grDuP
207878	146,1	45,6	142673,8	153568,2	3,4	Nord	0,21596547	3
207894	170,6	36,1	167682,3	219316,7	2,9	Sued	0,13430568	3
207910	155,3	51,4	151394,4	398390,6	3,9	Sued	0,16093958	3
207944	208,1	44,9	227200,5	296305,5	-19,1	Nord	0,17822331	3
207951	226,4	22,8	251868,6	47686,4	-25,5	Nord	0,24305079	2
207993	147,0	106,1	148137,3	719614,7	-1,1	Nord	0,14773690	4
208009	116,4	38,7	111082,4	105141,6	5,3	Sued	0,36672592	3
208017	115,7	26,2	112764,7	69505,3	2,9	Sued	0,28670815	2
208041	131,7	30,8	134790,4	89748,6	-3,1	Nord	0,19231803	3
208058	102,1	42,3	100347,6	112644,4	1,8	Nord	0,16904426	3
208090	88,9	25,4	88479,1	63989,9	0,4	Sued	0,33847015	2
208116	105,9	21,4	105265,3	67847,7	0,6	Sued	0,25977871	2
208124	94,9	32,5	94140,9	110433,1	0,8	Sued	0,23523393	3
208157	56,9	70,5	55336,8	469760,2	1,6	Sued	0,16883935	3
208272	120,6	13,8	123075,6	21597,4	-2,5	Sued	0,12316240	2
208280	94,3	40,1	94691,7	110958,3	-0,4	Sued	0,10430866	3
208611	300,5	25,4	367883,4	69292,3	-67,4	Nord	0,35435293	2
208629	255,8	70,2	303673,0	544665,0	-47,9	Nord	0,21812778	3
209189	73,4	55,9	79123,8	189621,2	-5,7	Nord	0,16750969	3
209338	168,0	20,1	176436,9	67570,1	-8,4	Nord	0,27557829	2
209361	186,5	13,2	186525,6	61764,4	0,0	Sued	0,19859217	2
209486	137,6	16,4	135721,4	25524,6	1,9	Sued	0,34260193	2
210641	460,9	48,7	454675,9	485467,1	6,2	Sued	0,11091142	3
341000	279,5	21,7	316731,9	78786,1	-37,2	Nord	0,13132925	2
343000	297,6	17,4	317653,2	72571,8	-20,1	Nord	0,12166324	2
344000	299,4	18,0	318323,6	68087,4	-18,9	Nord	0,09860250	2
345000	290,0	29,2	308376,7	242955,3	-18,4	Nord	0,11527700	2
348000	290,7	11,6	309398,4	53161,6	-18,7	Nord	0,10549203	2
353000	281,6	27,1	298554,8	67013,2	-17,0	Nord	0,19546462	2
354000	274,8	37,7	289506,4	210107,6	-14,7	Nord	0,20379635	3
355000	252,8	66,4	265801,6	903917,4	-13,0	Nord	0,13643498	3
356000	275,9	24,2	288909,6	61125,4	-13,0	Nord	0,21188556	2
357000	288,1	11,4	300676,4	19042,6	-12,6	Nord	0,22850924	2
359000	280,1	19,7	293311,9	66263,1	-13,2	Nord	0,21845279	2
360000	270,3	29,8	284242,4	155968,6	-13,9	Nord	0,19505878	2
362000	NA	NA	262695,3	47261,7	NA	Sued	0,15515201	NA
363000	243,4	26,6	255139,2	130017,8	-11,7	Nord	0,16240750	2
364000	238,9	22,7	248008,1	20638,9	-9,1	Nord	0,19019374	2
366000	224,8	39,9	235309,7	95014,3	-10,5	Nord	0,21093217	3
367000	217,7	101,5	227347,5	1719491,0	-9,6	Nord	0,12817268	4
370000	305,5	11,1	316638,6	210524,0	-11,1	Nord	0,42669376	2
379000	277,8	38,8	285918,2	162785,8	-8,1	Nord	0,40198173	3
380000	274,2	12,5	281205,2	16618,8	-7,0	Nord	0,37691700	2
382000	263,8	52,9	270865,7	236912,3	-7,1	Nord	0,37518135	3
383000	291,2	4,9	298465,2	3055,8	-7,3	Nord	0,38635055	1
386000	273,9	22,2	281000,8	71280,2	-7,1	Nord	0,33652277	2
387000	261,4	34,6	268688,2	106947,8	-7,3	Nord	0,34053412	3
387500	278,4	6,1	282850,7	8384,3	-4,5	Nord	0,28806952	1
388000	262,7	21,8	267550,5	32795,5	-4,9	Nord	0,29455449	2
389000	239,9	76,7	246655,1	450609,9	-6,8	Nord	0,33353002	3
389500	237,7	16,9	244896,2	29058,8	-7,2	Nord	0,25606881	2
390000	207,4	109,3	214564,8	601050,2	-7,2	Nord	0,30226780	4

St_Nr	POS_P_HR	DuP_P_HR	POS_P_EU	CuL_P_EU	DIF_hr_eu	Lage	BRFI	grDuP
393000	205,5	43,4	210280,8	110752,2	-4,8	Nord	0,16198793	3
394000	230,9	10,2	235375,5	24351,5	-4,5	Nord	0,24862412	2
396000	223,6	24,4	226259,1	59920,0	-2,7	Nord	0,22232095	2
397000	198,8	49,0	204642,9	197642,1	-5,8	Nord	0,18567785	3
400000	218,2	21,2	224426,0	48466,2	-6,2	Nord	0,24606165	2
401000	212,8	17,9	218189,4	45890,6	-5,4	Nord	0,31200619	2
402000	200,2	24,2	208479,0	94412,0	-8,3	Nord	0,31832084	2
403000	180,6	138,6	187746,7	3188303,0	-7,1	Nord	0,17297226	4
405000	182,6	23,3	191536,1	30602,9	-8,9	Nord	0,32764214	2
407000	192,0	8,5	199168,2	10873,8	-7,2	Nord	0,39049159	1
410000	183,2	9,3	190773,4	11374,6	-7,6	Nord	0,39252846	1
412000	178,6	28,5	186125,3	97247,7	-7,5	Nord	0,36174456	2
413000	156,9	162,3	166364,5	3507064,0	-9,5	Nord	0,17454926	4
414000	152,4	10,9	161992,5	19375,5	-9,6	Nord	0,27028612	2
414700	182,7	9,2	192712,9	13494,1	-10,0	Nord	0,40996230	1
415000	180,3	11,7	190410,2	14103,8	-10,1	Nord	0,35732208	2
418000	184,0	7,9	172616,9	156024,1	11,4	Nord	0,33219818	1
421500	123,2	196,0	133185,8	3981324,0	-10,0	Nord	0,16623198	4
422000	125,9	33,1	133547,0	84827,0	-7,6	Nord	0,27186885	3
423000	119,2	17,6	125376,3	29649,7	-6,2	Nord	0,27783435	2
429000	275,9	35,7	329110,8	182271,2	-53,2	Nord	0,18013001	3
430000	230,2	95,8	268321,9	693172,1	-38,1	Nord	0,20584979	3
431000	249,8	22,9	284574,1	45221,9	-34,8	Nord	0,24875426	2
432000	230,9	41,7	262684,4	119853,6	-31,8	Nord	0,23520868	3
435000	185,9	140,1	200519,0	972261,0	-14,6	Nord	0,15030380	4
436500	157,8	168,2	170624,3	1063071,0	-12,8	Nord	0,04090810	4
437000	143,1	182,8	154049,1	1438582,0	-10,9	Nord	0,13343451	4
438000	191,7	28,7	201710,3	69052,7	-10,0	Nord	0,24746388	2
439000	176,6	43,8	182628,1	173347,9	-6,0	Nord	0,18755859	3
440000	157,6	62,8	164221,2	265743,8	-6,6	Nord	0,17395725	3
441000	238,0	29,3	266801,7	48311,3	-28,8	Nord	0,23588360	2
441400	246,6	5,9	275240,8	11182,2	-28,6	Nord	0,20343106	1
441500	232,8	19,8	260241,3	36546,7	-27,4	Nord	0,20525986	2
442000	226,1	41,2	252608,1	131067,9	-26,5	Nord	0,22010288	3
444000	232,1	7,6	257173,8	9328,2	-25,1	Nord	0,19169379	1
445000	215,3	52,0	238134,3	177424,7	-22,8	Nord	0,14273114	3
445100	214,2	17,1	234651,1	30312,9	-20,5	Nord	0,18683049	2
446000	196,6	41,4	218567,1	93582,9	-22,0	Nord	0,19118814	3
447000	191,9	46,1	212016,2	150668,8	-20,1	Nord	0,17816672	3
448000	177,9	89,5	196264,6	556211,4	-18,4	Nord	0,13690780	3
452000	215,7	27,9	237138,6	83096,3	-21,4	Nord	0,11792796	2
453000	210,0	27,1	230759,6	45046,4	-20,8	Nord	0,12898829	2
454000	206,7	36,9	227701,0	151229,0	-21,0	Nord	0,11934511	3
455000	204,5	14,2	225133,5	27070,5	-20,6	Nord	0,20394025	2
455100	195,3	11,2	215756,0	16878,0	-20,5	Nord	0,25148134	2
456000	189,5	17,0	209827,6	31734,4	-20,3	Nord	0,20386699	2
457000	169,4	74,2	184739,6	409851,4	-15,3	Nord	0,14042689	3
458000	155,7	33,3	169057,7	78062,3	-13,4	Nord	0,17596222	3
459000	192,2	12,7	200884,6	22622,4	-8,7	Nord	0,27292733	2
461000	158,2	46,7	168742,0	170374,0	-10,5	Nord	0,20929911	3
462000	142,2	125,2	154734,8	1477238,0	-12,5	Nord	0,13156115	4
463000	265,1	14,5	297464,8	27133,2	-32,4	Nord	0,15724473	2

St_Nr	POS_P_HR	DuP_P_HR	POS_P_EU	CuL_P_EU	DIF_hr_eu	Lage	BRFI	grDuP
465000	253,9	29,7	284569,7	99669,3	-30,7	Nord	0,14623163	2
469000	201,1	82,4	222967,6	330132,4	-21,9	Nord	0,15665668	3
470000	213,3	25,1	243042,0	69352,0	-29,7	Nord	0,18823781	2
471000	209,1	29,3	238466,1	77531,9	-29,4	Nord	0,18920068	2
472000	210,5	21,6	237742,3	1046,7	-27,2	Nord	0,26765708	2
473000	200,4	38,1	228723,7	172290,3	-28,3	Nord	0,19072637	3
474000	158,7	79,8	176052,8	317383,2	-17,4	Nord	0,17730462	3
476000	202,9	29,6	234494,2	111527,8	-31,6	Nord	0,18775567	2
477000	155,6	76,8	183794,3	223856,7	-28,2	Nord	0,18122456	3
483100	152,5	8,4	162260,5	11510,5	-9,8	Nord	0,30581691	1
484000	148,8	12,1	159174,0	17308,0	-10,4	Nord	0,33742025	2
486000	125,8	35,1	135708,5	44621,5	-9,9	Nord	0,22622625	3
6142150	71,4	254,6	78759,6	9720683,0	-7,4	Nord	0,09853101	4
6142200	0,0	954,6	0,0	68933963,0	0,0	Donau	0,06648171	5
6242030	326,8	28,9	313848,9	107508,1	13,0	Nord	0,21215737	2
6242070	298,5	30,8	286884,8	84185,2	11,6	Nord	0,21022994	3
6242120	267,0	32,4	256880,8	128407,2	10,1	Nord	0,24338607	3
6242130	253,9	23,7	244093,9	54347,1	9,8	Sued	0,20920548	2
6242240	416,4	25,9	414317,7	854095,3	2,1	Sued	0,18061016	2
6242280	351,9	12,2	345679,2	29484,8	6,2	Sued	0,14689917	2
6242281	344,9	19,2	338424,5	42426,5	6,5	Sued	0,19152184	2
6242290	405,7	36,3	399861,0	315895,0	5,8	Sued	0,08758888	3
6242300	177,0	777,6	171644,6	53570940,0	5,4	Donau	0,08564925	5
6242310	165,4	8,9	160445,6	32450,4	5,0	Nord	0,15760806	1
6242600	357,8	77,2	349748,5	821299,5	8,1	Sued	0,19341263	3
6242610	414,2	14,9	408401,4	27725,6	5,8	Sued	0,17925007	2
6242613	351,2	60,5	343433,0	262246,0	7,8	Sued	0,08861795	3
6242615	375,6	36,1	367581,2	143612,8	8,0	Sued	0,13762781	3
6242620	319,4	115,7	309131,4	1673936,0	10,3	Sued	0,15317880	4
6242621	305,7	22,8	292713,8	30566,2	13,0	Sued	0,17928966	2
6242700	16,3	938,3	15382,6	57804749,0	0,9	Donau	0,08119566	5
6242933	707,9	10,7	697196,4	52540,6	10,7	Sued	0,11642354	2
6243220	573,7	25,4	562473,9	134665,1	11,2	Sued	0,19075764	2
6243230	574,5	38,7	555153,1	101129,9	19,3	Sued	0,17272754	3
6243235	576,1	20,2	556825,4	96137,6	19,3	Sued	0,20143252	2
6243240	528,0	38,3	507065,4	237050,6	20,9	Sued	0,22373013	3
6243245	512,8	175,5	492575,7	3396280,0	20,2	Sued	0,14038003	4
6243270	641,8	15,2	622463,2	59398,8	19,3	Sued	0,12583211	2
6243350	710,7	12,3	681666,7	34193,3	29,0	Sued	0,05018057	2
6243355	708,0	15,3	679628,9	54973,1	28,4	Sued	0,08765040	2
6243360	703,6	23,4	674454,2	78130,8	29,1	Sued	0,10738771	2
6243410	782,3	11,9	750265,0	45712,0	32,0	Sued	0,15049764	2
6243450	801,2	99,3	768664,4	1287633,0	32,5	Sued	0,12582032	3
6243810	411,3	18,2	400548,4	42740,6	10,8	Sued	0,49432511	2
6243830	430,4	6,5	421084,3	25647,7	9,3	Sued	0,42947059	1
6246632	482,3	20,7	474958,6	74915,4	7,3	Sued	0,09108033	2
6342050	871,9	23,9	860088,5	57697,5	11,8	Nord	0,19904639	2
6342081	840,6	27,8	815350,1	87342,9	25,2	Sued	0,25339104	2
6342100	771,3	44,2	741737,1	176332,9	29,6	Sued	0,14802813	3
6342130	677,5	83,8	658801,1	702790,9	18,7	Nord	0,20880652	3
6342540	796,4	11,0	776050,5	319985,5	20,3	Sued	0,36501958	2
6342675	480,6	33,3	473076,2	132488,8	7,5	Sued	0,30222661	3

St_Nr	POS_P_HR	DuP_P_HR	POS_P_EU	CuL_P_EU	DIF_hr_eu	Lage	BRFI	grDuP
6342800	409,6	544,9	392091,0	23587758,0	17,5	Donau	0,06960972	5
6342900	373,2	581,2	357998,2	41912800,0	15,2	Donau	0,07030279	5
10026301	746,0	208,5	716701,8	3553428,0	29,3	Donau	0,12881615	4
10035801	693,9	260,6	668060,6	5347201,0	25,8	Donau	0,12158015	4
10039802	661,8	292,8	637976,9	6989575,0	23,8	Donau	0,11307141	4
10046105	608,4	346,1	587633,3	10087114,0	20,8	Donau	0,09804871	5
10053009	564,8	389,8	550300,3	11327642,0	14,5	Donau	0,09293383	5
10056302	547,1	407,5	527009,0	12645458,0	20,1	Donau	0,08889730	5
11401009	868,9	36,4	851870,0	305160,8	17,0	Sued	0,22338818	3
11402001	838,9	66,4	819347,4	665600,6	19,6	Sued	0,24005519	3
11405000	747,8	157,4	720259,3	1379,3	27,5	Sued	0,24172477	4
11411104	894,4	10,8	878468,9	26858,1	15,9	Sued	0,16764424	2
11415008	881,9	14,9	864120,4	58147,6	17,8	Sued	0,13568908	2
11425200	873,2	22,1	856691,0	94705,0	16,5	Sued	0,22064577	2
11427603	870,7	8,2	854346,8	22417,2	16,4	Sued	0,48258118	1
11432002	871,3	11,7	854145,5	39531,5	17,2	Sued	0,33651913	2
11434008	874,2	7,8	856286,0	16883,0	17,9	Sued	0,41916038	1
11445004	859,6	11,3	841454,7	13914,3	18,1	Sued	0,22808815	2
11455201	845,4	7,8	825977,4	18127,6	19,4	Sued	0,48666904	1
11465001	837,0	12,7	815589,1	45921,9	21,4	Sued	0,37527981	2
11495002	788,9	30,2	761770,0	80086,0	27,1	Sued	0,06495244	3
11548007	740,0	43,0	711868,2	94435,8	28,1	Sued	0,19145178	3
11582300	770,5	39,1	745493,8	164039,2	25,0	Sued	0,22546402	3
11583303	746,0	63,8	720715,5	280058,5	25,3	Sued	0,19059332	3
11584000	731,7	78,0	706169,3	325743,7	25,5	Sued	0,18956859	3
11605009	751,5	47,2	726087,9	112870,1	25,4	Sued	0,05372525	3
11605202	751,5	47,2	726074,8	115440,2	25,4	Sued	0,25732031	3
11609000	711,7	86,9	684658,3	499856,7	27,0	Sued	0,12550840	3
11649004	759,3	29,0	731655,8	133159,2	27,6	Sued	0,10835965	2
11723504	709,9	57,4	683217,3	290022,7	26,7	Nord	0,05189063	3
11744005	703,4	44,2	675942,5	140857,5	27,5	Nord	0,09509448	3
11802509	748,0	13,4	747998,9	38830,0	0,0	Nord	0,44585743	2
11805008	716,6	44,7	709540,3	228617,7	7,1	Nord	0,29422455	3
11808006	683,5	78,0	667532,6	470770,4	16,0	Nord	0,22310863	3
11864007	686,7	46,7	669158,6	186728,4	17,5	Nord	0,27826831	3
11921701	711,4	32,8	694424,8	73134,2	17,0	Sued	0,20029013	3
11924007	678,7	65,3	654090,0	214243,0	24,6	Sued	0,15187733	3
11942009	711,5	25,8	706228,4	60198,6	5,3	Sued	0,26165960	2
11944004	683,0	54,2	667165,0	165441,0	15,8	Sued	0,20300012	3
11946000	NA	NA	649481,0	235949,0	NA	Sued	0,18742857	NA
12002009	788,0	109,7	771462,3	1183059,0	16,5	Sued	0,14479794	4
12003001	737,3	160,4	712301,6	1471720,0	25,0	Sued	0,11882531	4
12003500	701,8	195,9	676889,3	1512050,0	24,9	Sued	0,09790997	4
12006000	689,5	208,0	665079,6	2416370,0	24,4	Sued	0,10117914	4
12313009	806,2	11,6	790357,8	23437,2	15,8	Sued	0,14722746	2
12335001	791,9	16,0	774939,0	39874,9	17,0	Sued	0,34391749	2
12401004	806,4	11,1	796965,0	27793,0	9,4	Sued	0,37493262	2
12402007	804,2	13,3	793851,1	50351,9	10,3	Sued	0,39040106	2
12404002	800,1	17,3	789465,8	61767,2	10,6	Sued	0,22672308	2
12404705	774,3	43,2	758107,1	225798,9	16,2	Sued	0,26344530	3
12405005	766,9	50,5	746671,5	298138,5	20,2	Sued	0,27231679	3
12406008	737,0	80,5	712914,0	430463,0	24,1	Sued	0,25256591	3

St_Nr	POS_P_HR	DuP_P_HR	POS_P_EU	CuL_P_EU	DIF_hr_eu	Lage	BRFI	grDuP
12412000	804,4	13,1	794130,3	23293,7	10,3	Sued	0,46060829	2
12418007	787,5	8,7	775405,6	15896,4	12,1	Sued	0,44176795	1
12425002	778,2	11,6	763217,0	83669,0	15,0	Sued	0,30561524	2
12445000	767,0	25,4	747300,4	71398,6	19,7	Sued	0,35979519	2
12465007	NA	NA	713794,8	85515,2	NA	Sued	0,16759346	NA
12483009	725,4	28,8	699593,2	66147,8	25,8	Sued	0,07340484	2
13124001	721,3	28,1	701014,3	51560,7	20,3	Sued	0,05459255	2
13202003	663,5	44,7	662925,6	125905,4	0,6	Sued	0,12103181	3
13206004	633,8	74,4	626597,6	273283,4	7,2	Sued	0,09923821	3
13208000	606,1	102,1	587308,7	341502,3	18,8	Sued	0,08446968	4
13217000	657,9	14,7	654852,6	26430,4	3,0	Sued	0,14113474	2
13242008	648,7	7,9	632623,9	17473,1	16,1	Sued	0,15145927	1
13242507	NA	NA	609793,8	65454,2	NA	Sued	0,12959327	NA
13321002	608,4	19,5	598636,8	48867,2	9,8	Sued	0,28193308	2
13322005	586,0	41,9	567906,6	160873,4	18,1	Sued	0,15082655	3
13400903	752,2	8,1	754960,1	21213,8	-2,8	Sued	0,45067321	1
13402807	725,6	35,4	721764,8	143860,2	3,8	Nord	0,33327935	3
13405408	702,9	58,9	696928,8	303153,2	6,0	Nord	0,15766033	3
13406105	680,6	80,5	672517,1	383424,9	8,1	Nord	0,12451433	3
13407200	645,1	115,9	626673,5	585930,5	18,4	Nord	0,09506813	4
13424901	723,7	18,0	719510,6	43870,4	4,2	Nord	0,33697416	2
13450300	684,6	18,2	674101,4	41238,6	10,5	Nord	0,10023195	2
13465002	621,8	40,3	601516,0	111217,0	20,3	Nord	0,27467149	3
13922002	577,6	26,7	565513,3	65619,7	12,1	Nord	0,10026955	2
13926207	551,2	53,0	532623,7	151848,3	18,6	Nord	0,06700607	3
14002305	609,7	79,8	601785,2	1043816,0	7,9	Nord	0,14918101	3
14006000	570,2	119,3	551999,7	1976874,0	18,2	Nord	0,12756248	4
14008006	551,2	138,2	531856,3	2538384,0	19,3	Nord	0,11022894	4
14101205	644,8	44,7	643315,5	327532,5	1,5	Nord	0,18341165	3
14107008	677,3	12,2	691274,4	2924,6	-14,0	Nord	0,16600078	2
14114003	646,5	43,0	645635,0	168592,0	0,9	Nord	0,14405046	3
14201006	655,7	19,8	660496,6	105666,4	-4,8	Nord	0,26450211	2
14209008	619,6	56,0	613834,4	381290,6	5,8	Nord	0,16138969	3
14244803	657,1	12,1	641757,2	97692,8	15,3	Nord	0,18791154	2
14362005	628,9	39,9	625526,9	184848,1	3,4	Nord	0,17680551	3
14364000	613,4	55,4	607125,3	214204,7	6,3	Nord	0,20460375	3
14402008	650,9	10,3	663218,7	22856,3	-12,3	Nord	0,28047194	2
14402507	648,3	12,9	660514,6	29901,4	-12,2	Nord	0,09889225	2
14405200	629,8	33,5	636686,1	161995,9	-6,9	Nord	0,16700803	3
14406508	622,4	40,8	627206,0	174468,0	-4,8	Nord	0,06361799	3
14408004	598,4	64,9	590413,2	359474,8	8,0	Nord	0,10838046	3
14425003	650,4	11,2	661889,1	21638,9	-11,5	Nord	0,25601464	2
14426006	646,5	15,0	658055,8	30434,2	-11,6	Nord	0,07703148	2
14465008	NA	NA	632864,3	33688,7	NA	Sued	0,21579204	NA
14486008	609,2	26,3	606501,5	54663,5	2,7	Nord	0,17078433	2
14602007	615,7	19,3	606480,0	129929,0	9,2	Nord	0,16585554	2
14604002	594,3	40,6	578379,7	222681,3	15,9	Nord	0,13712013	3
14606008	570,2	64,8	551491,5	326249,5	18,7	Nord	0,09851166	3
14608003	561,7	73,2	543107,1	468258,9	18,6	Nord	0,07527529	3
14644801	602,9	16,5	586621,7	30998,2	16,3	Nord	0,09636710	2
14685004	579,4	29,5	561408,3	88915,7	18,0	Nord	0,04717116	2
15202300	607,2	83,8	607699,0	800517,0	-0,5	Nord	0,20258796	3

St_Nr	POS_P_HR	DuP_P_HR	POS_P_EU	CuL_P_EU	DIF_hr_eu	Lage	BRFI	grDuP
15205501	579,5	111,5	569336,9	1160530,0	10,2	Nord	0,17692687	4
15207507	552,2	138,9	537374,5	1378640,0	14,8	Nord	0,18271454	4
15210206	667,7	23,3	675884,5	194346,5	-8,2	Nord	0,17442102	2
15212008	641,1	18,2	644678,2	361568,8	-3,6	Nord	0,20563633	2
15212700	629,7	61,4	632379,1	497995,9	-2,7	Nord	0,19279818	3
15213500	630,1	10,9	633623,2	31163,8	-3,5	Nord	0,29684136	2
15214003	668,8	22,2	677248,0	110341,0	-8,4	Nord	0,18835246	2
15214604	681,7	4,4	690896,0	9880,0	-9,2	Nord	0,25679336	1
15216009	669,1	19,6	677320,0	86208,0	-8,2	Nord	0,16884377	2
15217908	642,0	17,3	647746,5	65862,5	-5,7	Nord	0,26398990	2
15221009	640,1	8,0	645933,0	32382,9	-5,8	Nord	0,15200021	1
15228008	617,6	30,5	619991,2	161683,8	-2,4	Nord	0,17781172	3
15241006	631,7	12,7	632452,4	18583,6	-0,8	Nord	0,25386480	2
15243001	616,1	28,2	614202,1	130131,9	1,9	Nord	0,26544318	2
15246000	603,8	40,6	600436,9	187921,1	3,4	Nord	0,26470989	3
15247002	625,7	13,4	625853,5	37470,4	-0,2	Nord	0,32298709	2
15247501	623,9	8,3	622750,7	10553,3	1,1	Nord	0,34233478	1
15314008	521,5	3,9	503107,5	33589,5	18,4	Nord	0,17627218	1
15315000	518,2	19,1	499547,8	52354,2	18,7	Nord	0,19545136	2
15325004	528,9	15,5	500343,7	33460,3	28,6	Sued	0,17393028	2
15408000	489,3	65,5	470453,9	189869,1	18,8	Sued	0,13949825	3
15422500	504,8	31,3	490605,7	92730,3	14,2	Sued	0,14096481	3
15916000	481,5	24,7	462672,2	63579,8	18,8	Sued	0,25253955	2
15993001	442,8	8,6	424751,4	31374,6	18,0	Nord	0,24891809	1
16001303	673,7	50,6	660879,0	356111,0	12,8	Sued	0,16434671	3
16002500	661,1	63,2	648012,0	809324,0	13,1	Sued	0,15404866	3
16003003	648,7	75,7	634076,2	949373,8	14,6	Sued	0,16901694	3
16004006	636,7	87,4	621109,7	1092315,0	15,6	Sued	0,15220955	3
16004403	616,4	107,9	598749,6	1885833,0	17,7	Sued	0,13884919	4
16005701	585,4	138,9	566758,8	1960415,0	18,6	Sued	0,16995772	4
16006500	552,9	171,5	528871,7	2192639,0	24,0	Sued	0,19431791	4
16007004	513,9	210,4	493723,1	4556755,0	20,2	Sued	0,08879385	4
16008007	464,5	259,8	446167,0	4931504,0	18,3	Sued	0,08608632	4
16008506	444,0	28,2	426335,2	5016604,0	17,7	Sued	0,07838855	2
16124950	696,5	27,8	685925,6	80084,4	10,6	Sued	0,07396736	2
16145008	676,7	26,0	664053,8	126432,2	12,6	Sued	0,14223506	2
16163000	665,9	15,3	653169,9	71087,1	12,7	Sued	0,41884240	2
16312008	661,8	3,8	648775,4	10382,6	13,0	Sued	0,52235963	1
16326002	662,1	26,1	649795,9	61228,1	12,3	Sued	0,36364502	2
16345007	642,5	11,0	627609,8	25205,2	14,9	Sued	0,35287315	2
16395005	630,0	8,3	611865,2	13674,8	18,1	Sued	0,40395993	1
16401006	689,1	29,6	677776,2	150689,8	11,3	Sued	0,15576400	2
16402009	686,1	32,6	674521,0	242046,0	11,6	Sued	0,14543704	3
16404900	NA	NA	649134,1	399656,9	NA	Sued	0,13929486	NA
16407002	651,8	9,3	634185,2	523528,8	17,6	Sued	0,11619520	1
16408504	625,8	92,9	610822,2	710642,8	15,0	Sued	0,14426953	3
16425004	688,8	17,2	678108,5	55728,5	10,7	Sued	0,11988184	2
16527503	556,8	10,4	540176,1	6616,8	16,6	Sued	0,07594485	2
16602303	623,0	94,8	615594,2	600286,8	7,4	Sued	0,03436582	3
16603000	617,5	100,3	609382,8	710553,2	8,1	Sued	0,04551014	4
16605006	606,1	111,7	596278,7	737953,3	9,8	Sued	0,04039541	4
16607001	540,4	177,4	520144,1	1611420,0	20,3	Sued	0,05094008	4

St_Nr	POS_P_HR	DuP_P_HR	POS_P_EU	CuL_P_EU	DIF_hr_eu	Lage	BRFI	grDuP
16610709	696,3	21,5	697489,9	95074,1	-1,2	Sued	0,17207713	2
16612001	662,9	54,9	658208,5	230417,5	4,7	Sued	0,23813048	3
16613004	650,3	23,5	643369,6	392483,4	6,9	Sued	0,18766942	2
16615203	689,2	10,6	690043,8	42664,2	-0,8	Sued	0,35728981	2
16616002	676,6	16,2	673802,5	35435,5	2,8	Sued	0,47528970	2
16618008	661,2	31,4	655792,6	70562,3	5,4	Sued	0,12700263	3
16625003	641,5	16,7	634327,1	30400,9	7,2	Sued	0,42416246	2
16642002	642,6	10,1	639083,1	19478,8	3,5	Sued	0,53294777	2
16644050	639,7	13,0	636018,0	41385,0	3,7	Sued	0,31361863	2
16658002	595,2	35,3	582782,3	94920,7	12,4	Sued	0,15567382	3
16665008	616,5	39,4	606904,0	20528,0	9,6	Sued	0,01868947	3
16667604	641,4	6,1	631081,7	27313,3	10,3	Sued	0,08153900	1
16668800	621,3	16,3	612112,3	25591,7	9,2	Sued	0,22558408	2
16669009	620,5	11,7	611370,2	32142,8	9,1	Sued	0,19963639	2
16686008	569,1	46,1	551415,6	155610,4	17,7	Sued	0,21611702	3
16802007	560,1	28,8	538614,9	108866,1	21,5	Sued	0,07615683	2
16806008	550,4	38,6	527933,0	128862,0	22,5	Sued	0,19212910	3
16825002	536,6	27,5	517366,9	52591,1	19,2	Sued	0,24905136	2
16827008	556,0	8,1	541491,2	19201,8	14,5	Sued	0,45544868	1
16965001	457,3	22,5	439912,8	43605,2	17,4	Sued	0,21268933	2
17125006	436,7	16,2	423450,4	73179,6	13,2	Nord	0,28285371	2
17201501	467,5	46,5	456489,9	236767,1	11,0	Sued	0,30959207	3
17204204	446,6	67,3	432763,0	288735,0	13,8	Sued	0,21680893	3
17207508	406,2	107,8	389403,1	530156,9	16,8	Sued	0,19183200	4
17215007	480,1	33,8	472595,1	150514,9	7,5	Sued	0,30141636	3
17225000	478,7	29,0	470743,4	541395,0	8,0	Sued	0,36392705	2
17242000	445,5	15,9	432730,7	31967,3	12,8	Sued	0,45727578	2
17325005	406,2	20,6	390120,0	65237,0	16,1	Sued	0,37180828	2
17345002	389,2	33,5	374459,1	104976,9	14,7	Nord	0,26386614	3
17404000	396,8	37,1	384981,8	230113,2	11,8	Nord	0,21311966	3
17406005	391,3	47,8	379316,4	449511,6	12,0	Nord	0,20838598	3
17413000	429,1	4,8	423512,5	28032,5	5,6	Nord	0,24535602	1
17415006	412,3	21,6	404060,2	63026,8	8,2	Nord	0,25233626	2
17425000	412,0	19,0	403605,2	57595,8	8,4	Nord	0,25639350	2
17445007	414,6	18,7	405464,2	51994,8	9,1	Nord	0,18653394	2
17464001	395,5	43,7	384858,0	210542,0	10,6	Nord	0,19048876	3
17466007	416,4	16,9	410214,4	34276,6	6,2	Nord	0,18990557	2
17467000	419,2	20,1	413788,9	52190,1	5,4	Nord	0,19129359	2
17468002	400,7	22,9	390926,6	78384,4	9,8	Nord	0,21486842	2
18000403	591,1	309,4	563046,6	6785249,0	28,1	Sued	0,09675855	5
18001508	564,4	336,0	537449,2	7078427,0	27,0	Sued	0,10577814	5
18003004	539,2	8,8	510769,1	8144140,0	28,4	Sued	0,10132061	1
18004007	503,9	396,5	483719,2	8282703,0	20,2	Sued	0,25830848	5
18004506	485,0	415,5	464718,8	8337605,0	20,3	Sued	0,23300765	5
18005000	468,0	432,5	448102,1	8801581,0	19,9	Sued	0,09968476	5
18008008	379,3	521,2	363525,0	16974740,0	15,8	Sued	0,09730618	5
18182005	599,8	19,6	571633,6	100045,4	28,2	Sued	0,23976301	2
18193001	592,2	12,5	563526,1	33564,9	28,7	Sued	0,41939563	2
18194503	584,5	3,5	556479,5	7211,5	28,0	Sued	0,34421461	1
18196000	583,8	8,7	554950,7	25578,3	28,8	Sued	0,30267543	1
18199008	568,6	18,7	541852,6	66351,3	26,7	Sued	0,05118486	2
18202000	615,1	31,6	585942,7	201662,3	29,2	Sued	0,12038278	3

St_Nr	POS_P_HR	DuP_P_HR	POS_P_EU	CuL_P_EU	DIF_hr_eu	Lage	BRFI	grDuP
18203003	599,2	47,6	572808,6	297167,4	26,4	Sued	0,17041579	3
18204006	590,5	56,2	562668,7	501818,3	27,8	Sued	0,20643376	3
18209000	566,3	80,4	538760,4	713013,6	27,5	Sued	0,21272190	3
18212004	628,6	18,2	604875,6	94692,4	23,7	Sued	0,26419131	2
18214000	634,8	8,7	610851,4	18520,6	23,9	Sued	0,08306752	1
18216005	627,2	8,9	602639,6	23563,4	24,6	Sued	0,41834092	1
18226009	613,2	14,7	587602,2	37478,8	25,6	Sued	0,22381242	2
18242005	617,3	7,9	595245,0	96871,0	22,1	Sued	0,13680892	1
18246006	591,8	46,0	563996,9	161416,1	27,8	Sued	0,38440491	3
18262002	584,1	24,3	558067,3	50403,7	26,0	Sued	0,18612014	2
18263005	576,2	32,2	548407,0	75788,0	27,8	Sued	0,19659413	3
18284504	580,4	4,9	554618,9	28755,1	25,8	Sued	0,44678264	1
18286000	581,6	6,8	556163,9	11372,1	25,4	Sued	0,32576947	1
18322002	557,0	22,3	531475,7	74722,3	25,5	Sued	0,20837320	2
18343002	567,1	16,9	544049,9	29956,1	23,1	Sued	0,16630301	2
18346000	547,0	39,2	520122,2	103877,8	26,9	Sued	0,20757940	3
18381500	531,3	6,3	517991,4	36969,6	13,3	Sued	0,41743135	1
18384509	479,4	7,8	460661,2	273572,8	18,7	Sued	0,26888825	1
18387008	524,1	6,1	508952,0	26400,9	15,1	Sued	0,47281575	1
18403002	517,5	88,7	503856,6	1091183,0	13,6	Sued	0,03394717	3
18405008	504,6	101,5	486526,7	1148004,0	18,1	Sued	0,03807365	4
18408200	475,7	130,4	456340,9	1507095,0	19,4	Sued	0,16712687	4
18454003	536,3	69,9	523209,6	779805,4	13,1	Sued	0,18532367	3
18460403	NA	NA	518016,9	24426,1	NA	Sued	0,12107535	NA
18463004	535,9	25,4	524682,6	73896,4	11,2	Sued	0,61910200	2
18465600	539,0	11,7	523684,7	22333,3	15,3	Sued	0,26881866	2
18481006	529,2	26,2	514936,8	193289,2	14,3	Sued	0,25725611	2
18483500	506,6	48,8	488158,0	239642,0	18,4	Sued	0,24930158	3
18486000	530,1	25,3	515748,9	139528,1	14,4	Sued	0,23335798	2
18487501	530,0	19,8	515441,0	56534,0	14,6	Sued	0,33934111	2
18602009	496,4	192,1	475856,5	4580296,5	20,5	Sued	0,14400467	4
18606000	458,5	229,9	462627,0	4840859,0	-4,1	Sued	0,14491465	4
18620500	537,9	28,5	517706,5	172599,5	20,2	Sued	0,20737475	2
18622006	546,3	18,6	525916,1	62447,9	20,4	Sued	0,12302230	2
18624001	545,7	12,3	525743,9	30268,1	20,0	Sued	0,16663343	2
18625004	543,0	23,4	522831,7	62241,3	20,2	Sued	0,28780054	2
18642003	534,6	78,5	513793,8	741108,2	20,8	Sued	0,19441308	3
18662000	523,2	13,0	509960,4	39223,6	13,2	Sued	0,34575102	2
18666001	511,2	25,0	490480,1	75800,9	20,7	Sued	0,28484957	2
18668007	528,9	5,7	515318,9	1926,1	13,6	Sued	0,39588758	1
18669000	515,3	20,9	494743,2	13288,7	20,6	Sued	0,42586511	2
18683000	495,4	19,2	481412,3	67917,7	14,0	Sued	0,06910276	2
18801005	472,2	20,5	466511,3	49554,7	5,7	Sued	0,36204729	2
18803805	445,2	49,0	440279,8	194901,2	4,9	Sued	0,36839218	3
18804706	439,6	54,6	434219,4	216588,6	5,4	Sued	0,31845720	3
18806406	424,4	68,9	416228,5	313708,5	8,2	Sued	0,30273881	3
18808004	401,0	93,2	387572,2	409922,8	13,4	Sued	0,25790291	3
18825003	469,3	24,9	463845,5	40086,6	5,5	Sued	0,51328203	2
18855004	440,0	8,7	434532,6	11275,4	5,5	Sued	0,43831414	1

St_Nr	grCuL	Qu_DuP	Qu_CuL	HQ5	HQ10	HQ20	HQ50	HQ100
105	3	UMQ	UMQ	50,90877923	75,85711391	102,84134321	141,92123308	174,29658719
120	4	UMQ	UMQ	71,85033237	106,55732948	143,76682348	197,10410861	240,84234471
125	4	UQ	UQ	74,96395033	108,94094014	143,98261519	191,99601253	229,64025801
129	3	OMQ	OMQ	9,54582369	13,18293705	16,56341906	20,66891394	23,52119233
139	2	UMQ	UMQ	4,76661401	6,84522407	8,93950026	11,73222653	13,86333521
144	3	UMQ	UMQ	13,32835562	17,48852554	20,92928516	24,58203604	26,79612830
162	2	UQ	UQ	4,96016303	7,11721546	9,28691266	12,17462841	14,37397244
168	3	OMQ	OMQ	61,49044303	90,51977024	121,20956519	164,48974874	199,41060155
173	2	UMQ	UMQ	4,60494779	6,14084532	7,46098623	8,92590611	9,85481306
177	2	UMQ	UMQ	6,76166657	8,98185315	10,87283823	12,94929723	14,25200360
192	2	OMQ	UMQ	4,71583690	6,21916113	7,47778678	8,83283765	9,66603084
194	3	OQ	OQ	59,40093120	88,50313014	119,97503267	165,54547309	203,29069940
1101	2	OMQ	UMQ	4,69644239	6,35852625	7,83752584	9,54563941	10,67356751
1111	2	UMQ	UMQ	6,82659630	9,19202571	11,27097917	13,63792448	15,17843739
1120	2	UMQ	UQ	4,98546941	6,88463760	8,64959500	10,79279229	12,28156746
1131	3	UQ	UQ	5,90729930	8,39540436	10,85042118	14,04574295	16,42561832
1139	2	UMQ	UMQ	27,50451467	39,74323351	52,22546357	69,10804040	82,17453583
1140	2	OQ	OMQ	18,43534627	27,21481883	36,54597732	49,78698473	60,53653662
1155	1	UQ	UQ	4,51652870	5,80975014	6,82757488	7,84831541	8,43201951
200378	2	UMQ	UMQ	15,03198308	21,64559342	28,34487575	37,33421500	44,23672608
201012	3	UMQ	UMQ	30,91903318	44,44120516	58,08910673	76,32559799	90,26996168
201087	3	UQ	UQ	97,77601807	148,71090691	205,91252770	292,46961970	367,35847488
201095	3	UQ	UQ	12,21919938	18,34967852	25,07671252	34,98432084	43,33006629
201111	3	OMQ	OMQ	23,66566454	36,06906844	50,05093358	71,30124159	89,76676462
201178	4	OQ	OQ	99,83803803	140,00565657	178,56699777	227,18595261	262,26100961
201194	4	OQ	OQ	112,86239415	156,15439606	196,55216388	245,84032744	280,24225150
201350	2	UQ	UQ	10,51819027	15,01268529	19,48598640	25,36701207	29,79148710
201392	3	UQ	UQ	32,54746037	46,73812714	61,03421106	80,09572249	94,63960748
201434	3	UQ	UQ	44,01246749	62,76255945	81,39036048	105,82864752	124,17556506
201459	4	UMQ	UMQ	203,99538206	285,43677236	363,26196351	460,86333810	530,89915589
201525	4	UMQ	UMQ	216,73425376	302,39173243	383,75471816	485,08433576	557,28790997
201574	3	UQ	UQ	17,01561740	24,37472787	31,75249965	41,53410362	48,95538836
201624	3	UQ	UQ	34,72982344	53,22587971	74,28345883	106,66071447	135,11849549
201681	4	UQ	UQ	271,91946937	376,08647575	473,21409844	591,61038981	674,17336694
201772	3	OQ	OMQ	7,90929095	11,41964526	14,99427374	19,82032072	23,54876459
201780	3	OMQ	OMQ	44,62419153	67,30635318	92,39614333	129,69601427	161,40823874
201806	4	UMQ	UMQ	311,66180433	433,01144869	547,25837089	688,08709757	787,40417411
201822	3	OQ	OQ	37,12641719	55,54565560	75,61874600	104,94627302	129,45501419
201863	3	UMQ	UMQ	19,72424929	29,63529429	40,52105622	56,57133673	70,10616510
201889	4	UQ	UQ	340,89373275	479,02307518	612,19257644	780,92293296	903,25204855
201913	3	UMQ	UMQ	14,36020735	21,06275927	28,09967665	37,94358927	45,82262867
201921	3	OMQ	OMQ	13,78004581	20,21015756	26,95998793	36,40057690	43,95542883
201939	3	UMQ	UMQ	27,51342719	41,84649643	57,94328614	82,30130078	103,37615663
202036	3	UQ	UQ	46,02686433	66,10705461	86,34401982	113,33851828	133,94424043
203026	3	UMQ	OMQ	18,15517271	27,03253874	36,62127541	50,48613539	61,95428089
203034	2	UMQ	UMQ	12,49492756	18,10260663	23,85155675	31,67412599	37,76497563
203075	3	UMQ	UMQ	49,23101950	70,87332564	92,78508785	122,17010605	144,72053538
203265	3	OMQ	OMQ	15,80207664	23,29842714	31,24703762	42,49520921	51,60197474
203307	3	OQ	OQ	55,62243288	84,57149504	117,06385692	166,19852354	208,68184906

St_Nr	grCuL	Qu_DuP	Qu_CuL	HQ5	HQ10	HQ20	HQ50	HQ100
203323	4	UMQ	OMQ	165,54709729	242,14461595	322,13798891	433,35188459	521,82219043
203463	3	UQ	UQ	12,75677493	18,78202138	25,15373912	34,14243815	41,39742988
203521	3	OMQ	OMQ	95,90412400	153,65044574	224,63762327	344,05033055	458,69496260
203539	4	OMQ	OMQ	343,59256690	534,59005898	757,90787159	1112,13847244	1433,18819574
203570	3	OMQ	OMQ	98,08344284	156,22156792	226,98674222	344,65184913	456,34229290
203711	3	UQ	UMQ	8,59286667	12,06566926	15,40859857	19,63662161	22,69641807
204677	3	UQ	UQ	8,50853267	11,99158256	15,37013717	19,68128800	22,82914307
204719	3	OQ	OQ	24,80950374	37,86748616	52,62576888	75,12474772	94,73435666
204750	3	OQ	OQ	17,62065575	26,10256254	35,17665082	48,15142222	58,76489628
204784	2	OQ	OQ	8,57668978	11,67821913	14,47333556	17,74905247	19,94440618
204834	2	OMQ	OMQ	6,49999582	9,10659402	11,60408303	14,74586802	17,00730354
204867	3	OQ	OQ	35,17591061	51,79119895	69,36262609	94,15211963	114,16123664
204933	3	UMQ	UMQ	26,24332579	37,11331346	47,73163254	61,39193183	71,44813752
205013	2	OQ	OQ	13,51443635	19,90694445	26,67311301	36,22825289	43,94844882
205047	2	OQ	OQ	5,05960525	6,96244107	8,71742450	10,82987553	12,28435517
205054	3	OQ	OQ	35,80648997	52,35834361	69,63412912	93,63649751	112,71767420
205153	3	UMQ	UMQ	71,35247823	112,74481281	162,45000454	243,79631119	319,82068486
205187	3	OMQ	OQ	36,08688607	51,79978293	67,61668806	88,68629252	104,74736024
205294	2	OMQ	OMQ	17,45979011	25,22199674	33,13439530	43,82946474	52,10190160
205377	2	OMQ	OMQ	12,20660670	17,81157817	23,63795897	31,69472504	38,06952223
205419	3	OQ	OQ	43,51045074	63,71552998	84,86292081	114,33938876	137,84774276
205450	3	UMQ	UMQ	74,50881345	111,09137817	150,70491161	208,15239046	255,80770263
205518	3	OMQ	OMQ	52,23060258	77,74121821	105,27712911	145,06083822	177,94127355
205633	2	OMQ	OMQ	6,36509933	9,19295703	12,07435253	15,96724033	18,97688844
205641	2	OQ	OQ	15,89953389	23,49454028	31,58186766	43,08281694	52,43988912
205658	3	OQ	OQ	31,28215070	46,86192656	63,88086841	88,81496949	109,70928112
205740	3	OQ	OQ	34,47226418	52,60328593	73,08625906	104,29664093	131,48526246
205757	3	OMQ	UMQ	272,97629126	429,70502661	616,69482029	920,40353919	1202,13700754
205799	3	UMQ	UMQ	21,10197863	30,75048577	40,75434698	54,54640478	65,42666860
205831	3	OMQ	OMQ	25,88300282	40,01186371	56,34573053	81,91397186	104,78724745
205856	2	OQ	OQ	11,93271365	17,40083540	23,07797587	30,91714999	37,11095100
205864	3	OMQ	OMQ	60,24887504	92,52492507	129,40516082	186,35299640	236,61782743
205898	3	OQ	OQ	17,02858407	25,72639091	35,37637005	49,77293620	62,05535530
205914	3	OMQ	OMQ	88,25865360	138,23131458	197,33533926	292,35686120	379,62381323
205922	4	UMQ	OQ	331,69763137	520,93807391	745,82294579	1109,38668759	1445,10894044
205997	2	UMQ	UMQ	4,44123658	6,11058277	7,64971122	9,50163415	10,77624283
206029	3	UMQ	UMQ	15,37191037	23,07217513	31,51369681	43,93258692	54,38221158
206169	2	OQ	OQ	14,41125661	20,20023519	25,75252726	32,74540362	37,78477758
206201	5	OQ	OQ	816,68936900	1221,81774767	1663,28937290	2308,23954211	2847,17186674
206268	2	OQ	OQ	5,72335848	7,83831922	9,76879236	12,06475772	13,62655950
206409	4	OMQ	OMQ	207,37382003	313,88625424	432,46465571	610,07825232	762,20994716
206581	2	OMQ	OMQ	8,85526994	13,30791896	18,20053196	25,41788928	31,50708226
206599	2	OQ	OQ	11,91556287	17,11525113	22,35630935	29,34866210	34,68705225
207324	5	UQ	OQ	267,43950601	390,83294327	519,47586137	697,96979837	839,67912481
207357	5	UMQ	OMQ	1955,31550684	2821,81480338	3703,36699942	4892,26247811	5809,78266726
207654	3	OQ	OQ	70,80629258	113,10410570	164,84152964	251,36424901	333,95721483
207688	3	OQ	OQ	134,61409960	209,02730894	295,73043479	432,70146942	556,34611121
207696	3	OQ	OQ	18,22739206	27,63313158	38,13448943	53,91686985	67,47986313
207803	3	OMQ	OMQ	54,29848923	85,67792396	123,26945864	184,61890148	241,79750794
207811	3	OMQ	OMQ	8,16820161	12,49281769	17,39843655	24,90904148	31,48275301
207837	3	OQ	OQ	24,85884662	39,87344758	58,36691002	89,54756966	119,55045486
207852	3	OQ	OQ	31,42563544	50,16961785	73,07448978	111,33575556	147,81861402

St_Nr	grCuL	Qu_DuP	Qu_CuL	HQ5	HQ10	HQ20	HQ50	HQ100
207878	3	OMQ	OMQ	10,15765506	15,80144176	22,39830345	32,85872462	42,33607601
207894	3	UQ	UQ	26,32965647	43,31799880	65,13682974	103,77880180	142,78914059
207910	3	UMQ	UMQ	52,66684359	86,27377005	129,13309136	204,41124644	279,79524918
207944	3	UMQ	UMQ	22,39245681	34,91858436	49,62192846	73,05198940	94,38345381
207951	2	OMQ	OMQ	6,22604450	8,53502718	10,64706331	13,16511659	14,88222546
207993	3	OMQ	UMQ	29,17160935	48,93768289	75,13079619	123,26040786	173,61993482
208009	3	OQ	OQ	18,11816661	27,98722808	39,38129848	57,18923342	73,09572066
208017	2	OMQ	OMQ	11,73501673	18,39758027	26,29100103	39,00658331	50,70735845
208041	2	OMQ	UMQ	3,16070106	4,36096060	5,47432416	6,82337862	7,75846886
208058	3	UMQ	UMQ	3,35194164	4,42834515	5,33337996	6,31252626	6,91759024
208090	2	OQ	OQ	16,11826563	24,37617531	33,55528580	47,27936786	59,01341541
208116	2	OMQ	OMQ	15,70798248	24,27830122	34,18307499	49,68191901	63,54220322
208124	3	OQ	OMQ	19,37596242	30,20767433	42,91695235	63,15984938	81,58104878
208157	3	UMQ	UMQ	34,11159864	54,05760665	78,12886208	117,75379217	154,99873750
208272	2	UQ	UQ	5,17887679	7,34984959	9,48586001	12,25681064	14,31379700
208280	3	UQ	UQ	10,09498405	15,59947755	21,95864509	31,90496318	40,79585781
208611	2	OQ	OQ	10,78600895	15,84684840	21,17718089	28,66158242	34,67430796
208629	3	OMQ	OMQ	47,47016405	75,12041249	108,40857652	163,05051756	214,26772522
209189	3	UMQ	UMQ	3,63518850	4,90879510	6,03543114	7,32775542	8,17525035
209338	2	OMQ	OMQ	4,83201554	7,14810106	9,61946537	13,14252545	16,01577771
209361	2	UMQ	UMQ	13,27468376	20,05967876	27,59058743	38,83123945	48,42581418
209486	2	OQ	OQ	6,37175290	9,34090392	12,45509222	16,80650247	20,28537083
210641	3	UQ	UQ	35,69267136	51,19067363	66,76507779	87,47121535	103,22447495
341000	2	UQ	UQ	7,17576922	10,77871337	14,73414715	20,56297588	25,47564103
343000	2	UQ	UQ	6,72698937	10,14269454	13,91853094	19,52767875	24,29301096
344000	2	UQ	UQ	5,81168273	8,78696779	12,09263132	17,03240868	21,25365375
345000	3	UQ	UQ	17,56937851	26,81666116	37,26804292	53,20115087	67,08808682
348000	2	UQ	UQ	4,43574684	6,37612078	8,33480336	10,95243316	12,95429611
353000	2	UMQ	UMQ	9,21339563	13,46289151	17,89224981	24,03656082	28,91345594
354000	3	OMQ	OMQ	22,79138131	36,34743874	52,88358740	80,44923278	106,68048416
355000	3	UQ	UQ	53,93781422	85,73324939	124,30041327	188,16786612	248,55135148
356000	2	UMQ	UMQ	6,09969650	8,81263923	11,57879208	15,31888576	18,21264846
357000	2	OMQ	OMQ	3,33785425	4,55801136	5,66464385	6,97111858	7,85323317
359000	2	OMQ	UMQ	5,90288927	8,78234382	11,88798857	16,37094797	20,07270143
360000	3	UMQ	OMQ	11,04977154	16,61634372	22,74003317	31,78563219	39,42750415
362000	2	NA	UQ	5,98397442	8,42056754	10,77655087	13,77179856	15,95074715
363000	3	UMQ	UMQ	11,21094858	15,86259504	20,41127298	26,27013777	30,58843509
364000	2	UMQ	UMQ	5,49918901	7,59594781	9,54557609	11,91448660	13,56108107
366000	2	OMQ	UMQ	12,26282836	17,60838307	22,99302306	30,17160048	35,64809938
367000	4	UMQ	UMQ	70,59563339	113,47977210	166,49128445	256,25057206	342,97835528
370000	3	OQ	OQ	8,65979048	12,28157205	15,84008913	20,44897549	23,86482617
379000	3	OQ	OQ	46,97852666	67,39176337	87,91462635	115,21362107	135,99330426
380000	2	OQ	OQ	7,38515294	10,89971249	14,63351629	19,92917112	24,22624803
382000	3	OQ	OQ	60,47869862	89,11709511	119,44962069	162,31815131	196,98094861
383000	1	OMQ	OQ	3,39879826	4,65084177	5,79156410	7,14536952	8,06429940
386000	2	OQ	OQ	19,41811019	30,37745582	43,31333078	64,06140025	83,07220951
387000	3	OQ	OQ	25,06590851	40,39209019	59,41584591	91,78310960	123,20539377
387500	1	UMQ	OMQ	2,95830227	4,11050212	5,19545597	6,53312178	7,47668391
388000	2	OQ	OMQ	6,96058919	10,35700305	14,02088223	19,31076745	23,67974955
389000	3	OQ	OQ	86,08912920	133,93265975	189,86345101	278,56559492	358,94450358
389500	2	OMQ	OMQ	5,52680874	7,82798196	10,08291151	12,99437226	15,14547963
390000	3	OQ	OQ	89,03039683	139,61988838	199,58685300	296,24756961	385,24767562

St_Nr	grCuL	Qu_DuP	Qu_CuL	HQ5	HQ10	HQ20	HQ50	HQ100
393000	3	UMQ	UMQ	3,57161488	4,49417815	5,17896732	5,82119571	6,16396997
394000	2	OMQ	OMQ	3,90694303	5,36389761	6,70093820	8,30103619	9,39633691
396000	2	OMQ	UMQ	6,11084333	8,24539118	10,13029908	12,28802749	13,70014039
397000	3	UMQ	UMQ	9,85213978	14,19284204	18,59348632	24,50422357	29,04726073
400000	2	OMQ	OMQ	4,69447623	6,39979426	7,94073009	9,75217332	10,96996038
401000	2	OQ	OMQ	4,61085053	6,59329862	8,57374047	11,18866666	13,16445802
402000	2	OQ	OMQ	10,32339851	15,91728878	22,35462258	32,37744753	41,29663452
403000	4	OQ	OQ	146,73935255	220,51057556	301,56234325	421,11111446	521,96031977
405000	2	OQ	OMQ	4,95553352	7,21023639	9,54100797	12,74323700	15,26067984
407000	2	OMQ	OQ	3,22479977	4,40511309	5,47640270	6,74223536	7,59764864
410000	2	OMQ	OQ	4,27359872	6,21457553	8,21887407	10,96911295	13,12852180
412000	2	OQ	OQ	17,15282399	27,14565239	39,17732453	58,92959778	77,44617046
413000	4	OQ	OQ	153,99515449	230,32253134	313,45449444	434,83025991	536,19408866
414000	2	OMQ	OMQ	2,61619160	3,61650393	4,54816898	5,68237065	6,47226385
414700	2	OQ	OQ	4,64071313	6,75845036	8,95157877	11,97101454	14,34970956
415000	2	OQ	OQ	4,55198240	6,42402665	8,24494343	10,57596633	12,28348935
418000	3	OMQ	OQ	16,92819584	25,83760001	35,90682447	51,25682983	64,63511269
421500	4	OMQ	OQ	167,39128908	249,43586170	338,18416339	466,72822614	573,23113481
422000	2	OQ	OMQ	8,06859157	12,29853311	17,06755549	24,31712425	30,61784445
423000	2	OMQ	OMQ	3,24758574	4,62524552	5,99042728	7,77614119	9,11278404
429000	3	UMQ	UMQ	16,02150115	23,74472484	32,01441993	43,85111858	53,54347981
430000	3	OMQ	OMQ	51,22953117	81,06516903	116,98103700	175,92997922	231,17842786
431000	2	OMQ	OMQ	5,86538165	8,43131360	11,02156532	14,48340765	17,13102078
432000	3	OQ	OMQ	11,26139723	16,52389175	22,05293966	29,79406291	35,99526527
435000	3	OMQ	UMQ	40,65470196	64,44431256	93,16750463	140,47610208	184,96706077
436500	4	UQ	UQ	2,06940362	2,71562192	3,25023286	3,81795537	4,16218403
437000	4	OMQ	OMQ	42,88992022	65,43437727	90,89357699	129,66905410	163,43306917
438000	2	OMQ	OMQ	4,11302025	5,79257293	7,41933383	9,49158741	11,00208074
439000	3	UMQ	UMQ	6,22421193	8,94589726	11,69263322	15,36245825	18,16825280
440000	3	UMQ	UMQ	7,55453437	10,66089796	13,68212819	17,54927842	20,38172490
441000	2	OMQ	OMQ	8,03235522	11,33084919	14,53641794	18,63577471	21,63554900
441400	2	UMQ	UMQ	2,35077409	3,06762859	3,65260266	4,26410256	4,62896014
441500	2	UMQ	UMQ	4,45994820	6,09431247	7,57876957	9,33424264	10,52152686
442000	3	OMQ	OMQ	16,95778295	25,19214926	34,04854683	46,79103917	57,27903586
444000	1	UMQ	UMQ	1,73188502	2,14535620	2,43895594	2,70072696	2,83331648
445000	3	UQ	UQ	15,49333997	21,86398637	28,05998571	35,99073700	41,79946083
445100	2	UMQ	UMQ	3,52525329	4,78560115	5,91383585	7,22585810	8,09829828
446000	2	OMQ	UMQ	9,22447593	13,34707682	17,56283132	23,28230304	27,72255229
447000	3	UMQ	UMQ	11,22255108	16,14072818	21,11079024	27,76141432	32,85407034
448000	3	UQ	UQ	32,68798877	48,75731839	66,17137715	91,44778997	112,43431393
452000	2	UQ	UQ	3,70207906	5,43687028	7,26260542	9,82380467	11,87951853
453000	2	UQ	UQ	4,47814495	6,56307553	8,74868740	11,80072001	14,23925769
454000	3	UQ	UQ	6,97309298	10,61965049	14,72462945	20,95357148	26,35766366
455000	2	UMQ	UMQ	3,63617970	4,97860483	6,20325360	7,65883294	8,64833452
455100	2	OMQ	OMQ	4,11408502	5,59222318	6,91926065	8,46764288	9,50074442
456000	2	UMQ	UMQ	8,64975930	12,34061761	16,01093680	20,83150742	24,45457601
457000	3	UQ	UQ	19,60818201	30,17740697	42,30056992	61,10412895	77,77428643
458000	2	UMQ	UMQ	3,33205322	4,45413968	5,42402316	6,50724599	7,19864035
459000	2	OMQ	OMQ	3,17704128	4,41717965	5,58647790	7,03033188	8,05035966
461000	3	OMQ	OMQ	5,85204578	8,42658116	11,03435377	14,53338115	17,21999250
462000	4	OMQ	OMQ	53,94992772	80,01302843	107,95721794	148,01640367	180,86869638
463000	2	UQ	UQ	3,46164768	4,69469960	5,79611027	7,07373995	7,92116307

St_Nr	grCuL	Qu_DuP	Qu_CuL	HQ5	HQ10	HQ20	HQ50	HQ100
465000	2	UQ	UQ	8,63324551	12,58768096	16,69219258	22,35809385	26,83340585
469000	3	UMQ	UMQ	22,44573507	34,46942442	48,20775568	69,42053417	88,14307921
470000	2	UMQ	UMQ	9,44554579	13,51373041	17,58204114	22,96024894	27,02885251
471000	2	UMQ	UMQ	8,52067997	12,29407884	16,13146513	21,30426256	25,29443907
472000	1	OMQ	OMQ	8,30788388	11,71587457	15,02573538	19,25532294	22,34809244
473000	3	OMQ	OMQ	15,21024227	22,41796789	30,05545922	40,85499435	49,59180640
474000	3	UMQ	UMQ	21,00026836	30,53561829	40,38046774	53,88675936	64,48954297
476000	3	UMQ	UMQ	6,58736403	9,35380724	12,07867548	15,61801031	18,24873816
477000	3	UMQ	UMQ	10,53847160	15,47470539	20,66837823	27,95204642	33,79644916
483100	2	OMQ	OMQ	2,36059073	3,13906839	3,80379651	4,53585307	4,99648593
484000	2	OQ	OQ	2,65039919	3,44486597	4,08679739	4,75026588	5,14156424
486000	2	OQ	OMQ	3,28053291	4,45998346	5,51928732	6,75584632	7,58127828
6142150	4	UMQ	UQ	252,36883792	369,36505341	491,69241110	661,99647263	797,65810529
6142200	5	UQ	UQ	1877,50801486	2697,40647655	3524,19046276	4627,80506647	5470,80058063
6242030	3	UMQ	OMQ	15,64891723	22,30684116	28,91609562	37,57896548	44,07658065
6242070	2	OMQ	UMQ	14,26467605	21,13353187	28,48351301	38,99563782	47,59676062
6242120	3	OQ	OQ	14,79318457	21,61336892	28,72039929	38,57617920	46,39663818
6242130	2	UMQ	UMQ	4,83217218	6,91428078	8,99699489	11,75112278	13,83524353
6242240	3	UMQ	UMQ	26,64510972	42,42262266	61,61450536	93,50180675	123,74760031
6242280	2	UQ	UQ	5,96439006	8,28831214	10,47711263	13,17646523	15,08105007
6242281	2	UMQ	UMQ	14,80451820	23,17069141	33,05360021	48,91979649	63,47085922
6242290	3	UQ	UQ	15,68714342	21,98850787	28,03215887	35,64376758	41,12894521
6242300	5	UMQ	UMQ	1913,23633720	2758,75464447	3617,52999433	4773,46866704	5663,83310183
6242310	2	UQ	UQ	2,25270494	3,09051316	3,85814467	4,77511856	5,40164370
6242600	3	OMQ	OMQ	122,62292808	191,85415577	273,58926061	404,71931918	524,90007841
6242610	2	UMQ	UMQ	13,29591136	18,32946634	22,99011233	28,62550987	32,52337741
6242613	3	UQ	UQ	14,95460475	20,51918420	25,61916757	31,71342965	35,87878670
6242615	3	UQ	UQ	19,16495951	27,03303573	34,67827131	44,45342793	51,60528096
6242620	4	OMQ	OMQ	171,19695372	252,11034735	337,71141738	458,52776047	556,08751861
6242621	2	UMQ	UMQ	3,73271889	5,08867530	6,31392951	7,75427899	8,72259257
6242700	5	UMQ	UMQ	1962,05110999	2819,77368562	3685,25012594	4841,36689590	5725,11866281
6242933	2	UQ	UQ	7,29797593	10,63146276	14,08559437	18,84430456	22,59567346
6243220	3	UMQ	OMQ	18,23116980	26,56195939	35,19636984	47,09526974	56,47802959
6243230	3	UMQ	UMQ	7,67485882	11,08063870	14,54845355	19,22978419	22,84603257
6243235	2	UMQ	UMQ	13,58033896	19,88160377	26,47351281	35,65646348	42,97598390
6243240	3	OMQ	OMQ	38,71531583	58,16999906	79,53866027	111,04639428	137,61710660
6243245	4	OMQ	OMQ	251,56788082	376,28284992	512,13345429	710,50985543	876,20314874
6243270	2	UQ	UQ	7,24274105	10,13736011	12,90521179	16,37896245	18,87346846
6243350	2	UQ	UQ	4,61230889	6,05728222	7,25493818	8,52951322	9,30402941
6243355	2	UQ	UQ	5,81676920	7,72390968	9,34688583	11,12730595	12,24317536
6243360	2	UQ	UQ	10,09505372	14,60096750	19,20513293	25,44594359	30,28658422
6243410	2	UQ	UQ	8,09353655	11,78687972	15,61167327	20,87748692	25,02582577
6243450	4	UQ	UMQ	9,17999940	13,35346450	17,66565656	23,58682752	28,23917896
6243810	2	OQ	OQ	11,42410783	16,53549103	21,76591470	28,86757159	34,38520065
6243830	2	OQ	OQ	3,46358420	4,69425062	5,79192014	7,06305809	7,90473297
6246632	2	UQ	UQ	7,23663633	10,38649268	13,55652611	17,77826808	20,99565108
6342050	2	UMQ	UMQ	7,66955518	10,49738796	13,07515731	16,13631595	18,21543854
6342081	2	OMQ	OMQ	7,75330524	10,36303901	12,61815986	15,13601227	16,74257735
6342100	3	UMQ	UMQ	11,72905429	16,30406000	20,61584812	25,93737450	29,69492117
6342130	3	OMQ	OMQ	65,11862274	104,19577092	152,13069615	232,56389779	309,59655150
6342540	3	OQ	OQ	5,23127674	7,34088780	9,36896261	11,93013579	13,78083665
6342675	3	OQ	OQ	18,27201787	28,16010003	39,52989810	57,21574414	72,93949168

St_Nr	grCuL	Qu_DuP	Qu_CuL	HQ5	HQ10	HQ20	HQ50	HQ100
6342800	5	UQ	UQ	636,39418735	933,63653849	1245,84062641	1682,79889326	2032,71217678
6342900	5	UQ	UQ	1169,98358353	1719,12312111	2297,61920854	3110,08165105	3762,93724208
10026301	4	UMQ	UMQ	156,61717728	234,20911730	318,69497352	442,00762983	544,95604200
10035801	4	UMQ	UMQ	229,53353327	320,95905708	408,20482411	517,44626944	595,70910998
10039802	4	UMQ	UMQ	262,89478312	372,70868435	480,52403083	620,04268335	723,35668226
10046105	5	OMQ	OQ	363,79582717	523,27366402	684,46305932	900,20184018	1065,43652868
10053009	5	OMQ	OMQ	387,23446470	556,22568180	726,56791142	953,83987088	1127,36085590
10056302	5	UMQ	OMQ	384,79767106	565,01607279	754,61973083	1020,49984019	1233,82378352
11401009	3	OMQ	OMQ	52,41511278	80,02742202	111,25243857	158,88570454	200,42828963
11402001	3	OQ	OQ	111,20535774	167,81201404	230,48301470	323,75004015	403,12688338
11405000	1	OQ	UMQ	132,63395337	190,92129384	249,92242870	329,02802405	389,72043199
11411104	2	UMQ	UMQ	6,14981157	8,90710867	11,73218430	15,57358853	18,56253630
11415008	2	UQ	UQ	10,52662323	15,32811816	20,29915691	27,14091601	32,52907209
11425200	2	OMQ	UMQ	22,24028655	33,62967879	46,28615740	65,20339319	81,37249322
11427603	2	OQ	OQ	6,16202229	8,76211305	11,33041362	14,67739343	17,17337042
11432002	2	OQ	OQ	11,40985293	16,42314545	21,49729164	28,29959735	33,51790541
11434008	2	OQ	OQ	6,34643221	8,64443394	10,71699175	13,14805772	14,77879054
11445004	2	OMQ	OMQ	5,65520281	7,71942265	9,58995863	11,79607117	13,28409894
11455201	2	OQ	OQ	4,22434761	5,61500066	6,80123600	8,10607892	8,92614059
11465001	2	OQ	OQ	7,75163196	10,45056136	12,82932755	15,54644363	17,32070569
11495002	2	UQ	UQ	3,06829562	3,96146607	4,67110850	5,39053750	5,80653535
11548007	2	OMQ	UMQ	6,38921973	8,77298432	10,96116927	13,58072175	15,37444848
11582300	3	OQ	OMQ	16,70862314	23,88185946	31,04142093	40,48490373	47,61281362
11583303	3	OMQ	OMQ	20,97391283	30,95898691	41,56933831	56,62195348	68,83935062
11584000	3	UMQ	UMQ	22,39141554	33,08845855	44,47951732	60,67970682	73,86086409
11605009	3	UQ	UQ	2,56996580	3,46101107	4,24442385	5,13673044	5,71772721
11605202	3	OQ	OQ	10,99025497	15,89173113	20,89760758	27,67902600	32,93596908
11609000	3	UQ	UQ	25,72735850	38,11680507	51,37470229	70,33753884	85,85398060
11649004	3	UQ	UQ	4,64703845	6,43668234	8,11063693	10,15857730	11,59193462
11723504	3	UQ	UQ	7,93301454	10,95774956	13,77023470	17,18756193	19,56289245
11744005	3	UQ	UQ	6,99974677	9,50851141	11,75757805	14,37741987	16,12247519
11802509	2	OQ	OQ	11,02584332	14,89810642	18,32835605	22,26947976	24,85829733
11805008	3	OQ	OQ	37,37902531	58,05425193	82,15323630	120,24090395	154,63781807
11808006	3	OMQ	OMQ	52,41090628	81,94603751	116,77475541	172,57500104	223,64716371
11864007	3	OQ	OQ	22,08887186	30,45249003	38,19716793	47,56255173	54,04101854
11921701	2	OMQ	UMQ	7,42036864	10,61820820	13,81728914	18,04815009	21,25011529
11924007	3	UMQ	UMQ	12,98210679	18,66115368	24,39387828	32,05537063	37,91469588
11942009	2	OMQ	OMQ	7,82581283	11,12412522	14,37984623	18,61924355	21,77817951
11944004	3	OMQ	OMQ	11,31815369	16,81473753	22,72700591	31,23430039	38,23706235
11946000	3	NA	UMQ	12,61444881	18,79503357	25,47915550	35,15803573	43,17526449
12002009	4	OMQ	OMQ	127,98488672	194,83658764	270,03850270	384,05518659	482,89174073
12003001	4	UMQ	UMQ	156,51391896	239,10345605	332,59540080	475,38837825	600,07161713
12003500	4	UQ	UQ	155,49122478	239,02941162	334,65462280	482,62032414	613,49036643
12006000	4	UMQ	UQ	188,42626336	299,23448822	433,44009096	655,29299521	864,68106247
12313009	2	UQ	UQ	4,65195673	6,00729858	7,08468034	8,17754189	8,80983959
12335001	2	OQ	OQ	4,92750141	6,76056918	8,44034966	10,44728224	11,81876737
12401004	2	OQ	OQ	8,06034622	11,28184669	14,36233212	18,22854768	21,00495453
12402007	2	OQ	OQ	11,96117489	16,98411530	21,93139230	28,35714983	33,13310832
12404002	2	OMQ	OMQ	7,49288275	11,30375062	15,52068761	21,79252680	27,12710114
12404705	3	OQ	OQ	27,32678073	40,28903144	54,03245868	73,47955075	89,22322127
12405005	3	OQ	OQ	33,17056101	49,33293158	66,75278825	91,87775780	112,60774325
12406008	3	OQ	OQ	47,63821372	69,96102679	93,45381533	126,40981101	152,86117347

St_Nr	grCuL	Qu_DuP	Qu_CuL	HQ5	HQ10	HQ20	HQ50	HQ100
12412000	2	OQ	OQ	5,85264808	8,09693688	10,19080882	12,74494937	14,52730195
12418007	2	OQ	OQ	5,35412882	7,21083346	8,84343979	10,70321305	11,91430035
12425002	2	OQ	OMQ	11,57564201	16,24005980	20,72208913	26,37917744	30,46474613
12445000	2	OQ	OQ	11,12472205	15,84622240	20,52631463	26,65012723	31,23546790
12465007	2	NA	UMQ	4,25864625	5,56381762	6,63195615	7,75223974	8,42293783
12483009	2	UQ	UQ	2,74270443	3,55263085	4,20145105	4,86545606	5,25313612
13124001	2	UQ	UQ	2,76602309	3,63295313	4,35168073	5,11678707	5,58185195
13202003	3	UQ	UQ	7,25551515	10,15131424	12,91805922	16,38717508	18,87601285
13206004	3	UQ	UQ	10,71475057	15,37131647	20,05335249	26,28199357	31,02370795
13208000	3	UQ	UQ	12,42415998	18,69767049	25,60892008	35,83490152	44,48825104
13217000	2	UQ	UQ	3,39611529	4,71004934	5,94241075	7,45487631	8,51683132
13242008	2	UQ	UQ	2,08877525	2,76028996	3,32526221	3,93695460	4,31523733
13242507	2	NA	UQ	4,38693961	5,88197501	7,18324114	8,64826720	9,59099838
13321002	2	OMQ	OMQ	6,77007776	10,16118395	13,87857276	19,34720182	23,94844322
13322005	3	UMQ	UMQ	9,43501442	14,61214146	20,61658518	30,05122232	38,52286629
13400903	2	OQ	OQ	3,76243251	5,10585272	6,30754587	7,70377793	8,63139728
13402807	3	OQ	OQ	23,71978520	36,06305751	49,91583838	70,86163200	88,97007089
13405408	3	UMQ	UMQ	22,27626190	34,95390881	49,99613762	74,27030197	96,64566065
13406105	3	UQ	UQ	26,41156822	42,02462489	60,99646649	92,47924096	122,30521622
13407200	3	UQ	UQ	33,80157913	51,74238854	72,12498915	103,38761034	130,79926107
13424901	2	OQ	OQ	7,30170298	10,43043570	13,54961404	17,65832988	20,75543600
13450300	2	UQ	UQ	3,56443878	4,57615019	5,36843722	6,15844869	6,60755991
13465002	3	OQ	OQ	15,21913266	22,60500904	30,54603505	41,96683038	51,36316211
13922002	2	UQ	UQ	6,76934732	9,38870943	11,84564779	14,86129986	16,97888895
13926207	3	UQ	UQ	7,17818986	10,20063373	13,18232107	17,06228078	19,95144135
14002305	4	UMQ	OMQ	65,06823034	102,16362038	146,22576081	217,42097968	283,12918590
14006000	4	UMQ	UMQ	99,12486908	159,03808122	232,86603518	357,40791089	477,30692108
14008006	4	UMQ	UMQ	112,38828389	177,80949681	256,53821793	385,70858065	506,72662415
14101205	3	UMQ	UMQ	29,89515564	44,06895458	59,09258725	80,34400494	97,54261987
14107008	1	UMQ	UMQ	3,56164264	4,59008740	5,40343708	6,22364209	6,69534038
14114003	3	UQ	UQ	10,92713265	16,13576476	21,67481299	29,53993009	35,92928841
14201006	3	OMQ	OQ	15,18351900	20,50194699	25,20602432	30,60108559	34,13857525
14209008	3	UMQ	UMQ	28,68886068	38,98402838	48,22026016	58,98827747	66,16692082
14244803	2	UMQ	UMQ	8,86349465	12,91829478	17,12376994	22,92389167	27,50117153
14362005	3	UMQ	UMQ	18,86087028	26,40412986	33,62009785	42,68083858	49,19058269
14364000	3	OMQ	OMQ	19,51085275	28,37602615	37,53277063	50,10114535	59,97241807
14402008	2	OMQ	OMQ	5,58081025	7,80881808	9,93788111	12,60793815	14,52387447
14402507	2	UQ	UQ	3,22187674	4,28831345	5,20088012	6,20836294	6,84389664
14405200	3	UMQ	UMQ	14,76244729	21,87516752	29,48882496	40,38261828	49,29972510
14406508	3	UQ	UQ	8,46469537	11,22710195	13,57154775	16,13541879	17,73722088
14408004	3	UQ	UQ	19,76545272	28,76374952	38,06893767	50,85855250	60,91729479
14425003	2	OMQ	OMQ	4,82987465	6,49287531	7,94906628	9,59991425	10,66971589
14426006	2	UQ	UQ	3,24292558	4,04207687	4,61972880	5,14531377	5,41718347
14465008	2	NA	UMQ	4,71348515	6,28490430	7,63523695	9,13322537	10,08282130
14486008	2	UMQ	UMQ	6,55368150	8,96969436	11,17185241	13,78667844	15,56245829
14602007	3	UMQ	UMQ	8,39170722	12,20636873	16,14756384	21,55888452	25,81030572
14604002	3	UQ	UQ	12,99190725	19,46969181	26,55074917	36,93343055	45,64087706
14606008	3	UQ	UQ	16,88127481	24,75674971	33,02269367	44,58196452	53,83085024
14608003	3	UQ	UQ	20,48925439	28,65423157	36,44814440	46,21021224	53,20627852
14644801	2	UQ	UQ	3,36401171	4,43579910	5,33283931	6,29824354	6,89162568
14685004	2	UQ	UQ	5,50714033	7,65556950	9,68057489	12,18006004	13,94514081
15202300	3	OMQ	OMQ	80,36708388	119,99625405	163,02224164	225,61080574	277,68955290

St_Nr	grCuL	Qu_DuP	Qu_CuL	HQ5	HQ10	HQ20	HQ50	HQ100
15205501	4	OQ	OQ	102,00562941	151,63213848	205,06982335	282,06008981	345,51427314
15207507	4	OQ	OQ	110,29729886	165,02975371	224,68430767	311,85494907	384,71351821
15210206	3	UMQ	UMQ	21,01749200	31,16303356	42,03560468	57,61318489	70,38117402
15212008	3	UMQ	OMQ	41,16262989	61,90459463	84,72609669	118,44309774	146,93300817
15212700	3	OMQ	OMQ	55,21916965	84,09154017	116,59054822	165,89958109	208,67443781
15213500	2	OQ	OMQ	5,98904205	7,94520275	9,60621438	11,42372391	12,55988998
15214003	3	UMQ	UMQ	16,83963996	25,32462990	34,65993020	48,45146933	60,10439068
15214604	1	UMQ	UMQ	3,48411035	4,61544161	5,57280514	6,61626726	7,26595868
15216009	2	UMQ	UMQ	6,92484244	9,70795005	12,37807521	15,74216213	18,16732367
15217908	2	OMQ	OMQ	10,63298004	14,90632553	19,00615122	24,17145752	27,89507121
15221009	2	UQ	UQ	5,57709093	7,74654303	9,78786231	12,30249188	14,07472636
15228008	3	UMQ	UMQ	14,04294700	20,72828504	27,83219991	37,91021876	46,08991460
15241006	2	OMQ	OMQ	4,40329740	6,30485967	8,20953910	10,73218099	12,64411798
15243001	3	OMQ	OQ	16,48102659	24,69167911	33,66241588	46,80804979	57,82616407
15246000	3	OQ	OQ	22,01249833	33,35060872	45,99510252	64,97326871	81,26134307
15247002	2	OQ	OMQ	6,43561353	8,14251984	9,42861868	10,65560728	11,32214899
15247501	2	OMQ	OQ	3,30337241	4,25665353	5,01029422	5,76998014	6,20669315
15314008	2	UMQ	UMQ	3,52422645	4,83941187	6,04686771	7,49259986	8,48272754
15315000	2	UMQ	UMQ	5,21780896	7,32394505	9,34980255	11,90982012	13,76088003
15325004	2	UMQ	UMQ	3,26259744	4,41296829	5,43439784	6,61110236	7,38615027
15408000	3	UQ	UQ	9,78258887	15,06948355	21,14358349	30,58277165	38,96676094
15422500	2	UQ	UQ	6,31349575	9,68676917	13,53491775	19,46555952	24,69032484
15916000	2	OMQ	OMQ	5,08091762	7,59732197	10,33676691	14,33425148	17,67082175
15993001	2	UMQ	OMQ	4,67681306	6,32080076	7,77790755	9,45305588	10,55410243
16001303	3	UMQ	UMQ	26,32008128	46,72824798	76,24124288	136,36600222	205,86967173
16002500	3	UMQ	UMQ	60,91245697	94,66981324	134,06474180	196,41505629	252,80172315
16003003	3	UMQ	UMQ	65,32342189	103,10321573	148,38395207	222,32387429	291,27512902
16004006	4	UMQ	OMQ	71,89943716	109,96340248	153,13917359	219,23859298	277,08949176
16004403	4	OMQ	OMQ	82,57120165	125,62089169	173,99182301	247,22999046	310,63265268
16005701	4	OQ	OQ	134,37416272	201,90370320	276,08074085	385,46016760	477,70620242
16006500	4	OQ	OQ	135,80180200	201,83768314	272,92337853	375,30380533	459,65458756
16007004	4	UQ	UQ	149,64873970	222,45061946	300,84126232	413,77874574	506,85702541
16008007	4	UQ	UQ	154,31100133	231,85248979	317,02211861	442,60246040	548,50460784
16008506	4	UQ	UQ	160,34252960	241,90126109	332,15651446	466,40330603	580,59697661
16124950	2	UQ	UQ	7,89885883	12,05980730	16,76503899	23,94257733	30,20216429
16145008	3	UQ	UQ	19,98624701	29,57468570	39,81158715	54,41416743	66,33095438
16163000	2	OQ	OQ	17,13682001	26,99236897	38,76315389	57,90476197	75,68277460
16312008	2	OQ	OQ	3,16480075	4,30660373	5,33419399	6,53656725	7,34109783
16326002	2	OQ	OQ	12,39357734	18,50698725	25,14581503	34,80549736	42,84510290
16345007	2	OQ	OQ	5,80737257	8,16130525	10,43117490	13,30785382	15,39393126
16395005	2	OMQ	OQ	3,69936237	4,97273738	6,08756543	7,35116922	8,16986049
16401006	3	UQ	UMQ	15,37071923	23,20276074	31,87925903	44,80101695	55,80625597
16402009	3	UQ	UQ	25,24225254	37,41967927	50,46483787	69,14699189	84,45295654
16404900	3	NA	UQ	40,36276967	60,87267792	83,55541442	117,26949868	145,92693792
16407002	3	UQ	UQ	40,53717027	57,45650479	74,05999439	95,53388783	111,42656058
16408504	3	UQ	UQ	59,23581169	84,13340012	108,66911812	140,55713414	164,27276946
16425004	2	UQ	UQ	9,26557792	13,15345198	16,98093856	21,94951524	25,64037905
16527503	1	UQ	UQ	2,22664734	2,79428438	3,21250440	3,60141681	3,80717830
16602303	3	UQ	UQ	16,86452373	24,90061635	33,44472802	45,57394417	55,42496516
16603000	3	UQ	UQ	14,94703048	22,51205284	30,85805765	43,22759611	53,71219023
16605006	3	UQ	UQ	14,54002779	21,71840564	29,51785059	40,87325896	50,32996543
16607001	4	UQ	UQ	49,23161887	68,36279368	86,35308783	108,49910191	124,09588191

St_Nr	grCuL	Qu_DuP	Qu_CuL	HQ5	HQ10	HQ20	HQ50	HQ100
16610709	2	UMQ	UMQ	15,31889940	23,53030480	32,91653364	47,41633823	60,21999330
16612001	3	OQ	OMQ	28,96276612	45,31819938	64,63014021	95,61764756	124,02202250
16613004	3	UMQ	UMQ	40,35435175	62,65891426	88,64515442	129,69357816	166,74482013
16615203	2	OQ	OQ	7,18944497	10,60774766	14,23726875	19,38168256	23,55334886
16616002	2	OQ	OQ	8,56078178	12,35570275	16,21729060	21,42633955	25,44727486
16618008	2	UQ	UQ	6,47522826	9,32675251	12,21682054	16,09732257	19,07890777
16625003	2	OQ	OQ	7,03976283	10,19436962	13,42546503	17,81728658	21,23321211
16642002	2	OQ	OQ	4,63677908	6,42782720	8,10607494	10,16349291	11,60646808
16644050	2	OQ	OMQ	5,19718306	7,00828485	8,60535370	10,43065425	11,62327327
16658002	2	UMQ	UQ	7,51835832	10,68250953	13,80309138	17,86242821	20,88414484
16665008	2	UQ	UQ	4,10256270	5,16236305	5,94905710	6,68689774	7,08072533
16667604	2	UQ	UQ	3,15585632	4,10298483	4,86880195	5,66094718	6,12851934
16668800	2	OMQ	OMQ	3,34791495	4,60072855	5,75278405	7,13476500	8,08301947
16669009	2	UMQ	UMQ	2,51218920	3,14940600	3,61755992	4,05149831	4,28031402
16686008	3	OMQ	OMQ	14,01337725	21,16643164	29,09937011	40,92878953	51,01638073
16802007	3	UQ	UQ	6,63240717	9,42779747	12,18712480	15,78020069	18,45757648
16806008	3	OMQ	OMQ	9,10366085	13,00542519	16,89581701	22,02123804	25,88535135
16825002	2	OMQ	OMQ	8,66041720	12,21510034	15,66863831	20,08361819	23,31326488
16827008	2	OQ	OQ	3,53380150	4,64016779	5,55682422	6,53192781	7,12420203
16965001	2	UMQ	UMQ	3,44140811	4,70812323	5,86166214	7,22992388	8,15814944
17125006	2	OMQ	OMQ	10,79493258	14,66650276	18,13866345	22,18506604	24,88157619
17201501	3	OQ	OQ	35,55688971	55,28472650	78,32347418	114,81711321	147,84714530
17204204	3	OMQ	OMQ	29,03917215	42,48193550	56,52481735	76,05519674	91,59687276
17207508	3	OQ	OMQ	50,91932060	80,23827960	115,28085745	172,31665088	225,33467940
17215007	3	OQ	OQ	18,05781890	27,92845114	39,34913292	57,24411078	73,26842117
17225000	3	OQ	OQ	9,68589848	14,43957143	19,58581336	27,04671047	33,23407823
17242000	2	OQ	OQ	7,92390291	11,26190166	14,55581612	18,84346588	22,03725209
17325005	2	OQ	OQ	10,08030129	14,37100051	18,63151408	24,21764109	28,40888219
17345002	3	OQ	OQ	17,97302099	25,86875078	33,85952505	44,57056599	52,78646246
17404000	3	OMQ	OMQ	27,28083740	40,10870644	53,63739803	72,66226606	87,96945012
17406005	3	OMQ	OMQ	57,62454721	83,01306566	108,75219587	143,32380043	169,89581317
17413000	2	UMQ	OMQ	3,47316008	4,70007409	5,79066751	7,04864690	7,87829391
17415006	2	OMQ	OMQ	8,57883467	11,56041583	14,18554079	17,18042191	19,13365973
17425000	2	OMQ	OMQ	11,25524800	15,36277566	19,08448194	23,47330084	26,43318290
17445007	2	UMQ	UMQ	7,03320668	9,45145975	11,56724660	13,96359852	15,51502363
17464001	3	OMQ	OMQ	28,28610890	40,68893603	53,22670034	70,01030978	82,86707743
17466007	2	UMQ	UMQ	7,36626295	10,20133936	12,85215767	16,09380943	18,36166262
17467000	2	UMQ	UMQ	9,83769973	14,24796678	18,76632728	24,90967825	29,68935197
17468002	2	OMQ	UMQ	11,97754998	16,40482678	20,44655752	25,25438573	28,52545929
18000403	4	OMQ	UQ	296,97581878	424,68805568	552,28707752	720,79022753	848,12675907
18001508	4	OQ	UMQ	328,21548538	476,94645877	630,31870302	840,43553855	1005,15075481
18003004	4	UQ	UMQ	395,42029383	578,00097991	768,43687378	1032,81120591	1242,81449708
18004007	4	OQ	OQ	432,92756094	624,69649544	819,74572813	1082,71658447	1285,60046708
18004506	4	OQ	OQ	382,96954013	570,42167459	773,02129759	1066,18394219	1308,84474289
18005000	4	OQ	UQ	442,56380847	636,16072454	831,58539641	1092,75718446	1292,49260077
18008008	5	OMQ	OQ	760,74796029	1195,74541748	1713,40328584	2551,66125206	3326,97708725
18182005	3	OMQ	OMQ	14,14102308	20,89388459	28,08309585	38,30454964	46,61878612
18193001	2	OQ	OQ	9,46662712	13,77637537	18,23312890	24,35879187	29,17651104
18194503	1	OMQ	OQ	2,53752821	3,40197895	4,15422715	5,00093263	5,54564252
18196000	2	OMQ	OMQ	5,68963389	8,30025749	11,01279850	14,76177915	17,72657466
18199008	2	UQ	UQ	3,67895560	5,29570307	6,93224516	9,12642742	10,80987093
18202000	3	UQ	UQ	17,11672630	25,56561306	34,74442358	48,10627423	59,23243763

St_Nr	grCuL	Qu_DuP	Qu_CuL	HQ5	HQ10	HQ20	HQ50	HQ100
18203003	3	UMQ	UMQ	20,06659421	29,92109947	40,59350363	56,07301634	68,91596317
18204006	3	OMQ	OMQ	37,62350663	56,96873647	78,51976115	110,82520438	138,51708756
18209000	3	OMQ	OMQ	51,43225808	79,12420455	110,86540991	160,05727967	203,63293565
18212004	2	OMQ	OMQ	17,02076445	25,53158991	34,85134143	48,54449710	60,05154997
18214000	2	UQ	UQ	3,10642244	4,15157930	5,05449087	6,06230190	6,70516515
18216005	2	OQ	OQ	6,60719829	9,28097720	11,85676821	15,11748012	17,47937660
18226009	2	OMQ	OMQ	4,95276419	6,68402398	8,21344857	9,96508562	11,11199467
18242005	2	UQ	UQ	11,74490034	17,88622233	24,79914773	35,28811346	44,38743432
18246006	3	OQ	OQ	16,66953347	24,95558325	33,99630041	47,22332498	58,29211805
18262002	2	UMQ	UMQ	6,38434338	8,51142925	10,33856141	12,36460626	13,64837780
18263005	2	OMQ	UMQ	10,96439751	15,28005428	19,36938018	24,44790813	28,05643387
18284504	2	OQ	OQ	4,01738426	5,51406999	6,88678393	8,52848511	9,65151239
18286000	2	OMQ	OMQ	3,03477178	4,04501053	4,91235769	5,87357883	6,48228706
18322002	2	UMQ	UMQ	9,77758676	13,72214645	17,51514668	22,30648557	25,76965484
18343002	2	UMQ	UMQ	4,68424454	6,44782806	8,07542488	10,03599816	11,38691774
18346000	3	OMQ	OMQ	16,22692644	23,91044649	32,04823703	43,54884230	52,84770790
18381500	2	OQ	OQ	8,02451479	11,31415027	14,50783633	18,58714971	21,56870282
18384509	3	UMQ	OQ	29,49338672	44,05719282	59,88303948	82,92767165	102,12187686
18387008	2	OQ	OQ	4,02082299	5,44230795	6,70643109	8,16534234	9,12801899
18403002	4	UQ	UQ	36,56355429	54,80443692	74,75096057	104,00954585	128,55706685
18405008	4	UQ	UQ	40,59258287	61,76611377	85,56378669	121,60800598	152,82218514
18408200	4	OQ	OQ	60,22438971	89,50404087	121,01913401	166,40238160	203,78850710
18454003	3	UMQ	UMQ	82,97843326	129,69052702	184,73894889	272,86655951	353,46644544
18460403	2	NA	UQ	3,69623865	5,15055725	6,52829848	8,23887225	9,45399779
18463004	2	OQ	OQ	16,55366947	24,67008261	33,45156821	46,17397133	56,71752153
18465600	2	OMQ	OMQ	4,36248688	6,06392024	7,66735867	9,64614180	11,04326033
18481006	3	OMQ	OQ	36,72103982	56,80713677	80,05750248	116,50669626	149,16184834
18483500	3	OQ	OQ	39,61763214	61,40135078	86,69866706	126,50758911	162,30619444
18486000	3	OMQ	OMQ	26,84425361	40,44896798	55,47057900	77,75544265	96,66242883
18487501	2	OQ	OQ	12,71599625	19,03217560	25,92049633	35,99314110	44,41784476
18602009	4	OMQ	OMQ	369,16389329	567,27190742	793,88315287	1144,23951334	1453,86325688
18606000	4	OMQ	OMQ	394,52178486	605,22279361	845,52157394	1215,74728979	1541,80818719
18620500	3	UMQ	OMQ	31,41813713	46,63157775	62,96629550	86,42172013	105,68909317
18622006	2	UQ	UQ	9,94003027	14,63060789	19,58815777	26,57734759	32,21486662
18624001	2	UMQ	UMQ	5,32919108	7,57575449	9,79359926	12,68197901	14,83454907
18625004	2	OMQ	OMQ	20,08636438	28,20737660	36,02647811	45,91843906	53,07910547
18642003	3	OMQ	OMQ	80,89226487	127,57023133	183,43627079	274,50914693	359,29858613
18662000	2	OQ	OQ	8,23129369	11,85751997	15,53360396	20,47080607	24,26531585
18666001	2	OMQ	OMQ	11,54737946	15,69212400	19,41102452	23,74732553	26,63860946
18668007	1	OMQ	OQ	4,07410204	5,69120428	7,23117102	9,15474411	10,52950056
18669000	2	OQ	OQ	3,92388272	5,35457703	6,65019195	8,17710041	9,20622601
18683000	2	UQ	UQ	5,32424635	7,45544499	9,49520548	12,05793484	13,90022753
18801005	2	OQ	OQ	7,45720553	10,94443401	14,60986208	19,74431746	23,85942519
18803805	3	OQ	OQ	31,93780448	50,18607349	71,89166620	107,02060145	139,49408458
18804706	3	OQ	OQ	29,35302935	43,78253700	59,41930640	82,11558335	100,95953226
18806406	3	OQ	OQ	44,01700159	65,83453004	89,59748799	124,29296797	153,26855893
18808004	3	OQ	OQ	49,55616252	73,95576041	100,42240836	138,88133219	170,84825142
18825003	2	OQ	OQ	9,61023213	13,88075756	18,23270968	24,11328636	28,66034348
18855004	2	OQ	OQ	3,44359029	4,73711445	5,92928317	7,36310347	8,34951008

St_Nr	HQ5_10_Anzahl	HQ5_10_MQ_med	HQ5_10_Dauer_med	HQ5_10_t_p_a_med	HQ5_10_t_p_r_med	HQ5_10_d_rez_r_med	HQ5_10_t_cov_r_med	HQ5_10_rat_m_m_med
105	57	60,5	10,0	3,0	0,3333	0,6667	0,5556	1,77799437
120	58	86,0	10,0	3,0	0,4000	0,6000	0,6250	1,53576343
125	68	95,6	7,0	3,0	0,5000	0,5000	0,6667	1,31546376
129	67	11,2	5,0	2,0	0,4000	0,6000	0,6667	1,60977548
139	12	5,2	10,5	3,5	0,3818	0,6182	0,5727	2,14738271
144	96	15,2	5,0	2,0	0,4000	0,6000	0,6667	1,59098444
162	32	5,8	8,0	3,0	0,3333	0,6667	0,6250	1,45356629
168	53	71,2	15,0	3,0	0,3333	0,6667	0,5385	1,90395102
173	41	5,2	5,0	2,0	0,4000	0,6000	0,6667	1,96948720
177	55	7,5	8,0	3,0	0,3333	0,6667	0,5714	1,91230268
192	31	5,2	12,0	2,0	0,2500	0,7500	0,5000	2,16100689
194	33	71,1	15,0	3,0	0,1667	0,8333	0,5000	2,42118539
1101	29	5,3	6,0	2,0	0,2857	0,7143	0,5333	2,33151446
1111	75	7,8	5,0	2,0	0,3333	0,6667	0,6667	1,61576028
1120	60	5,7	10,5	3,0	0,3750	0,6250	0,5949	1,54488312
1131	25	7,2	10,0	4,0	0,5000	0,5000	0,6250	1,26938513
1139	43	31,8	10,0	3,0	0,3750	0,6250	0,5455	2,00145689
1140	33	22,5	7,0	3,0	0,3333	0,6667	0,5714	1,99242526
1155	25	5,3	8,0	3,0	0,4000	0,6000	0,6667	1,31325012
200378	78	18,4	5,0	2,0	0,5000	0,5000	0,7500	1,61992693
201012	46	39,1	9,0	4,0	0,5635	0,4365	0,6667	1,85785173
201087	69	122,0	4,0	2,0	0,4000	0,6000	0,7500	1,51555437
201095	25	15,9	4,0	2,0	0,5000	0,5000	0,7143	1,34337630
201111	76	28,9	6,0	2,0	0,3333	0,6667	0,6000	1,78634891
201178	99	118,0	5,0	2,0	0,5000	0,5000	0,7500	1,24433601
201194	52	126,0	6,0	3,0	0,5000	0,5000	0,6667	1,24682885
201350	49	12,1	5,0	3,0	0,6000	0,4000	0,7500	1,27786753
201392	29	40,7	8,0	3,0	0,5000	0,5000	0,7500	1,49975333
201434	37	55,6	5,0	3,0	0,5000	0,5000	0,7500	1,36196319
201459	42	253,5	5,0	3,0	0,5714	0,4286	0,7321	1,25176976
201525	37	276,0	5,0	2,0	0,5000	0,5000	0,7500	1,23950057
201574	23	21,1	8,0	3,0	0,4000	0,6000	0,6250	1,41157160
201624	14	48,5	6,5	2,0	0,3604	0,6396	0,7083	1,43824738
201681	35	339,0	5,0	2,0	0,5000	0,5000	0,7500	1,24487535
201772	14	10,5	10,0	4,5	0,5000	0,5000	0,5795	1,55643188
201780	11	64,9	8,0	6,0	0,7500	0,2500	0,6250	1,61346633
201806	41	397,0	5,0	2,0	0,5000	0,5000	0,7500	1,21037464
201822	61	44,8	5,0	2,0	0,3667	0,6333	0,6667	1,97000658
201863	70	25,8	3,0	1,0	0,4000	0,6000	0,7500	1,49777569
201889	17	411,0	6,0	3,0	0,5000	0,5000	0,6667	1,32251197
201913	88	17,2	5,0	2,0	0,3333	0,6667	0,6667	1,55340080
201921	83	16,6	4,0	2,0	0,3333	0,6667	0,6667	1,66276923
201939	90	33,6	4,0	2,0	0,3333	0,6667	0,6667	1,61601059
202036	57	55,4	4,0	2,0	0,5000	0,5000	0,7500	1,39939486
203026	53	23,1	4,0	2,0	0,5000	0,5000	0,7500	1,54101077
203034	2	16,0	7,5	5,5	0,7222	0,2778	0,6667	1,47930868
203075	42	64,7	8,5	4,0	0,5917	0,4083	0,6667	1,64206089
203265	115	18,8	5,0	2,0	0,4000	0,6000	0,6667	1,75224647
203307	129	67,2	5,0	2,0	0,4000	0,6000	0,6667	1,89270645

St_Nr	HQ5_10_Anzahl	HQ5_10_MQ_med	HQ5_10_Dauer_med	HQ5_10_t_p_a_med	HQ5_10_t_p_r_med	HQ5_10_d_rez_r_med	HQ5_10_t_cov_r_med	HQ5_10_rat_m_m_med
203323	26	219,0	5,0	2,0	0,3667	0,6333	0,6667	1,53397595
203463	49	14,7	5,0	2,0	0,4000	0,6000	0,6667	1,50297351
203521	83	127,0	5,0	2,0	0,3333	0,6667	0,6667	1,63334272
203539	87	459,0	4,0	2,0	0,4000	0,6000	0,7500	1,43393863
203570	82	126,5	5,0	2,0	0,3750	0,6250	0,6667	1,67465437
203711	92	10,6	4,0	2,0	0,4330	0,5670	0,7500	1,47449894
204677	66	10,0	7,0	2,0	0,4758	0,5242	0,6667	1,62482603
204719	43	29,6	5,0	2,0	0,4000	0,6000	0,6000	2,26514237
204750	41	21,5	6,0	2,0	0,3333	0,6667	0,6000	2,25560207
204784	46	10,1	8,0	2,0	0,3333	0,6667	0,5000	2,64435342
204834	46	7,4	6,0	2,0	0,3333	0,6667	0,6250	2,11846694
204867	54	42,8	6,0	2,0	0,3333	0,6667	0,5505	2,67971630
204933	61	32,2	5,0	2,0	0,4000	0,6000	0,6667	1,70794634
205013	37	16,1	6,0	2,0	0,3333	0,6667	0,5714	2,40958606
205047	18	5,6	5,0	2,0	0,3333	0,6667	0,6111	2,86511235
205054	49	42,2	7,0	2,0	0,3333	0,6667	0,5000	2,41392429
205153	151	90,7	5,0	2,0	0,5000	0,5000	0,7143	1,45789101
205187	106	43,9	7,0	2,0	0,3205	0,6795	0,5714	1,90639460
205294	79	20,4	6,0	2,0	0,3077	0,6923	0,5833	2,24645390
205377	64	15,3	5,0	2,0	0,3333	0,6667	0,6000	2,23769804
205419	55	53,6	5,0	2,0	0,3750	0,6250	0,6000	2,33453464
205450	90	90,1	6,0	2,0	0,3333	0,6667	0,6667	1,50695463
205518	86	63,1	6,0	2,0	0,3333	0,6667	0,6000	1,91378313
205633	37	7,6	8,0	3,0	0,6087	0,3913	0,6186	2,98356092
205641	69	19,3	5,0	2,0	0,3333	0,6667	0,6000	2,36862623
205658	66	37,2	5,0	2,0	0,3333	0,6667	0,6000	2,19977136
205740	74	39,8	6,0	2,0	0,3095	0,6905	0,5714	2,39774717
205757	100	348,5	5,0	2,0	0,4000	0,6000	0,7500	1,46164044
205799	134	25,1	5,0	2,0	0,5000	0,5000	0,6667	1,52562971
205831	112	32,7	5,0	2,0	0,4000	0,6000	0,6667	1,73999114
205856	56	14,3	11,0	2,0	0,2792	0,7208	0,5000	2,49618986
205864	123	74,2	5,0	2,0	0,4444	0,5556	0,6667	1,68077388
205898	80	20,3	6,0	2,0	0,3333	0,6667	0,5635	2,23416337
205914	116	116,0	5,0	2,0	0,4000	0,6000	0,6667	1,70906038
205922	91	440,0	5,0	2,0	0,4286	0,5714	0,7222	1,51709402
205997	28	5,2	9,0	2,0	0,2500	0,7500	0,5470	1,91556637
206029	37	18,2	8,0	2,0	0,3333	0,6667	0,5556	1,96372877
206169	42	16,6	6,5	2,0	0,2614	0,7386	0,5167	2,84083117
206201	73	1063,0	4,0	2,0	0,5000	0,5000	0,7500	1,33364596
206268	32	6,6	6,0	1,0	0,2500	0,7500	0,5000	2,67114986
206409	114	262,0	5,0	2,0	0,4000	0,6000	0,6667	1,42440226
206581	39	11,2	10,0	2,0	0,2000	0,8000	0,4444	2,32541899
206599	52	13,7	6,0	2,0	0,3205	0,6795	0,5208	2,73632654
207324	30	311,5	10,0	5,5	0,5635	0,4365	0,6250	1,34548800
207357	86	2480,5	5,0	2,0	0,5000	0,5000	0,7143	1,25048997
207654	100	90,5	5,5	2,0	0,3333	0,6667	0,6000	2,02291052
207688	70	168,5	6,0	2,0	0,3333	0,6667	0,6000	2,19405440
207696	34	23,2	14,0	5,5	0,5584	0,4416	0,6000	4,39570598
207803	66	66,3	6,0	2,0	0,3333	0,6667	0,6000	1,83425364
207811	27	9,8	8,0	2,0	0,2500	0,7500	0,5000	2,21229957
207837	32	31,1	5,0	1,5	0,2500	0,7500	0,5000	2,69635076
207852	62	39,4	7,0	2,0	0,2500	0,7500	0,5000	2,24504909

St_Nr	HQ5_10_Anzahl	HQ5_10_MQ_med	HQ5_10_Dauer_med	HQ5_10_t_p_a_med	HQ5_10_t_p_r_med	HQ5_10_d_rez_r_med	HQ5_10_t_cov_r_med	HQ5_10_rat_m_m_med
207878	17	14,1	7,0	2,0	0,2500	0,7500	0,5000	2,34117059
207894	43	34,3	5,0	2,0	0,3333	0,6667	0,6667	1,67477697
207910	47	67,8	6,0	2,0	0,3000	0,7000	0,6000	1,91428571
207944	34	27,2	6,0	2,0	0,2679	0,7321	0,5714	1,95654079
207951	26	7,1	6,5	2,0	0,3229	0,6771	0,5714	2,28959590
207993	2	44,3	11,5	2,5	0,2159	0,7841	0,4811	1,30439582
208009	17	21,2	10,0	2,0	0,2000	0,8000	0,4286	3,00175635
208017	23	13,9	8,0	2,0	0,2500	0,7500	0,5000	2,50801983
208041	10	3,5	7,5	2,0	0,2250	0,7750	0,5192	2,38219309
208058	11	3,7	5,0	2,0	0,4000	0,6000	0,6000	1,63038839
208090	27	18,9	7,0	2,0	0,2857	0,7143	0,5000	2,48774972
208116	26	19,1	6,5	2,0	0,2792	0,7208	0,5000	2,64772527
208124	32	23,8	6,0	2,0	0,3095	0,6905	0,5000	2,49467969
208157	41	39,8	5,0	2,0	0,4000	0,6000	0,6667	1,74216251
208272	15	6,1	8,0	2,0	0,2609	0,7391	0,5556	2,13273772
208280	24	12,1	6,0	2,0	0,3333	0,6667	0,6458	1,57349542
208611	28	12,6	12,5	2,0	0,1952	0,8048	0,4248	2,82212796
208629	29	57,4	12,0	2,0	0,2500	0,7500	0,5000	2,17370809
209189	24	4,0	4,0	2,0	0,3333	0,6667	0,6333	1,98596254
209338	9	5,9	6,0	1,0	0,2000	0,8000	0,5000	2,69545793
209361	40	16,0	6,0	2,0	0,3205	0,6795	0,6000	1,84478846
209486	17	8,2	7,0	2,0	0,2500	0,7500	0,5000	2,70071201
210641	93	46,0	4,0	2,0	0,5000	0,5000	0,7500	1,35182999
341000	28	8,8	9,5	2,0	0,2500	0,7500	0,5385	1,90939382
343000	9	8,8	17,0	2,0	0,1053	0,8947	0,5000	2,21328056
344000	3	8,6	16,0	1,0	0,1364	0,8636	0,4091	2,14613553
345000	18	22,4	11,5	2,0	0,1667	0,8333	0,5192	1,85420818
348000	28	5,2	12,5	4,0	0,3667	0,6333	0,5716	1,61774095
353000	29	10,7	11,0	2,0	0,3333	0,6667	0,5333	1,94082044
354000	32	28,8	12,0	2,0	0,2183	0,7817	0,5167	1,99727848
355000	35	60,8	8,0	2,0	0,3571	0,6429	0,6000	1,69226550
356000	26	7,1	9,5	2,0	0,2614	0,7386	0,5000	2,18317226
357000	4	3,7	13,0	3,5	0,2386	0,7614	0,4318	2,67018509
359000	17	6,6	8,0	2,0	0,2500	0,7500	0,5000	2,24939614
360000	30	13,4	8,5	2,0	0,2614	0,7386	0,5000	2,02358673
362000	14	7,0	16,5	3,5	0,2744	0,7256	0,4686	2,05474051
363000	21	12,3	15,0	4,0	0,2727	0,7273	0,4783	1,91627990
364000	18	6,6	15,0	3,0	0,2679	0,7321	0,4689	2,23765485
366000	25	14,1	12,0	3,0	0,2143	0,7857	0,4717	2,00521451
367000	48	86,8	7,0	2,0	0,3875	0,6125	0,6000	1,53839336
370000	59	10,2	7,0	2,0	0,3333	0,6667	0,6000	2,37575758
379000	68	55,1	9,5	2,0	0,2500	0,7500	0,5000	2,65463420
380000	39	8,6	8,0	2,0	0,3333	0,6667	0,5000	2,67650056
382000	65	74,0	9,0	2,0	0,2857	0,7143	0,5000	2,44816748
383000	20	3,6	11,0	2,5	0,2276	0,7724	0,4907	2,75734301
386000	48	23,6	8,5	2,0	0,2361	0,7639	0,5000	2,46727431
387000	48	33,0	9,0	2,0	0,2071	0,7929	0,4545	2,70222230
387500	12	3,4	6,0	2,0	0,2679	0,7321	0,5000	2,89117483
388000	21	8,3	8,0	2,0	0,2857	0,7143	0,5714	2,31340367
389000	59	110,0	8,0	2,0	0,3333	0,6667	0,5000	2,36621051
389500	18	6,4	15,0	4,5	0,3525	0,6475	0,4410	2,42634198
390000	66	111,5	9,0	2,0	0,2500	0,7500	0,5000	2,18323692

St_Nr	HQ5_10_Anzahl	HQ5_10_MQ_med	HQ5_10_Dauer_med	HQ5_10_t_p_a_med	HQ5_10_t_p_r_med	HQ5_10_d_rez_r_med	HQ5_10_t_cov_r_med	HQ5_10_rat_m_m_med
393000	15	3,9	10,0	2,0	0,2500	0,7500	0,5000	1,92217713
394000	6	4,4	14,5	1,0	0,1548	0,8452	0,3734	4,4180352
396000	21	7,1	12,0	3,0	0,2857	0,7143	0,4796	2,18594271
397000	24	11,6	13,0	3,0	0,2727	0,7273	0,5000	2,05163268
400000	12	5,3	10,5	3,0	0,2697	0,7303	0,5000	2,00452898
401000	13	5,8	10,0	3,0	0,3333	0,6667	0,5000	2,09690738
402000	6	12,2	6,0	1,0	0,2500	0,7500	0,6333	2,41890774
403000	77	173,0	7,0	2,0	0,3333	0,6667	0,6000	1,64448559
405000	16	5,9	5,0	1,0	0,3333	0,6667	0,5000	2,65184325
407000	12	3,8	7,0	2,0	0,3095	0,6905	0,4643	2,91557128
410000	10	5,4	7,5	1,5	0,2778	0,7222	0,5500	3,07034697
412000	28	21,1	7,0	2,0	0,2679	0,7321	0,5000	2,67431434
413000	81	182,0	7,0	2,0	0,4000	0,6000	0,6000	1,62366949
414000	2	3,2	10,0	2,0	0,2381	0,7619	0,4286	2,30866064
414700	11	5,3	12,0	2,0	0,2381	0,7619	0,3400	4,04574428
415000	10	5,3	7,0	2,0	0,3352	0,6648	0,5357	2,78382240
418000	37	20,3	8,0	2,0	0,2500	0,7500	0,5000	2,42734478
421500	81	201,0	7,0	2,0	0,4000	0,6000	0,6000	1,64237123
422000	23	9,3	10,0	2,0	0,3333	0,6667	0,5000	2,56831923
423000	5	3,9	7,0	1,0	0,1667	0,8333	0,4286	2,53152659
429000	32	19,1	9,5	2,0	0,2000	0,8000	0,5000	2,09253690
430000	26	62,9	10,0	2,5	0,2500	0,7500	0,5192	2,08122253
431000	25	7,2	10,0	2,0	0,2571	0,7429	0,5000	2,55496138
432000	25	13,0	8,0	2,0	0,2500	0,7500	0,5000	2,48114331
435000	35	50,0	11,0	2,0	0,2941	0,7059	0,5714	1,54578889
436500	26	2,4	5,5	3,5	0,5000	0,5000	0,6833	1,14048310
437000	38	53,4	9,5	3,5	0,5000	0,5000	0,6125	1,44433402
438000	11	4,7	15,0	3,0	0,2222	0,7778	0,5000	2,50822486
439000	14	6,9	10,5	2,0	0,2361	0,7639	0,5000	2,23971773
440000	17	9,0	14,0	3,0	0,2857	0,7143	0,5185	2,08953787
441000	28	9,4	7,0	2,0	0,3333	0,6667	0,5000	1,99231143
441400	9	2,6	23,0	4,0	0,3200	0,6800	0,4815	2,71566173
441500	21	5,1	8,0	3,0	0,4231	0,5769	0,5455	2,31590929
442000	31	20,1	9,0	2,0	0,2941	0,7059	0,5556	2,16106014
444000	7	1,9	14,0	3,0	0,1818	0,8182	0,3636	2,21580027
445000	34	17,7	6,0	3,0	0,4000	0,6000	0,6667	1,52817250
445100	12	4,0	12,0	2,5	0,2679	0,7321	0,5000	2,29944182
446000	22	10,9	10,5	2,0	0,2143	0,7857	0,4767	2,00851667
447000	17	12,5	12,0	2,0	0,2000	0,8000	0,5000	1,87087817
448000	32	40,5	7,0	2,0	0,3333	0,6667	0,6000	1,56434588
452000	16	4,2	5,5	2,0	0,3542	0,6458	0,6000	2,26626810
453000	7	5,0	12,0	3,0	0,3750	0,6250	0,5000	1,90763052
454000	22	8,3	5,5	2,0	0,3693	0,6307	0,6000	1,80438728
455000	11	4,2	13,0	3,0	0,2000	0,8000	0,4706	2,45992048
455100	9	4,5	9,0	2,0	0,2000	0,8000	0,4000	2,08281968
456000	25	10,7	14,0	3,0	0,2500	0,7500	0,4615	2,45048365
457000	17	21,7	7,0	2,0	0,2857	0,7143	0,5714	1,67335728
458000	10	3,6	10,0	2,0	0,2444	0,7556	0,4643	2,43245630
459000	11	3,8	7,0	2,0	0,3333	0,6667	0,5455	2,42615628
461000	28	7,2	11,5	3,0	0,3333	0,6667	0,5000	2,09658877
462000	25	64,8	7,0	3,0	0,4286	0,5714	0,6667	1,50833333
463000	19	3,9	13,0	2,0	0,2500	0,7500	0,5000	2,11927310

St_Nr	HQ5_10_Anzahl	HQ5_10_MQ_med	HQ5_10_Dauer_med	HQ5_10_t_p_a_med	HQ5_10_t_p_r_med	HQ5_10_d_rez_r_med	HQ5_10_t_cov_r_med	HQ5_10_rat_m_m_med
465000	22	10,2	7,5	2,0	0,3333	0,6667	0,5857	1,75165829
469000	31	27,0	7,0	2,0	0,2857	0,7143	0,5714	1,86164433
470000	28	12,4	12,5	2,5	0,2020	0,7980	0,4715	2,23798723
471000	14	10,8	21,0	9,0	0,5625	0,4375	0,6498	2,95959149
472000	25	9,5	10,0	2,0	0,2857	0,7143	0,4286	2,40631775
473000	23	18,2	8,0	2,0	0,2667	0,7333	0,5714	2,03605129
474000	20	25,7	7,5	2,0	0,3333	0,6667	0,5635	1,87847079
476000	16	8,4	12,5	2,0	0,2000	0,8000	0,5000	2,06791924
477000	16	13,2	9,5	2,0	0,2429	0,7571	0,5278	1,92911774
483100	4	2,6	17,0	3,0	0,1769	0,8231	0,3590	4,23189771
484000	4	3,1	17,5	5,0	0,4722	0,5278	0,5700	3,95187359
486000	10	4,1	6,0	2,0	0,3333	0,6667	0,5778	2,56806116
6142150	57	289,8	8,0	3,0	0,4444	0,5556	0,6250	1,41644562
6142200	79	2452,3	5,0	2,0	0,5000	0,5000	0,7500	1,20807277
6242030	36	19,3	12,0	2,0	0,2500	0,7500	0,5000	2,29739714
6242070	46	17,5	8,0	2,0	0,3167	0,6833	0,6000	2,00842248
6242120	36	18,0	8,0	2,0	0,2679	0,7321	0,5000	2,22316538
6242130	29	5,3	4,0	2,0	0,4286	0,5714	0,6667	2,12510024
6242240	46	34,2	6,0	2,0	0,3431	0,6569	0,6000	1,75138835
6242280	83	7,0	5,0	2,0	0,4000	0,6000	0,6667	1,42824859
6242281	103	18,4	5,0	2,0	0,4000	0,6000	0,6667	1,68112798
6242290	74	18,5	4,0	2,0	0,5000	0,5000	0,7500	1,30986081
6242300	85	2441,0	5,0	2,0	0,5000	0,5000	0,7500	1,25683023
6242310	5	2,6	8,0	4,0	0,4118	0,5882	0,5000	3,35632184
6242600	132	157,0	6,0	2,0	0,4000	0,6000	0,6667	1,60509980
6242610	55	16,2	9,0	4,0	0,4286	0,5714	0,5714	1,74557015
6242613	43	18,8	5,0	2,0	0,5000	0,5000	0,7500	1,32840983
6242615	94	22,6	7,5	3,0	0,4000	0,6000	0,6202	1,41491612
6242620	125	220,0	5,0	2,0	0,4000	0,6000	0,6667	1,43828512
6242621	25	4,2	5,0	2,0	0,4000	0,6000	0,6667	2,01183432
6242700	102	2489,5	5,0	2,0	0,5000	0,5000	0,7500	1,23450499
6242933	49	9,0	4,0	2,0	0,4000	0,6000	0,7500	1,45017510
6243220	47	22,2	4,0	2,0	0,5000	0,5000	0,7500	1,56198888
6243230	74	9,3	6,0	2,0	0,4000	0,6000	0,6667	1,66546056
6243235	76	16,1	5,0	2,0	0,3542	0,6458	0,6667	1,70571306
6243240	94	49,9	4,0	2,0	0,5000	0,5000	0,7500	1,63947535
6243245	18	329,0	5,0	2,0	0,4500	0,5500	0,6667	1,48639443
6243270	112	8,9	4,0	2,0	0,5000	0,5000	0,7500	1,30050718
6243350	34	5,2	5,0	2,0	0,4643	0,5357	0,7500	1,20743707
6243355	68	6,8	4,0	2,0	0,5000	0,5000	0,7500	1,25212161
6243360	83	12,2	4,0	2,0	0,5000	0,5000	0,7500	1,37155298
6243410	42	10,5	6,0	3,0	0,5000	0,5000	0,6667	1,57953599
6243450	42	11,7	5,0	2,0	0,4416	0,5584	0,6667	1,39056715
6243810	36	13,8	5,5	2,0	0,3333	0,6667	0,5357	2,75685109
6243830	19	4,0	7,0	2,0	0,2000	0,8000	0,4286	3,24684432
6246632	96	8,9	4,0	2,0	0,5000	0,5000	0,7500	1,36207296
6342050	59	8,9	11,0	3,0	0,2857	0,7143	0,5556	1,90315962
6342081	36	8,8	7,0	2,0	0,2857	0,7143	0,5635	2,10035882
6342100	72	13,3	5,0	2,0	0,4143	0,5857	0,7143	1,56840856
6342130	39	84,4	10,0	3,0	0,3750	0,6250	0,5000	1,85954283
6342540	57	5,8	7,0	2,0	0,3333	0,6667	0,5556	2,52291617
6342675	31	21,7	6,0	2,0	0,3750	0,6250	0,6000	2,44852152

St_Nr	HQ5_10_Anzahl	HQ5_10_MQ_med	HQ5_10_Dauer_med	HQ5_10_t_p_a_med	HQ5_10_t_p_r_med	HQ5_10_d_rez_r_med	HQ5_10_t_cov_r_med	HQ5_10_rat_m_m_med
6342800	105	823,0	5,0	3,0	0,5000	0,5000	0,7500	1,25079064
6342900	36	1600,0	5,0	2,0	0,4545	0,5455	0,7500	1,21611173
10026301	123	203,0	4,0	2,0	0,5000	0,5000	0,7500	1,37303557
10035801	82	276,5	7,0	3,0	0,5000	0,5000	0,6742	1,53474788
10039802	127	324,0	5,0	2,0	0,5000	0,5000	0,7500	1,33764136
10046105	105	460,0	5,0	2,0	0,5000	0,5000	0,7500	1,29422383
10053009	108	486,5	5,0	2,0	0,5000	0,5000	0,7500	1,28521028
10056302	113	489,0	5,0	2,0	0,5000	0,5000	0,7500	1,28522139
11401009	122	65,9	5,0	2,0	0,3542	0,6458	0,6667	1,77477655
11402001	137	139,0	5,0	2,0	0,3333	0,6667	0,6296	1,75416072
11405000	121	162,0	6,0	2,0	0,4000	0,6000	0,6000	1,73990235
11411104	68	7,4	5,0	2,0	0,4184	0,5816	0,6667	1,56086826
11415008	66	12,7	4,0	2,0	0,5000	0,5000	0,7143	1,47665815
11425200	118	27,1	5,0	2,0	0,4000	0,6000	0,6667	1,82157598
11427603	47	7,3	8,0	2,0	0,4444	0,5556	0,6667	3,25879095
11432002	77	13,7	18,0	8,0	0,6667	0,3333	0,6000	3,32829047
11434008	62	7,4	7,0	3,0	0,4722	0,5278	0,6000	2,65891287
11445004	25	6,5	9,0	2,0	0,3333	0,6667	0,5556	2,11148812
11455201	27	4,6	5,0	2,0	0,3333	0,6667	0,5000	2,65200249
11465001	83	8,5	7,0	2,0	0,2857	0,7143	0,5054	2,50849151
11495002	35	3,4	4,0	2,0	0,4286	0,5714	0,7500	1,27680312
11548007	31	7,1	6,0	2,0	0,3333	0,6667	0,6000	1,96398892
11582300	78	19,1	5,0	2,0	0,3333	0,6667	0,6667	1,79625659
11583303	91	25,2	5,0	2,0	0,4000	0,6000	0,6667	1,66795367
11584000	87	26,6	5,0	2,0	0,4286	0,5714	0,6667	1,62810924
11605009	20	2,9	5,0	2,0	0,5000	0,5000	0,7321	1,21761875
11605202	52	12,4	5,0	2,0	0,3542	0,6458	0,6000	2,15298189
11609000	111	31,7	4,0	2,0	0,5000	0,5000	0,7500	1,44830660
11649004	110	5,5	4,0	2,0	0,5000	0,5000	0,7500	1,41759074
11723504	92	9,2	4,0	2,0	0,5000	0,5000	0,7500	1,17477061
11744005	29	7,8	5,0	2,0	0,4000	0,6000	0,6667	1,43381069
11802509	35	13,1	7,0	2,0	0,3333	0,6667	0,5455	2,87182952
11805008	23	45,7	9,0	2,0	0,3333	0,6667	0,5263	2,30851032
11808006	32	64,1	10,0	3,0	0,3333	0,6667	0,5278	1,93728696
11864007	37	25,2	8,0	2,0	0,3333	0,6667	0,5556	2,18245914
11921701	34	8,7	4,5	2,0	0,4286	0,5714	0,6667	2,11380261
11924007	78	15,0	4,0	2,0	0,4000	0,6000	0,6667	1,62627507
11942009	30	9,4	5,0	2,0	0,4286	0,5714	0,6458	2,25217957
11944004	65	12,7	5,0	2,0	0,5000	0,5000	0,7500	1,81655747
11946000	74	14,6	5,0	2,0	0,5000	0,5000	0,6905	1,73514528
12002009	43	162,0	6,0	2,0	0,5000	0,5000	0,6667	1,39331027
12003001	52	194,0	4,5	2,0	0,5000	0,5000	0,7500	1,35974807
12003500	48	189,0	6,0	3,0	0,5000	0,5000	0,6667	1,37445390
12006000	68	237,5	5,0	2,0	0,5000	0,5000	0,7500	1,38034816
12313009	66	5,4	7,0	2,0	0,3333	0,6667	0,6000	1,66253256
12335001	47	5,5	6,0	2,0	0,3333	0,6667	0,5000	2,43498198
12401004	92	9,2	7,0	2,0	0,3333	0,6667	0,5556	2,38543787
12402007	106	14,0	7,0	2,0	0,3333	0,6667	0,6000	2,16743190
12404002	242	9,9	11,0	4,0	0,4286	0,5714	0,5882	1,88881126
12404705	102	31,7	7,0	2,0	0,3333	0,6667	0,5714	1,86367710
12405005	116	39,7	7,0	2,0	0,3258	0,6742	0,6000	1,75457413
12406008	100	54,8	6,0	2,0	0,3333	0,6667	0,6000	1,83688584

St_Nr	HQ5_10_Anzahl	HQ5_10_MQ_med	HQ5_10_Dauer_med	HQ5_10_t_p_a_med	HQ5_10_t_p_r_med	HQ5_10_d_rez_r_med	HQ5_10_t_cov_r_med	HQ5_10_rat_m_m_med
12412000	71	6,7	7,0	2,0	0,3419	0,6581	0,5714	2,65426447
12418007	55	6,2	6,0	2,0	0,3333	0,6667	0,5714	2,77468415
12425002	56	14,2	10,0	2,0	0,2426	0,7574	0,4797	2,47616442
12445000	52	13,4	16,5	8,5	0,6667	0,3333	0,6336	4,34964350
12465007	74	4,8	6,0	2,0	0,4000	0,6000	0,6458	1,65445717
12483009	147	3,1	4,0	2,0	0,5000	0,5000	0,7500	1,22515309
13124001	19	3,3	4,0	2,0	0,5000	0,5000	0,7500	1,46997930
13202003	49	8,1	5,0	2,0	0,4286	0,5714	0,6667	1,66678899
13206004	127	13,2	5,0	2,0	0,5000	0,5000	0,7500	1,39839624
13208000	103	15,0	5,0	3,0	0,5000	0,5000	0,6667	1,35139392
13217000	14	4,0	4,0	2,0	0,5000	0,5000	0,7500	1,95408413
13242008	3	2,7	5,0	2,0	0,4000	0,6000	0,6000	2,40748997
13242507	28	4,9	6,0	2,0	0,4643	0,5357	0,6458	1,53918298
13321002	11	8,8	24,0	18,0	0,7500	0,2500	0,6667	6,31528965
13322005	36	11,1	5,0	3,0	0,5000	0,5000	0,6667	1,78373786
13400903	7	4,4	15,0	2,0	0,1667	0,8333	0,4948	4,55755774
13402807	19	30,6	9,0	3,0	0,4186	0,5814	0,5714	2,29363114
13405408	22	26,6	12,0	4,0	0,3333	0,6667	0,5247	1,72133181
13406105	21	31,3	16,0	6,0	0,4167	0,5833	0,5333	1,64720344
13407200	29	40,6	13,0	6,0	0,4000	0,6000	0,5455	1,42865157
13424901	22	8,8	9,5	2,0	0,3333	0,6667	0,5584	3,06483649
13450300	3	3,8	22,0	13,0	0,5909	0,4091	0,6154	1,50405768
13465002	37	18,5	9,0	3,0	0,3333	0,6667	0,5455	2,05272839
13922002	24	8,0	7,0	3,0	0,4189	0,5811	0,6000	1,63610879
13926207	33	8,5	6,0	3,0	0,4444	0,5556	0,6667	1,31092221
14002305	56	79,5	9,0	3,0	0,3485	0,6515	0,6000	1,53467979
14006000	77	125,0	7,0	3,0	0,4444	0,5556	0,6667	1,37733743
14008006	76	139,0	7,0	3,0	0,4286	0,5714	0,6667	1,30810928
14101205	45	35,3	7,0	2,0	0,2857	0,7143	0,5714	1,93825394
14107008	16	4,1	5,5	2,0	0,3667	0,6333	0,5670	2,09127706
14114003	39	13,1	8,0	3,0	0,3333	0,6667	0,5625	1,69600793
14201006	37	18,3	18,0	7,0	0,3889	0,6111	0,5000	2,95655184
14209008	25	33,5	7,0	3,0	0,4286	0,5714	0,5714	1,64901750
14244803	24	10,4	8,0	2,0	0,3333	0,6667	0,5857	1,86742198
14362005	47	21,0	6,0	2,0	0,4286	0,5714	0,6667	1,49265275
14364000	46	22,6	6,5	3,0	0,4286	0,5714	0,6667	1,54748640
14402008	24	6,5	6,0	2,0	0,3333	0,6667	0,5000	2,65538469
14402507	16	3,9	13,5	4,0	0,4942	0,5058	0,5683	1,47361187
14405200	36	17,7	12,5	4,0	0,4495	0,5505	0,6089	1,82457107
14406508	37	9,6	7,0	4,0	0,5455	0,4545	0,6667	1,23180291
14408004	51	23,8	6,0	3,0	0,5000	0,5000	0,6667	1,31231907
14425003	29	5,5	6,0	2,0	0,4000	0,6000	0,6000	2,32289951
14426006	17	3,8	15,0	7,0	0,3333	0,6667	0,5417	1,61471322
14465008	22	5,5	6,0	2,0	0,3333	0,6667	0,5857	2,18093232
14486008	27	7,9	5,0	2,0	0,4000	0,6000	0,6000	1,80661741
14602007	22	10,2	5,5	2,0	0,4000	0,6000	0,6000	1,72813218
14604002	36	14,6	7,0	2,0	0,4143	0,5857	0,6667	1,54538711
14606008	40	20,1	6,0	2,0	0,4286	0,5714	0,6667	1,42022765
14608003	68	24,0	5,0	2,0	0,4286	0,5714	0,6667	1,29341703
14644801	17	3,8	4,0	2,0	0,5000	0,5000	0,7500	1,78279757
14685004	30	6,2	6,0	2,0	0,4000	0,6000	0,6667	1,23604738
15202300	56	92,7	5,0	2,0	0,4000	0,6000	0,6667	1,79706379

St_Nr	HQ5_10_Anzahl	HQ5_10_MQ_med	HQ5_10_Dauer_med	HQ5_10_t_p_a_med	HQ5_10_t_p_r_med	HQ5_10_d_rez_r_med	HQ5_10_t_cov_r_med	HQ5_10_rat_m_m_med
15205501	69	123,0	5,0	2,0	0,4000	0,6000	0,6667	1,68539326
15207507	61	133,0	5,0	2,0	0,4444	0,5556	0,6667	1,60599572
15210206	83	24,7	5,0	2,0	0,4000	0,6000	0,6667	1,72791676
15212008	46	51,6	7,5	3,5	0,5000	0,5000	0,6515	2,14570133
15212700	62	65,9	5,0	2,0	0,4000	0,6000	0,6667	1,76386709
15213500	35	6,9	7,0	2,0	0,3333	0,6667	0,5556	2,49046016
15214003	55	19,9	5,0	2,0	0,4000	0,6000	0,6250	1,85875789
15214604	11	3,7	27,0	25,0	0,7736	0,2264	0,7500	6,25128399
15216009	63	8,1	8,0	3,0	0,5000	0,5000	0,6538	1,92483626
15217908	35	12,7	8,0	2,0	0,4000	0,6000	0,6000	2,55039850
15221009	30	6,8	7,0	2,0	0,2679	0,7321	0,5798	2,02597048
15228008	26	19,0	5,5	2,0	0,5000	0,5000	0,6667	1,95203908
15241006	28	5,1	7,0	2,0	0,3167	0,6833	0,5489	2,63921897
15243001	56	21,1	6,0	2,0	0,3693	0,6307	0,6000	2,15452333
15246000	37	25,8	22,0	11,0	0,5556	0,4444	0,6000	3,29414784
15247002	34	7,4	8,0	2,0	0,2857	0,7143	0,5167	2,88280809
15247501	16	3,8	11,0	2,5	0,3095	0,6905	0,5000	2,58540635
15314008	9	4,0	20,0	4,0	0,3000	0,7000	0,4545	2,55564271
15315000	23	6,0	10,0	3,0	0,3333	0,6667	0,5714	1,87235067
15325004	8	3,9	5,5	2,0	0,3667	0,6333	0,6667	2,19976652
15408000	35	11,0	5,0	3,0	0,5000	0,5000	0,7143	1,67875369
15422500	23	7,6	5,0	2,0	0,5000	0,5000	0,7143	1,92099219
15916000	13	6,0	5,0	2,0	0,4000	0,6000	0,6000	2,62319858
15993001	27	5,3	25,0	7,0	0,4545	0,5455	0,5862	2,80600189
16001303	23	37,4	4,0	2,0	0,4444	0,5556	0,7500	1,93939394
16002500	26	74,8	6,5	3,0	0,5000	0,5000	0,6667	1,67583471
16003003	51	78,6	6,0	2,0	0,4286	0,5714	0,6667	1,54047891
16004006	80	84,3	5,0	2,0	0,4000	0,6000	0,6667	1,54060074
16004403	113	105,0	5,0	2,0	0,4000	0,6000	0,7143	1,35737179
16005701	104	164,5	5,0	2,0	0,5000	0,5000	0,7321	1,46571446
16006500	43	155,0	5,0	2,0	0,4000	0,6000	0,6667	1,89320388
16007004	47	196,0	5,0	2,0	0,5000	0,5000	0,7500	1,23994555
16008007	88	204,5	5,0	2,0	0,5000	0,5000	0,7500	1,24138158
16008506	93	210,0	5,0	2,0	0,5000	0,5000	0,7500	1,23655914
16124950	21	10,6	4,0	2,0	0,4000	0,6000	0,7500	1,42282265
16145008	90	23,6	4,0	2,0	0,4500	0,5500	0,7500	1,48958993
16163000	34	20,1	5,0	1,0	0,3333	0,6667	0,6000	2,75391924
16312008	25	3,9	14,0	3,0	0,5000	0,5000	0,6000	4,35345852
16326002	69	14,6	7,0	2,0	0,3333	0,6667	0,5714	2,45253883
16345007	55	6,5	9,0	4,0	0,4444	0,5556	0,6000	2,73755761
16395005	18	4,0	7,5	2,0	0,3333	0,6667	0,5000	3,75914832
16401006	79	19,7	5,0	2,0	0,4000	0,6000	0,6667	1,57844489
16402009	75	30,5	5,0	2,0	0,4000	0,6000	0,7143	1,53740949
16404900	115	51,1	4,0	2,0	0,4286	0,5714	0,7500	1,43174603
16407002	15	53,7	5,0	2,0	0,6667	0,3333	0,7500	1,28308501
16408504	71	70,7	5,0	3,0	0,6000	0,4000	0,6667	1,45092156
16425004	71	10,9	4,0	2,0	0,4286	0,5714	0,7500	1,35395814
16527503	6	2,4	10,0	2,0	0,2222	0,7778	0,5635	1,92951789
16602303	32	22,5	7,0	3,0	0,5000	0,5000	0,6833	1,16623451
16603000	14	21,4	5,0	3,0	0,6000	0,4000	0,8000	1,15064821
16605006	13	20,0	6,0	3,0	0,6000	0,4000	0,6667	1,16812883
16607001	82	62,1	5,0	2,5	0,5000	0,5000	0,7143	1,18001312

St_Nr	HQ5_10_Anzahl	HQ5_10_MQ_med	HQ5_10_Dauer_med	HQ5_10_t_p_a_med	HQ5_10_t_p_r_med	HQ5_10_d_rez_r_med	HQ5_10_t_cov_r_med	HQ5_10_rat_m_m_med
16610709	46	19,1	4,5	1,0	0,3333	0,6667	0,6333	1,89916110
16612001	89	35,3	5,0	2,0	0,3333	0,6667	0,6000	1,85590778
16613004	68	49,6	4,0	2,0	0,3333	0,6667	0,6667	1,68514942
16615203	77	8,5	5,0	2,0	0,3333	0,6667	0,6000	2,14546839
16616002	55	10,2	6,0	2,0	0,3125	0,6875	0,5000	2,85214416
16618008	64	7,6	10,5	2,0	0,2679	0,7321	0,5556	1,47678889
16625003	33	8,2	6,0	2,0	0,2857	0,7143	0,5000	2,84251969
16642002	14	5,4	8,0	2,0	0,2500	0,7500	0,4365	3,27794063
16644050	34	5,8	8,0	2,5	0,3167	0,6833	0,5000	2,25507329
16658002	50	8,6	5,0	2,0	0,4000	0,6000	0,6125	1,85333287
16665008	48	4,7	5,0	2,0	0,5000	0,5000	0,7500	1,06943930
16667604	24	3,6	8,5	2,0	0,3333	0,6667	0,6491	1,58671262
16668800	25	3,8	7,0	2,0	0,2857	0,7143	0,5000	2,04838772
16669009	6	2,8	7,0	2,0	0,2857	0,7143	0,5357	2,65927368
16686008	41	16,7	5,0	2,0	0,4000	0,6000	0,6667	1,97773973
16802007	84	7,6	4,0	2,0	0,5000	0,5000	0,7500	1,34499613
16806008	39	10,9	5,0	2,0	0,3333	0,6667	0,6000	2,14654003
16825002	44	10,1	6,0	2,0	0,4143	0,5857	0,6000	2,15771202
16827008	11	4,0	7,0	3,0	0,5000	0,5000	0,6731	2,43339120
16965001	10	4,0	5,0	1,5	0,3667	0,6333	0,6000	2,67381140
17125006	35	12,2	6,0	2,0	0,3333	0,6667	0,6000	2,20125786
17201501	42	44,8	6,0	2,0	0,3333	0,6667	0,5714	2,41220726
17204204	51	34,7	6,0	3,0	0,4286	0,5714	0,6250	1,85230116
17207508	42	63,9	6,0	2,0	0,4000	0,6000	0,6000	1,83084518
17215007	32	21,3	6,0	2,0	0,3542	0,6458	0,5857	2,44465792
17225000	24	11,5	6,0	2,0	0,3333	0,6667	0,5000	2,43415269
17242000	28	9,2	15,0	6,0	0,5119	0,4881	0,6667	3,98693940
17325005	39	11,2	6,0	2,0	0,3333	0,6667	0,5714	2,62615588
17345002	43	23,0	7,0	2,0	0,3333	0,6667	0,5714	1,91088571
17404000	38	34,8	12,0	4,0	0,4222	0,5778	0,6041	2,54391272
17406005	59	69,7	5,0	2,0	0,4000	0,6000	0,6000	1,82073704
17413000	24	4,2	23,0	14,5	0,5840	0,4160	0,6250	3,38402598
17415006	57	10,0	15,0	7,0	0,5714	0,4286	0,6250	2,75249197
17425000	44	13,0	7,0	2,0	0,3101	0,6899	0,5774	2,04342528
17445007	52	8,2	5,0	2,0	0,3333	0,6667	0,6667	1,79827707
17464001	52	34,6	5,0	2,0	0,3905	0,6095	0,6000	1,89864225
17466007	37	8,4	5,0	2,0	0,4000	0,6000	0,6667	1,89337319
17467000	40	12,0	6,0	2,0	0,4000	0,6000	0,6458	1,92286047
17468002	42	14,4	7,0	2,0	0,3333	0,6667	0,5714	2,23317058
18000403	40	363,0	5,0	2,0	0,5000	0,5000	0,7500	1,30191345
18001508	41	391,0	4,0	2,0	0,5000	0,5000	0,7500	1,33675214
18003004	58	518,0	4,0	2,0	0,5000	0,5000	0,7500	1,30694774
18004007	61	506,0	6,0	2,0	0,4545	0,5455	0,6667	1,71634707
18004506	73	462,0	7,0	2,0	0,4444	0,5556	0,6000	1,67451820
18005000	18	540,5	5,0	2,0	0,5000	0,5000	0,6667	1,32857166
18008008	67	1080,0	5,0	2,0	0,5000	0,5000	0,7500	1,30584192
18182005	48	16,8	6,0	2,0	0,3333	0,6667	0,5714	1,99646710
18193001	40	11,1	6,5	2,0	0,2857	0,7143	0,5247	2,57653587
18194503	7	3,1	8,0	2,0	0,3333	0,6667	0,5000	3,31328479
18196000	30	6,6	6,0	2,0	0,3333	0,6667	0,5857	2,30843639
18199008	31	4,3	5,0	2,0	0,4000	0,6000	0,7500	1,18733392
18202000	92	20,5	9,0	3,0	0,3693	0,6307	0,6000	1,40024514

St_Nr	HQ5_10_Anzahl	HQ5_10_MQ_med	HQ5_10_Dauer_med	HQ5_10_t_p_a_med	HQ5_10_t_p_r_med	HQ5_10_d_rez_r_med	HQ5_10_t_cov_r_med	HQ5_10_rat_m_m_med
18203003	73	24,0	8,0	3,0	0,2857	0,7143	0,5714	1,64557904
18204006	50	46,0	8,0	2,0	0,2500	0,7500	0,5556	1,90523709
18209000	79	61,6	7,0	2,0	0,2941	0,7059	0,6000	1,71276771
18212004	76	20,3	6,0	2,0	0,3333	0,6667	0,5857	2,10740561
18214000	16	3,6	5,0	2,0	0,3818	0,6182	0,6667	1,86473638
18216005	50	7,7	8,0	2,0	0,3333	0,6667	0,5374	2,61696373
18226009	74	5,6	7,0	2,0	0,2500	0,7500	0,5590	1,87135759
18242005	74	13,9	4,0	2,0	0,4143	0,5857	0,7321	1,62521466
18246006	35	19,0	5,0	2,0	0,4000	0,6000	0,6000	2,26415094
18262002	51	7,3	5,0	2,0	0,4000	0,6000	0,6667	1,94706927
18263005	62	12,6	5,0	2,0	0,3333	0,6667	0,6000	1,84145744
18284504	34	4,4	7,0	2,0	0,3000	0,7000	0,5000	2,84558593
18286000	22	3,3	5,5	2,0	0,2792	0,7208	0,5278	2,38573914
18322002	48	11,3	6,0	2,0	0,3542	0,6458	0,6000	1,96086186
18343002	24	5,5	5,0	2,0	0,3333	0,6667	0,6000	2,09254450
18346000	58	18,6	6,0	2,0	0,3333	0,6667	0,5857	2,03479103
18381500	38	9,1	18,0	10,5	0,7248	0,2752	0,6389	5,72601118
18384509	47	34,9	5,0	2,0	0,4000	0,6000	0,6000	2,14777515
18387008	20	4,7	6,5	1,5	0,2679	0,7321	0,5000	3,19037169
18403002	13	50,0	9,0	5,0	0,5556	0,4444	0,6667	1,12634465
18405008	18	55,3	9,0	5,0	0,5470	0,4530	0,6250	1,12272874
18408200	39	72,4	15,0	3,0	0,2407	0,7593	0,4643	2,07843943
18454003	103	108,0	5,0	2,0	0,3750	0,6250	0,6667	1,67012090
18460403	31	4,2	5,0	2,0	0,4286	0,5714	0,6667	1,67829119
18463004	59	20,7	8,0	2,0	0,2000	0,8000	0,5000	3,11025577
18465600	36	5,1	6,0	2,0	0,3167	0,6833	0,5857	2,24090559
18481006	85	44,3	5,0	2,0	0,3333	0,6667	0,6667	1,87059859
18483500	84	48,4	4,0	2,0	0,3333	0,6667	0,6667	1,80552659
18486000	83	31,2	5,0	2,0	0,3333	0,6667	0,6667	1,83122847
18487501	92	15,0	5,0	2,0	0,3333	0,6667	0,6000	2,08679820
18602009	99	476,0	4,0	2,0	0,5000	0,5000	0,7500	1,44207317
18606000	94	509,5	4,0	2,0	0,4286	0,5714	0,7500	1,44095224
18620500	109	40,1	4,0	2,0	0,5000	0,5000	0,7500	1,53819742
18622006	28	13,4	8,5	5,0	0,5442	0,4558	0,6148	1,82195748
18624001	42	6,3	5,0	2,0	0,3333	0,6667	0,6667	1,94839980
18625004	79	24,2	8,0	6,0	0,7419	0,2581	0,6883	2,09978464
18642003	95	105,0	5,0	2,0	0,4000	0,6000	0,6667	1,62092068
18662000	51	9,7	5,0	2,0	0,3333	0,6667	0,5833	2,53054789
18666001	55	13,5	6,0	2,0	0,3333	0,6667	0,5714	2,04100145
18668007	29	4,8	6,0	2,0	0,3000	0,7000	0,6000	2,70508827
18669000	25	4,5	5,0	2,0	0,3571	0,6429	0,6000	2,76374903
18683000	39	6,1	8,0	3,0	0,3750	0,6250	0,6667	1,24755335
18801005	29	8,9	5,0	2,0	0,4000	0,6000	0,6000	2,37162162
18803805	38	38,8	5,0	2,0	0,4000	0,6000	0,6000	2,30037505
18804706	54	35,2	6,0	2,0	0,3875	0,6125	0,6000	1,96040163
18806406	44	50,8	6,5	2,0	0,3333	0,6667	0,6000	2,08514379
18808004	43	57,8	6,0	2,0	0,3333	0,6667	0,5833	1,97852565
18825003	22	12,3	4,5	2,0	0,3333	0,6667	0,6667	2,66955722
18855004	12	4,0	11,0	3,5	0,5000	0,5000	0,6251	4,42862145

St_Nr	HQ5_10_rat_m_b_med	HQ5_10_hqx_med	HQ10_20_anzahl	HQ10_20_MQ_med	HQ10_20_Dauer_med	HQ10_20_t_p_a_med	HQ10_20_t_p_r_med	HQ10_20_d_rez_r_med
105	3,90996043	6,57541485	33	84,3050	13,0	3,0	0,2500	0,7500
120	2,40754229	6,67386794	38	124,6355	12,5	4,0	0,3798	0,6202
125	1,77540035	7,64216202	44	122,1680	7,5	3,0	0,5000	0,5000
129	2,82218058	6,79979784	27	14,5820	7,0	2,0	0,3333	0,6667
139	6,06057570	5,81415317	3	7,7160	7,0	2,0	0,4000	0,6000
144	2,66953067	6,72577150	49	18,8090	6,0	2,0	0,3333	0,6667
162	2,26059124	6,49868587	9	7,5810	9,0	2,0	0,2857	0,7143
168	4,99260149	6,32896731	29	101,2440	15,0	3,0	0,2667	0,7333
173	4,17642342	6,35553254	15	6,6010	5,0	2,0	0,4000	0,6000
177	3,93405935	6,27922272	25	10,2820	12,0	2,0	0,3636	0,6364
192	5,48564775	6,12784237	15	7,1020	12,0	3,0	0,2857	0,7143
194	7,74663880	6,65124805	23	104,9110	15,0	5,0	0,4375	0,5625
1101	6,45100354	6,46939242	9	7,0170	5,0	2,0	0,3333	0,6667
1111	2,96206373	6,50932994	36	10,0430	8,0	2,0	0,3144	0,6856
1120	3,03383101	6,49590514	22	7,6975	17,0	4,5	0,3292	0,6708
1131	1,47615960	7,10757604	10	9,2465	6,0	3,0	0,4500	0,5500
1139	6,06045651	6,37111424	15	43,3750	10,0	4,0	0,3333	0,6667
1140	5,34827931	6,94084585	22	31,6230	11,0	3,0	0,3333	0,6667
1155	1,88107443	7,57739374	12	6,3030	6,5	3,0	0,3961	0,6039
200378	2,49423718	7,08737593	35	23,5000	7,0	2,0	0,5000	0,5000
201012	2,81199040	7,61084059	49	50,6000	13,0	5,0	0,5000	0,5000
201087	2,13101815	7,02259498	53	174,0000	5,0	2,0	0,5000	0,5000
201095	1,63885578	7,63911170	38	21,3500	4,0	2,0	0,5000	0,5000
201111	3,84653386	6,74850432	44	41,0500	5,0	2,0	0,3333	0,6667
201178	1,54838710	6,81651660	63	162,0000	5,0	3,0	0,5000	0,5000
201194	1,70195807	6,13961111	43	170,0000	6,0	3,0	0,5714	0,4286
201350	1,56417112	6,37901262	54	16,7000	6,0	3,0	0,6667	0,3333
201392	2,02953995	7,45047537	25	56,7000	12,0	7,0	0,6667	0,3333
201434	1,78097126	7,66961425	54	73,6000	4,0	3,0	0,6667	0,3333
201459	1,46217164	7,59140802	79	321,0000	4,0	2,0	0,6000	0,4000
201525	1,42500000	8,04616942	64	345,0000	4,5	3,0	0,5000	0,5000
201574	1,68000000	7,34748840	27	26,9000	10,0	3,0	0,4808	0,5192
201624	1,82865118	8,43202315	23	62,4000	6,0	4,0	0,5000	0,5000
201681	1,42034549	7,76951974	72	435,0000	4,0	2,0	0,5000	0,5000
201772	3,72997846	8,35110938	76	13,4000	9,0	5,0	0,7143	0,2857
201780	2,36438076	9,32107654	61	76,0000	11,0	8,0	0,6667	0,3333
201806	1,38695439	8,10507685	64	497,5000	5,0	3,0	0,6000	0,4000
201822	4,22739620	6,72265487	38	66,3500	9,5	2,0	0,3417	0,6583
201863	2,05933282	7,67953429	73	33,7000	5,0	2,0	0,5000	0,5000
201889	1,56231454	7,08564070	21	560,0000	5,0	3,0	0,6000	0,4000
201913	2,36336268	6,73451487	40	23,2000	6,0	2,5	0,4000	0,6000
201921	2,93884485	6,80439997	39	22,8000	6,0	2,0	0,3333	0,6667
201939	2,60520562	6,77787272	48	47,0500	7,0	2,0	0,3875	0,6125
202036	1,73419773	6,91477022	48	75,5000	5,0	3,0	0,5714	0,4286
203026	2,26681367	7,40460803	67	30,8000	4,0	2,0	0,5000	0,5000
203034	1,97998262	7,93180350	46	20,7000	14,5	11,0	0,7143	0,2857
203075	2,17211318	8,21356670	46	81,8000	11,0	5,0	0,6414	0,3586
203265	3,29554044	6,62950709	45	27,0000	5,0	2,0	0,4000	0,6000
203307	3,70052770	6,66133848	41	95,1000	5,0	2,0	0,3333	0,6667

St_Nr	HQ5_10_rat_m_b_med	HQ5_10_hqx_med	HQ10_20_anzahl	HQ10_20_MQ_med	HQ10_20_Dauer_med	HQ10_20_t_p_a_med	HQ10_20_t_p_r_med	HQ10_20_d_rez_r_med
203323	2,06820339	8,13628814	62	292,5000	6,0	2,5	0,5000	0,5000
203463	2,15123859	6,27924019	29	21,2000	9,0	3,0	0,4000	0,6000
203521	2,88153682	7,39162318	44	188,0000	5,0	2,0	0,4000	0,6000
203539	1,99088838	7,69881788	100	629,0000	4,0	2,0	0,5000	0,5000
203570	2,98556706	7,13679067	42	187,0000	5,0	2,0	0,3818	0,6182
203711	1,99289137	7,36594088	65	13,4000	5,0	2,0	0,5000	0,5000
204677	2,22206141	6,68392319	45	13,4000	15,0	4,0	0,4000	0,6000
204719	5,67421791	6,50522689	24	43,2000	6,5	2,0	0,3095	0,6905
204750	7,79483037	6,90520487	20	28,6000	6,0	2,0	0,3333	0,6667
204784	14,71771062	6,96484568	15	13,2000	7,0	2,0	0,2500	0,7500
204834	5,37410426	6,32262575	14	9,9900	5,0	2,0	0,3667	0,6333
204867	9,01084293	6,89108655	24	61,9500	6,0	2,0	0,3333	0,6667
204933	2,93895349	7,29555426	36	42,9500	9,5	2,0	0,2857	0,7143
205013	6,99159664	6,64957265	18	21,9500	10,5	2,0	0,1909	0,8091
205047	13,48250933	6,15286086	15	7,7500	4,0	2,0	0,3333	0,6667
205054	8,86219081	6,55815456	28	63,2000	10,0	2,0	0,2500	0,7500
205153	2,26058468	7,02347296	84	130,5000	6,0	3,0	0,5000	0,5000
205187	4,84685402	7,06159886	32	58,7000	10,0	2,0	0,2475	0,7525
205294	5,58579882	6,51141740	26	29,7500	5,0	2,0	0,3333	0,6667
205377	6,07109602	7,35443067	29	20,3000	6,0	2,0	0,3333	0,6667
205419	6,32820513	7,09588482	29	73,2000	6,0	2,0	0,3333	0,6667
205450	2,67078671	6,75794449	44	125,5000	7,5	2,0	0,3333	0,6667
205518	3,82314191	6,75256237	33	87,7000	6,0	2,0	0,2500	0,7500
205633	6,01421599	6,79497469	16	9,9700	8,5	3,0	0,4722	0,5278
205641	7,23484848	6,85631256	29	26,1000	6,0	2,0	0,3333	0,6667
205658	6,07427970	6,53871936	32	53,2000	6,5	2,0	0,3333	0,6667
205740	7,85003966	6,18441420	37	59,8000	6,0	2,0	0,2857	0,7143
205757	2,22597069	7,09037855	95	501,0000	5,0	2,0	0,4286	0,5714
205799	2,23762252	6,68390929	63	34,8000	5,0	2,0	0,5000	0,5000
205831	3,05918945	7,05671415	60	43,6000	5,0	2,0	0,4000	0,6000
205856	10,07145458	6,72971656	14	20,4000	8,0	1,5	0,2000	0,8000
205864	2,87538700	6,82401875	65	102,0000	5,0	2,0	0,4000	0,6000
205898	6,10795126	6,51843764	29	28,6000	6,0	2,0	0,2857	0,7143
205914	2,94470143	7,45201475	47	161,2000	5,0	2,0	0,3333	0,6667
205922	2,30606860	7,54305515	81	602,0000	7,0	3,0	0,4286	0,5714
205997	3,93402880	6,73500767	15	6,7600	11,0	3,0	0,2500	0,7500
206029	4,36756757	6,49785061	11	27,8000	13,0	2,0	0,2500	0,7500
206169	13,39627325	6,43777277	20	22,4000	5,0	2,0	0,3095	0,6905
206201	1,68858242	7,67454732	115	1433,0000	4,0	2,0	0,5000	0,5000
206268	15,91861036	6,59218358	19	8,7100	6,0	2,0	0,2500	0,7500
206409	1,99182865	7,20089665	103	364,0000	7,0	2,0	0,4000	0,6000
206581	8,66752082	7,26136837	12	15,2500	9,5	2,0	0,2000	0,8000
206599	10,38613110	6,30460972	25	20,2000	7,0	2,0	0,2500	0,7500
207324	2,00120129	6,42607404	21	453,0000	16,0	6,0	0,4737	0,5263
207357	1,55348060	7,62153537	99	3207,0000	5,0	2,0	0,5000	0,5000
207654	4,45381783	7,02578604	38	133,0000	8,0	2,0	0,2792	0,7208
207688	5,37150532	6,94674954	39	232,0000	7,0	2,0	0,2857	0,7143
207696	12,95824337	7,28198014	15	31,7000	12,0	3,0	0,5000	0,5000
207803	4,07024963	6,61679302	31	102,0000	8,0	2,0	0,2308	0,7692
207811	6,59781288	6,60512413	16	14,5500	11,5	2,0	0,2071	0,7929
207837	10,03120268	6,77296023	21	45,3000	7,0	2,0	0,3333	0,6667
207852	6,88282167	6,83091381	25	63,1000	7,0	2,0	0,2857	0,7143

St_Nr	HQ5_10_rat_m_b_med	HQ5_10_hqx_med	HQ10_20_anzahl	HQ10_20_MQ_med	HQ10_20_Dauer_med	HQ10_20_t_p_a_med	HQ10_20_t_p_r_med	HQ10_20_d_rez_r_med
207878	6,32416787	8,20520170	8	19,9500	6,0	2,0	0,2778	0,7222
207894	2,99274149	7,07306052	19	49,2000	5,0	2,0	0,3333	0,6667
207910	4,00625000	6,97645801	21	97,0000	6,0	2,0	0,2500	0,7500
207944	4,19967659	6,61145430	11	42,2000	11,0	2,0	0,1765	0,8235
207951	6,02134767	6,37713764	9	9,1100	6,0	2,0	0,2857	0,7143
207993	6,87517821	8,64132950	4	62,8500	12,0	4,0	0,3485	0,6515
208009	13,36244541	6,27623233	15	32,6000	9,0	2,0	0,1765	0,8235
208017	6,83930300	6,34588661	2	20,2500	8,0	1,0	0,1333	0,8667
208041	7,29248995	6,06784519	8	5,1700	15,5	5,0	0,2982	0,7018
208058	3,37578706	6,06201864	7	4,8400	7,0	2,0	0,2857	0,7143
208090	8,12074830	6,36751075	15	27,7000	11,0	3,0	0,2500	0,7500
208116	8,74945160	6,63121176	19	28,1000	10,0	2,0	0,2000	0,8000
208124	7,92833191	6,70469926	18	34,9500	7,0	2,0	0,2500	0,7500
208157	3,21361649	6,17646530	16	63,1000	5,5	2,0	0,3333	0,6667
208272	5,19142886	6,74322621	6	8,4700	7,0	2,0	0,3095	0,6905
208280	2,64578097	6,47044924	17	19,5000	8,0	2,0	0,2500	0,7500
208611	12,37711308	6,43686798	15	17,7000	12,0	3,0	0,3077	0,6923
208629	5,88139818	6,51043145	20	92,5500	14,0	2,5	0,2971	0,7029
209189	4,85341485	6,03235245	5	5,5000	4,0	2,0	0,5000	0,5000
209338	8,58457493	6,88025654	4	9,2600	17,0	5,5	0,2361	0,7639
209361	3,72871153	6,66347848	18	22,5500	6,0	2,0	0,3333	0,6667
209486	11,81924334	7,60287716	9	10,9870	12,0	2,0	0,1667	0,8333
210641	1,69384058	7,93126050	67	58,2000	4,0	2,0	0,5000	0,5000
341000	4,82071076	6,84970653	11	12,9000	11,0	3,0	0,2727	0,7273
343000	7,15422886	7,63175345	6	11,1000	12,0	2,0	0,1632	0,8368
344000	7,03151650	9,63652794	5	10,3000	15,0	3,0	0,2500	0,7500
345000	4,06629593	7,25785626	17	33,3000	9,0	3,0	0,3333	0,6667
348000	2,31492033	6,50451506	6	7,4250	8,5	3,5	0,4722	0,5278
353000	5,39682540	6,39299759	11	15,1000	12,0	2,0	0,2143	0,7857
354000	5,29720537	6,91557120	16	46,4000	11,5	3,0	0,3619	0,6381
355000	3,24972129	5,87539315	20	100,9000	10,0	3,0	0,3944	0,6056
356000	6,14258801	6,42512694	5	9,1100	10,0	2,0	0,2000	0,8000
357000	26,66123644	6,24882961	5	5,1200	19,0	4,0	0,2000	0,8000
359000	7,46606335	6,00101762	6	10,0500	7,5	2,5	0,1786	0,8214
360000	5,50874665	6,71316871	13	18,8000	9,0	2,0	0,2500	0,7500
362000	7,89922338	6,64856795	7	8,9400	22,0	9,0	0,3438	0,6563
363000	4,30960549	5,87280972	11	16,8000	15,0	5,0	0,3143	0,6857
364000	7,63165903	7,18647216	6	7,6850	19,0	3,5	0,2667	0,7333
366000	5,91346154	6,34857360	16	19,5000	16,0	5,0	0,2775	0,7225
367000	2,80698501	6,61206889	24	136,0000	9,0	4,0	0,4000	0,6000
370000	9,08333333	6,70408022	18	14,4000	11,5	3,0	0,2833	0,7167
379000	13,65500018	6,59066103	28	74,4000	12,5	3,0	0,2500	0,7500
380000	11,75073028	6,38406187	16	12,6000	9,0	2,0	0,2000	0,8000
382000	10,63553826	6,97037076	29	103,0000	11,0	3,0	0,2857	0,7143
383000	14,80270335	5,60584359	8	4,9405	11,5	2,0	0,3030	0,6970
386000	10,98771611	6,61876850	17	33,9000	14,0	3,0	0,3000	0,7000
387000	12,39929480	7,29279414	11	41,6000	8,0	2,0	0,3529	0,6471
387500	12,38632009	6,65335158	3	4,4400	31,0	3,0	0,1765	0,8235
388000	8,52906287	6,65428659	9	12,1000	5,0	1,0	0,2000	0,8000
389000	8,13053613	7,16617575	34	148,5000	11,5	3,0	0,2697	0,7303
389500	8,77049297	6,45460070	8	8,5950	12,5	4,5	0,3173	0,6827
390000	7,52375402	6,90292999	27	154,0000	11,0	2,0	0,2500	0,7500

St_Nr	HQ5_10_rat_m_b_med	HQ5_10_hqx_med	HQ10_20_anzahl	HQ10_20_MQ_med	HQ10_20_Dauer_med	HQ10_20_t_p_a_med	HQ10_20_t_p_r_med	HQ10_20_d_rez_r_med
393000	4,89431303	6,12181866	9	4,8420	14,0	3,0	0,2222	0,7778
394000	44,68802505	6,16738449	2	6,0750	10,5	4,0	0,3773	0,6227
396000	7,92960542	6,90947721	13	9,4100	15,0	4,0	0,3333	0,6667
397000	6,50180744	6,61731773	7	16,4000	9,0	4,0	0,4000	0,6000
400000	7,28864898	6,42978557	9	7,3400	13,0	4,0	0,3636	0,6364
401000	9,87363100	7,49802818	3	8,3400	10,0	3,0	0,3000	0,7000
402000	7,51348332	6,39349434	5	21,1000	11,0	2,0	0,2857	0,7143
403000	3,68603500	6,44770350	35	255,0000	11,0	4,0	0,4000	0,6000
405000	7,97687379	6,78641288	9	8,4400	7,0	2,0	0,2727	0,7273
407000	15,45074872	6,81142673	6	4,9200	14,5	3,0	0,2389	0,7611
410000	40,53813960	7,36493943	6	7,3850	6,0	2,0	0,4000	0,6000
412000	12,10044556	6,67780812	15	32,0000	11,0	2,0	0,2500	0,7500
413000	3,34450964	6,49272217	35	274,0000	15,0	5,0	0,4000	0,6000
414000	9,46730942	7,60565805	2	4,3950	8,0	2,5	0,2833	0,7167
414700	18,07507218	6,17955806	2	7,6850	5,0	1,0	0,2000	0,8000
415000	12,93327520	6,69339799	5	7,0300	8,0	4,0	0,3750	0,6250
418000	9,38733126	6,56552709	13	30,7500	7,0	2,0	0,3333	0,6667
421500	3,12138728	6,68583393	29	299,0000	15,0	5,0	0,4000	0,6000
422000	8,62139918	6,17151830	8	14,5000	12,0	2,0	0,1938	0,8063
423000	7,76923077	6,90243078	3	4,7300	12,0	2,0	0,1667	0,8333
429000	5,71048312	6,59904323	14	27,8500	15,5	3,0	0,2500	0,7500
430000	5,80774969	6,66029689	15	98,5000	15,0	2,0	0,2500	0,7500
431000	11,51056113	7,10299618	13	10,0000	9,0	2,0	0,3000	0,7000
432000	7,73622047	6,31069944	16	19,0000	13,5	2,0	0,3431	0,6569
435000	4,24016563	6,66916857	14	80,8500	14,0	3,5	0,2679	0,7321
436500	1,25608989	6,79158157	25	2,9300	168,0	19,0	0,6250	0,3750
437000	3,23528495	6,96985001	9	88,2000	20,0	4,0	0,2222	0,7778
438000	10,19571295	6,35457341	1	6,6000	22,0	2,0	0,0909	0,9091
439000	8,57692308	5,98822946	10	10,1000	14,5	3,0	0,2753	0,7247
440000	6,47505828	6,82550746	9	12,2000	13,0	2,0	0,1818	0,8182
441000	5,40725624	6,70664402	15	12,9000	8,0	2,0	0,3333	0,6667
441400	7,05766063	6,03516558	3	3,2000	15,0	2,0	0,1333	0,8667
441500	6,33642195	6,39966757	5	6,5000	14,0	3,0	0,3529	0,6471
442000	4,79125249	6,55304893	18	30,6500	14,5	2,0	0,3030	0,6970
444000	15,17241379	5,95637194	3	2,2500	29,0	2,0	0,2069	0,7931
445000	3,19612518	6,30962398	13	25,8000	6,0	3,0	0,5000	0,5000
445100	6,93726862	6,59326951	3	5,2400	5,0	1,0	0,2813	0,7188
446000	6,40569729	6,59477523	14	15,7500	14,0	3,0	0,2200	0,7800
447000	4,80501393	5,99051078	24	18,5000	12,0	3,0	0,2321	0,7679
448000	3,13778123	7,03732938	13	51,5000	10,0	3,0	0,3333	0,6667
452000	6,29330056	6,07656582	4	5,9050	8,0	2,5	0,3333	0,6667
453000	5,56858148	5,98577502	3	8,1800	6,0	2,0	0,2500	0,7500
454000	3,30994379	6,54149628	2	13,8850	7,0	1,5	0,2292	0,7708
455000	16,08886451	6,77585367	3	5,5700	16,0	6,0	0,2917	0,7083
455100	6,43887513	5,94958242	3	5,9500	10,0	1,0	0,2000	0,8000
456000	8,73593647	7,30767819	8	13,5000	15,5	2,5	0,2083	0,7917
457000	3,09063893	5,77985379	19	35,1000	10,0	3,0	0,3571	0,6429
458000	6,45083311	5,91744145	6	4,5650	21,0	2,5	0,2081	0,7919
459000	6,25481139	7,04649709	3	5,1200	7,0	3,0	0,4444	0,5556
461000	7,11106308	7,18692504	10	9,5350	9,5	2,0	0,2679	0,7321
462000	2,32051282	6,71192480	13	93,0000	8,0	3,0	0,4000	0,6000
463000	6,46423272	6,34069845	6	4,9650	12,0	2,5	0,2222	0,7778

St_Nr	HQ5_10_rat_m_b_med	HQ5_10_hqx_med	HQ10_20_anzahl	HQ10_20_MQ_med	HQ10_20_Dauer_med	HQ10_20_t_p_a_med	HQ10_20_t_p_r_med	HQ10_20_d_rez_r_med
465000	4,00532403	6,54301174	13	14,3000	16,0	3,0	0,2143	0,7857
469000	4,19421488	6,57297231	14	38,8000	11,5	2,0	0,1833	0,8167
470000	8,19002051	8,20172385	7	16,5000	9,0	2,0	0,3191	0,6809
471000	4,52021834	7,61047346	13	13,6000	22,0	11,0	0,4468	0,5532
472000	9,17475728	6,29328164	10	13,8000	8,0	2,0	0,1678	0,8322
473000	4,93033566	6,69822398	17	25,0000	10,0	2,0	0,2222	0,7778
474000	4,90099355	7,03016904	21	33,8000	11,0	3,0	0,2500	0,7500
476000	5,56948161	7,79161680	7	10,0000	10,0	3,0	0,2727	0,7273
477000	4,61730412	7,24810014	8	17,8000	10,0	2,0	0,2540	0,7460
483100	17,43570432	5,91108233	3	3,7200	3,0	1,0	0,4444	0,5556
484000	62,12102581	7,36035277	4	3,8450	13,0	1,5	0,1181	0,8819
486000	10,05547679	7,91040396	5	5,0900	10,0	2,0	0,2000	0,8000
6142150	2,30952159	6,26248870	24	430,3145	11,0	5,0	0,4661	0,5339
6142200	1,44173859	8,13361263	111	3132,0000	5,0	2,0	0,5000	0,5000
6242030	6,07544687	7,27454446	22	25,5000	18,5	6,0	0,3125	0,6875
6242070	4,73743609	6,97109425	15	22,6000	6,0	2,0	0,2857	0,7143
6242120	5,82534409	6,95118151	12	25,1900	11,5	2,0	0,2202	0,7798
6242130	4,60937500	5,84273098	10	7,6200	4,0	2,0	0,4500	0,5500
6242240	3,30318833	7,07175855	20	54,6500	6,5	2,0	0,2679	0,7321
6242280	2,09230769	6,67492119	54	9,0450	7,0	2,0	0,4365	0,5635
6242281	2,79898219	6,83169848	24	25,5500	7,0	2,0	0,2679	0,7321
6242290	1,56989715	6,78883924	47	24,3000	5,0	2,0	0,5000	0,5000
6242300	1,55492841	7,71646437	95	3131,0000	5,0	2,0	0,5000	0,5000
6242310	19,24292845	6,45506831	2	3,4945	11,5	1,5	0,1385	0,8615
6242600	2,78142657	7,15632831	89	222,0000	7,0	2,0	0,4000	0,6000
6242610	4,43972558	7,40985512	29	20,6000	13,0	5,0	0,4237	0,5763
6242613	1,75387597	8,01981089	57	22,0000	6,0	3,0	0,4286	0,5714
6242615	2,57998260	6,72088246	44	29,9000	12,0	3,0	0,3333	0,6667
6242620	2,13883677	7,63058172	100	295,5000	6,5	2,0	0,4000	0,6000
6242621	5,08042895	6,17416528	11	5,4900	5,0	2,0	0,4000	0,6000
6242700	1,48483135	7,66313162	94	3210,5000	5,0	2,0	0,5000	0,5000
6242933	2,07142857	7,13025620	22	12,2500	5,0	2,0	0,3333	0,6667
6243220	2,43596183	6,97793473	33	29,8000	7,0	5,0	0,6429	0,3571
6243230	2,99272957	6,93571084	27	13,1000	7,0	2,0	0,3333	0,6667
6243235	3,11645982	6,62178607	39	22,1000	6,0	3,0	0,4000	0,6000
6243240	2,64592161	7,49380205	83	65,0000	5,0	3,0	0,5000	0,5000
6243245	2,35161565	7,74903970	75	450,0000	6,0	3,0	0,5000	0,5000
6243270	1,56848659	7,42542266	88	11,3000	4,0	2,0	0,5227	0,4773
6243350	1,43892834	6,55753764	16	6,7350	4,5	2,0	0,5000	0,5000
6243355	1,47658060	7,07420317	52	8,7400	4,0	2,0	0,5000	0,5000
6243360	1,79615110	6,92476895	35	16,4000	4,0	2,0	0,5000	0,5000
6243410	2,44541688	7,87593694	52	13,8000	6,0	4,0	0,6667	0,3333
6243450	1,95114947	7,61923045	26	14,9500	5,5	3,0	0,5000	0,5000
6243810	14,17979604	6,91446121	15	18,1000	6,0	2,0	0,2857	0,7143
6243830	16,70943396	6,69840502	5	5,5900	5,0	1,0	0,3333	0,6667
6246632	1,64771387	7,21407050	49	11,7000	4,0	2,0	0,5000	0,5000
6342050	4,90007686	6,70723638	23	11,9000	12,0	3,0	0,3333	0,6667
6342081	5,49624672	6,47524545	20	11,5000	7,0	2,0	0,3542	0,6458
6342100	2,53198904	6,31448765	35	18,3000	5,0	2,0	0,4000	0,6000
6342130	5,86552116	7,16446385	13	114,2000	9,0	3,0	0,4286	0,5714
6342540	9,32657495	6,01121951	12	8,1175	5,0	2,0	0,2500	0,7500
6342675	7,91443850	6,42918092	24	32,8500	5,5	2,0	0,3875	0,6125

St_Nr	HQ5_10_rat_m_b_med	HQ5_10_hqx_med	HQ10_20_anzahl	HQ10_20_MQ_med	HQ10_20_Dauer_med	HQ10_20_t_p_a_med	HQ10_20_t_p_r_med	HQ10_20_d_rez_r_med
6342800	1,47360126	7,75663779	142	1060,0000	5,5	3,0	0,5000	0,5000
6342900	1,46777294	8,63012273	122	1940,0000	6,0	2,5	0,5000	0,5000
10026301	1,85321101	7,62047360	111	274,0000	5,0	2,0	0,5000	0,5000
10035801	2,07318840	7,10978040	79	353,0000	7,0	3,0	0,5000	0,5000
10039802	1,73529412	7,34164468	95	421,0000	5,0	2,0	0,4286	0,5714
10046105	1,60216718	7,60237095	125	596,0000	5,0	2,0	0,5000	0,5000
10053009	1,57048097	7,51772495	117	618,0000	5,0	2,0	0,5000	0,5000
10056302	1,56822811	7,49694048	130	650,0000	5,0	2,0	0,5000	0,5000
11401009	3,37478830	7,08938046	55	92,1000	7,0	2,0	0,3889	0,6111
11402001	3,66110080	7,08938980	70	196,0000	6,0	2,0	0,4000	0,6000
11405000	3,47765363	7,09727198	73	210,0000	6,0	3,0	0,3846	0,6154
11411104	2,44756858	6,77488935	30	10,1000	4,5	2,0	0,4000	0,6000
11415008	2,05696554	6,86318016	31	17,9000	5,0	2,0	0,5000	0,5000
11425200	3,21143669	6,78138057	44	39,6500	5,0	2,0	0,4000	0,6000
11427603	14,02077151	6,83744367	26	9,2750	19,5	11,0	0,7284	0,2716
11432002	6,67601683	6,86966857	34	18,3000	12,5	4,5	0,4722	0,5278
11434008	8,18746368	6,71868290	35	9,5900	13,0	2,0	0,4000	0,6000
11445004	7,59699854	6,60770495	12	8,0100	11,0	3,5	0,3095	0,6905
11455201	10,24496124	5,96602074	8	5,7850	7,5	1,5	0,2083	0,7917
11465001	10,34396184	6,06794972	29	11,3000	8,0	2,0	0,2593	0,7407
11495002	1,50863724	6,54576114	15	4,3400	4,0	2,0	0,5000	0,5000
11548007	4,17983193	6,09290409	22	9,7500	5,0	2,0	0,4000	0,6000
11582300	3,36923741	6,29886108	45	26,2000	5,0	2,0	0,3333	0,6667
11583303	2,79704377	6,73932412	40	35,0500	5,0	2,0	0,3485	0,6515
11584000	2,69541779	6,60196564	35	38,0000	5,0	2,0	0,3333	0,6667
11605009	1,44803529	6,59743179	3	3,7500	9,0	5,0	0,5500	0,4500
11605202	4,93144233	6,06916402	20	18,1000	5,0	2,0	0,3542	0,6458
11609000	2,04316547	7,02484266	33	42,5000	4,0	2,0	0,4375	0,5625
11649004	1,91852909	6,79825368	25	7,2400	5,0	2,0	0,4000	0,6000
11723504	1,33289024	6,61350796	49	12,1000	4,0	2,0	0,5000	0,5000
11744005	2,00490798	6,10376008	12	10,4000	10,0	3,0	0,2902	0,7098
11802509	12,01022147	7,17244312	13	16,9000	7,0	2,0	0,2857	0,7143
11805008	8,23541843	6,69452508	24	68,6500	8,0	2,0	0,3452	0,6548
11808006	5,99717110	6,66968403	17	87,1000	10,0	4,0	0,4286	0,5714
11864007	6,11181579	6,43077067	23	33,5000	10,0	2,0	0,2500	0,7500
11921701	4,47187080	6,55569131	15	12,0000	5,0	2,0	0,4000	0,6000
11924007	2,70062497	6,40114089	29	21,6000	5,0	2,0	0,5000	0,5000
11942009	6,16656699	6,90830815	14	12,4000	5,0	2,0	0,3333	0,6667
11944004	3,52673493	5,98052275	21	18,3000	6,0	3,0	0,5000	0,5000
11946000	3,09708861	6,28451620	24	21,3500	6,0	2,5	0,4330	0,5670
12002009	2,09200438	7,18721011	28	232,0000	6,5	3,0	0,5357	0,4643
12003001	1,67639632	6,92218900	37	269,0000	5,0	3,0	0,5000	0,5000
12003500	1,90759348	6,67816944	43	281,0000	5,0	2,0	0,5000	0,5000
12006000	1,79921188	6,90947080	43	358,0000	5,0	2,0	0,5000	0,5000
12313009	4,06559242	7,00467053	35	6,4700	9,0	3,0	0,3333	0,6667
12335001	7,20930233	6,07774239	20	7,5350	6,0	2,0	0,2857	0,7143
12401004	8,59805315	6,40828912	44	12,5500	8,0	2,0	0,3333	0,6667
12402007	6,81675852	6,61619834	50	18,3500	7,0	2,0	0,3333	0,6667
12404002	5,42690394	7,86577097	65	12,3000	11,0	3,0	0,4000	0,6000
12404705	4,64676807	6,32910866	62	45,7000	9,0	2,0	0,2668	0,7332
12405005	4,12386107	6,65749729	65	59,2000	8,0	2,0	0,2857	0,7143
12406008	3,88351494	6,25988517	65	80,2000	8,0	2,0	0,2857	0,7143

St_Nr	HQ5_10_rat_m_b_med	HQ5_10_hqx_med	HQ10_20_anzahl	HQ10_20_MQ_med	HQ10_20_Dauer_med	HQ10_20_t_p_a_med	HQ10_20_t_p_r_med	HQ10_20_d_rez_r_med
12412000	10,15276760	6,53895369	30	8,9800	8,5	2,0	0,3333	0,6667
12418007	11,49042465	6,70667398	27	7,8500	6,0	1,0	0,2727	0,7273
12425002	9,44667976	7,35969583	44	17,8500	10,5	2,0	0,2540	0,7460
12445000	8,00396456	6,97833654	25	17,9000	28,0	22,0	0,7857	0,2143
12465007	2,88506852	6,48777351	27	6,1800	6,0	2,0	0,4000	0,6000
12483009	1,43997072	6,38964799	49	3,7200	5,0	2,0	0,5000	0,5000
13124001	2,03658537	7,73170128	4	3,8100	4,0	1,5	0,4167	0,5833
13202003	2,77819549	6,12926782	19	11,7000	5,0	2,0	0,4000	0,6000
13206004	1,83094294	7,24163468	55	17,0000	6,0	3,0	0,5000	0,5000
13208000	1,78098676	6,70062756	27	20,4000	7,0	4,0	0,5714	0,4286
13217000	3,99469784	6,95741850	8	5,3950	3,5	2,0	0,5000	0,5000
13242008	4,88245931	9,34856249	2	2,9850	4,0	1,0	0,2500	0,7500
13242507	2,28163051	6,27542385	10	6,5600	6,0	3,0	0,4722	0,5278
13321002	8,99171787	7,65995363	9	12,0000	7,0	2,0	0,5000	0,5000
13322005	3,08485329	6,32071052	14	17,9500	5,0	3,0	0,5000	0,5000
13400903	26,62450593	6,84587488	9	5,3400	7,0	2,0	0,2500	0,7500
13402807	13,33333333	7,43068685	21	41,4000	9,0	2,0	0,3333	0,6667
13405408	4,80076180	6,40412009	9	42,5000	10,0	4,0	0,4000	0,6000
13406105	4,02344666	6,30487516	8	50,7000	14,5	6,0	0,4423	0,5577
13407200	2,81774580	6,57060217	7	59,8000	19,0	7,0	0,5000	0,5000
13424901	8,35552818	6,98967031	14	11,6500	8,0	2,5	0,3485	0,6515
13450300	3,13590776	5,68149918	2	5,0300	9,5	3,5	0,4038	0,5962
13465002	6,12565445	6,84525792	12	27,0000	11,5	3,0	0,3095	0,6905
13922002	3,33391304	6,84320763	11	10,6000	12,0	2,0	0,2500	0,7500
13926207	1,77500000	6,70096355	15	11,8000	7,0	3,0	0,5000	0,5000
14002305	3,03068059	6,63596671	24	126,5000	9,5	3,0	0,3923	0,6077
14006000	2,03358209	6,86673151	19	201,0000	14,0	4,0	0,3333	0,6667
14008006	1,81364223	6,73424300	28	205,5000	7,5	4,0	0,4722	0,5278
14101205	4,01370241	6,54391497	21	48,8000	8,0	2,0	0,2857	0,7143
14107008	3,84804043	6,90189197	8	4,9800	7,5	2,0	0,4222	0,5778
14114003	3,99075501	6,71131825	20	18,1000	8,0	3,0	0,3750	0,6250
14201006	6,17195496	7,42772303	9	21,8000	22,0	7,0	0,3462	0,6538
14209008	3,27790974	6,84844797	18	42,5500	10,5	3,0	0,4375	0,5625
14244803	4,58857168	6,46581406	15	15,9000	9,0	3,0	0,2500	0,7500
14362005	2,41185113	6,06720789	20	28,7500	6,0	2,0	0,4000	0,6000
14364000	2,75934492	6,38246906	18	30,5500	8,5	3,5	0,4000	0,6000
14402008	8,10822786	6,59308590	8	8,9750	5,5	2,0	0,3786	0,6214
14402507	2,83563651	7,47329908	6	4,5300	15,0	4,5	0,2817	0,7183
14405200	3,16589004	6,66291751	15	25,0000	10,0	3,0	0,4000	0,6000
14406508	1,56612529	6,60682810	22	12,1500	10,5	6,0	0,5000	0,5000
14408004	1,72044175	6,84214166	28	30,8000	7,0	3,0	0,4286	0,5714
14425003	7,68703704	6,48548949	10	6,6500	5,0	2,0	0,4000	0,6000
14426006	3,21124361	7,69484993	5	4,1200	20,0	9,0	0,3750	0,6250
14465008	6,06465538	7,10570821	13	7,0000	7,0	2,0	0,3333	0,6667
14486008	3,36583101	7,21543672	9	10,2000	7,0	2,0	0,3333	0,6667
14602007	3,48570227	6,90179950	18	13,9000	9,0	2,5	0,3333	0,6667
14604002	3,09097046	5,97394058	24	21,8500	7,0	2,5	0,3750	0,6250
14606008	2,34263543	6,63515733	18	29,1500	6,0	2,5	0,4000	0,6000
14608003	1,71915561	6,70981217	21	32,4000	5,0	2,0	0,4286	0,5714
14644801	2,77597403	6,44966064	7	4,8800	4,0	1,0	0,3333	0,6667
14685004	1,53423432	6,23486708	17	8,8900	7,0	2,0	0,3750	0,6250
15202300	3,26205156	6,23665197	35	137,0000	6,0	2,0	0,3077	0,6923

St_Nr	HQ5_10_rat_m_b_med	HQ5_10_hqx_med	HQ10_20_anzahl	HQ10_20_MQ_med	HQ10_20_Dauer_med	HQ10_20_t_p_a_med	HQ10_20_t_p_r_med	HQ10_20_d_rez_r_med
15205501	2,73477812	6,74602538	31	175,0000	6,0	2,0	0,4000	0,6000
15207507	2,57131378	6,71423010	42	187,5000	7,0	3,0	0,4143	0,5857
15210206	2,84674147	6,46632870	29	36,3000	6,0	2,0	0,4286	0,5714
15212008	3,17119913	7,13373569	26	72,7000	21,5	9,5	0,5901	0,4099
15212700	3,20032818	6,52419290	38	96,9500	5,0	2,0	0,4000	0,6000
15213500	8,40386681	6,83262087	14	8,5350	8,0	2,0	0,2500	0,7500
15214003	3,64532020	6,46976319	27	30,1000	7,0	2,0	0,3333	0,6667
15214604	7,88672292	5,75780635	6	4,8000	30,5	13,0	0,5313	0,4688
15216009	3,01882961	6,59435759	18	10,4000	10,0	3,0	0,5000	0,5000
15217908	5,61861736	6,96660311	20	16,6500	11,5	2,0	0,2991	0,7009
15221009	4,90899604	7,24666287	14	8,5650	9,0	2,0	0,2111	0,7889
15228008	3,46461613	8,39331885	16	22,7500	14,5	7,5	0,6867	0,3133
15241006	8,40505979	6,38973726	5	7,6400	14,0	3,0	0,3000	0,7000
15243001	5,75576870	7,40907844	10	28,7050	7,5	2,0	0,2986	0,7014
15246000	6,99083862	6,35657974	15	38,2000	13,0	3,0	0,4444	0,5556
15247002	8,47496862	7,21944601	24	8,8950	8,5	2,0	0,2361	0,7639
15247501	8,08844230	6,84901586	4	4,8850	11,5	1,5	0,1339	0,8661
15314008	7,77448071	6,41481895	2	5,6150	14,5	1,0	0,0763	0,9237
15315000	4,63157895	6,40566318	11	7,7500	10,0	3,0	0,2581	0,7419
15325004	5,75165399	7,50984284	2	5,1850	5,5	2,5	0,4500	0,5500
15408000	3,05938812	5,91674704	7	18,2000	5,0	3,0	0,5714	0,4286
15422500	3,98976982	6,62543348	6	10,6000	5,0	2,0	0,5625	0,4375
15916000	7,62485649	6,48488765	11	8,5400	5,0	2,0	0,3333	0,6667
15993001	6,34299013	6,41280654	9	7,0700	17,0	4,0	0,4286	0,5714
16001303	4,46452037	7,51559837	19	55,2000	5,0	2,0	0,4000	0,6000
16002500	3,46501699	6,73732348	21	111,0000	7,0	3,0	0,5000	0,5000
16003003	2,70689655	6,47255513	21	124,0000	8,0	3,0	0,4000	0,6000
16004006	2,60702849	6,32212294	29	126,0000	6,0	2,0	0,4000	0,6000
16004403	1,84271142	7,24726394	62	142,5000	5,5	2,0	0,4000	0,6000
16005701	2,11608647	6,86706196	59	234,0000	6,0	2,0	0,4286	0,5714
16006500	4,62279294	6,14889187	25	231,0000	7,0	2,0	0,3000	0,7000
16007004	1,46341463	7,81962906	99	259,0000	5,0	3,0	0,5000	0,5000
16008007	1,47262253	7,88878901	145	269,0000	5,0	2,0	0,5000	0,5000
16008506	1,44981413	7,68878117	126	282,0000	5,0	2,0	0,5000	0,5000
16124950	2,16919740	7,91678335	10	13,3000	4,0	2,0	0,5000	0,5000
16145008	2,08188640	6,52753773	59	33,1000	4,0	2,0	0,5000	0,5000
16163000	11,48300550	6,24060483	17	31,9000	4,0	1,0	0,3333	0,6667
16312008	32,26957384	7,55875492	6	4,5850	29,0	21,0	0,7193	0,2807
16326002	9,00523560	6,46398006	32	20,9000	6,0	2,0	0,3333	0,6667
16345007	7,07024030	6,15111325	24	9,3600	9,5	3,5	0,4143	0,5857
16395005	12,45118599	5,76589641	4	5,1900	4,5	1,5	0,3250	0,6750
16401006	2,39068890	7,39884113	50	26,8000	5,0	2,0	0,3631	0,6369
16402009	2,17408124	6,78410553	53	41,8000	5,0	2,0	0,4000	0,6000
16404900	1,95777351	7,24997737	67	69,1000	5,0	2,0	0,5000	0,5000
16407002	1,53753754	8,56391551	26	66,8500	10,0	4,0	0,5714	0,4286
16408504	2,08147677	6,87120868	62	94,9500	7,0	4,0	0,5774	0,4226
16425004	1,78065561	6,68261242	53	14,5000	4,0	2,0	0,5000	0,5000
16527503	5,32429995	6,38324048	2	2,9450	11,5	2,5	0,2366	0,7634
16602303	1,35654847	8,13153853	68	29,2500	8,0	4,0	0,5000	0,5000
16603000	1,24217879	9,02965991	66	27,0000	5,0	2,0	0,5000	0,5000
16605006	1,29351645	8,51488428	68	26,5000	6,0	3,0	0,5000	0,5000
16607001	1,35223729	7,91798775	55	77,4000	5,0	2,0	0,5000	0,5000

St_Nr	HQ5_10_rat_m_b_med	HQ5_10_hqx_med	HQ10_20_anzahl	HQ10_20_MQ_med	HQ10_20_Dauer_med	HQ10_20_t_p_a_med	HQ10_20_t_p_r_med	HQ10_20_d_rez_r_med
16610709	3,98191861	6,95984037	9	28,7000	6,0	1,0	0,3333	0,6667
16612001	4,12048193	6,63153139	34	53,7000	6,0	2,0	0,3333	0,6667
16613004	3,47715975	6,74059059	43	70,9000	6,0	2,0	0,3333	0,6667
16615203	6,17176128	6,55429533	24	11,9000	5,0	2,0	0,3333	0,6667
16616002	14,13043478	6,75528600	14	13,9500	9,0	2,0	0,2679	0,7321
16618008	2,94246231	6,55632822	24	10,6000	8,5	2,0	0,3246	0,6754
16625003	10,45248869	6,50725533	14	11,1000	7,5	2,0	0,3333	0,6667
16642002	42,41062280	6,65699193	13	6,8900	8,0	2,0	0,3333	0,6667
16644050	12,96751942	6,22603807	14	7,3800	12,0	3,0	0,3100	0,6900
16658002	3,78943196	6,31622853	15	12,0000	6,0	2,0	0,3333	0,6667
16665008	1,12416461	7,35430619	68	5,5800	5,0	2,0	0,5000	0,5000
16667604	2,72428162	6,84868724	8	4,5150	11,0	3,5	0,2490	0,7510
16668800	6,22641509	6,41335998	2	4,8600	5,5	2,0	0,3667	0,6333
16669009	7,32763272	6,84308707	2	3,3450	20,0	9,0	0,4063	0,5938
16686008	3,90396660	6,54209808	20	25,3500	5,5	2,0	0,3333	0,6667
16802007	1,73242364	6,42046057	33	10,3000	4,0	2,0	0,5000	0,5000
16806008	5,24627721	6,87784710	17	14,9000	6,0	2,0	0,3750	0,6250
16825002	5,51232469	6,60445064	14	14,2500	5,5	2,0	0,3333	0,6667
16827008	7,16783217	6,71478588	7	5,1500	7,0	3,0	0,4286	0,5714
16965001	8,33095470	6,75849156	5	5,2700	4,0	2,0	0,2857	0,7143
17125006	5,79110651	6,37484352	19	16,6000	7,0	2,0	0,3000	0,7000
17201501	10,27029348	7,01210407	15	63,9000	5,0	2,0	0,5000	0,5000
17204204	5,16420664	6,71957186	13	50,7000	6,0	3,0	0,5000	0,5000
17207508	4,28323888	6,89273524	16	94,6500	7,0	2,0	0,3167	0,6833
17215007	8,05852644	6,32742851	23	32,8000	6,0	2,0	0,4000	0,6000
17225000	10,52374613	6,55669293	12	15,4000	6,0	2,0	0,3333	0,6667
17242000	17,16439626	6,56421499	9	12,7000	9,0	5,0	0,3846	0,6154
17325005	11,09366824	5,98855347	10	15,4000	4,0	2,0	0,3333	0,6667
17345002	5,26666667	7,78113777	22	28,9000	8,0	2,5	0,2857	0,7143
17404000	4,39104534	7,53985594	18	45,7000	19,5	4,0	0,5357	0,4643
17406005	3,97163121	6,96085892	39	93,0000	7,0	2,0	0,3333	0,6667
17413000	4,80035686	7,48747361	5	5,0500	47,0	31,0	0,6667	0,3333
17415006	5,03881440	6,81819965	16	12,5000	10,5	4,0	0,3961	0,6039
17425000	5,10211333	6,67862259	14	16,3500	9,5	2,5	0,4000	0,6000
17445007	3,14743432	6,866638847	19	10,6000	6,0	2,0	0,4000	0,6000
17464001	3,85752483	7,10313770	33	47,2000	5,0	2,0	0,3333	0,6667
17466007	3,83217753	6,43440220	14	11,2500	7,0	2,0	0,2361	0,7639
17467000	3,96376999	6,98846945	11	15,4000	6,0	3,0	0,4000	0,6000
17468002	5,11947075	7,24998627	25	17,8000	7,0	2,0	0,3333	0,6667
18000403	1,56029397	7,15432072	84	493,0000	5,0	2,0	0,5000	0,5000
18001508	1,64934165	6,71699823	88	559,5000	4,0	2,0	0,5000	0,5000
18003004	1,57049429	7,98850306	107	675,0000	4,0	2,0	0,5000	0,5000
18004007	3,05660377	6,52046594	37	706,0000	6,0	3,0	0,5000	0,5000
18004506	3,36505778	6,74137316	33	666,0000	8,0	4,0	0,5000	0,5000
18005000	1,61646962	7,10662206	35	730,0000	6,0	3,0	0,5556	0,4444
18008008	1,64912917	8,41151065	107	1450,0000	4,0	2,0	0,5000	0,5000
18182005	4,44281846	6,60330942	21	22,8000	7,0	2,0	0,3333	0,6667
18193001	12,14604566	6,46940744	24	15,6000	6,0	1,5	0,2500	0,7500
18194503	12,19680621	8,02180118	6	3,8200	4,0	1,5	0,2917	0,7083
18196000	6,58563098	6,40350401	7	10,1000	5,0	2,0	0,3333	0,6667
18199008	1,41673783	6,61655621	7	5,8700	6,0	2,0	0,3333	0,6667
18202000	2,51050217	6,61808257	57	29,3000	10,0	3,0	0,4000	0,6000

St_Nr	HQ5_10_rat_m_b_med	HQ5_10_hqx_med	HQ10_20_anzahl	HQ10_20_MQ_med	HQ10_20_Dauer_med	HQ10_20_t_p_a_med	HQ10_20_t_p_r_med	HQ10_20_d_rez_r_med
18203003	3,97691083	6,63771258	23	32,9000	11,0	3,0	0,3000	0,7000
18204006	4,52539599	6,81291790	20	64,8500	9,0	2,0	0,2750	0,7250
18209000	3,81188119	6,52120376	40	90,6000	9,0	2,0	0,2500	0,7500
18212004	5,32678550	6,57984530	24	30,6000	5,5	2,0	0,3333	0,6667
18214000	3,45080629	7,01104253	4	4,7400	4,5	1,5	0,2917	0,7083
18216005	9,34919577	6,58017619	24	10,0950	17,0	5,0	0,3875	0,6125
18226009	4,34452672	6,50405172	30	7,0200	11,0	2,0	0,2649	0,7351
18242005	2,54815340	6,43739701	28	19,4000	5,0	2,0	0,3333	0,6667
18246006	9,76602238	6,11393339	15	27,8000	5,0	2,0	0,4000	0,6000
18262002	3,90552995	6,54658229	19	9,1700	5,0	2,0	0,4000	0,6000
18263005	4,03742820	6,47378616	25	17,4000	5,0	2,0	0,4000	0,6000
18284504	11,53842575	5,89568582	21	6,1300	10,0	2,0	0,2143	0,7857
18286000	7,91848286	5,91913414	3	4,3400	5,0	2,0	0,4000	0,6000
18322002	4,51476859	6,45624703	22	14,8000	6,5	3,0	0,4000	0,6000
18343002	4,36603220	6,96769515	9	6,9300	6,0	2,0	0,4000	0,6000
18346000	4,90209109	6,22017696	14	27,0000	5,0	2,0	0,3333	0,6667
18381500	13,15264552	6,31723062	9	12,8000	19,0	10,0	0,7143	0,2857
18384509	4,87958942	6,51123172	25	52,0000	7,0	2,0	0,3333	0,6667
18387008	19,54485137	6,85992647	8	6,1000	4,0	2,0	0,3333	0,6667
18403002	1,22850123	8,38080014	42	66,6500	8,0	5,0	0,5635	0,4365
18405008	1,27268599	8,16097713	57	72,4000	8,0	4,0	0,5333	0,4667
18408200	9,14121077	6,71197768	18	104,5000	21,5	2,5	0,1882	0,8118
18454003	2,78207110	7,35080845	49	144,0000	6,0	2,0	0,4286	0,5714
18460403	2,75985663	6,18242035	17	5,7700	5,0	2,0	0,3333	0,6667
18463004	22,37991266	7,17320304	22	28,6500	6,0	2,0	0,3229	0,6771
18465600	5,55147750	6,82850506	11	7,2000	5,0	2,0	0,2500	0,7500
18481006	3,66548043	6,57335665	39	66,1000	6,0	2,0	0,2857	0,7143
18483500	3,44139012	6,68499998	45	68,9000	6,0	2,0	0,3333	0,6667
18486000	3,52559481	6,28973826	44	45,6500	5,0	2,0	0,3333	0,6667
18487501	4,77673476	6,46937380	25	21,1000	6,0	2,0	0,3333	0,6667
18602009	1,96415771	7,35047980	93	659,0000	4,0	2,0	0,5000	0,5000
18606000	1,97420085	7,38207780	99	721,0000	4,0	2,0	0,5000	0,5000
18620500	2,25964483	7,47088613	96	54,0000	5,0	3,0	0,5000	0,5000
18622006	2,38555344	8,36880138	37	16,5000	11,0	4,0	0,4444	0,5556
18624001	3,69706036	6,80149583	15	8,0400	5,0	2,0	0,3333	0,6667
18625004	3,65351630	7,07992948	67	30,7000	11,0	7,0	0,7143	0,2857
18642003	2,62576687	7,26397585	52	144,5000	5,0	2,0	0,4000	0,6000
18662000	7,37097718	6,60278901	19	13,1000	7,0	1,0	0,2500	0,7500
18666001	5,02471170	6,86644803	31	17,4000	9,0	3,0	0,3333	0,6667
18668007	9,12818300	6,76746245	11	6,3400	9,0	2,0	0,3000	0,7000
18669000	11,58441558	6,49324984	9	5,5400	8,0	3,0	0,3333	0,6667
18683000	1,71611526	6,35056417	14	7,8250	10,0	3,0	0,3590	0,6410
18801005	8,74810549	6,74229671	17	12,9000	6,0	2,0	0,3333	0,6667
18803805	7,99293021	6,58248233	22	57,6500	6,0	2,0	0,3542	0,6458
18804706	6,77393760	6,66627986	13	51,2000	7,0	2,0	0,3333	0,6667
18806406	6,54686397	6,23426362	17	75,9000	7,0	2,0	0,3333	0,6667
18808004	6,09945873	6,35975010	18	86,6000	7,5	2,0	0,2500	0,7500
18825003	14,08179570	7,74878931	15	16,2000	8,0	2,0	0,3333	0,6667
18855004	17,37099257	6,55109159	5	5,3400	9,0	5,0	0,5556	0,4444

St_Nr	HQ10_20_t_cov_r_med	HQ10_20_rat_m_m_med	HQ10_20_rat_m_b_med	HQ10_20_hqx_med	HQ20_50_anzahl	HQ20_50_MQ_med	HQ20_50_Dauer_med	HQ20_50_t_p_a_med
105	0,5000	1,95532676	6,01857918	12,49701726	18	115,5530	13,0	4,0
120	0,5420	1,68938979	3,35059565	14,08880744	23	164,7830	14,0	4,0
125	0,6307	1,40729468	2,00731881	13,02524628	34	163,0005	10,5	4,0
129	0,5714	1,75090805	3,83387017	13,24115473	14	18,1610	7,0	2,0
139	0,5714	2,34600272	6,47673990	13,34871453	6	9,7660	11,5	5,0
144	0,6250	1,55485833	3,16297997	12,84922128	40	22,2905	7,0	2,0
162	0,5714	1,49083145	2,37248977	11,60098361	4	10,9470	10,5	3,5
168	0,4211	2,30741126	7,95964965	12,79692158	20	135,2100	15,5	4,0
173	0,6000	2,10726257	5,37506512	12,58454027	11	8,1460	5,0	2,0
177	0,5652	2,30488137	5,23228745	15,91047048	22	11,5605	13,0	3,0
192	0,5000	2,39825628	7,29069951	16,04804480	11	8,0720	12,0	2,0
194	0,5238	2,61090306	8,47309329	14,45034338	18	134,7810	17,5	2,5
1101	0,6000	2,50220408	7,32077446	13,48047871	8	8,5750	6,5	2,0
1111	0,5714	1,89186437	4,01854730	13,14191900	20	11,8705	7,0	2,0
1120	0,5294	1,67830675	4,00427391	13,70419857	10	9,5175	13,5	3,0
1131	0,6620	1,15122615	1,23552665	12,71003330	10	11,7650	30,5	4,5
1139	0,4800	2,30658879	7,04159763	12,25179139	10	62,9330	15,5	7,5
1140	0,5000	2,63208443	7,20567658	13,96772122	10	41,6400	6,5	2,0
1155	0,6667	1,32710725	1,62783341	13,73540246	5	7,3500	15,0	3,0
200378	0,6667	1,67193854	2,92838875	12,12594745	18	32,8000	12,5	4,0
201012	0,6000	1,98592245	3,06198347	13,68323513	34	62,6000	9,5	5,5
201087	0,7143	1,42664145	2,03687822	13,72180801	34	228,0000	5,0	2,0
201095	0,7500	1,33135258	1,73843126	13,73191619	19	27,8000	5,0	2,0
201111	0,6667	1,76540128	3,56677848	12,92472300	13	54,5000	7,0	2,0
201178	0,7143	1,28728414	1,65575722	14,79760127	40	198,5000	6,5	4,0
201194	0,7143	1,25557621	1,60194175	12,61373939	32	214,0000	6,0	3,0
201350	0,7500	1,36572888	1,77248789	12,98316198	73	21,8000	5,0	3,0
201392	0,6667	1,57909848	2,23123732	16,21811690	41	70,7000	15,0	7,0
201434	0,7500	1,22704819	1,41936507	14,95888106	69	92,5000	6,0	4,0
201459	0,7500	1,19817579	1,33594515	13,67305387	63	407,0000	5,0	3,0
201525	0,7500	1,18818131	1,34032559	14,31291947	73	430,0000	5,0	3,0
201574	0,6000	1,53028065	1,76173285	12,68010147	20	35,3500	13,5	4,0
201624	0,6667	1,52082400	1,78436318	13,67642112	17	83,3000	11,0	3,0
201681	0,7500	1,17581936	1,29973036	15,13794004	66	523,5000	4,0	2,0
201772	0,6364	1,62244319	2,64164161	14,70435027	55	16,3000	12,0	6,0
201780	0,6429	1,63308435	2,63486842	12,81681243	39	106,0000	16,0	4,0
201806	0,7500	1,19090694	1,34349597	14,71249206	89	602,0000	4,0	2,0
201822	0,5917	2,72647593	6,96983868	14,63207947	25	85,8000	11,0	3,0
201863	0,6667	1,53862547	2,30427350	13,05365715	35	46,8000	5,0	2,0
201889	0,6667	1,19181380	1,35483871	15,19614537	23	676,0000	6,0	4,0
201913	0,6000	1,78691368	3,77458854	12,38818301	24	30,7500	8,0	3,0
201921	0,6000	1,97115385	4,30353430	13,09892640	18	29,9000	7,5	2,5
201939	0,6202	1,83536397	3,57707129	12,62385259	24	69,0000	7,0	2,5
202036	0,7500	1,33328202	1,68890368	13,80555795	28	97,1500	6,5	3,0
203026	0,7500	1,47033534	1,94871795	13,21472998	29	40,6000	4,0	2,0
203034	0,6667	1,82103540	2,94919803	13,70675070	24	26,9000	20,0	14,0
203075	0,6667	1,69168156	2,45362463	14,14423124	30	109,5000	15,0	6,5
203265	0,6667	1,92675594	4,56223776	13,87978190	22	36,0000	5,0	2,0
203307	0,6667	2,11328976	4,97630332	12,62989381	25	135,0000	6,0	2,0

St_Nr	HQ10_20_t_cov_r_med	HQ10_20_rat_m_m_med	HQ10_20_rat_m_b_med	HQ10_20_hqx_med	HQ20_50_anzahl	HQ20_50_MQ_med	HQ20_50_Dauer_med	HQ20_50_t_p_a_med
203323	0,6667	1,40244755	1,79864702	15,52449584	59	366,0000	6,0	3,0
203463	0,6000	1,60772051	2,84810127	13,06853868	17	27,1000	9,0	5,0
203521	0,6667	1,81425566	3,42001998	14,23727951	16	261,5000	6,0	2,0
203539	0,7500	1,43841644	1,92435706	13,58479907	51	830,0000	4,0	2,0
203570	0,6000	1,92942091	3,88683927	13,75268101	14	269,0000	7,0	2,0
203711	0,6667	1,38772955	1,85843127	13,14570596	40	17,8500	7,0	3,0
204677	0,5714	1,78341014	2,68739703	13,31612119	29	17,2000	22,0	5,0
204719	0,5420	2,51710042	8,83373848	12,98157315	15	58,6000	6,0	2,0
204750	0,5000	2,75420352	10,53977766	12,16198139	17	39,8000	5,0	1,0
204784	0,5000	2,58781184	13,59014470	14,45440017	9	15,2000	10,0	2,0
204834	0,6333	2,29237438	5,37011133	12,73550905	12	12,6000	8,0	2,5
204867	0,5000	2,60257356	10,04673038	15,01643467	17	78,0000	7,0	2,0
204933	0,5420	2,10494658	4,75971975	14,61474140	16	51,6000	8,0	2,0
205013	0,4773	2,71534449	12,90619283	12,37990964	11	29,4000	7,0	2,0
205047	0,6667	2,78338945	14,07487401	13,55459020	6	10,1550	5,0	1,0
205054	0,5000	3,06493268	14,56005844	15,50300501	21	75,5000	9,0	2,0
205153	0,6667	1,48605857	2,42801871	13,00071349	31	182,0000	7,0	2,0
205187	0,5000	2,22054719	8,19325132	13,53849468	26	75,9500	9,0	2,0
205294	0,6000	2,09448045	5,69092139	14,89288803	22	39,0000	10,0	2,0
205377	0,6000	2,33809612	7,21689060	13,48956741	14	28,0500	6,0	2,0
205419	0,5000	2,46027424	7,13559322	13,69965277	21	95,8000	6,0	2,0
205450	0,5714	1,80441426	3,78643308	12,95092532	26	179,0000	8,5	2,0
205518	0,5714	2,09742120	4,86278814	12,92840456	14	129,5000	6,0	2,0
205633	0,6000	3,11344000	8,16765700	12,07116591	10	13,6000	14,5	9,0
205641	0,5217	2,43895895	9,72089857	12,56206686	14	37,2000	6,5	2,0
205658	0,5301	2,56001762	7,67679272	13,03881509	16	74,1000	5,5	2,0
205740	0,5000	2,95191949	12,09388972	12,88248707	21	84,4000	6,0	2,0
205757	0,6667	1,43910615	2,04080031	13,21675568	26	748,0000	6,0	2,0
205799	0,6667	1,56659142	2,20779221	13,27914254	45	47,1000	7,0	2,0
205831	0,6333	1,80929080	3,68319984	11,74829350	20	68,2000	7,0	2,0
205856	0,5000	3,21735719	16,71220189	14,46893135	19	25,8000	10,0	2,0
205864	0,6667	1,71002631	3,14939435	12,05737325	28	147,0000	6,0	2,0
205898	0,5000	2,37771384	7,20833333	12,38672748	18	39,7350	6,0	2,0
205914	0,6000	1,83806946	3,61111111	13,27562055	21	230,0000	6,0	2,0
205922	0,6250	1,67199248	2,80245747	13,01928697	27	842,0000	6,0	2,0
205997	0,5455	1,76800000	5,44581281	13,30601100	12	8,5500	12,0	2,0
206029	0,5000	2,33941094	6,41813602	14,85908288	11	38,7000	20,0	3,0
206169	0,5727	2,76817420	13,25984252	13,11602057	12	28,2000	4,5	1,0
206201	0,7500	1,31227106	1,55933380	14,03557669	75	1874,0000	4,0	2,0
206268	0,5000	3,25229489	13,21194465	13,56860854	5	10,9000	4,0	2,0
206409	0,6250	1,55882353	2,66955267	13,52642491	42	511,5000	7,0	3,0
206581	0,4365	2,51430065	7,10384367	13,27140078	6	20,8000	13,0	2,0
206599	0,5000	2,74127691	12,75789474	15,04759293	14	27,2000	5,0	1,0
207324	0,5625	1,49226234	2,86850649	14,02943463	14	582,5000	11,5	4,5
207357	0,7500	1,24433406	1,49346210	13,55720595	84	4117,0000	5,5	2,0
207654	0,5000	2,34135086	8,85168826	13,27514816	15	205,0000	6,0	2,0
207688	0,5000	2,57449606	8,30265849	12,14358103	19	343,0000	7,0	2,0
207696	0,6667	3,39186296	18,14147742	13,19916078	13	41,8000	6,0	2,0
207803	0,5000	2,42311967	6,75000000	13,72236772	20	143,5000	7,5	2,0
207811	0,4188	2,67231163	8,93100530	13,51745941	2	18,1500	13,0	5,0
207837	0,5000	3,08453979	13,23787259	12,44557465	12	71,0000	10,0	1,0
207852	0,4444	2,52942350	8,63433944	15,04117090	10	79,2000	8,5	2,0

St_Nr	HQ10_20_t_cov_r_med	HQ10_20_rat_m_m_med	HQ10_20_rat_m_b_med	HQ10_20_hgx_med	HQ20_50_anzahl	HQ20_50_MQ_med	HQ20_50_Dauer_med	HQ20_50_t_p_a_med
207878	0,5500	2,13923091	5,20578398	15,65728482	8	26,5500	8,0	2,0
207894	0,6000	2,13205043	4,41188119	12,27005001	9	75,3000	7,0	2,0
207910	0,5455	2,25505943	5,60256410	12,09145125	11	149,0000	7,0	2,0
207944	0,5000	2,17577169	6,15121180	14,29232874	9	64,8000	21,0	2,0
207951	0,5000	2,19821958	7,25773196	12,00408171	16	11,6500	15,0	3,0
207993	0,5026	2,16210341	5,59676811	14,80352268	7	99,4000	13,0	2,0
208009	0,5000	3,47633300	15,05477308	13,40057007	7	48,6000	25,0	7,0
208017	0,6500	2,25242328	16,00799663	11,90643649	12	33,1000	7,0	1,5
208041	0,4605	2,70772752	8,73534409	16,46171676	2	5,5900	12,5	5,0
208058	0,5000	2,73105213	8,37294086	13,50495370	6	6,1250	6,5	1,5
208090	0,4000	3,09295089	14,41134752	12,96332782	10	41,3500	9,5	1,5
208116	0,4167	3,01547091	14,93045564	13,22406814	4	43,9500	7,5	1,5
208124	0,4773	2,54925880	9,34304933	13,12279223	3	50,1000	4,0	1,0
208157	0,6000	2,17513089	4,63649790	13,17840670	6	88,9500	8,0	2,5
208272	0,4643	2,64528756	7,25955543	14,36361040	8	10,3400	9,0	2,0
208280	0,5455	1,99466396	5,06400000	15,47870898	2	25,4800	17,0	3,0
208611	0,4444	3,31992378	15,14139390	12,77723089	8	25,4500	11,0	2,0
208629	0,4444	2,35191541	8,23755783	14,60932982	10	125,5000	13,0	3,5
209189	0,7500	1,65006227	2,65727700	14,23498974	5	6,4000	6,0	2,0
209338	0,3667	3,87007577	23,88437579	18,13176297	5	10,2000	7,0	1,0
209361	0,5000	2,33138425	5,79450689	12,67930655	12	33,7000	8,5	2,0
209486	0,4167	3,88009738	24,39886846	14,48455761	6	14,9545	22,0	7,0
210641	0,7500	1,35768262	1,71606218	13,66668078	41	76,5000	5,0	2,0
341000	0,5000	1,97172335	4,65040650	14,61928128	4	16,7000	7,5	2,0
343000	0,4559	2,11006696	5,80751984	12,04656692	4	15,0000	7,5	3,0
344000	0,4667	2,44382415	6,77631579	13,85887293	2	13,2500	5,0	1,5
345000	0,5556	1,87659033	3,84512684	15,52505889	4	42,9500	7,0	3,5
348000	0,6458	1,50747242	2,34184372	14,50622738	1	10,5000	10,0	2,0
353000	0,4286	2,29942934	8,11101164	12,96345687	12	20,6000	18,5	3,0
354000	0,4826	2,58205652	7,00483616	15,48889773	8	59,4000	15,0	2,5
355000	0,5227	1,73240138	3,62569984	13,34949914	14	160,0000	10,5	3,0
356000	0,4000	2,85400659	10,98300971	10,78059117	4	13,3500	13,0	1,5
357000	0,3684	3,62797289	52,49865084	14,09937402	3	5,9300	27,0	20,0
359000	0,5000	2,24241233	7,59442779	13,35549317	5	14,0000	11,0	2,0
360000	0,5000	2,44031053	5,84615385	12,90232007	7	25,1000	8,0	3,0
362000	0,5000	2,52495010	6,40559251	11,62798308	4	11,4000	9,5	1,5
363000	0,4545	2,32203917	10,36437247	11,52095073	8	20,8500	13,0	5,0
364000	0,4167	2,14956089	8,77304933	10,31194339	4	9,9700	16,5	4,5
366000	0,4615	2,35062117	11,49231935	12,76548104	11	28,2000	12,0	3,0
367000	0,6000	1,50102690	2,51179772	13,66938507	19	193,0000	18,0	5,0
370000	0,5000	2,49406525	17,73435463	15,08575532	11	18,2050	9,0	2,0
379000	0,4721	2,82620996	14,67937950	12,67596061	19	95,9000	10,0	3,0
380000	0,4000	3,31098834	16,21818666	13,78520801	9	19,2000	29,0	4,0
382000	0,5000	2,57531010	9,49445129	13,80158117	13	143,0000	13,0	3,0
383000	0,5130	3,63594746	46,34167241	11,90591032	1	6,5100	10,0	2,0
386000	0,5000	3,22857143	14,21154466	12,21913436	11	55,1000	10,0	2,0
387000	0,5000	2,14885954	6,39118457	10,49964876	9	75,3000	10,0	2,0
387500	0,3529	3,84756129	36,98187163	12,28919010	1	5,9100	25,0	3,0
388000	0,6000	2,47252747	8,65800866	13,99767059	5	17,2700	11,0	3,0
389000	0,5000	2,38948795	12,01120326	12,10738420	11	220,0000	8,0	2,0
389500	0,4308	2,92355516	30,76121795	12,67270325	6	11,7500	24,5	10,5
390000	0,5000	2,31223567	7,49024707	11,93958919	13	223,0000	8,0	2,0

St_Nr	HQ10_20_t_cov_r_med	HQ10_20_rat_m_m_med	HQ10_20_rat_m_b_med	HQ10_20_hqx_med	HQ20_50_anzahl	HQ20_50_MQ_med	HQ20_50_Dauer_med	HQ20_50_t_p_a_med
393000	0,5000	1,76072727	5,70862069	13,85837408	5	5,5500	13,0	4,0
394000	0,5227	3,49777588	29,04104271	15,13204883	5	7,4100	21,0	3,0
396000	0,5000	2,95500874	31,59744409	15,18915122	6	10,9500	10,5	3,0
397000	0,5714	1,88456047	7,50817528	14,17420348	5	22,2000	16,0	4,0
400000	0,5455	2,66710311	14,35793925	15,13629295	2	8,8450	6,0	2,5
401000	0,5000	2,06891886	15,81942337	18,42829864	1	8,5800	6,0	2,0
402000	0,4286	3,93642580	27,20802920	17,60282631	2	28,5000	198,0	192,5
403000	0,5333	1,82397865	4,27165734	13,53858581	24	338,5000	11,0	3,0
405000	0,4286	2,71828053	11,17737003	14,45684854	5	10,2000	9,0	2,0
407000	0,3611	4,26451916	18,41533853	13,83715062	1	5,6700	2,0	1,0
410000	0,5778	3,10386881	17,28312761	15,04336938	5	8,9800	5,0	3,0
412000	0,4444	3,44632768	20,71307301	13,43546223	5	57,6000	7,0	2,0
413000	0,5385	1,78966550	4,07166124	14,49974752	21	363,0000	13,0	4,0
414000	0,4167	3,76801018	21,75459611	17,78482468	3	5,2000	6,0	1,0
414700	0,4000	3,63423198	18,28428431	13,88011156	6	10,3000	6,5	2,0
415000	0,6000	2,60255974	12,37478196	12,556769506	4	9,1250	17,5	3,0
418000	0,5714	2,88157177	10,90909091	14,17311060	13	43,8000	13,0	3,0
421500	0,5000	2,00422867	5,04322767	14,82601867	19	378,0000	16,0	4,0
422000	0,3944	3,50650565	16,72544815	13,91545075	6	17,7500	12,0	1,5
423000	0,3333	3,61347539	18,58090186	10,54392141	4	6,7250	8,0	2,0
429000	0,4750	2,69501151	8,29486345	14,20002552	9	35,5000	14,0	4,0
430000	0,4211	2,71969030	10,17257628	14,22677474	14	127,0000	11,5	3,0
431000	0,5250	2,26717557	10,39768940	15,22811499	4	12,5000	16,0	4,0
432000	0,5119	2,46807746	16,74956668	13,69790499	8	25,0000	10,0	2,0
435000	0,5000	1,84515104	8,09477669	15,09440583	5	106,0000	18,0	10,0
436500	0,5155	1,31609557	5,90713829	13,00027119	18	3,4650	253,5	33,0
437000	0,4762	1,81296758	6,04693446	18,65769848	6	96,9500	7,5	2,5
438000	0,1818	6,10275790	59,50819672	14,06733424	5	7,8300	78,0	25,0
439000	0,4439	2,33089879	18,52891447	13,39544899	7	12,8000	18,0	2,0
440000	0,3846	2,49377865	11,29023384	14,20064121	6	17,3500	18,5	3,0
441000	0,5000	2,21445221	6,40732265	14,00496250	10	16,8500	11,5	2,0
441400	0,4000	2,70641717	11,61946260	11,56007236	1	3,7700	14,0	8,0
441500	0,4706	1,97268853	6,12054329	12,00701168	8	7,9800	12,5	2,5
442000	0,5000	2,61003693	8,02390899	15,42528624	14	40,2000	16,5	2,5
444000	0,3871	2,34290650	8,89813173	12,47091139	3	2,4600	21,0	4,0
445000	0,6667	1,71207064	3,79152498	15,49735953	11	32,1000	9,0	3,0
445100	0,6000	2,24032587	5,00000000	13,09971572	4	6,2000	23,5	2,0
446000	0,4773	2,54064041	8,35031345	14,87375534	2	20,6500	16,5	4,5
447000	0,5000	2,10151226	5,11792904	13,90887095	6	24,1000	7,5	2,5
448000	0,5714	1,55713688	3,30405405	11,19557382	10	80,1500	13,0	3,5
452000	0,5417	2,33593688	4,99153406	12,05237994	2	8,0550	6,5	3,0
453000	0,5000	2,03485535	5,08074534	16,75171400	4	9,4300	15,0	4,0
454000	0,5208	2,03724696	24,24764383	17,52090553	5	16,2000	6,0	2,0
455000	0,4167	2,06509297	19,69938108	13,86513313	2	6,7400	28,0	21,0
455100	0,3333	2,73472669	13,93023772	11,96786631	2	8,3000	26,5	3,0
456000	0,4189	2,35852212	7,48233266	12,44474595	3	18,4000	11,0	2,0
457000	0,5000	1,94837250	5,65477560	13,40452304	8	48,1550	10,5	3,5
458000	0,4286	3,76817675	14,12460125	10,77496672	2	5,6500	8,0	2,0
459000	0,5556	3,18663625	10,51660517	15,09407753	1	5,7300	15,0	2,0
461000	0,4530	2,70441564	9,89365574	13,45345387	7	12,0000	19,0	4,0
462000	0,6000	1,84454756	4,00191205	13,88403601	10	119,5000	10,0	3,0
463000	0,4699	1,78920149	5,11133531	11,77350828	1	6,3600	5,0	2,0

St_Nr	HQ10_20_t_cov_r_med	HQ10_20_rat_m_m_med	HQ10_20_rat_m_b_med	HQ10_20_hgx_med	HQ20_50_anzahl	HQ20_50_MQ_med	HQ20_50_Dauer_med	HQ20_50_t_p_a_med
465000	0,4615	2,30611548	7,58241758	13,39520969	8	17,6500	12,5	3,0
469000	0,4654	2,17903206	5,67814980	12,56924735	14	54,0000	13,0	3,0
470000	0,5000	2,06512570	5,25477707	16,63284388	7	19,6000	15,0	4,0
471000	0,5714	2,88209607	6,57226823	12,67693664	7	17,8000	20,0	14,0
472000	0,4226	2,77177368	10,27005136	15,43554754	4	17,3000	12,0	2,0
473000	0,5000	1,82188526	4,34372049	12,69793057	10	32,3500	9,5	3,0
474000	0,5455	2,08281982	5,49166444	12,61495523	8	47,0000	20,0	6,5
476000	0,5556	2,22538293	5,13157895	11,77543512	12	13,8500	14,5	2,0
477000	0,5000	2,34569172	7,14433148	13,70299380	14	22,3500	10,5	3,0
483100	0,6667	2,52359008	8,96103896	18,21199165	1	4,0200	7,0	2,0
484000	0,2986	4,60879731	44,29031105	15,15961329	3	4,3600	5,0	3,0
486000	0,4000	2,85386615	13,34456929	14,96628573	1	6,7500	4,0	1,0
6142150	0,5811	1,53908333	2,58252497	14,18130187	14	572,5000	12,0	5,0
6142200	0,7143	1,23040293	1,46809821	14,40616008	101	4130,1670	5,0	3,0
6242030	0,5000	2,53242342	7,28942532	13,97588678	11	32,5000	13,0	2,0
6242070	0,5556	2,12361331	5,03972758	11,52686054	7	33,0000	8,0	2,0
6242120	0,4495	2,38787476	9,07803245	14,22702568	14	31,1000	10,0	2,0
6242130	0,7083	2,21507313	6,32893912	12,64780034	7	10,6000	5,0	2,0
6242240	0,5000	2,48780633	6,65488773	15,79346403	7	70,2000	6,0	2,0
6242280	0,6125	1,56179931	2,56007016	12,64941813	19	11,7000	8,0	3,0
6242281	0,5714	2,03756779	4,37546487	11,94558397	16	38,5500	6,5	2,0
6242290	0,6667	1,23590504	1,53923541	12,99134953	32	31,5000	6,0	3,0
6242300	0,7500	1,25983237	1,55701534	13,52259696	91	4050,0000	5,0	2,0
6242310	0,4038	2,79674237	67,46464738	14,33105624	1	3,9900	23,0	11,0
6242600	0,6250	1,67313497	3,06636156	13,08951364	31	320,0000	7,0	2,0
6242610	0,5200	2,17633163	6,79477325	13,92391510	18	25,3000	8,0	3,0
6242613	0,7143	1,32790479	1,91964286	12,15445816	78	28,4000	7,0	3,0
6242615	0,5556	1,65075799	3,99108215	12,93878967	27	37,9000	15,0	5,0
6242620	0,6667	1,48736752	2,35827240	14,27933407	44	384,5000	7,0	3,0
6242621	0,6000	2,48850119	6,42190570	12,45318256	4	7,1100	5,5	2,0
6242700	0,7500	1,24860828	1,47873601	13,68479418	88	4155,0000	5,0	2,0
6242933	0,6667	1,68266509	2,93597906	13,88068391	12	15,3000	5,5	2,0
6243220	0,6667	1,99443050	3,53276353	13,00641367	21	40,0000	15,0	8,0
6243230	0,5714	2,12754410	5,01295337	14,99527712	15	16,3000	10,0	4,0
6243235	0,6000	1,70037858	3,35195531	12,67153896	16	29,1500	10,0	2,0
6243240	0,7143	1,72047766	2,85498489	12,56963699	37	90,6000	6,0	2,0
6243245	0,6667	1,57102273	2,05623902	14,67354945	41	597,0000	9,0	5,0
6243270	0,7500	1,34545271	1,66694087	13,32938453	32	14,0000	5,0	2,0
6243350	0,7321	1,32577494	1,71871658	14,57037260	4	8,0800	31,5	13,5
6243355	0,7500	1,23315374	1,44985348	15,23311009	56	10,2500	4,0	2,0
6243360	0,7143	1,40516577	1,85414091	13,13404929	20	21,5000	5,5	2,0
6243410	0,7048	1,35333125	1,79057609	14,44620848	69	17,6000	9,0	5,0
6243450	0,7500	1,46525190	1,78617656	12,96035417	12	19,4000	5,5	4,0
6243810	0,5000	3,20749915	16,73343606	12,32457363	13	24,4000	6,0	1,0
6243830	0,4444	3,48198359	20,41036717	17,49878559	7	6,3500	5,0	2,0
6246632	0,7500	1,39447573	1,76630435	13,33415380	29	15,1000	6,0	3,0
6342050	0,5294	2,01923077	5,78426966	14,46541898	24	13,9000	18,5	4,0
6342081	0,5857	2,26399242	6,84955669	14,00481604	8	14,0500	10,0	2,0
6342100	0,6667	1,66952168	2,82592729	13,71304346	16	22,5000	6,0	2,0
6342130	0,5714	1,95304162	6,14942529	11,69784782	14	189,0000	9,5	3,0
6342540	0,6000	2,54699636	8,32038187	12,99832225	8	9,9350	8,0	2,0
6342675	0,6458	2,32999097	8,72913760	13,46801491	12	49,2200	4,5	2,0

St_Nr	HQ10_20_t_cov_r_med	HQ10_20_rat_m_m_med	HQ10_20_rat_m_b_med	HQ10_20_hqx_med	HQ20_50_anzahl	HQ20_50_MQ_med	HQ20_50_Dauer_med	HQ20_50_t_p_a_med
6342800	0,7143	1,24915377	1,50137087	13,29312340	78	1385,0000	6,0	3,0
6342900	0,7143	1,21578083	1,46231783	13,08562681	109	2660,0000	6,0	3,0
10026301	0,7143	1,42561983	2,00018376	13,96286854	78	372,0000	6,0	2,0
10035801	0,6667	1,53719008	2,27659574	12,85059391	45	446,0000	11,0	3,0
10039802	0,6667	1,38869779	1,92207792	13,61916387	68	529,0000	6,0	2,0
10046105	0,7500	1,29144095	1,60161177	13,68416810	69	773,0000	6,0	2,0
10053009	0,7500	1,29327237	1,60493827	12,86604996	75	815,0000	6,0	3,0
10056302	0,7500	1,28980930	1,58548905	13,70314370	87	851,0000	6,0	3,0
11401009	0,6000	1,87737844	4,63890833	13,20732892	27	130,0000	6,0	3,0
11402001	0,6515	1,86905925	3,89204277	13,77839613	34	263,0000	6,0	2,0
11405000	0,6000	1,86046512	4,10316530	12,52399787	44	284,5000	7,0	2,5
11411104	0,6667	1,54551211	2,18077544	13,43165837	13	12,7000	5,0	2,0
11415008	0,7143	1,54043646	2,29720029	14,35649544	20	22,4500	4,5	2,0
11425200	0,6667	1,96690700	4,34602016	14,03430079	25	50,1000	5,0	2,0
11427603	0,7440	5,10572134	18,16491532	11,47915855	5	12,8000	5,0	2,0
11432002	0,5857	3,33199439	8,55073945	12,93511869	20	23,3000	30,0	18,5
11434008	0,6000	3,71849095	13,87679983	13,59868744	16	11,3500	9,0	3,0
11445004	0,4543	3,79401449	22,97134964	11,09218268	7	9,8700	17,0	4,0
11455201	0,5278	3,33798238	22,56092826	10,99532512	7	7,4600	6,0	2,0
11465001	0,5000	2,61700360	10,64189189	12,68196916	11	14,3000	7,0	2,0
11495002	0,7500	1,36636637	1,69354839	14,18835709	12	4,9250	7,0	2,0
11548007	0,6000	2,03614414	4,30737705	13,55529772	8	12,2500	5,5	2,0
11582300	0,6000	2,14718615	5,04371217	12,51426557	25	37,4000	6,0	2,0
11583303	0,6667	1,88839500	3,75226072	13,13096597	24	50,2500	7,0	2,0
11584000	0,6667	1,90294292	3,92509363	13,55575029	23	51,1000	6,0	2,0
11605009	0,6667	1,43504330	2,11674528	12,78166551	1	4,5400	4,0	2,0
11605202	0,5714	2,45961015	6,85839829	13,60248116	17	23,1000	7,0	2,0
11609000	0,6667	1,70329670	2,72027972	12,64146007	18	57,8000	5,0	2,0
11649004	0,6667	1,55608028	2,12717883	13,86609154	17	8,9500	5,0	2,0
11723504	0,7500	1,17584746	1,32269099	13,17135181	38	15,2000	6,0	3,0
11744005	0,5192	1,79744962	4,03169241	13,04424145	11	13,3000	8,0	2,0
11802509	0,4286	3,09268918	14,60726846	14,83270445	8	21,0000	7,0	2,0
11805008	0,5000	2,37188504	7,17661404	13,74660689	15	90,2000	9,0	2,0
11808006	0,5556	1,97956493	6,38636364	11,16343376	12	136,0000	11,0	3,0
11864007	0,5000	2,24726019	7,73847803	13,05293933	8	43,1000	8,0	4,0
11921701	0,6000	2,12147134	5,85683297	13,49085337	7	15,0000	5,0	2,0
11924007	0,6667	1,82381086	3,71237458	14,27824826	14	27,5500	6,0	2,0
11942009	0,5500	2,53475551	8,60987845	13,13418945	11	17,6000	5,0	2,0
11944004	0,6667	2,02360877	5,25280899	11,95949339	12	25,7000	6,0	3,0
11946000	0,6000	1,90884889	4,84122876	13,11814495	9	29,6000	6,0	3,0
12002009	0,6812	1,43693836	2,13110540	14,22955413	21	314,0000	9,0	4,0
12003001	0,6667	1,44810127	2,05194805	12,60029434	16	390,5000	5,0	2,0
12003500	0,6667	1,43000000	1,94945848	13,71377618	15	400,0000	5,0	2,0
12006000	0,7500	1,44075235	1,91443850	13,77073587	18	547,0000	5,0	2,0
12313009	0,5714	1,79285949	4,36386512	13,21071988	21	7,6800	9,0	2,0
12335001	0,5192	2,37762142	9,13313296	13,66241676	3	9,4900	6,0	2,0
12401004	0,5635	2,62946226	10,91982648	13,25341272	23	16,6000	7,0	2,0
12402007	0,5714	2,58096229	8,67574355	12,09667683	25	23,9000	7,0	2,0
12404002	0,5556	1,66433566	6,74373796	11,85541497	36	18,1000	13,5	4,5
12404705	0,5000	2,19302919	7,79722105	13,20187328	31	59,2000	9,0	2,0
12405005	0,5000	2,10053860	6,30092119	14,90291217	26	70,7000	12,0	3,0
12406008	0,5714	2,01114445	4,97750865	13,58606993	31	104,0000	8,0	2,0

St_Nr	HQ10_20_t_cov_r_med	HQ10_20_rat_m_m_med	HQ10_20_rat_m_b_med	HQ10_20_hgx_med	HQ20_50_anzahl	HQ20_50_MQ_med	HQ20_50_Dauer_med	HQ20_50_t_p_a_med
12412000	0,5857	2,84464046	15,30390045	13,31737603	20	11,3500	7,0	2,0
12418007	0,5000	3,04032464	15,11834320	12,98036550	7	9,4700	5,0	2,0
12425002	0,5000	2,62537626	9,10112187	12,78693898	25	21,9000	10,0	2,0
12445000	0,6563	6,26500809	9,74880383	13,54488824	11	22,7000	30,0	26,0
12465007	0,6000	1,84341637	3,56626506	14,66322801	9	7,5600	5,0	2,0
12483009	0,7500	1,28933474	1,50134138	11,78950006	16	4,3950	4,0	2,0
13124001	0,7083	1,49089180	2,25904233	11,72418281	5	4,8400	5,0	2,0
13202003	0,6667	1,80280047	3,76017765	14,68275855	17	14,2000	5,0	2,0
13206004	0,6667	1,46900142	2,15794307	12,73215856	17	23,8000	6,0	3,0
13208000	0,6667	1,43394670	2,09442767	11,93704334	15	28,5000	8,0	4,0
13217000	0,8333	2,26724068	5,76309757	14,61986921	3	7,1800	4,0	2,0
13242008	0,5000	2,33115989	5,57082092	13,27324955	1	3,3800	5,0	1,0
13242507	0,6667	1,85038153	3,44781826	14,20785527	5	7,6200	8,0	3,0
13321002	0,7500	3,20054867	9,35940930	14,20239440	11	15,2000	115,0	112,0
13322005	0,6667	1,93969509	4,46712696	14,88900427	8	24,6500	5,5	2,0
13400903	0,4286	3,07417389	19,11965282	11,37842078	6	7,3050	11,5	4,5
13402807	0,5000	2,46082659	16,75895765	13,18628261	8	62,2000	6,0	2,0
13405408	0,6154	1,79198876	5,70303712	14,36947961	5	58,8000	9,0	3,0
13406105	0,5607	1,97091000	5,66156028	13,97387854	6	72,1500	7,5	3,5
13407200	0,5625	1,52604167	3,81596503	13,29327016	7	79,2000	9,0	4,0
13424901	0,5901	3,08122882	13,36420179	13,11042357	3	15,0000	9,0	3,0
13450300	0,6026	1,42015063	2,57979898	15,09766817	1	5,9700	20,0	5,0
13465002	0,4722	2,58614931	9,99393755	14,83902920	16	34,9000	12,5	2,0
13922002	0,5000	1,98682012	5,20877944	13,99597107	9	13,8000	16,0	5,0
13926207	0,6667	1,44129104	2,30682671	14,48648693	5	15,8000	9,0	3,0
14002305	0,5737	1,97513673	5,03960603	14,88376835	9	188,0000	15,0	7,0
14006000	0,5556	1,95299743	4,10181237	15,09116956	14	297,0000	24,0	9,0
14008006	0,6667	1,47837871	2,36179770	12,95226078	13	291,0000	9,0	5,0
14101205	0,5714	2,07532667	5,06114991	12,49397633	14	67,7500	13,0	3,0
14107008	0,6500	1,98053004	4,02709020	13,66362214	3	5,6400	4,0	1,0
14114003	0,5714	1,81102461	3,94942700	12,85308079	5	25,5000	15,0	7,0
14201006	0,4286	3,84763934	6,71413057	12,00726312	10	28,4000	26,0	20,0
14209008	0,5885	1,84290278	4,48783863	12,96585118	12	52,7500	10,5	3,5
14244803	0,5000	2,38176198	7,91621912	16,38925345	11	19,8000	11,0	5,0
14362005	0,6000	1,76162700	3,91786917	12,49289010	15	37,4000	11,0	3,0
14364000	0,5752	1,87919603	5,21685452	11,82677111	22	43,8000	9,0	3,0
14402008	0,5500	2,80250434	8,52130648	14,57010926	11	11,6000	5,0	2,0
14402507	0,5357	1,31704627	2,49887811	11,89403188	5	6,0100	16,0	6,0
14405200	0,6000	1,89847716	3,78303199	13,36714125	14	34,0500	15,0	6,0
14406508	0,6548	1,25784612	1,61566998	12,96397015	17	14,4000	7,0	3,0
14408004	0,5714	1,46724000	2,41562080	11,661118209	13	45,4000	6,0	3,0
14425003	0,6750	2,50387079	7,95849056	10,73070634	10	8,2650	9,5	2,5
14426006	0,5500	1,24820193	2,25773196	10,84778886	3	4,9700	18,0	3,0
14465008	0,5000	2,49033324	7,78057554	14,24686358	12	8,4000	8,0	2,5
14486008	0,5625	2,09549519	4,06130268	14,61265991	9	12,0000	14,0	5,0
14602007	0,5505	1,97145739	4,74743390	13,50720976	7	17,5000	5,0	2,0
14604002	0,5857	1,77273847	3,88763373	12,71204977	9	33,1000	9,0	3,0
14606008	0,6125	1,60935900	2,64944026	14,51473170	18	37,1500	7,0	3,0
14608003	0,7143	1,38823529	2,13773314	13,89726210	18	40,2500	7,0	3,0
14644801	0,6667	2,00323520	4,11246201	13,87974718	5	5,9000	4,0	3,0
14685004	0,6667	1,28754769	1,71777778	15,18370506	8	10,9000	8,5	3,0
15202300	0,6000	1,93250116	4,21768707	13,24161744	24	182,5000	6,5	2,0

St_Nr	HQ10_20_t_cov_r_med	HQ10_20_rat_m_m_med	HQ10_20_rat_m_b_med	HQ10_20_hqx_med	HQ20_50_anzahl	HQ20_50_MQ_med	HQ20_50_Dauer_med	HQ20_50_t_p_a_med
15205501	0,6000	1,76430518	3,49716446	13,62655971	20	219,0000	7,0	2,0
15207507	0,6000	1,89503628	3,95344500	13,07556086	14	271,0000	6,0	2,5
15210206	0,6000	1,73449148	2,84547244	13,95811748	19	51,2000	8,0	2,0
15212008	0,5925	2,63556198	4,26515411	13,99547864	24	96,0000	20,5	7,0
15212700	0,6667	1,98657867	4,14461692	13,28657171	26	131,0000	7,0	2,0
15213500	0,4575	2,90947668	9,76716214	12,63097045	12	10,2000	6,5	2,0
15214003	0,5769	2,25418994	4,99219969	14,37395804	15	42,9000	12,0	2,0
15214604	0,6875	6,57611121	12,36250473	11,33096331	3	6,0600	26,0	14,0
15216009	0,6307	1,92346409	2,92490435	11,93526410	15	13,4000	13,0	3,0
15217908	0,5000	3,04923949	7,59061854	13,38612000	13	22,2000	8,0	3,0
15221009	0,5000	2,09939382	6,39727960	13,14802049	9	11,2000	8,0	2,0
15228008	0,6548	2,48797185	3,67634852	12,23464302	15	32,3000	47,0	36,0
15241006	0,4063	3,04942345	20,33943428	16,25800961	1	8,3300	3,0	1,0
15243001	0,6000	2,23934795	7,95576554	13,75250253	16	37,8000	8,0	3,0
15246000	0,6000	2,69583627	8,36510963	13,16322911	12	55,9500	22,0	6,0
15247002	0,5635	2,28047990	7,23028157	14,64382870	15	9,9000	10,0	2,0
15247501	0,4375	2,42537827	27,82789173	17,61510846	7	5,3600	16,0	6,0
15314008	0,4605	2,39703782	6,54667084	16,03687737	1	6,2500	6,0	5,0
15315000	0,5862	2,20951671	7,08308481	11,54369905	3	11,0000	6,0	3,0
15325004	0,6333	2,49175620	7,66086046	16,83064270	3	5,5700	7,0	2,0
15408000	0,7500	1,47220831	2,72222222	14,46617118	14	24,3500	6,0	3,0
15422500	0,7083	2,11864191	5,52712998	11,88970021	12	15,5000	5,5	2,5
15916000	0,6000	2,96449870	13,09256159	12,77903546	9	11,8000	6,0	3,0
15993001	0,5714	3,19227392	7,84621861	14,13320966	10	8,2800	28,5	10,5
16001303	0,6000	1,92595590	4,94011976	12,54105785	6	83,6000	4,5	1,0
16002500	0,6667	1,74563591	4,65057179	13,50424856	14	145,5000	6,0	3,0
16003003	0,5769	1,83381089	4,57871397	13,98686081	17	162,0000	7,0	3,0
16004006	0,6250	1,65534805	3,64328439	13,07024854	16	172,5000	8,0	2,5
16004403	0,6667	1,48296371	2,27116159	12,85764390	27	197,0000	5,0	2,0
16005701	0,6667	1,60334029	2,80664167	13,60622268	30	330,5000	8,5	3,0
16006500	0,5714	1,98213079	6,93173293	13,37179664	11	342,0000	11,0	3,0
16007004	0,7143	1,22852761	1,47953216	13,90364530	51	328,0000	6,0	3,0
16008007	0,7500	1,24646226	1,46174142	13,63900964	96	351,5000	5,0	3,0
16008506	0,7500	1,24244405	1,45599204	13,72523547	70	374,0000	6,0	3,0
16124950	0,7083	1,36033845	1,82963570	12,11069436	9	18,5000	4,0	1,0
16145008	0,7500	1,52534999	2,12328767	12,76160707	28	44,6500	5,0	2,0
16163000	0,6000	2,82618510	12,75618375	13,55386623	12	46,1500	5,0	1,5
16312008	0,6196	12,08765038	46,78083491	11,98410995	3	6,1700	39,0	31,0
16326002	0,5635	2,77344146	9,76058739	12,92444491	12	30,2500	7,5	2,0
16345007	0,6176	2,87834948	10,08118882	14,37521904	5	10,8000	5,0	3,0
16395005	0,5500	3,15823817	15,84521421	11,37210019	7	6,8800	4,0	2,0
16401006	0,7143	1,55060779	2,50591430	13,44518017	18	38,3500	7,0	2,0
16402009	0,6667	1,50663544	2,19098143	12,68843493	20	57,3500	6,0	2,0
16404900	0,6667	1,50293083	2,28366248	12,96349169	30	96,4000	5,0	2,0
16407002	0,5833	1,46347886	2,09322210	14,78054774	29	83,2000	13,0	4,0
16408504	0,6667	1,70886272	2,68306259	13,55721564	42	121,0000	11,0	5,5
16425004	0,7500	1,38685192	1,85679612	12,74585258	18	19,4000	4,5	2,0
16527503	0,5357	1,81207675	4,58136579	12,63299169	1	3,4300	25,0	7,0
16602303	0,6667	1,16674263	1,37027995	14,30695949	59	37,4000	9,0	4,0
16603000	0,7321	1,17842071	1,34483783	14,64039358	119	37,2000	6,0	3,0
16605006	0,7321	1,17100787	1,32315584	15,39910606	116	35,0500	6,0	3,0
16607001	0,7500	1,20102215	1,35648755	14,08981509	54	97,3500	5,0	2,0

St_Nr	HQ10_20_t_cov_r_med	HQ10_20_rat_m_m_med	HQ10_20_rat_m_b_med	HQ10_20_hgx_med	HQ20_50_anzahl	HQ20_50_MQ_med	HQ20_50_Dauer_med	HQ20_50_t_p_a_med
16610709	0,6667	2,08708040	4,96735905	14,81676367	13	39,3000	5,0	1,0
16612001	0,5357	2,14681374	5,52428194	13,70798963	21	77,7000	6,0	2,0
16613004	0,6000	2,00462460	4,75579323	12,60479903	22	103,0000	5,5	1,5
16615203	0,5714	2,43596900	7,02531250	12,86272013	18	16,3000	5,0	2,0
16616002	0,4143	3,64773416	27,15861273	13,33746652	11	18,5000	7,0	1,0
16618008	0,5714	1,63296523	3,23569031	13,59072705	13	13,7000	15,0	2,0
16625003	0,5000	2,86748871	14,86338511	12,17570888	9	15,3000	6,0	2,0
16642002	0,5000	3,76739417	39,51712028	12,04941658	6	8,8250	6,0	2,0
16644050	0,5000	2,72734630	21,11990003	11,66164599	4	9,9750	9,5	3,5
16658002	0,6000	2,01677961	5,00622665	13,38394923	12	15,2000	5,5	2,0
16665008	0,7500	1,05737680	1,10496307	14,08343471	80	6,2500	5,0	2,0
16667604	0,5556	1,54844835	2,70910159	14,25711104	4	5,4200	5,0	3,0
16668800	0,5500	1,99206341	6,01351882	11,64442693	2	6,5950	10,5	3,5
16669009	0,5000	2,98600559	11,81208802	13,13214865	3	3,8400	41,0	30,0
16686008	0,6000	2,11263734	5,51711571	14,54219612	13	34,2000	6,0	2,0
16802007	0,7500	1,48274879	2,04319654	12,43745385	16	13,9500	5,0	2,0
16806008	0,5000	2,35966387	6,59235669	14,01161798	9	17,8000	4,0	1,0
16825002	0,6000	2,25324030	6,60632137	15,02768655	11	17,3000	6,0	2,0
16827008	0,6000	5,04796025	34,83565107	14,46775045	2	6,1150	19,5	15,0
16965001	0,5714	2,47069432	6,64242424	13,90315179	4	6,3700	5,5	2,0
17125006	0,5000	2,72578822	9,30000000	14,57376544	18	19,6000	8,5	2,0
17201501	0,6667	2,56063705	8,81987578	13,12510920	13	86,6000	5,0	2,0
17204204	0,6000	1,80257511	5,36281055	15,05767840	10	63,1000	6,0	3,0
17207508	0,5714	1,83026387	5,89619048	13,50402726	14	139,5000	9,0	2,5
17215007	0,6250	2,30131747	8,66807611	13,60848737	13	48,4400	5,0	2,0
17225000	0,5833	2,51060932	12,24215029	11,43036517	15	24,3000	5,0	2,0
17242000	0,5556	3,40205203	21,22261358	13,51871763	9	16,4000	21,0	17,0
17325005	0,6667	2,57324923	7,97253862	11,81708493	13	21,8000	4,0	2,0
17345002	0,5000	2,35836397	6,88968518	13,02456285	7	35,8000	10,0	2,0
17404000	0,6125	2,97351484	3,96170770	13,37770210	21	57,1000	19,0	9,0
17406005	0,5714	1,88538933	4,26877470	13,10062792	17	122,0000	10,0	2,0
17413000	0,6809	7,22420254	12,62998552	12,38170938	5	6,4600	25,0	13,0
17415006	0,5584	2,66615450	4,21943855	12,68807282	14	15,8000	22,5	14,0
17425000	0,5470	2,33438801	6,71384073	11,94052859	17	20,7000	6,0	2,0
17445007	0,5714	1,91554201	4,54715803	14,40143195	18	12,5000	8,5	2,5
17464001	0,6667	1,85104530	3,43434343	14,34617937	13	58,8000	7,0	2,0
17466007	0,5714	2,15822461	6,10263646	13,09306745	14	14,3500	12,0	2,0
17467000	0,6250	1,70099668	3,52277151	11,95219837	17	20,2000	8,0	2,0
17468002	0,6000	2,08254514	4,62765957	12,61372276	13	21,8000	12,0	2,0
18000403	0,7500	1,23687874	1,44697945	14,49218549	130	636,0000	5,0	3,0
18001508	0,7500	1,26044665	1,45194281	14,56065297	112	723,5000	4,0	2,0
18003004	0,7500	1,26353361	1,45808019	14,28612281	81	880,0000	5,0	2,0
18004007	0,6667	1,70211732	3,05116279	13,36907059	18	890,5000	9,0	3,5
18004506	0,6364	1,65858912	3,08523909	13,96149975	19	856,0000	8,0	3,0
18005000	0,7143	1,26174279	1,52297165	13,96053473	27	916,0000	6,0	4,0
18008008	0,7500	1,27850163	1,57009724	14,26913864	68	1965,0000	4,0	2,0
18182005	0,5000	2,85663147	8,23104693	12,06890607	21	31,2000	5,0	2,0
18193001	0,5357	2,74418879	11,27642276	13,31831613	16	20,9200	5,5	2,0
18194503	0,5000	2,72812086	12,59286478	14,57220140	2	4,6900	101,5	46,0
18196000	0,5000	3,01884556	10,63743148	15,88589934	8	13,2000	10,0	2,5
18199008	0,6667	1,26764057	1,55810277	12,76601769	3	7,4200	7,0	2,0
18202000	0,6000	1,53394256	3,06892382	13,35051961	25	42,0000	14,0	5,0

St_Nr	HQ10_20_t_cov_r_med	HQ10_20_rat_m_m_med	HQ10_20_rat_m_b_med	HQ10_20_hqx_med	HQ20_50_anzahl	HQ20_50_MQ_med	HQ20_50_Dauer_med	HQ20_50_t_p_a_med
18203003	0,5000	1,95341890	6,53950954	12,20300670	20	46,2500	12,0	3,0
18204006	0,5000	2,19195495	6,86312924	13,00268700	13	84,2000	10,0	2,0
18209000	0,5227	1,99542965	4,90974020	12,99072846	28	124,5000	14,0	3,0
18212004	0,5357	2,39140731	6,41498106	14,69233892	18	39,1500	7,0	2,0
18214000	0,6333	2,17790497	4,78678023	15,53300374	5	5,2900	5,0	1,0
18216005	0,5714	4,05134835	17,82396377	12,41952653	13	13,5000	7,0	3,0
18226009	0,5000	1,99906973	5,61435236	11,56124538	14	9,2350	10,5	2,0
18242005	0,6667	1,86463742	3,51053931	11,72284341	13	29,0000	6,0	2,0
18246006	0,6000	2,48608339	13,37958375	12,51900829	16	37,8500	7,0	2,0
18262002	0,6000	2,07688143	5,12442748	12,68549157	11	11,1000	5,0	2,0
18263005	0,6000	2,01175407	5,09485095	14,25710834	15	21,1000	6,0	2,0
18284504	0,4167	3,09261716	23,85861561	13,54758586	9	7,5900	15,0	3,0
18286000	0,6000	2,55621302	7,03125000	12,51172914	3	5,2900	6,0	1,0
18322002	0,5857	2,25940674	5,91242692	12,14368906	24	19,6000	6,0	2,0
18343002	0,6667	2,21034871	4,90476190	12,20925588	8	8,8700	6,0	2,0
18346000	0,6000	2,34823565	5,95567783	13,07348876	17	37,2000	7,0	2,0
18381500	0,7143	8,00638686	18,02147239	13,77036145	10	17,2105	11,0	5,5
18384509	0,5000	2,81498066	8,38006231	14,26294801	19	73,0000	6,0	2,0
18387008	0,6333	2,43297857	8,73616971	14,30789621	3	7,4400	3,0	1,0
18403002	0,6364	1,12510174	1,27116480	15,20776218	53	89,6000	9,0	5,0
18405008	0,6471	1,12393405	1,24392243	13,76817030	45	98,8000	9,0	5,0
18408200	0,4587	2,40353354	15,72665092	13,99679427	10	137,0000	20,5	3,5
18454003	0,6000	1,88420265	3,68443497	12,10956491	22	222,0000	5,5	2,0
18460403	0,6250	1,90136247	3,68925831	13,59360012	7	7,4500	4,0	2,0
18463004	0,5000	3,07560097	15,23112923	13,78411709	7	37,1000	14,0	2,0
18465600	0,5500	2,81800391	8,23159220	16,27155119	5	8,4200	5,0	2,0
18481006	0,5714	2,32335264	5,82962963	13,35513851	18	91,8500	5,5	1,5
18483500	0,6000	2,13320274	4,83777240	12,41705109	16	102,0000	6,0	2,0
18486000	0,6000	2,14657528	4,84314568	12,81260212	14	67,5000	6,0	1,0
18487501	0,5333	2,37056140	7,63463569	12,39196234	21	29,8000	6,0	2,0
18602009	0,7500	1,48729282	2,03715170	13,38950282	41	864,0000	5,0	2,0
18606000	0,7500	1,48201989	2,01041667	14,12477803	32	971,5000	5,0	2,0
18620500	0,7321	1,66264068	2,41053435	13,75458286	38	73,3000	6,5	2,5
18622006	0,6000	1,95753212	2,73343989	13,04602171	20	23,1500	16,0	7,0
18624001	0,6000	2,04846103	4,43758766	11,55294599	8	10,4500	6,0	2,0
18625004	0,6667	2,19092576	4,07932011	12,43745923	45	39,5000	13,0	9,0
18642003	0,6250	1,72188979	3,25119772	12,50471786	19	202,0000	6,0	2,0
18662000	0,5000	2,85421995	9,62483829	12,65335608	23	18,4000	7,0	2,0
18666001	0,5000	2,32158212	7,30434783	13,62094370	26	22,1000	10,0	3,0
18668007	0,6000	2,97461281	10,12520714	13,33634016	10	7,7800	11,0	2,0
18669000	0,4615	3,32863472	18,80304679	10,99750975	11	7,2900	4,0	1,0
18683000	0,6202	1,29532537	1,94831233	11,31482034	12	10,5000	9,0	3,5
18801005	0,6667	2,42236025	11,64254248	14,53680884	11	16,9000	5,0	2,0
18803805	0,5857	2,86623654	11,95255431	12,86803889	15	82,5000	6,0	2,0
18804706	0,5714	2,13007289	9,41832020	13,98992985	10	73,1000	6,5	2,5
18806406	0,5714	2,29092934	10,13013013	13,51018957	11	110,0000	7,0	3,0
18808004	0,5000	2,16161501	8,19618039	14,02415701	13	121,0000	9,0	3,0
18825003	0,5714	3,06347521	24,37923251	14,49213086	11	20,7000	7,0	2,0
18855004	0,6667	3,84086835	11,18552381	14,09815475	3	6,6100	186,0	176,0

St_Nr	HQ20_50_t_p_r_med	HQ20_50_d_rez_r_med	HQ20_50_t_cov_r_med	HQ20_50_rat_m_m_med	HQ20_50_rat_m_b_med	HQ20_50_hqx_med	cluster_k5	cluster_k6
105	0,3000	0,7000	0,4714	2,53979517	7,56484588	27,23279064	3	6
120	0,3529	0,6471	0,5294	1,95127870	4,04240715	28,98861530	4	1
125	0,4545	0,5455	0,6000	1,56252940	2,60391643	28,88151800	1	2
129	0,3333	0,6667	0,5250	2,13546218	4,94770417	28,31052764	4	1
139	0,4143	0,5857	0,5357	2,64934820	8,32103093	26,32859152	4	1
144	0,3333	0,6667	0,5714	1,72525939	3,51676034	27,41112719	4	1
162	0,2917	0,7083	0,5278	1,66542720	3,77071189	34,69394920	4	1
168	0,3333	0,6667	0,5083	2,37749396	7,21448598	27,10104789	3	6
173	0,3333	0,6667	0,6000	2,45410668	6,61267481	30,00946325	4	1
177	0,3095	0,6905	0,5167	2,44570851	7,08640337	26,52919951	4	1
192	0,2500	0,7500	0,5625	2,24411147	7,35977782	29,11812537	3	6
194	0,2929	0,7071	0,4330	3,29771050	12,74984584	27,22019878	3	4
1101	0,2857	0,7143	0,4286	2,82480150	9,74437242	29,86954925	3	6
1111	0,3333	0,6667	0,5714	2,11664507	5,43966761	24,86626165	4	1
1120	0,2188	0,7813	0,4773	2,05434073	6,12919978	28,68258179	4	1
1131	0,4857	0,5143	0,7124	1,44387252	1,93058636	25,98755879	1	3
1139	0,3485	0,6515	0,5000	2,67373058	10,09070302	35,88809400	3	6
1140	0,2540	0,7460	0,5857	2,56290872	8,02817773	28,70731863	3	6
1155	0,2000	0,8000	0,4667	1,75942160	4,36772047	30,83104567	4	1
200378	0,5000	0,5000	0,6250	1,96554304	4,00545854	31,57148203	1	2
201012	0,5926	0,4074	0,6667	1,67379573	2,83375629	25,11687966	1	3
201087	0,5000	0,5000	0,6667	1,73832620	2,76299661	25,61777466	1	2
201095	0,5000	0,5000	0,7500	1,42400000	1,95843521	26,02362161	1	3
201111	0,3333	0,6667	0,5714	2,25335320	5,82733813	24,53126959	4	1
201178	0,5470	0,4530	0,6667	1,29366101	1,64817302	28,94752362	1	3
201194	0,6190	0,3810	0,7500	1,25668589	1,50682618	27,40157600	1	3
201350	0,6154	0,3846	0,7500	1,31016043	1,68645558	28,66231859	1	3
201392	0,5789	0,4211	0,6364	1,46307956	2,31007242	31,86438839	1	3
201434	0,6316	0,3684	0,7500	1,29457553	1,52605042	30,30447851	1	3
201459	0,5714	0,4286	0,7500	1,20356145	1,37367130	29,95095974	1	3
201525	0,6154	0,3846	0,7500	1,19337017	1,35761589	30,15049698	1	3
201574	0,3980	0,6020	0,5714	1,55384017	2,27997951	28,02740929	4	2
201624	0,4706	0,5294	0,6000	1,62209302	2,10194015	26,23459359	1	2
201681	0,5000	0,5000	0,7500	1,18320387	1,31512450	29,21288300	1	3
201772	0,6667	0,3333	0,6364	1,78616913	3,22777387	25,68273133	1	3
201780	0,5429	0,4571	0,6275	1,65335463	2,62886598	28,33892103	1	3
201806	0,5714	0,4286	0,7500	1,16989882	1,28679465	28,31177759	1	3
201822	0,3529	0,6471	0,5714	2,72691614	8,81844380	27,82022261	4	1
201863	0,5000	0,5000	0,7333	1,78525226	2,84803401	29,01561434	1	2
201889	0,5714	0,4286	0,7143	1,23248707	1,48023952	28,13604870	1	3
201913	0,5000	0,5000	0,6099	2,00168281	4,35939052	25,74861234	4	2
201921	0,4365	0,5635	0,5883	2,37352383	5,45382581	26,80420963	4	1
201939	0,3923	0,6077	0,6125	2,06615708	5,02679783	30,85049234	4	1
202036	0,6000	0,4000	0,7143	1,34488196	1,63281781	28,90957247	1	3
203026	0,5000	0,5000	0,7500	1,60650407	2,59805825	26,26833068	1	3
203034	0,7361	0,2639	0,6754	2,16895335	3,24704603	28,69342736	1	3
203075	0,5371	0,4629	0,6000	1,88988095	3,04012407	33,77931924	1	3
203265	0,3667	0,6333	0,5857	2,20207531	5,88163887	29,71723192	4	1
203307	0,3333	0,6667	0,5714	2,54947614	7,48019017	28,40696567	4	1

St_Nr	HQ20_50_t_p_r_med	HQ20_50_d_rez_r_med	HQ20_50_t_cov_r_med	HQ20_50_rat_m_m_med	HQ20_50_rat_m_b_med	HQ20_50_hqx_med	cluster_k5	cluster_k6
203323	0,5000	0,5000	0,6667	1,40853659	1,80412371	28,88755039	1	2
203463	0,5000	0,5000	0,6000	1,62808297	3,70196117	24,53142212	4	2
203521	0,3095	0,6905	0,5714	2,21454825	5,11040139	27,31466125	4	1
203539	0,5000	0,5000	0,7143	1,54268023	2,33363069	24,48812785	1	2
203570	0,2857	0,7143	0,5357	2,40636848	6,39923381	28,54327159	4	1
203711	0,5000	0,5000	0,6667	1,48293642	2,11372200	33,75892832	1	2
204677	0,3488	0,6512	0,5313	1,91500807	3,25367647	29,37528112	4	1
204719	0,3333	0,6667	0,5455	2,51272787	11,39664804	25,88996695	4	6
204750	0,2500	0,7500	0,5000	2,73710535	11,77814029	27,98559509	3	6
204784	0,1667	0,8333	0,4286	3,19035262	32,94044665	24,24957215	2	4
204834	0,3333	0,6667	0,6077	2,31281280	8,24895544	26,63930269	4	1
204867	0,2500	0,7500	0,5000	3,05249228	14,95356037	27,73634191	3	6
204933	0,2500	0,7500	0,6000	1,91331680	3,87839613	25,85085200	4	1
205013	0,2500	0,7500	0,5000	2,85858416	13,21772640	26,16227460	3	6
205047	0,2111	0,7889	0,4500	3,08464840	25,08283479	37,15281579	2	6
205054	0,2000	0,8000	0,5000	2,85456667	19,07940447	25,14088785	3	4
205153	0,3333	0,6667	0,6000	1,77766756	3,15523060	25,45764461	1	2
205187	0,2679	0,7321	0,5227	2,30687856	7,86206885	28,77828677	3	6
205294	0,2566	0,7434	0,4482	3,05374430	9,47286053	33,15305331	3	6
205377	0,3030	0,6970	0,5357	2,39011998	8,03328138	33,25008136	4	6
205419	0,2857	0,7143	0,5000	2,42400923	7,98333333	28,28104917	4	6
205450	0,2917	0,7083	0,5192	1,97717951	4,81669808	31,82026503	4	1
205518	0,2679	0,7321	0,5714	2,31436216	5,74058387	35,48896582	4	6
205633	0,6250	0,3750	0,6667	5,98542096	9,93372011	28,74970595	1	3
205641	0,3333	0,6667	0,5500	3,05396166	15,05143928	31,64844113	3	6
205658	0,3333	0,6667	0,5500	2,64838763	11,28925477	29,50166598	4	6
205740	0,2857	0,7143	0,5000	3,07832769	14,70433640	28,36610974	3	6
205757	0,3333	0,6667	0,6125	1,90200002	4,00984356	30,51911126	4	2
205799	0,3333	0,6667	0,5714	2,33623775	5,22331288	30,65391780	1	2
205831	0,3095	0,6905	0,5505	2,22742795	6,54259819	31,26390137	4	1
205856	0,2000	0,8000	0,4444	3,07923717	12,34646787	27,63475666	3	4
205864	0,3095	0,6905	0,5857	2,11263848	5,54263504	27,01655770	4	1
205898	0,2500	0,7500	0,5000	2,71552484	10,57195580	26,76721460	3	6
205914	0,2500	0,7500	0,5714	2,14937759	5,96541787	28,05425114	4	1
205922	0,4000	0,6000	0,6667	1,91396934	3,99004975	26,02799296	1	2
205997	0,2361	0,7639	0,5000	2,30860359	6,42203612	30,89368982	3	6
206029	0,2000	0,8000	0,4348	2,67245658	9,80198020	34,44725802	3	6
206169	0,2679	0,7321	0,6000	2,49876873	13,90899626	27,49292095	2	6
206201	0,5000	0,5000	0,7500	1,32419123	1,69318014	27,2944601	1	3
206268	0,5000	0,5000	0,7500	2,77855608	12,07278481	30,98127864	2	6
206409	0,4000	0,6000	0,6000	1,69284218	3,00825947	30,55765016	4	2
206581	0,1818	0,8182	0,4083	2,53108485	8,52552922	28,19432449	3	4
206599	0,3333	0,6667	0,6000	2,72258694	10,80585821	37,77181425	2	6
207324	0,4286	0,5714	0,6190	1,53353321	2,36040707	27,80769182	1	3
207357	0,5000	0,5000	0,6667	1,31947249	1,71913791	27,57464904	1	3
207654	0,3333	0,6667	0,5000	2,83734203	8,23293173	31,54658241	3	6
207688	0,2857	0,7143	0,5000	2,21233230	10,46425255	28,03019844	3	6
207696	0,5000	0,5000	0,6667	3,66595136	14,18952661	25,04690828	2	5
207803	0,2614	0,7386	0,5000	2,31467675	7,16368798	27,74012284	3	6
207811	0,3819	0,6181	0,4722	2,81865554	10,28791334	22,09744956	3	6
207837	0,1181	0,8819	0,3333	3,71220902	21,70368019	29,90073346	3	4
207852	0,2250	0,7750	0,4143	3,50732656	15,44725408	23,60646737	3	6

St_Nr	HQ20_50_t_p_r_med	HQ20_50_d_rez_r_med	HQ20_50_t_cov_r_med	HQ20_50_rat_m_m_med	HQ20_50_rat_m_b_med	HQ20_50_hqx_med	cluster_k5	cluster_k6
207878	0,2250	0,7750	0,5000	2,38229704	7,53951446	29,43891523	3	6
207894	0,2500	0,7500	0,5000	2,41326817	6,39285714	26,24780054	4	1
207910	0,2857	0,7143	0,4400	2,71720724	10,63701263	26,24728137	3	6
207944	0,2000	0,8000	0,3667	2,63970285	11,47292053	37,00162026	3	6
207951	0,2500	0,7500	0,4495	2,52699011	10,98581383	28,44694993	3	6
207993	0,2308	0,7692	0,4500	2,01036360	6,67944251	33,11889490	3	6
208009	0,2800	0,7200	0,4286	7,36150700	29,07195351	32,84237369	2	4
208017	0,2361	0,7639	0,4745	3,21861158	13,29663662	33,50662051	3	6
208041	0,4167	0,5833	0,6500	2,57956573	6,30655745	21,55976170	3	6
208058	0,2929	0,7071	0,4643	2,51762189	10,85943575	41,53014598	4	1
208090	0,1938	0,8063	0,4000	4,26279888	28,55052890	34,18527014	3	4
208116	0,2159	0,7841	0,3971	3,33219543	12,39504222	37,17083443	3	4
208124	0,5000	0,5000	0,6667	2,13792169	5,52776083	28,31681012	4	6
208157	0,2654	0,7346	0,5500	2,24540791	7,42201710	26,54695994	4	1
208272	0,1789	0,8211	0,4226	2,61097828	8,99051724	26,93410402	3	6
208280	0,1821	0,8179	0,3786	2,15267269	13,50727650	28,23304569	3	1
208611	0,1833	0,8167	0,4935	3,32383579	17,65845301	34,17376265	3	4
208629	0,2049	0,7951	0,4641	2,27924284	8,88841434	27,37037321	3	6
209189	0,5000	0,5000	0,6667	1,91890701	4,65336658	25,52203025	1	2
209338	0,1667	0,8333	0,3333	3,42846378	18,92055791	23,38823363	3	4
209361	0,2111	0,7889	0,4444	2,93008500	10,26395534	33,42633002	3	6
209486	0,4092	0,5908	0,4300	6,06919241	46,39148757	34,13455236	2	4
210641	0,5000	0,5000	0,6667	1,51080632	2,16300692	30,79232147	1	3
341000	0,2000	0,8000	0,5500	2,12656025	5,79157282	27,64205435	3	6
343000	0,3152	0,6848	0,5227	2,12284962	4,77613724	24,10928030	3	6
344000	0,2917	0,7083	0,6250	1,61454881	3,24549350	25,20065464	3	6
345000	0,4167	0,5833	0,5625	2,13746592	4,39916056	28,22904036	3	6
348000	0,2000	0,8000	0,5000	2,59259259	7,41525424	42,71121648	4	1
353000	0,2053	0,7947	0,4110	2,58921464	9,65267646	30,13961957	3	6
354000	0,2078	0,7922	0,4286	2,81325383	10,57436150	25,44470290	3	6
355000	0,3095	0,6905	0,5150	2,39269685	6,49214486	34,34205440	4	1
356000	0,1526	0,8474	0,2932	4,54754671	22,73909511	31,95849243	3	4
357000	0,4112	0,5888	0,5556	3,31219309	9,76952080	23,86731151	2	4
359000	0,2308	0,7692	0,4545	2,51733881	11,41838352	31,15091834	3	6
360000	0,2500	0,7500	0,4286	2,47129736	8,90337079	25,69124705	3	6
362000	0,1667	0,8333	0,4808	2,33069608	7,25342434	24,13355805	3	6
363000	0,2625	0,7375	0,4649	2,11812964	7,36105040	21,40644738	3	6
364000	0,2438	0,7563	0,4808	2,19606516	14,27509147	23,44983713	3	4
366000	0,2500	0,7500	0,5000	2,48375888	7,72757040	38,90959672	3	6
367000	0,3333	0,6667	0,5455	1,95732527	4,83527542	26,95139374	4	1
370000	0,3333	0,6667	0,5385	3,04719501	13,49315068	31,91998817	2	6
379000	0,3333	0,6667	0,5000	2,56463023	10,39790153	26,16527862	2	4
380000	0,3030	0,6970	0,3478	3,70504104	31,55599604	44,26192548	2	4
382000	0,2903	0,7097	0,4444	3,55138548	17,92268645	33,37148628	3	4
383000	0,2000	0,8000	0,3000	5,17039711	59,18181818	32,06985296	2	4
386000	0,2105	0,7895	0,4000	3,28127248	15,25912297	34,48804721	3	4
387000	0,2500	0,7500	0,4000	3,80752670	30,34313725	32,39676171	3	4
387500	0,1200	0,8800	0,2800	3,79220138	15,45987234	32,33379053	2	4
388000	0,2308	0,7692	0,3846	3,31432488	20,68155112	35,49251157	3	6
389000	0,2500	0,7500	0,4667	2,52783235	12,03271028	27,90204992	3	6
389500	0,3905	0,6095	0,5000	2,78832196	28,28034597	34,04595344	2	4
390000	0,3750	0,6250	0,5000	2,44057725	8,59574468	25,46486001	3	6

St_Nr	HQ20_50_t_p_r_med	HQ20_50_d_rez_r_med	HQ20_50_t_cov_r_med	HQ20_50_rat_m_m_med	HQ20_50_rat_m_b_med	HQ20_50_hqx_med	cluster_k5	cluster_k6
393000	0,3077	0,6923	0,5000	1,93591455	5,48319328	32,47394411	3	6
394000	0,1429	0,8571	0,4375	3,38262703	56,60649819	29,63629142	2	4
396000	0,3167	0,6833	0,4222	2,34216444	11,32887701	27,84300398	3	4
397000	0,3000	0,7000	0,5349	2,16572610	10,48319789	35,05057928	3	6
400000	0,4375	0,5625	0,6250	1,84774180	4,76376530	31,12427067	3	6
401000	0,3333	0,6667	0,5000	3,14614982	12,49514563	20,04388656	3	6
402000	0,6602	0,3398	0,5530	10,49372103	9,50225940	35,80933052	5	5
403000	0,3542	0,6458	0,5420	1,78911817	4,92476406	26,87533868	4	1
405000	0,2000	0,8000	0,3333	4,45038314	28,14406041	24,23044733	3	4
407000	0,5000	0,5000	1,0000	2,31680741	6,78229665	22,83944999	2	6
410000	0,4000	0,6000	0,6000	2,39978621	16,62994350	25,87380085	2	4
412000	0,4000	0,6000	0,5714	3,31033051	15,15437393	47,31966379	2	4
413000	0,3077	0,6923	0,5000	1,84453887	4,68593994	29,43945771	4	1
414000	0,2500	0,7500	0,5000	3,01799187	11,81614350	33,50716361	3	4
414700	0,3875	0,6125	0,5500	3,07310854	14,72986434	30,32370575	2	4
415000	0,2868	0,7132	0,3640	4,57149258	37,16941925	28,37818553	2	4
418000	0,2308	0,7692	0,4286	3,20828755	18,37386018	32,63438682	3	4
421500	0,3333	0,6667	0,5000	1,87881253	4,45756458	26,83883085	4	1
422000	0,1056	0,8944	0,3324	2,93750542	17,96661995	21,95345639	3	4
423000	0,3095	0,6905	0,5635	2,69103354	9,64393939	29,81998830	3	4
429000	0,2000	0,8000	0,5000	2,30660438	7,84241532	26,42371015	3	6
430000	0,2475	0,7525	0,4365	2,63076900	9,06694459	23,78628659	3	6
431000	0,2917	0,7083	0,3542	2,87759040	12,34400738	29,87659654	3	4
432000	0,2000	0,8000	0,4000	2,75871055	13,60004372	28,54999570	3	4
435000	0,2069	0,7931	0,4286	1,97889182	17,22960834	26,25011133	3	6
436500	0,3004	0,6996	0,5090	1,54477602	12,47154806	27,54987546	5	5
437000	0,4196	0,5804	0,5584	1,72292764	3,96796488	23,36648307	4	1
438000	0,4130	0,5870	0,4170	5,92334753	62,23771224	23,90935094	2	4
439000	0,1818	0,8182	0,4545	2,62681712	11,98824682	26,40077215	3	4
440000	0,2188	0,7813	0,4192	2,03716170	6,44202497	47,65794371	3	6
441000	0,1870	0,8130	0,4384	2,34490539	7,98846897	33,42124390	3	6
441400	0,5714	0,4286	0,6429	4,27987588	21,80991736	23,41991708	2	4
441500	0,1951	0,8049	0,4308	2,71562117	8,20448033	24,42588774	3	6
442000	0,2692	0,7308	0,4430	2,70611525	9,12895772	31,47185555	3	6
444000	0,1905	0,8095	0,3784	2,64970881	19,53196824	21,23950752	3	4
445000	0,3333	0,6667	0,5556	1,84558597	5,27397260	31,76271605	4	2
445100	0,0952	0,9048	0,3095	3,51849597	25,20454336	24,15427840	3	4
446000	0,2788	0,7212	0,4442	2,49153280	9,95309907	34,16193295	3	6
447000	0,3063	0,6938	0,5000	2,15358587	5,67544483	30,24219475	3	6
448000	0,2500	0,7500	0,5000	2,08052709	6,93981758	33,61866127	4	1
452000	0,4500	0,5500	0,6125	2,05668135	4,54680905	27,38983009	4	1
453000	0,2250	0,7750	0,5045	2,63133288	17,21549619	24,66259155	3	6
454000	0,4167	0,5833	0,6667	2,00579452	4,49943757	25,18073073	4	6
455000	0,7278	0,2722	0,6861	4,03331995	63,57455479	27,68287831	2	4
455100	0,1721	0,8279	0,2532	4,69757504	73,08216693	44,98242976	3	4
456000	0,1818	0,8182	0,3636	2,86852590	10,02708396	31,46887364	3	4
457000	0,2792	0,7208	0,4773	2,31012479	9,04532546	27,09477458	3	6
458000	0,2667	0,7333	0,5833	1,79014511	3,76847418	24,28407999	3	6
459000	0,1333	0,8667	0,2667	4,26438439	22,55313566	21,83883803	3	4
461000	0,2857	0,7143	0,4324	2,16874654	9,09644052	25,79452821	3	6
462000	0,3583	0,6417	0,5635	1,72700501	3,82259675	26,31265820	4	1
463000	0,4000	0,6000	0,6000	2,35992579	5,88888889	29,47071293	3	6

St_Nr	HQ20_50_t_p_r_med	HQ20_50_d_rez_r_med	HQ20_50_t_cov_r_med	HQ20_50_rat_m_m_med	HQ20_50_rat_m_b_med	HQ20_50_hqx_med	cluster_k5	cluster_k6
465000	0,2516	0,7484	0,4725	1,97764796	5,43597382	23,42642082	3	6
469000	0,2361	0,7639	0,4676	2,21274286	5,62853230	26,11145586	3	6
470000	0,2500	0,7500	0,4667	2,24860162	7,08370044	28,20610314	3	6
471000	0,8333	0,1667	0,7500	5,07571509	4,71935242	26,93756304	5	5
472000	0,2917	0,7083	0,4688	2,31036586	7,66301777	33,56313144	3	6
473000	0,3185	0,6815	0,5000	2,30306210	7,48154899	24,44549954	3	6
474000	0,3997	0,6003	0,4269	3,05193902	8,18374363	31,49208926	3	6
476000	0,1548	0,8452	0,4158	2,89924663	12,68815543	31,58821895	3	6
477000	0,2689	0,7311	0,5000	2,30947476	8,21774935	24,85317782	3	6
483100	0,2857	0,7143	0,4286	2,50955911	18,56200528	25,71361708	2	4
484000	0,4000	0,6000	0,6000	2,36913603	7,40676796	28,28625005	2	4
486000	0,2500	0,7500	0,7500	1,74508790	4,51505017	49,76788176	3	6
6142150	0,3798	0,6202	0,5670	1,50186611	2,76183841	31,10499635	4	2
6142200	0,5000	0,5000	0,7143	1,25828605	1,48870432	33,11896012	1	3
6242030	0,1818	0,8182	0,4615	2,65724464	9,49720670	29,18726612	3	6
6242070	0,2727	0,7273	0,5000	2,02871298	5,15582917	29,94908882	3	6
6242120	0,2500	0,7500	0,4514	3,21558985	12,31510064	25,07178595	3	6
6242130	0,4000	0,6000	0,6000	2,63284947	9,16645932	34,09294528	4	2
6242240	0,3333	0,6667	0,5000	2,53860341	9,40949936	26,22425378	4	6
6242280	0,3750	0,6250	0,5556	1,80978763	3,56670556	30,02031033	4	2
6242281	0,2917	0,7083	0,5000	2,34556324	6,63773290	28,13601076	4	1
6242290	0,5000	0,5000	0,6905	1,38799954	1,84853348	30,20942210	1	3
6242300	0,4286	0,5714	0,7143	1,33778002	1,79702862	28,24038695	1	3
6242310	0,4783	0,5217	0,5217	3,90617989	14,42697689	22,67229540	2	4
6242600	0,2727	0,7273	0,6000	1,95162120	5,21996449	28,31756954	4	1
6242610	0,4000	0,6000	0,5278	1,89427923	5,09877362	28,79642446	4	1
6242613	0,4000	0,6000	0,6667	1,35149628	2,04525807	29,99155694	1	2
6242615	0,3333	0,6667	0,5455	1,63580109	4,53261126	26,94771184	4	1
6242620	0,4143	0,5857	0,6125	1,56809288	2,96194178	28,75260908	4	2
6242621	0,3667	0,6333	0,5857	2,72503913	12,94122851	32,68521614	4	1
6242700	0,5000	0,5000	0,7500	1,30955886	1,62399012	29,06043570	1	3
6242933	0,3095	0,6905	0,6333	1,81806279	3,42408318	25,39137830	4	1
6243220	0,5714	0,4286	0,6429	2,61089938	4,83502538	29,10402969	1	3
6243230	0,3415	0,6585	0,5517	2,10553566	5,08182963	28,25110686	4	1
6243235	0,2614	0,7386	0,5000	2,12277731	6,84922938	26,27427222	4	1
6243240	0,4000	0,6000	0,6667	2,04537205	3,90891841	27,95266521	1	2
6243245	0,5000	0,5000	0,6471	1,83958952	2,57954545	29,97814051	1	2
6243270	0,5000	0,5000	0,7386	1,40358920	1,88614216	26,54125025	1	3
6243350	0,4966	0,5034	0,6092	1,45287522	2,26706922	35,30581214	1	3
6243355	0,5000	0,5000	0,7500	1,22265710	1,35782724	31,07869089	1	3
6243360	0,5000	0,5000	0,6833	1,62303540	2,40539270	28,10142539	1	3
6243410	0,5714	0,4286	0,6429	1,43761487	2,06463759	28,40917317	1	3
6243450	0,6000	0,4000	0,6667	1,47461078	2,34434966	26,26824915	1	3
6243810	0,2222	0,7778	0,5000	2,98778935	26,12244898	28,18688416	2	4
6243830	0,2500	0,7500	0,4231	3,39341504	26,20638456	29,40255404	2	4
6246632	0,5000	0,5000	0,7000	1,49445175	2,13127413	27,98383070	1	3
6342050	0,2697	0,7303	0,4564	2,31692771	8,75764537	25,32527187	3	6
6342081	0,2250	0,7750	0,5000	2,56194686	10,36090324	33,11739424	3	6
6342100	0,3333	0,6667	0,6125	1,98406187	4,48196528	27,44030466	4	2
6342130	0,3333	0,6667	0,5000	2,53999526	10,77785212	31,39935649	4	1
6342540	0,3167	0,6833	0,5000	3,48786192	16,67430633	24,39666534	3	6
6342675	0,5000	0,5000	0,7083	2,61328640	12,64045878	33,75746450	4	1

St_Nr	HQ20_50_t_p_r_med	HQ20_50_d_rez_r_med	HQ20_50_t_cov_r_med	HQ20_50_rat_m_m_med	HQ20_50_rat_m_b_med	HQ20_50_hqx_med	cluster_k5	cluster_k6
6342800	0,5000	0,5000	0,6667	1,28341519	1,61013259	26,95324876	1	3
6342900	0,5000	0,5000	0,7143	1,23556231	1,49400000	30,33294895	1	3
10026301	0,4286	0,5714	0,6667	1,48169736	2,37083076	30,10019518	1	2
10035801	0,4000	0,6000	0,6000	1,73341549	2,79827304	27,28610346	1	2
10039802	0,5000	0,5000	0,6667	1,44601515	2,01253136	27,42851265	1	2
10046105	0,5000	0,5000	0,6667	1,37267363	1,79240506	29,17563973	1	3
10053009	0,5000	0,5000	0,6667	1,38004814	1,78911565	28,60010836	1	3
10056302	0,5000	0,5000	0,6667	1,36066514	1,77078751	28,07925650	1	3
11401009	0,4286	0,5714	0,6250	2,14911117	5,05263158	29,20466008	4	1
11402001	0,3333	0,6667	0,6000	2,16785754	5,03862342	27,92076764	4	1
11405000	0,3481	0,6519	0,5714	2,02930696	4,86005063	29,91058577	4	1
11411104	0,4000	0,6000	0,6667	1,87116564	3,33333333	25,26378768	4	2
11415008	0,5000	0,5000	0,7321	1,64461136	2,51959916	26,79897254	1	3
11425200	0,3333	0,6667	0,6000	2,10683477	4,83333333	24,31349410	4	1
11427603	0,4000	0,6000	0,6667	2,83315845	13,33112253	29,85110813	2	5
11432002	0,6872	0,3128	0,6400	7,02658526	14,78213195	25,53344841	5	5
11434008	0,4365	0,5635	0,6000	3,15416533	11,69808927	25,09657448	2	6
11445004	0,2500	0,7500	0,4118	3,86749552	20,61224490	22,32356970	3	4
11455201	0,3333	0,6667	0,5000	3,26141323	20,78762307	31,00936747	2	4
11465001	0,2857	0,7143	0,5000	3,12464101	13,74094589	32,22143184	3	6
11495002	0,4500	0,5500	0,7083	1,55646061	2,05448429	26,85068405	1	2
11548007	0,3667	0,6333	0,5500	2,27604737	6,05203343	31,41934151	4	1
11582300	0,3333	0,6667	0,5000	2,21420644	6,16666667	37,05650554	4	1
11583303	0,3333	0,6667	0,5635	2,38366594	6,36435242	34,24103457	4	1
11584000	0,3333	0,6667	0,5714	2,22154595	5,87985155	29,35416300	4	1
11605009	0,5000	0,5000	0,7500	1,46640827	1,89561587	26,63764103	1	3
11605202	0,2500	0,7500	0,5000	2,57130447	7,80806142	27,00772766	4	6
11609000	0,4000	0,6000	0,6333	1,86545941	3,66576988	27,55030558	1	2
11649004	0,3333	0,6667	0,7500	1,58788774	2,81694313	28,83373255	1	2
11723504	0,5000	0,5000	0,6667	1,17963381	1,30506748	29,03302593	1	3
11744005	0,3750	0,6250	0,5000	2,02478249	4,30834213	33,75224416	4	1
11802509	0,2429	0,7571	0,5000	3,03329002	19,74973563	36,63076447	2	4
11805008	0,2857	0,7143	0,5000	2,71256416	13,11913067	24,66493458	3	6
11808006	0,2265	0,7735	0,4545	2,58860502	12,30093677	28,07526478	3	6
11864007	0,4365	0,5635	0,5714	1,92216274	5,43930509	31,98028766	3	6
11921701	0,4000	0,6000	0,6000	2,33463035	6,64304694	25,83998225	4	1
11924007	0,4000	0,6000	0,6000	1,88915648	5,07806523	29,23719380	1	2
11942009	0,4000	0,6000	0,6000	2,78644432	11,41004862	40,05626012	4	1
11944004	0,4722	0,5278	0,6667	2,29238419	7,06185923	27,83483162	1	2
11946000	0,4000	0,6000	0,6667	2,35229211	7,25761773	29,88929997	1	2
12002009	0,5000	0,5000	0,6667	1,84690541	2,89062500	28,96534890	1	3
12003001	0,4000	0,6000	0,6667	1,64969088	2,67473183	29,53503322	1	2
12003500	0,4000	0,6000	0,6667	1,53900211	2,43807040	30,59035872	1	2
12006000	0,4222	0,5778	0,6667	1,73778696	3,10501443	32,90468154	1	2
12313009	0,3333	0,6667	0,5556	1,91689664	5,98455598	31,82377619	4	1
12335001	0,3333	0,6667	0,5000	3,02433015	13,05963303	31,87281018	3	6
12401004	0,3889	0,6111	0,5000	3,16492321	12,04588910	33,76516722	3	6
12402007	0,3333	0,6667	0,6000	2,75821596	10,13636364	26,43002162	4	6
12404002	0,4702	0,5298	0,5539	2,02336639	7,89603212	29,59230554	4	1
12404705	0,3000	0,7000	0,5000	2,29226146	8,50814664	25,69277755	3	6
12405005	0,3333	0,6667	0,5000	2,38034052	7,86838659	23,23896467	3	6
12406008	0,3333	0,6667	0,5000	2,36461794	7,10227273	26,99735123	4	6

St_Nr	HQ20_50_t_p_r_med	HQ20_50_d_rez_r_med	HQ20_50_t_cov_r_med	HQ20_50_rat_m_m_med	HQ20_50_rat_m_b_med	HQ20_50_hqx_med	cluster_k5	cluster_k6
12412000	0,3631	0,6369	0,5000	3,15508915	15,48324938	30,00555994	2	6
12418007	0,3333	0,6667	0,5000	3,49007234	24,41453567	26,77220776	2	4
12425002	0,2500	0,7500	0,4658	3,10607946	13,05555556	24,10885599	3	4
12445000	0,8333	0,1667	0,6040	7,79786087	13,44045369	27,65358158	5	5
12465007	0,4000	0,6000	0,6000	1,69570011	3,09581320	41,95177857	4	1
12483009	0,5000	0,5000	0,7500	1,40288150	1,81239504	25,43884167	1	3
13124001	0,4000	0,6000	0,6667	1,73565574	3,18918919	34,94527727	1	2
13202003	0,4000	0,6000	0,6000	1,97916667	4,24778761	27,88058556	4	2
13206004	0,5000	0,5000	0,6667	1,48416418	2,49072602	34,73300055	1	3
13208000	0,5556	0,4444	0,6667	1,63158240	3,16835293	26,22969476	1	3
13217000	0,4000	0,6000	0,6000	3,03968477	11,51563753	42,08196052	1	2
13242008	0,2000	0,8000	0,4000	2,98323036	7,96418473	21,53579131	3	6
13242507	0,4286	0,5714	0,5714	1,90115274	3,95088968	25,83563950	1	2
13321002	0,9180	0,0820	0,6879	14,52627092	18,14823689	25,21779567	5	5
13322005	0,5357	0,4643	0,6905	2,17626430	5,70373935	30,28801154	1	3
13400903	0,3095	0,6905	0,4353	4,91991702	41,39754222	37,95594995	2	4
13402807	0,3667	0,6333	0,5857	2,34354527	9,57286140	34,91747258	2	6
13405408	0,3333	0,6667	0,4444	2,20033731	5,49532710	28,57269920	4	1
13406105	0,4365	0,5635	0,6667	1,72997878	3,18922265	28,46155924	4	1
13407200	0,5556	0,4444	0,6667	1,63001064	2,39046243	24,95421303	1	3
13424901	0,2105	0,7895	0,4444	3,59730455	14,54918033	27,62613068	3	6
13450300	0,2500	0,7500	0,5000	1,70745659	5,80315917	39,05901290	4	1
13465002	0,2308	0,7692	0,4027	3,42588065	16,58275231	28,78091276	3	6
13922002	0,2941	0,7059	0,4706	2,34381026	7,24968314	35,89643912	4	1
13926207	0,4000	0,6000	0,6667	1,59919028	2,78637771	37,04429906	1	2
14002305	0,5000	0,5000	0,5769	1,94825157	5,46780073	35,10225445	4	1
14006000	0,4605	0,5395	0,4932	2,27517074	5,03632257	33,21990242	4	1
14008006	0,5000	0,5000	0,6000	1,58319871	3,01544297	26,12626384	1	2
14101205	0,2361	0,7639	0,5167	2,32593963	7,03565892	29,30442184	3	6
14107008	0,2500	0,7500	0,6667	1,80777696	4,67848101	25,33442784	4	1
14114003	0,2500	0,7500	0,5000	1,88095414	4,97861420	31,52177690	4	1
14201006	0,7107	0,2893	0,6346	3,73910682	7,18580882	33,93433957	2	5
14209008	0,3875	0,6125	0,5455	1,93426724	5,10507874	28,94242951	4	1
14244803	0,3333	0,6667	0,5455	2,61179829	10,66756575	30,69239788	3	6
14362005	0,3750	0,6250	0,5455	2,00986376	4,74838710	29,12144106	4	1
14364000	0,3798	0,6202	0,5394	2,05823754	5,09103393	31,73882601	4	1
14402008	0,3333	0,6667	0,6667	2,40852246	5,17598344	35,15019706	4	6
14402507	0,3333	0,6667	0,5000	1,64143489	3,54716981	41,10255906	4	1
14405200	0,4500	0,5500	0,5714	2,13964135	4,72971406	29,65007239	4	1
14406508	0,5000	0,5000	0,6667	1,24777662	1,50187735	26,32867385	1	3
14408004	0,5000	0,5000	0,6667	1,36027600	1,74193548	33,98474887	1	2
14425003	0,3667	0,6333	0,5857	2,60920133	6,72888374	23,55388028	4	1
14426006	0,2143	0,7857	0,5000	1,44022636	3,94175084	35,19348395	3	1
14465008	0,4451	0,5549	0,5813	2,44444648	6,62107843	31,38713495	4	6
14486008	0,2000	0,8000	0,4483	2,54496098	6,71232877	26,41605531	4	1
14602007	0,4000	0,6000	0,7500	2,00041894	4,88933602	25,24100049	4	1
14604002	0,3333	0,6667	0,5556	2,24478670	6,45076008	36,09451462	4	1
14606008	0,3875	0,6125	0,6000	1,78829342	3,89846062	27,97579053	4	2
14608003	0,4143	0,5857	0,6458	1,49587705	2,31572530	28,41323259	1	2
14644801	0,6667	0,3333	0,7500	2,69461732	3,98630137	33,36856841	1	3
14685004	0,3125	0,6875	0,6000	1,64067266	2,93905532	31,01731842	4	1
15202300	0,3333	0,6667	0,5857	2,15090017	5,04250574	26,89459088	4	1

St_Nr	HQ20_50_t_p_r_med	HQ20_50_d_rez_r_med	HQ20_50_t_cov_r_med	HQ20_50_rat_m_m_med	HQ20_50_rat_m_b_med	HQ20_50_hqx_med	cluster_k5	cluster_k6
15205501	0,3333	0,6667	0,6000	1,98704683	5,03852753	23,78144812	4	1
15207507	0,4500	0,5500	0,6333	1,82884288	4,98408701	32,96766632	4	2
15210206	0,3333	0,6667	0,6000	2,12355552	4,87406399	34,63575078	4	1
15212008	0,5431	0,4569	0,6458	2,80811263	5,16074180	27,53427826	1	3
15212700	0,2857	0,7143	0,5357	2,14307156	5,57161552	26,57584386	4	1
15213500	0,2000	0,8000	0,5000	2,37231838	7,75109412	26,45156572	3	6
15214003	0,1667	0,8333	0,4565	2,79776675	8,43073272	35,05715024	4	1
15214604	0,5385	0,4615	0,6154	5,96870098	17,27631579	29,92078077	5	5
15216009	0,4615	0,5385	0,6154	2,41489788	5,00466505	26,28000312	1	2
15217908	0,3333	0,6667	0,5714	2,64441592	7,60942761	35,03508139	4	6
15221009	0,2500	0,7500	0,5000	2,03642384	5,69358178	33,15479137	3	6
15228008	0,8219	0,1781	0,6544	5,75222347	7,56541337	30,29690023	1	3
15241006	0,3333	0,6667	0,6667	3,19892473	16,45161290	20,89546221	2	6
15243001	0,3542	0,6458	0,5192	2,31986630	6,92409506	27,06034241	4	6
15246000	0,5833	0,4167	0,7446	3,02268721	7,17458913	32,87815300	1	5
15247002	0,2222	0,7778	0,5000	2,63721052	10,82397928	27,34531794	3	6
15247501	0,2500	0,7500	0,5000	2,55633403	14,11600280	29,44717515	2	4
15314008	0,8333	0,1667	0,8333	1,44056635	1,83016105	22,61000037	2	6
15315000	0,2727	0,7273	0,5000	2,19571965	5,78132332	35,90795129	3	6
15325004	0,2857	0,7143	0,4286	2,83354839	15,24059223	22,07120256	4	1
15408000	0,5000	0,5000	0,6333	2,02257161	6,14702939	27,83472725	1	3
15422500	0,5000	0,5000	0,6667	2,72759416	8,24050746	27,58695271	1	3
15916000	0,5000	0,5000	0,6667	2,73651617	13,85859104	28,30900115	4	6
15993001	0,4857	0,5143	0,6208	4,57626582	11,67570437	25,94446838	2	5
16001303	0,3333	0,6667	0,5500	2,48088907	7,39622719	22,98827924	4	1
16002500	0,4643	0,5357	0,6333	2,15416380	7,07649664	24,00885169	1	2
16003003	0,4286	0,5714	0,6250	1,82287530	5,13249651	24,08966133	4	2
16004006	0,4143	0,5857	0,6077	1,90303756	4,59401006	26,61049740	4	2
16004403	0,4000	0,6000	0,6250	1,53236563	3,08663627	27,08767994	4	2
16005701	0,3750	0,6250	0,6000	1,70249306	3,89391617	32,01459734	1	2
16006500	0,2857	0,7143	0,5000	2,40825887	9,08688923	37,47372037	4	1
16007004	0,5000	0,5000	0,7143	1,28679245	1,66725664	25,13842000	1	3
16008007	0,5000	0,5000	0,7500	1,27836181	1,53471303	26,01910149	1	3
16008506	0,5000	0,5000	0,7143	1,29452402	1,60065208	26,98370487	1	3
16124950	0,3333	0,6667	0,6667	1,56389807	2,37214792	25,31111339	1	2
16145008	0,3333	0,6667	0,6905	1,79823334	3,42240113	27,33600533	1	2
16163000	0,3429	0,6571	0,5143	3,43383673	20,40383527	29,26532334	2	6
16312008	0,7949	0,2051	0,7949	10,66360430	91,51624549	37,29681275	5	5
16326002	0,5000	0,5000	0,6343	3,55812178	14,41741593	32,95523669	2	6
16345007	0,5714	0,4286	0,7143	2,64835704	6,54545455	22,43852455	4	2
16395005	0,5000	0,5000	0,6667	3,02577591	14,98957609	34,85746061	2	6
16401006	0,3280	0,6720	0,5752	2,08854748	4,54953224	32,17752698	4	1
16402009	0,2917	0,7083	0,6458	1,88482964	3,89776721	28,31154055	4	2
16404900	0,4000	0,6000	0,6000	1,75487691	3,38970898	28,77388646	1	2
16407002	0,5714	0,4286	0,6471	1,49608992	2,25661588	29,45753240	1	3
16408504	0,6000	0,4000	0,6726	1,83870915	3,23593229	28,45646998	1	3
16425004	0,4500	0,5500	0,7500	1,64845543	2,76050206	31,25747867	1	2
16527503	0,2800	0,7200	0,4400	2,29981690	7,04543587	31,88497582	3	6
16602303	0,4444	0,5556	0,6250	1,15036145	1,35059952	27,18766597	1	3
16603000	0,4737	0,5263	0,6667	1,19646613	1,46058091	32,47139884	1	3
16605006	0,5000	0,5000	0,7071	1,18388033	1,39871795	31,64881464	1	3
16607001	0,5000	0,5000	0,7500	1,22958568	1,45292783	31,23206337	1	3

St_Nr	HQ20_50_t_p_r_med	HQ20_50_d_rez_r_med	HQ20_50_t_cov_r_med	HQ20_50_rat_m_m_med	HQ20_50_rat_m_b_med	HQ20_50_hqx_med	cluster_k5	cluster_k6
16610709	0,2857	0,7143	0,5000	2,48131961	7,02875399	30,54488084	4	1
16612001	0,3333	0,6667	0,5714	2,30484211	6,82034673	30,17401048	4	1
16613004	0,3205	0,6795	0,5857	1,93745900	4,60773844	28,15158659	4	1
16615203	0,2917	0,7083	0,6000	2,53217348	8,32918560	29,17234576	4	6
16616002	0,1667	0,8333	0,4444	3,48343764	19,52764217	29,96014832	2	4
16618008	0,1622	0,8378	0,5000	1,68823529	3,92488954	28,44218649	3	1
16625003	0,2500	0,7500	0,5000	3,15299176	17,72260274	29,67729223	2	4
16642002	0,3333	0,6667	0,5000	2,94531097	21,19597331	27,32489981	2	4
16644050	0,3889	0,6111	0,5778	2,71690594	30,82007795	39,29697069	2	4
16658002	0,2857	0,7143	0,5857	2,00677569	4,93903372	27,39032479	4	1
16665008	0,4286	0,5714	0,7500	1,06644635	1,11907137	27,85917685	1	3
16667604	0,5000	0,5000	0,7083	1,24639178	1,51815838	36,91456188	4	1
16668800	0,3273	0,6727	0,4727	2,91150535	13,83337167	34,58368143	3	6
16669009	0,7317	0,2683	0,5789	9,10062333	11,77519274	30,53702121	2	5
16686008	0,4286	0,5714	0,6000	2,51047974	7,41193738	30,15276754	4	1
16802007	0,5000	0,5000	0,7500	1,63504755	2,63686681	31,29351235	1	3
16806008	0,4286	0,5714	0,6667	2,01498582	4,96532594	23,50280606	4	1
16825002	0,4000	0,6000	0,6000	2,45901639	7,14843750	27,94527049	4	1
16827008	0,6362	0,3638	0,7232	7,34842617	31,35503539	33,15134296	2	5
16965001	0,4500	0,5500	0,6333	2,23203564	4,69190739	27,75140819	4	6
17125006	0,2857	0,7143	0,5000	2,23004554	9,44474187	27,46136855	3	6
17201501	0,5000	0,5000	0,6667	2,65694191	15,11563367	25,04387528	4	2
17204204	0,5500	0,4500	0,7321	1,78960767	6,19955197	27,39665433	1	2
17207508	0,3818	0,6182	0,5635	2,33208365	10,14600014	30,47723255	4	1
17215007	0,5000	0,5000	0,7500	2,52592840	11,79687500	32,56511150	4	1
17225000	0,4000	0,6000	0,6000	2,55383075	14,54545455	36,08093282	2	6
17242000	0,6813	0,3187	0,6667	9,20366212	29,28552024	29,60285999	2	5
17325005	0,4000	0,6000	0,6667	2,39490446	6,07627666	33,59603306	4	6
17345002	0,2222	0,7778	0,4545	2,56245079	8,07316462	23,63695816	3	6
17404000	0,5625	0,4375	0,6000	3,29517034	6,61028894	23,74492240	1	2
17406005	0,2857	0,7143	0,5000	2,40138923	6,48679679	28,46912073	4	1
17413000	0,5200	0,4800	0,6667	5,40031189	11,06251677	31,99122908	5	5
17415006	0,6262	0,3738	0,6367	3,31194554	8,73202574	32,16942165	1	3
17425000	0,3333	0,6667	0,5556	2,42381290	6,09951846	27,64069073	4	6
17445007	0,3333	0,6667	0,5635	1,96239558	4,47377746	28,03409671	4	1
17464001	0,2857	0,7143	0,5455	2,10231752	4,61047915	27,15222444	4	1
17466007	0,1833	0,8167	0,5374	2,66428544	6,68020731	30,23902737	4	1
17467000	0,2500	0,7500	0,5000	2,31604343	6,96008188	24,83379556	4	1
17468002	0,2500	0,7500	0,5000	2,48387097	6,99223085	25,60309225	4	6
18000403	0,5714	0,4286	0,7500	1,20986651	1,38641252	31,52651915	1	3
18001508	0,5000	0,5000	0,7500	1,24530451	1,44285452	30,16509010	1	3
18003004	0,5000	0,5000	0,7500	1,23791366	1,44632768	29,62554473	1	3
18004007	0,3333	0,6667	0,5714	2,35048175	8,67029911	25,64395105	4	2
18004506	0,3056	0,6944	0,5278	2,21276596	6,51428571	26,17424127	4	1
18005000	0,6364	0,3636	0,6923	1,31470079	1,56120566	26,92722250	1	3
18008008	0,5000	0,5000	0,7500	1,33762952	1,62044193	26,94605921	1	3
18182005	0,2500	0,7500	0,6000	2,48732988	7,35502122	26,66272278	3	6
18193001	0,3667	0,6333	0,6000	3,12465386	15,34038441	30,04377496	2	6
18194503	0,2779	0,7221	0,3470	8,61804275	50,95367659	35,01146098	2	4
18196000	0,2500	0,7500	0,4083	3,49048577	15,40893151	34,56710823	3	6
18199008	0,2857	0,7143	0,5714	1,30032859	2,17049728	24,54962724	4	1
18202000	0,3571	0,6429	0,5000	1,75459941	4,91474423	33,30450342	4	1

St_Nr	HQ20_50_t_p_r_med	HQ20_50_d_rez_r_med	HQ20_50_t_cov_r_med	HQ20_50_rat_m_m_med	HQ20_50_rat_m_b_med	HQ20_50_hqx_med	cluster_k5	cluster_k6
18203003	0,2614	0,7386	0,4833	1,94284064	7,54477614	28,27180277	3	6
18204006	0,1818	0,8182	0,4615	2,26366605	8,31182513	23,72700148	3	6
18209000	0,2500	0,7500	0,4781	2,35058700	7,24567196	26,22551453	3	6
18212004	0,3095	0,6905	0,5000	2,74240156	9,57452181	26,99154327	4	6
18214000	0,3333	0,6667	0,6667	2,14660633	4,44750000	24,39883273	4	1
18216005	0,5000	0,5000	0,6667	3,28403231	11,96787149	31,55850249	2	6
18226009	0,2679	0,7321	0,4900	2,38698452	6,07735267	33,59217362	3	6
18242005	0,4000	0,6000	0,6000	2,34193735	5,10923185	29,37316190	4	2
18246006	0,2679	0,7321	0,5000	3,04134011	21,85584347	26,41421542	4	6
18262002	0,4000	0,6000	0,6250	2,25114855	5,28100775	27,62964814	4	1
18263005	0,3750	0,6250	0,6000	2,367884409	6,81524548	27,13178087	4	1
18284504	0,2857	0,7143	0,4500	5,37889673	40,59459459	29,23818946	2	4
18286000	0,3333	0,6667	0,5000	2,85280360	14,85955056	28,05144435	3	6
18322002	0,3333	0,6667	0,5635	2,33303494	6,63323940	29,64774082	4	1
18343002	0,2554	0,7446	0,5500	2,45801829	7,19809108	28,69995656	4	1
18346000	0,4000	0,6000	0,6000	2,28452752	7,60047752	30,41127782	4	1
18381500	0,6607	0,3393	0,7065	4,31544343	24,68690335	36,55358781	5	5
18384509	0,3333	0,6667	0,5000	2,59908706	8,53164557	34,10884431	4	6
18387008	0,3333	0,6667	0,6667	3,08513003	28,63823934	31,14676636	2	4
18403002	0,5455	0,4545	0,6471	1,14035262	1,27808989	32,27441775	1	3
18405008	0,5000	0,5000	0,6667	1,15156647	1,28573143	28,47048355	1	3
18408200	0,2361	0,7639	0,4934	2,40525700	19,81289508	27,94758805	3	4
18454003	0,3333	0,6667	0,6000	1,98395185	4,49845295	30,19527957	4	1
18460403	0,4000	0,6000	0,6000	2,17454758	4,21618205	32,50193070	4	1
18463004	0,2222	0,7778	0,4000	4,34335353	75,45494896	26,26920035	2	4
18465600	0,4000	0,6000	0,6000	2,75944390	6,80129241	28,10186540	4	6
18481006	0,2500	0,7500	0,5000	2,54005109	8,94663368	27,44067719	4	6
18483500	0,2857	0,7143	0,5227	2,22760549	6,54749036	29,07471231	4	1
18486000	0,2361	0,7639	0,5000	2,79447004	8,39937934	33,41375564	4	1
18487501	0,2857	0,7143	0,5455	2,62123198	7,61986301	28,82328504	4	6
18602009	0,5000	0,5000	0,6667	1,59489051	2,53352354	24,35179213	1	3
18606000	0,5000	0,5000	0,6667	1,65694447	2,66328685	27,83003287	1	2
18620500	0,4286	0,5714	0,6667	1,92823267	3,95718106	30,28435512	1	2
18622006	0,4654	0,5346	0,5812	2,24459323	3,62526079	32,17166299	1	2
18624001	0,3125	0,6875	0,6000	2,18057931	5,76565264	24,67451258	4	1
18625004	0,5000	0,5000	0,6667	2,08459985	4,68526466	27,44770799	1	3
18642003	0,2857	0,7143	0,5667	2,16354927	5,10678392	24,55687457	4	1
18662000	0,3000	0,7000	0,5000	2,66085924	9,06103286	34,11427579	3	6
18666001	0,3137	0,6863	0,5000	2,31627543	7,50322302	34,75411087	3	6
18668007	0,2500	0,7500	0,4643	3,33540776	18,76267572	25,82095617	3	6
18669000	0,3333	0,6667	0,6667	2,69700801	11,33333333	28,93838957	2	6
18683000	0,3467	0,6533	0,6111	1,38251782	2,27928986	28,48446841	4	1
18801005	0,3333	0,6667	0,6000	2,89422304	19,78260870	30,32288701	4	6
18803805	0,4286	0,5714	0,6000	2,75437584	17,79702970	26,98355870	4	6
18804706	0,4000	0,6000	0,5857	2,10581121	11,89971142	35,18508665	4	6
18806406	0,4000	0,6000	0,5833	2,02601230	8,12393888	34,70886608	4	6
18808004	0,3333	0,6667	0,5556	2,29518352	11,47058824	33,05630682	3	6
18825003	0,4000	0,6000	0,5714	2,81109220	18,13084112	29,45801904	2	6
18855004	0,9343	0,0657	0,8283	31,87817765	44,06963432	30,52217468	5	5